



ESTUDIO:

**MAPA DE PELIGROS DE LA CIUDAD DE
BELLAVISTA**

INFORME FINAL

**PROYECTO INDECI – PNUD PER / 02/ 051
CIUDADES SOSTENIBLES**

**INSTITUTO NACIONAL DE DEFENSA CIVIL
INDECI**

**PROYECTO INDECI – PNUD PER / 02/ 051
CIUDADES SOSTENIBLES**

Director Nacional

**Contralmirante A.P. (r)
JUAN LUIS PODESTA LLOSA**

**PROYECTO INDECI – PNUD PER / 02/ 051
CIUDADES SOSTENIBLES**

Director Nacional de Proyectos Especiales
LUIS MALAGA GONZALES

Asesor Técnico Principal
JULIO KUROIWA HORIUCHI

Asesor
ALFREDO PEREZ GALLEN0

Responsable del Proyecto
ALFREDO ZERGA OCAÑA

**INSTITUTO NACIONAL DE DEFENSA CIVIL
INDECI**

Director de la Dirección de Defensa Civil-San Martín
WALTER LOZADA LINARES

EQUIPO TECNICO CONSULTOR

Coordinador – Responsable del Estudio
RUBEN DEL AGUILA PANDURO

Especialista en Geología, Sísmica y Suelos
ENRIQUE MARTINEZ QUIROZ

Especialista en Hidráulica
ISAAC ARCE PEREZ

Especialista en Cad - Sig
WILSON LEON MARTINEZ

Colaborador
VICTOR HERRERA VASQUEZ

CONTENIDO

INTRODUCCIÓN

CAPITULO I: GENERALIDADES

1.1. Antecedentes del Estudio	01
1.2. Objetivos del Estudio	02
1.3. Descripción del Estudio	02
1.4. Ubicación del área de Estudio	04
1.5. Vías de comunicación	05
1.5.1. Vías Terrestres	05
1.5.1.1. Carreteras Principales	05
1.5.1.2. Carreteras Secundarias	06
1.5.2. Vías Fluviales	06
1.5.3. Vía Aérea	07
1.6. Climatología e Hidrología	07
1.7. Aspectos Geológicos – Geotécnicos	10
1.8. Aspectos de Mecánica de Suelos	12

CAPITULO II: RECOPIACION DE INFORMACION BASICA EXISTENTE

2.1. Estudios antecedentes	14
2.2. Información cartográfica	14
2.3. Información hidrometeorológica	16
2.4. Información geológica	23
2.5. Información de Mecánica de Suelos	23

CAPITULO III: ESTUDIOS BASICOS

3.1. Topografía del área de estudio	24
3.2. Geología Regional y Local del Área de Estudio	24
3.2.1. Geomorfología	24
3.2.1.1. Unidades Geomorfológicas	25

3.2.2.	Estratigrafía y Litología	29
3.2.2.1.	Complejo del Marañón	31
3.2.2.2.	Grupo Pucará	32
3.2.2.3.	Formación Sarayaquillo	33
3.2.2.4.	Formación Pumayacu	34
3.2.2.5.	Grupo Oriente	35
3.2.2.6.	Formación Chonta	36
3.2.2.7.	Formación Vivian	36
3.2.2.8.	Formación Yahuarango	36
3.2.2.9.	Formación Pozo	36
3.2.2.10.	Formación Chambira	37
3.2.2.11.	Formación Ipururo	37
3.2.2.12.	Formación Juanjui	37
3.2.2.4.	Formación Cuaternarios	37
3.2.3.	Geología Estructural	38
3.2.3.1.	Zonas Estructurales	40
3.2.3.2.	Pliegues	41
3.2.3.3.	Fallas	41
3.2.4.	Aspectos Sísmicos	44
3.3.	Hidrología de la zona	56
3.3.1.	Climatología	56
3.3.1.1.	Precipitaciones	57
3.3.2.	Hidrología	57
3.3.3.	Hidráulica de los ríos	59
3.3.4.	Erosión y Sedimentación	60
3.3.5.	Hidrogeología	60
3.4.	Exploración Geotécnica del Área de Estudio	60
3.4.1.	Generalidades	60
3.4.2.	Exploración de Suelos	61
3.4.2.1.	Reconocimiento de Campo	61
3.4.2.2.	Excavaciones a Cielo Abierto (Calicatas)	61
3.4.2.3.	Espaciamiento y Características de las calicatas	62
3.4.3.	Ensayos de Laboratorio de Mecánica de Suelos	64
3.4.4.	Clasificación de Suelos SUCS Para el Área de Estudio	64

PLANOS

PLANO N° 01: UBICACIÓN DEL AREA DE ESTUDIO

PLANO N° 02: PLANO TOPOGRAFICO

PLANO N° 03: REGIONALIZACION SISMICA

PLANO N° 04: ISOYETAS

PLANO N° 05: CUENCA DEL RIO HULLAGA

PLANO N° 06: UBICACIÓN DE CALICATAS

PLANO N° 07: CLASIFICACION DE SUELOS

PLANO N° 08: PELIGROS GEOTECNICOS

PLANO N° 09: PELIGROS GEOLOGICOS CLIMATICOS

PLANO N° 10: PELIGROS CLIMATICOS HIDROLOGICOS E HIDRAULICOS

PLANO N° 11: PELIGROS MULTIPLES

ANEXOS

ANEXO N° 01: REGISTRO CATALOGO SISMICO

ANEXO N° 02: DRENAJE DE AGUAS PLUVIALES

ANEXO N° 03: CUENCA DEL RIO HUALLAGA

ANEXO N° 04: ESTUDIO DE SUELOS

- RECORD DE EXCAVACIONES (20 CALICATAS)
- ANALISIS GRANULOMETRICO POR TAMIZADO(20 MUESTRAS)
- LIMITES DE CONSISTENCIA (20 MUESTRAS)
- ANALISIS DE CONTENIDO DE HUMEDAD (20 MUESTRAS)
- ANALISIS DE PESO ESPECIFICO (20 MUESTRAS)
- ENSAYO DE CORTE DIRECTO EN SUELOS (2 MUESTRAS)
- ENSAYO DE CONSOLIDACION DE SUELOS (2 MUESTRAS)
- ENSAYO DE SALES SOLUBLES (2 MUESTRAS)
- REGISTRO DE EXCAVACIONES (20 CALICATAS)

ANEXO N° 05: MEMORIA DE CÁLCULO DE LA CAPACIDAD DE CARGA ADMISIBLE

ANEXO N° 06: PANEL FOTOGRAFICO

- VISTAS GENERALES DEL DESARROLLO DE LOS TRABAJOS GEOTECNICOS(FOTOS)
- VISTAS GENERALES DEL DESARROLLO DE LOS TRABAJOS DE LABORATORIO DE SUELOS(FOTOS)

INTRODUCCIÓN

Desde la Década de los 90, se han venido desarrollando métodos para la investigación de desastres en América Latina, en general en los países afectados por los fenómenos Naturales producidos en nuestro Planeta. En dichos métodos sobresale la Planificación Urbana, las técnicas de construcción para soportar sismos, también los aplicados a la reducción de riesgos y protección de suelos.

El estudio esta dedicado a la investigación de los fenómenos Naturales, con la finalidad de conocer a nuestro enemigo natural y que en estos casos los mas afectados son las familias de mas bajos recursos económicos y que ven perderse sus bienes en parte por la falta de conocimiento del peligro y vulnerabilidad de sus viviendas, las mismas que son construidas con materiales vulnerables y/o poco resistentes, antes y después de ocurrido los fenómenos.

En este estudio también se plantea el conocimiento del suelo como terreno de fundación, de la geología, topografía y fisiografía de las cuencas hidrográficas, de los cuales depende la magnitud del daño causado por los fenómenos naturales destructivos.

Otro aspecto que ha contribuido a la generación de riesgos y desastres naturales, es la proliferación de viviendas, en las zonas periféricas de la ciudad de Bellavista originados por el rápido crecimiento poblacional de origen migratorio y que generalmente son familias de bajos recursos económicos, y a la falta de oportunidades de trabajo, se ven obligados a utilizar materiales y técnicas constructivas no recomendables en la construcción de sus viviendas. Los cuales en caso de ocurrir desastres, están en desventaja para la reconstrucción por la falta de recursos económicos, incrementándose de esta manara el empobrecimiento y el riesgo.

Las autoridades juegan un papel muy importante, puesto que son los llamados al planteamiento de soluciones para evitar el crecimiento desordenado, y desarrollando estudios de planificación urbana, en los cuales debe participar el poblador común y corriente, para que sienta la necesidad de protegerse. Con lo cual estaremos evitando cuantiosos daños materiales, pérdida de vidas, consecuentemente no se retrasaría el desarrollo socio-económico, para esto es necesario contar con un reglamento urbano acorde con la planificación urbana.

Es importante el conocimiento de los fenómenos naturales que se hayan suscitado en la ciudad de Bellavista y que podrían volver a ocurrir en el tiempo, a fin de prevenir medidas para enfrentar y mitigar sus efectos, ante estos, el hombre puede salvar su vida, reduciendo el riesgo y vulnerabilidad de las construcciones, ubicando su vivienda en una zona o lugar seguro.

El poblador de Bellavista debe tener conocimiento que la depredación del medio ambiente que lo rodea, afecta al ecosistema de la zona rural o cuenca hidrográfica del río Huallaga, y podría tener consecuencias funestas, al alterarse el ciclo del agua y a otros factores que pueden afectar y ocasionar cambios climáticos en toda la zona.

Se ha demostrado que el espeso bosque, permite el efecto esponja del suelo y reduce las inundaciones, pero el poblador de Bellavista para el desarrollo agrícola elimina parte de los árboles que quedan en el valle fértil para el cultivo y en porcentaje considerable en la zona alta, reemplazándolo por sembríos de productos de pan llevar, lo cual altera el clima local, e impide que el agua logre infiltrarse al subsuelo.

Al eliminarse paulatinamente los árboles y cobertura vegetal de las cuencas hidrográficas del río Huallaga, se está colaborando para la generación de inundaciones y fenómenos catastróficos para el medio ambiente.

Un ejemplo claro es lo que se produce en la tropical Haití, un país pobre; ocurre lo que el Banco Mundial ha llamado “Falsa Sequía”. Hace algunos años, debido a que el precio del café bajó, se eliminaron las plantaciones de café y hubo sobre pastoreo de la cobertura vegetal. Las lluvias intensas que caen con gran energía y poder erosivo, eliminaron primero lo que quedó del pasto, y luego lavaron el valioso suelo vegetal, que a la naturaleza le tomo cientos de años formar, quedando al descubierto sólo roca infértil.

En general la degradación del medio ambiente, generado por la quema de bosques viene acentuando peligrosamente los impactos ambientales en las zonas altas de las cuencas hidrográficas. La quema de bosques, Shapumbales y Cashucshales, produce la pérdida de la biodiversidad generando una degradación alarmante de los suelos y la contaminación del aire, a causa de la humareda. La quema de chacras para labores agropecuarias, son las prácticas tradicionales de los agricultores, pero que produce pérdida de áreas boscosas porque se convierte finalmente en incendios forestales, por acción del hombre que usa el fuego para desarrollar su actividad

agropecuaria. También con la práctica de la quema de bosques y chacras, se contamina el agua de los ríos por efecto de los relaves que se forman de las cenizas. Esta quema de Shapumbales, de bosques forestales o de chacras para la agricultura, llegan al extremo de poner en riesgo las vidas humanas cuando los incendios se producen muy cerca de viviendas; pero además con estas prácticas que hoy prohíbe la Ley Forestal y de Fauna Silvestre, se pierde especies de alto valor comercial que le pueden significar al campesino mayores ingresos, que le generaría de no quemar toda la materia orgánica, incluyendo madera de todo tipo. Con esta práctica la fauna silvestre y animales domésticos corren el riesgo o peligro de extinción.

La población de Bellavista se asienta en lugares de peligro, por la falta de conocimientos de los fenómenos naturales intensos que lo amenazan, no los comprende y los desafía sin los medios necesarios para proteger su vida, salud y propiedades, así como también no actúa organizadamente y tampoco dispone de la economía suficiente para defenderse. Una forma de como lograr una reducción a la exposición al peligro es mediante la educación.

CAPITULO I

GENERALIDADES

1.1 ANTECEDENTES DEL ESTUDIO

Para la elaboración del estudio del Mapa de Peligros de La Ciudad de Bellavista, contamos con los estudios realizados en diferentes zonas del país con características similares, los cuales detallaremos a continuación:

- Microzonificación Sísmica de las Ciudades de Moyobamba, Rioja, Soritor; realizado en el año de 1991 por José Luis Lara Montani - Tesis de Grado U.N.I.
- Peligro Sísmico del Alto Mayo, realizado el año de 1991 y ejecutado por el Dr. Jorge Alva Hurtado.
- Mapa de Peligros y Plan de Usos del Suelos de la Ciudad de Chimbote, realizado en Febrero del 2001, por convenio entre el Instituto Nacional de Desarrollo Urbano - INADUR, Proyecto Comité Ejecutivo de Reconstrucción de El Niño - CEREN y el Programa de las Naciones Unidas Para el Desarrollo-PNUD; el cual forma parte de uno de los últimos estudios de este tipo realizado en la región.
- Formulación del Mapa de Peligros Naturales de la Ciudad de Huarney-Ancash, realizado en Enero del 2000, por convenio entre CEREN – PNUD, ejecutado por el Ing. Manuel Hermoza Conde.
- Microzonificación de la Ciudad de Piura y Lineamientos de Desarrollo Urbano para la Mitigación de Desastres, realizada por la Ing. Berta Madrid Chumacero, en el año 1991, con CISMID-UNI.
- Microzonificación para la Prevención y Mitigación de Desastres de la Ciudad de Jauja, en Marzo del año 1994, por el Ing. Jaime Arteaga Limachi, CISMID-UNI.
- Mapa de Peligro Potencial del Volcán Misti, realizado en el año 2000, convenio PNUD-Gobierno PER-98-018.

- Microzonificación y Evaluación de Peligros de La Ciudad de Moyobamba, realizado en Junio del 2003 por los Bach. Ing. Civil Fernando Cabrera Bermúdez y Bach. Ing. Richard Saucedo Paredes. Tesis de Grado Universidad Privada Cesar Vallejo - Trujillo.
- Mapa de Peligros de la Ciudades de Tarapoto, Morales y Banda de Shilcayo; realizado en el Año 2003 por el PNUD
- Mapa de Peligros de la Ciudad de Moyobamba, realizado en el Año 2003; por el PNUD.

1.2 OBJETIVOS DEL ESTUDIO

- Esta publicación permitirá que el Gobierno Regional y local, orienten su política a la toma de decisiones y la priorización de recursos, orientando los fondos públicos a la ejecución de labores sociales, educativas y de obras que permitan a los habitantes en las zonas de peligros a conocer y enfrentar los fenómenos naturales en condiciones menos vulnerables.
- El presente estudio tiene como objetivo principal elaborar el mapa de peligros de la ciudad de Bellavista, en base a las características geológicas, geomorfológicas, geotécnicas, sísmicas, climatológicas e hidrológicas del área en estudio.

1.3 DESCRIPCION DEL ESTUDIO

El presente estudio tiene como propósito la elaboración del mapa de peligros de la ciudad de Bellavista, ubicando las zonas de mayor peligro ante los fenómenos naturales que pueden generar situaciones de desastre, que por su origen pueden ser geológicos (sismos, erupciones volcánicas), Hidrometeorológicos o Climáticos (tormentas tropicales, sequías, desertización, inundaciones por desborde y flujos rápidos incluyendo huaycos), Geológicos – Climáticos (fallas del suelo como deslizamientos que pueden ser causados por vibraciones sísmicas o por humedecimiento o saturación. Licuación del suelo provocado por sismos intensos,

asentamiento o expansión del suelo por presencia del agua). Dichos fenómenos se pueden incrementar y acelerar por la acción antrópica principalmente por el desconocimiento de como funciona la naturaleza.

Se Toman las siguientes consideraciones:

- En la introducción, se ha descrito algunos eventos ocurridos a través del tiempo, desde la época de fundación o inicio del crecimiento urbano de la ciudad de Bellavista el cual es de características migratorias, haciendo énfasis a los efectos locales y de origen Geológico, Hidrometeorológicos o Climáticos, los cuales se presentan con cierta frecuencia.
- En el Capítulo I, generalidades:
 - Se ha consultado diferentes estudios similares, los cuales se hace mención.
 - Se plantean los objetivos principales del estudio.
 - Se hace mención de la ubicación local, provincial, regional y nacional del área de estudio.
 - Se hace mención de las principales vías de comunicación tanto terrestres, fluviales y aéreas.
 - Se presentan los datos del clima, precipitación, temperatura, vientos, humedad relativa e hidrología del área de estudio.
 - Se presentan los principales aspectos que se han tenido en cuenta, para el planeamiento y seguridad del equipamiento urbano. Basándonos en la geología regional y local, así mismo los criterios de resistencia, deformación y otras propiedades ingenieriles del suelo.
- En el capítulo II, recopilación de información básica existente:
 - Se ha revisado y analizado una gama de estudios anteriores al presente, los cuales se mencionan en Título y Autor.

- Se contó con información Cartográfica. e Hidrometeorológica del área de estudio e información Geológica del cuadrángulo de Juanjui (15-j).
- En el capítulo III, estudios básicos:
 - Se cuenta con el Plano Topográfico del área de estudio, describiendo las principales características, las mismas que tendrán incidencia en el comportamiento del suelo, frente a la presencia de los fenómenos naturales.
 - Se presenta las principales características de Geomorfología, Estratigrafía y Litología, Geología Estructural, en el ámbito regional y local.
 - Dadas las características Geológicas del lugar, se podrían presentar o tener ocurrencias de movimientos sísmicos.
 - Se cuenta con estudios realizados en la cuenca del río Sisa y Huallaga.
 - Se realizó la exploración y tomas de muestras de los suelos, realizándose los ensayos de laboratorio para conocer sus propiedades índice, que permitirán determinar la capacidad admisible de los suelos.
- En el capítulo IV:
 - Se presentan los Mapas de Peligro Geotécnicos; Geológicos – Climáticos; Climáticos, Hidrológicos e Hidráulicos. Así mismo el mapa de Peligros Múltiples.
- En el capítulo V:
 - Se presentan las conclusiones y recomendaciones.

1.4 UBICACIÓN DEL ÁREA DE ESTUDIO

La ciudad de Bellavista y sus probables zonas de expansión urbana, se ubica en el Sector Nor - Oriental del territorio Peruano, flanco Nor - Occidental de la cuenca hidrográfica del Río Huallaga (cuadrángulo 15.j).

Las coordenadas y datos siguientes constituyen los límites aproximados de la zona de estudio ¹:

- 07°02'30" a 07°04'30" Latitud Sur
- 76°34'00" a 76°36'30" Longitud Oeste

La extensión del estudio, abarca 6 Km² aprox.

El área urbana está entre los 238 m.s.n.m. (orillas del río Huallaga) y los 330 m.s.n.m. (Cuarto piso); la plaza principal está a 240 m.s.n.m. y en las coordenadas 07° 04' 00" Latitud Sur y 76° 35' 14" Longitud Oeste, aproximadamente (ver plano N°1).

1.5. VIAS DE COMUNICACIÓN

La Zona en estudio es accesible por vía terrestre, fluvial y parcialmente por vía aérea.

1.5.1 VIAS TERRESTRES

1.5.1.1 CARRETERAS PRINCIPALES.

- La primera ruta parte de la ciudad de Lima por la Panamericana Norte, pasando por Chiclayo hasta Olmos, de aquí se sigue a lo largo de la carretera de penetración totalmente asfaltada que une a la Carretera Fernando Belaunde Terry (antes Marginal de la Selva), cubriendo el tramo: Bagua Grande, Pedro Ruiz, Moyobamba, Tarapoto, hasta el distrito de Juan Guerra; para luego seguir por carretera afirmada hasta Bellavista, recorriendo poblados como Buenos Aires, Picota, San Hilarión y San Rafael, en el Valle del Huallaga.
- La segunda ruta a partir de la ciudad de Lima es por la carretera Central pasando por la Oroya, Huanuco, hasta Tingo María, tramo que esta asfaltado; desde allí se tiene una carretera afirmada que sigue hasta Bellavista,

¹ Datos asumidos a partir de la siguiente fuente:

Instituto Geográfico Nacional (IGN), Lima - Perú. Hoja Topográfica JUANJUI, PERÚ 1556 J631 (Edición 1-IGN; Serie J631; Hoja 1556 [15-j]) - coordenadas: 07° 00' á 07° 30' latitud sur, 76° 30' á 77° 00' longitud oeste

recorriendo las localidades de Aucayacu, Tocache, Campanilla y Juanjui, ubicadas en el Valle del Huallaga central.

1.5.1.2 CARRETERAS SECUNDARIAS

Existen Carreteras de segundo orden en un estado de conservación regular y transitable todo el año, que parten de la carretera Fernando Belaunde Terry antes Marginal de la Selva, estas son las siguientes:

- Carretera que recorre el tramo inferior del valle del río Saposoa uniendo las localidades de Sacanche, Eslabón, Piscoyacu, Saposoa y Pasarraya.
- Carretera Bellavista, Tingo de Saposoa, Juanjui.
- Carretera Bellavista, Peruate, Centro América, San Pablo, San José de Sisa, Zapatero, Cuñumbuque hasta la Carretera Fernando Belaunde Terry.

1.5.2 VIAS FLUVIALES

El río Huallaga constituye la vía fluvial más importante para la navegación de embarcaciones de mediana capacidad entre los puertos fluviales relacionados con la ciudad de Bellavista. La Existencia de malos pasos y rápidos entre Shapaja y el Pongo de Aguirre, impiden que naves de mayor capacidad lleguen hasta el área de trabajo, desde Yurimaguas, Iquitos y el Atlántico.

A fin de facilitar el trasbordo a través del río Huallaga, hacia las poblaciones y centros de producción de la margen derecha pertenecientes a la provincia de Mariscal Cáceres y hacia el distrito de Huallaga – Ledoy (de la Prov. De Bellavista) existen puertos de intercambio, siendo los más importantes:

- Puerto Rico
- Puerto Bellavista (Vainillas).
- Puerto Tingo de Saposoa.
- Puerto Amberes.
- Puerto Cangrejo.

Así mismo, utilizando embarcaciones de menor capacidad, en muchos casos de uso particular se puede navegar por diversos ríos como son:

- Río Sisa afluente del Huallaga, siendo navegable hasta la localidad de San Pablo y Consuelo.
- Río Saposoa afluente del Huallaga, siendo navegable hasta la localidad de Sacanche.
- Río Biabo afluente del Huallaga por la margen derecha, siendo navegable hasta la localidad de Cuzco.

1.5.3 VIA AEREA

La ciudad de Bellavista, cuenta con acceso aéreo mediante aviones comerciales de pequeña capacidad, avionetas y helicópteros. Dicho campo de aterrizaje cuenta con pista afirmada y es utilizado en vuelos comerciales irregulares y de apoyo militar.

1.6 CLIMATOLOGIA E HIDROLOGIA

Es imprescindible referirse a la influencia que ejercen los factores climáticos sobre las formas topográficas; tratándose de un área de estudio ubicada en una región tipo Selva Alta, con un relieve abrupto y moderado, en donde se encuentra la ciudad de Bellavista.

La mayor cantidad de datos que respecto a este punto se tiene, derivan de información recogida en las estaciones hidro-meteorológicas del SENAMHI, estaciones: La Unión, Juanjui, Bellavista y otros.

CLIMA

El clima es uno de los principales factores que condicionan las costumbres de las poblaciones, por sus características de precipitaciones, temperaturas, humedad, vientos, entre otros factores.

En Bellavista, debido a la variación de altitud, a los rasgos estratigráficos y morfoestructurales, por encontrarse a orillas de un río caudaloso (Huallaga), se presentan características climáticas particulares:

El territorio del área urbana se encuentra entre los 230 y 350 m.s.n.m.

Le corresponde un *Clima Seco y Cálido, sin exceso de agua durante el año y con una concentración térmica de verano normal;*⁽²⁾. Este clima influye sobre la parte baja de planicies y lomadas del sector medio del río Huallaga; se desarrolla hasta una altitud de 350 m.s.n.m. aproximadamente. ⁽³⁾

Este tipo de clima manifiesta un índice de aridez alrededor del 40% y presenta limitaciones para las actividades agropecuarias, por falta de lluvias, lo que ha sido subsanado por riego artificial en las partes bajas.

Precipitación

Este clima presenta las precipitaciones pluviales mas bajas registradas por las cuatro estaciones indicadas, con dos épocas bien marcadas durante el año: uno lluviosa (entre Octubre y Abril, con promedio mensual mas alto en Marzo, cercano a 300 mm.), y otra con menores precipitaciones (entre Mayo y Septiembre, con mínimo mensual de 50 mm.).

La precipitación promedio anual esta alrededor de los 950 mm. El número de días que llueve al año es de 83, el número de días que llueve al mes varía entre un mínimo de 5 mm. y un máximo de 11 mm., con precipitaciones por día de lluvia que varían entre 6 mm. y 14 mm. En Bellavista se han observado precipitaciones máximas en 24 horas, desde 45 mm. Hasta 127 mm.

Temperatura

Las temperaturas que corresponden a este tipo climático fluctúan entre 25.0 °C y 26.8 °C; que muestran una oscilación media anual muy estrecha de 1.8°C. Los promedios mensuales máximos extremos (PMME), y los promedio mensuales mínimos extremos (pmme), también mantienen uniformidad a lo largo del año, así, los promedios máximos varían entre 34.9°C (Enero), y 31.7°C (Junio), siendo los promedios mínimos entre 20.6°C (Abril) y 18.0°C (Julio).

² ONERN. Evaluación de Recursos Naturales de San Martín. Lima, Feb. 1984.

³ Determinado con los datos climáticos de las estaciones de Bellavista y La Unión, y con información complementaria de pluviometría de las estaciones de Pilluana y Picota.

Evaporación

Los valores de evaporación, están alrededor de 850 mm. anuales, con una distribución mensual bien marcada: entre Febrero y Junio es relativamente baja y fluctúa entre 50 mm. y 70 mm.; entre Julio y Enero es notoriamente mas alto variando entre 70 mm. y 90 mm.

Humedad Relativa

La Humedad Relativa se encuentra alrededor del 80%, siendo ligeramente mayor entre Marzo y Agosto; y menor entre Septiembre y Febrero.

Horas de Sol

Se registró un promedio de 1,782 horas de sol al año, observándose dos épocas marcadas de insolación: Una alta de Mayo a Diciembre, con cielo despejado y un promedio de un 160 horas de sol al mes; y otra baja de Enero a Abril con un promedio de 125 horas de sol al mes, todo esto debido a la presencia permanente de nubes cargadas de lluvia que impiden el paso de los rayos solares.

ECOLOGÍA

En la región se han identificado seis zonas de vida natural y cinco zonas transicionales, de acuerdo a los estudios realizados por ONERN, entre 1982 y 1984. En base a las condiciones ambientales de cada zona se han identificado diferentes unidades ecológicas de segundo orden, muchas de las cuales presentan menor o mayor alteración en sus características ambientales naturales, a consecuencia de la presencia de asentamientos humanos, el constante crecimiento de los mismos, la ejecución de infraestructura vial, el uso intenso de la tierra y la tala de bosques para la ampliación de la frontera agrícola.

A este espacio le corresponde el Bosque Seco – Tropical, que representa una de las zonas de vida más importantes de la región, principalmente en el Bajo Mayo y Huallaga Central; ocupan mayormente el conjunto de colinas bajas y lomadas, así como las planicies y terrazas aledañas a los ríos

Cumbaza, Mayo, Huallaga, Sisa, Saposoa, Chipurana, Tocache, Uchiza, en altitudes que oscilan entre 350 m.s.n.m. y 650 m.s.n.m. aproximadamente.

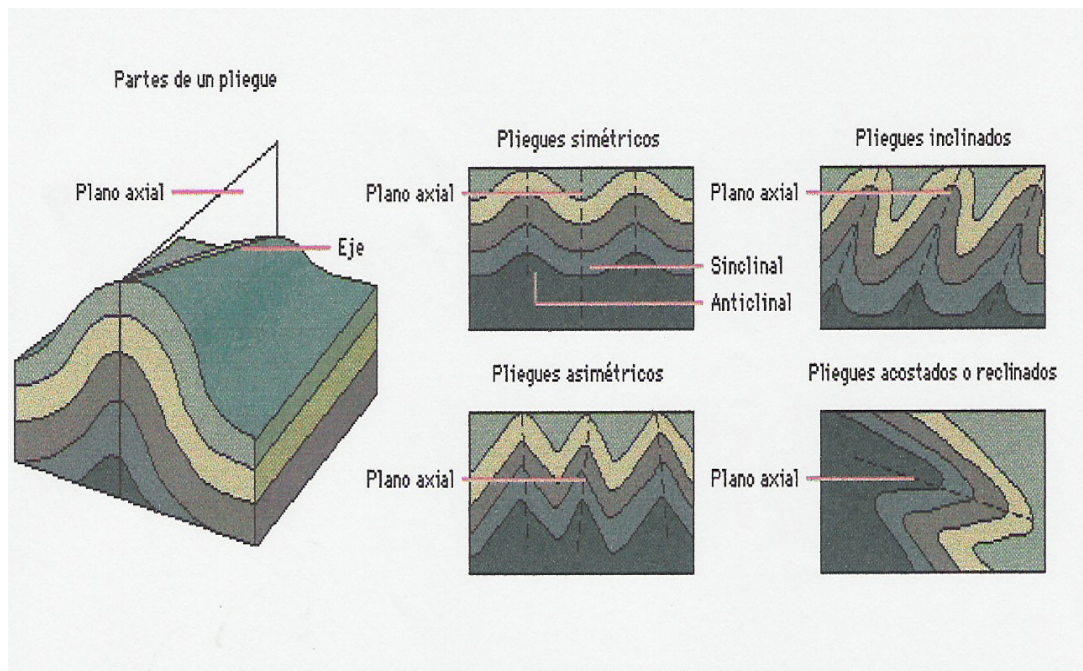
Dentro de esta zona de vida se ha determinado el Ecosistema de *Colinas Medias y Altas*.

1.7 ASPECTOS GEOLOGICOS-GEOTECNICOS

GEOLÓGICOS

Geomorfología.- Estudio científico que toma en cuenta la forma del terreno y de los paisajes, que nos permite una explicación completa de los mismos.

Pliegues y Plegamientos.- En geología, al sufrir presión las rocas se pliegan o sufren un plegamiento, denominándose a cada unidad de plegamiento, pliegue. Los pliegues superiores con forma abovedada se llaman anticlinales y tienen una cresta y dos ramas inclinadas que descienden hacia senos contiguos, donde pueden formarse los pliegues inversos en forma de cuenca o sinclinales

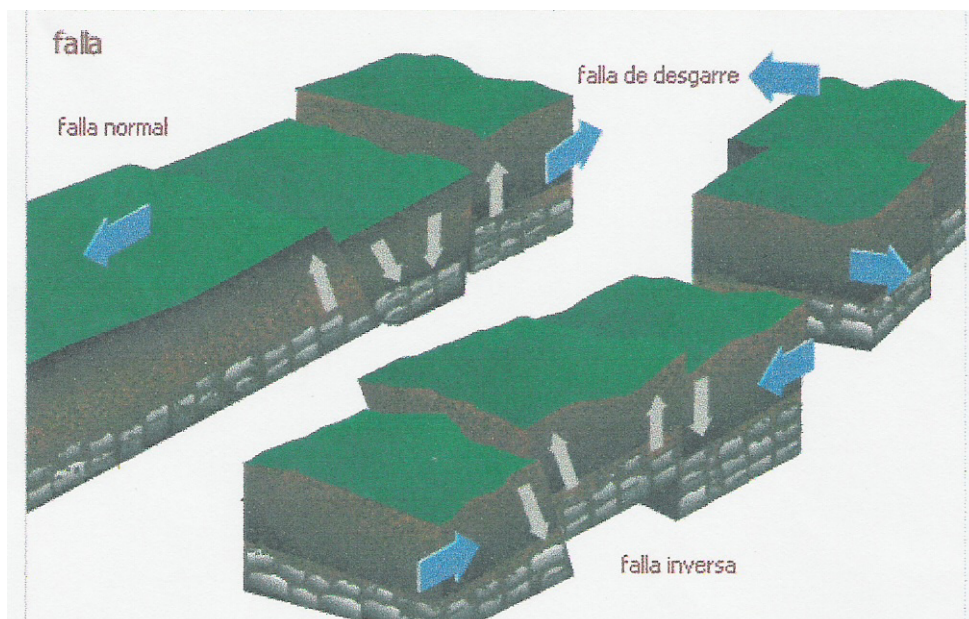


Estratigrafía.- Rama de la geología cuya finalidad es el estudio de las rocas vistas como capas o estratos. Centrada especialmente en las rocas sedimentarias, disciplina se ha extendido a todos los tipos de rocas y sus interrelaciones, en especial las cronológicas.

Rocas Sedimentarias.- En geología, son rocas compuestas por materiales transformados, formados por la acumulación y consolidación de materia mineral pulverizada, depositada por la acción del agua y, en menor medida, del viento o del hielo glacial. La mayoría de las rocas sedimentarias se caracterizan por presentar lechos paralelos o discordantes que reflejan cambios en la velocidad de sedimentación o en la naturaleza de la materia depositada.

Geología Estructural.- Se ocupa de los grandes rasgos externos, contrasta con las aproximaciones teóricas y experimentales que emplean el estudio microscópico de granos minerales o de rocas deformadas.

Falla.- Es la fractura de la corteza terrestre en dos o más bloques, que origina el desplazamiento horizontal o vertical de estos. Las fallas se originan debido a las presiones que ejercen los materiales incandescentes del interior de la tierra. El plano de falla es la superficie casi llana a lo largo de la cual se produce la fractura y el desplazamiento de los bloques rocosos.



Para poder realizar el estudio nos hemos basado en la geología regional y local de la zona de estudio, correlacionando esta información con resultados de los tipos de suelos que se han encontrado en las zonas de exploración, permitiéndonos describir las características físicas mecánicas y determinar los perfiles estratigráficos, cuya información indicada permitirá en la etapa final comprobar la capacidad portante de los suelos y sus relaciones con los aspectos geológicos del suelo.

1.8 ASPECTOS DE MECANICA DE SUELOS

Los suelos son sedimentos u otras acumulaciones no consolidadas de partículas sólidas, producidas por la desintegración de rocas y mezclas de éstas con sustancias orgánicas.

El Estudio de Mecánica de Suelos es la rama que trata de la acción de las fuerzas sobre las masas de los suelos. Desde hace mucho tiempo atrás el hombre ha estudiado el suelo sobre el que vive, presentando variadas teorías en la solución de los problemas relativos al uso del mismo.

Toda obra de construcción civil, por pequeña o grande que sea la estructura se inicia y apoya teniendo siempre como medio de fundación un suelo.

El suelo por su complejidad requiere ser estudiado en forma minuciosa con pericia y precisión, de lo cual depende la seguridad y vida útil de cualquier obra de construcción civil.

Antes los problemas de mecánica de suelos se resolvían en forma empírica o por tanteos, trayendo como consecuencia riesgo de seguridad y economía.

Hoy en día existen Laboratorios experimentados de Mecánica de Suelos para todo tipo de investigación y estudios.

Para la realización del estudio de Mecánica de Suelos de la zona, se efectuó el sondeo respectivo con la finalidad de determinar el tipo del subsuelo y sus características físico - mecánicas.

Para el presente proyecto se ha practicado la excavación de calicatas a una profundidad mínima de 3.00 m. por debajo de la superficie del terreno, permitiendo examinar en su estado natural las características físicas y mecánicas del suelo.

La reparación de fallas o defectos en la cimentación por lo general son costosas. Muchas veces se descubren después que la estructura ha estado en uso durante años. Generalmente el problema se debe al análisis inadecuado de la ingeniería y por no tomar en cuenta ciertas condiciones predecibles.

CAPITULO II

RECOPIACION DE INFORMACION BASICA EXISTENTE

2.1 ESTUDIOS ANTECEDENTES

- **Perales Calderón, Fernando; Agramonte Bermejo, Jorge.(May.1972).**
“Reconocimiento Geotécnico entre Juanjui y Moyobamba con Motivo del Sismo del 20 de Mayo de 1972”, Servicio de Geología y Minería.
- **Huaco P., Vázquez M., Marín G. y Montesinos V. (1990).** “Intensidades Regionales Asociadas al Sismo del 30 de Mayo de 1990 en el Departamento de San Martín, Perú”. Instituto Geofísico del Perú.
- **Huaco P., Ponce L., Marín G., Gómez J. y Fernández E. (1992).** “Intensidades Sísmicas en Áreas Urbanas y Regionales del Sismo del 5 de Abril de 1991 en el Departamento de San Martín (Perú)”. Instituto Geofísico del Perú.
- **Oficina Nacional de Evaluación de Recursos Naturales - ONERN.** Evaluación de Recursos Naturales de San Martín. Lima, Feb. 1984.
- **Tavera H., Buforn E., Bernal I. y Antayhua Y. (2001).** “Análisis de los Procesos de Ruptura de los Sismos Ocurridos en 1990 y 1991 en el Valle del Alto Mayo, Moyobamba-Perú”, Boletín de la Sociedad Geológica del Perú, Vol. 91. Pág. 55-68.
- **Arce Pérez, Isaac (1998).** "Desastres Naturales de la Región San Martín". Tesis para optar el Título Profesional.

2.2 INFORMACION CARTOGRAFICA

Se cuenta con la siguiente información Cartográfica y Topográfica de la zona del Estudio:

- Hoja Topográfica de Juanjui (Carta Nacional Esc. 1:10,000)
Fuente: PETT – Ministerio de Agricultura.
- Mapa Geológico del Cuadrángulo de Juanjui 15-j (Carta Geológica)
Esc. 1:100,000

Fuente: Instituto Geológico Minero Metalúrgico (INGEMMET)

- Hoja Topográfica UTCURARCA, PERÚ 1657 J632 (Edición 1-DMA; Serie J632; Hoja 1657) - coordenadas: 06° 30' a 07° 00' latitud sur, 76° 00' a 76° 30' longitud oeste.

Fuente: Instituto Geográfico Nacional (IGN)

- Hoja Topográfica SAN RAFAEL (antes Cuzco), PERÚ 1656 J632 (Edición 1-DMA; Serie J632; Hoja 1656) - coordenadas: 07° 00' a 07° 30' latitud sur, 76° 00' a 76° 30' longitud oeste.

Fuente: Instituto Geográfico Nacional (IGN)

- Hoja Topográfica SAPOSOA, PERÚ 1557 J632 (Edición 1-DMA; Serie J632; Hoja 1557) - coordenadas: 07° 00' a 07° 30' latitud sur, 76° 30' a 77° 00' longitud oeste.

Fuente: Instituto Geográfico Nacional (IGN)

- Hoja Topográfica JUANJUI, PERÚ 1556 J631 (Edición 1-IGN; Serie J631; Hoja 1556 [15-j]) - coordenadas: 07° 00' a 07° 30' latitud sur, 76° 30' 77° 00' longitud oeste

Fuente: Instituto Geográfico Nacional (IGN)

- Mapa de Catastro Urbano del Juanjui.

Fuente: INADUR

- Informe Técnico a consecuencia de los últimos sismos que afectaron a Moyobamba (1968, 1990, 1991)
- Información parcial hidrometeorológica.

Fuente: Servicio Nacional de Meteorología e Hidrología (SENAMHI).

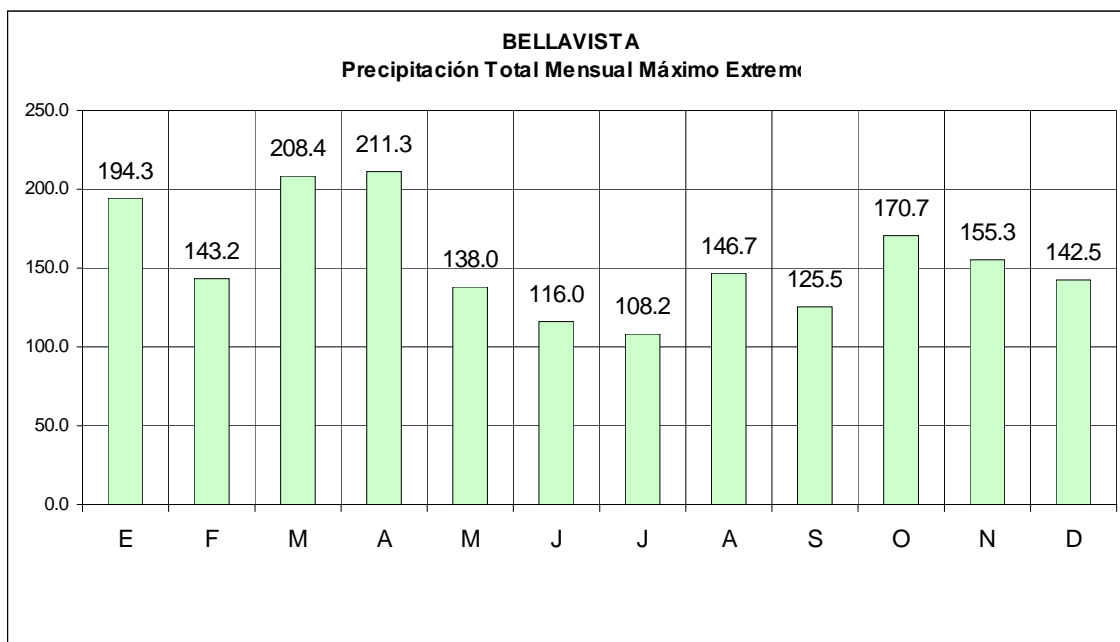
2.3 INFORMACION HIDROMETEOROLOGICA

Datos de Precipitación Pluvial HUALLAGA CENTRAL

Total Mensual Máximo Extremo

ESTACIÓN	Ene.	Feb.	Mar.	Abr.	May.	Jun.	Jul.	Ago.	Sep.	Oct.	Nov.	Dic.	PTA
PILLUANA	202,7	142,5	267,9	204,9	134,0	133,0	93,9	119,7	124,3	174,1	164,3	136,5	1897,8
PICOTA	234,5	173,0	294,5	323,0	160,0	117,0	80,5	121,0	150,5	208,5	178,0	151,0	2191,5
TINGO DE PONAZA	221,3	199,2	301,4	303,0	216,6	135,0	109,3	119,0	179,0	200,7	161,3	122,3	2268,1
SAN PABLO	220,6	231,0	264,8	364,8	145,4	141,3	167,2	163,7	199,7	232,8	250,1	192,3	2573,7
SAPOSOA	255,5	315,5	388,3	292,5	191,3	266,7	150,2	142,3	197,9	227,6	285,2	256,0	2969,0
BELLAVISTA	194,3	143,2	208,4	211,3	138,0	116,0	108,2	146,7	125,5	170,7	155,3	142,5	1860,1
SACANCHE	221,0	199,0	231,1	201,0	167,0	137,0	119,0	122,0	151,0	240,0	348,0	150,0	2286,1
NUEVO LIMA	309,0	265,0	332,0	346,0	270,0	223,0	200,0	250,0	223,0	320,0	207,0	345,0	3290,0
LA UNIÓN	149,7	153,8	202,7	241,7	94,1	76,4	96,8	60,7	161,4	131,2	234,7	138,1	1741,3
JUANJUÍ	286,1	248,6	333,7	345,2	207,9	129,1	136,3	111,9	155,0	268,0	321,1	357,2	2900,1
JUANJUÍ (Corpac)	306,0	374,0	296,0	317,5	215,0	161,0	198,0	147,0	190,0	404,6	282,0	290,0	3181,1
PACHIZA	388,3	433,9	362,7	381,8	350,8	187,7	236,4	167,1	232,6	281,1	377,3	282,2	3681,9
<i>Normal Mens. (Huall. Central)</i>	249,1	239,9	290,3	294,4	190,8	151,9	141,3	139,3	174,2	238,3	247,0	213,6	2570,1

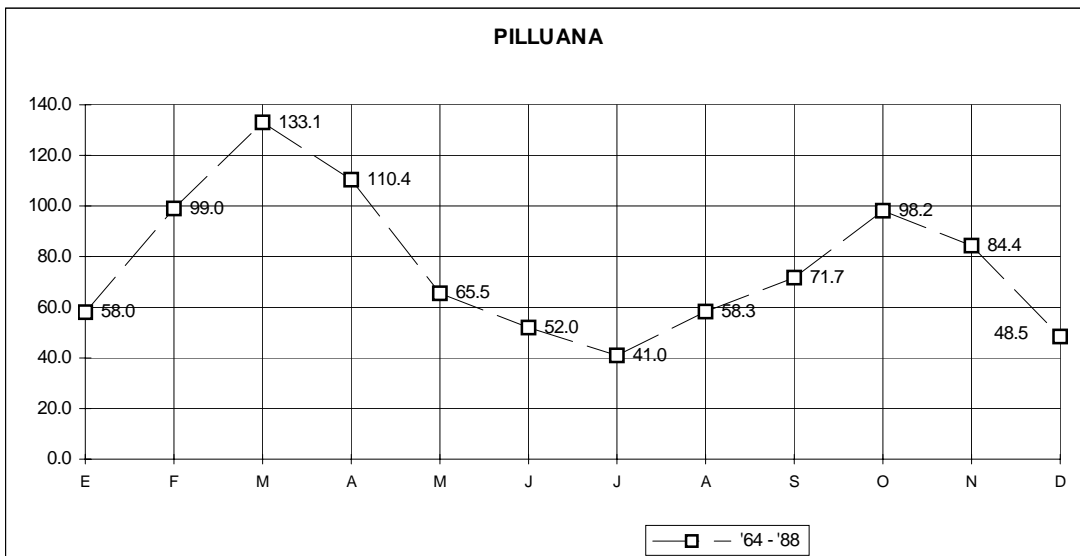
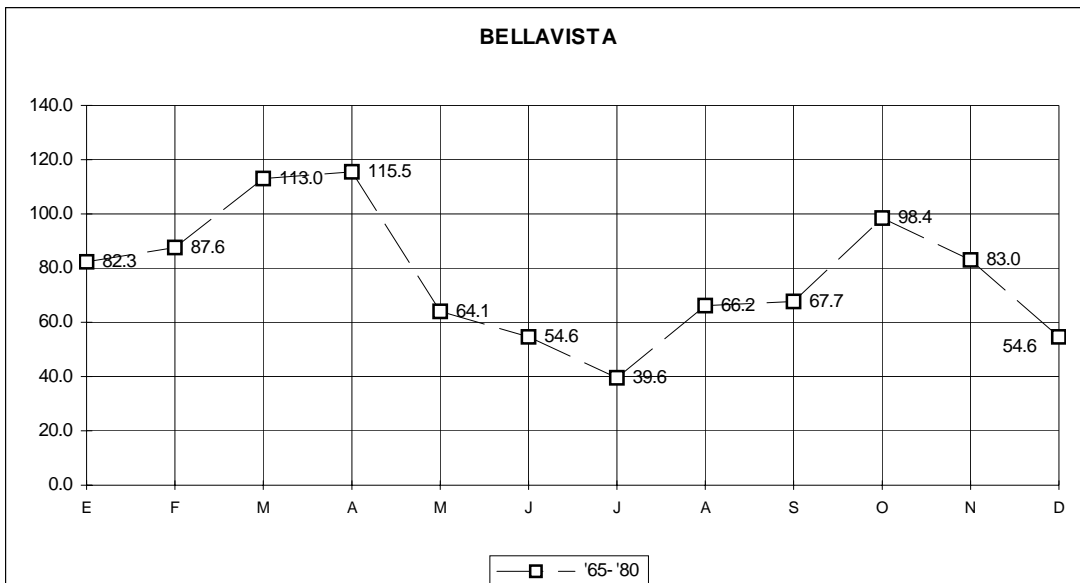
Fuente: 79 – 89 – Planillas Pluviométricas SENAMHI – Tarapoto
 Diagnóstico del Departamento de San Martín

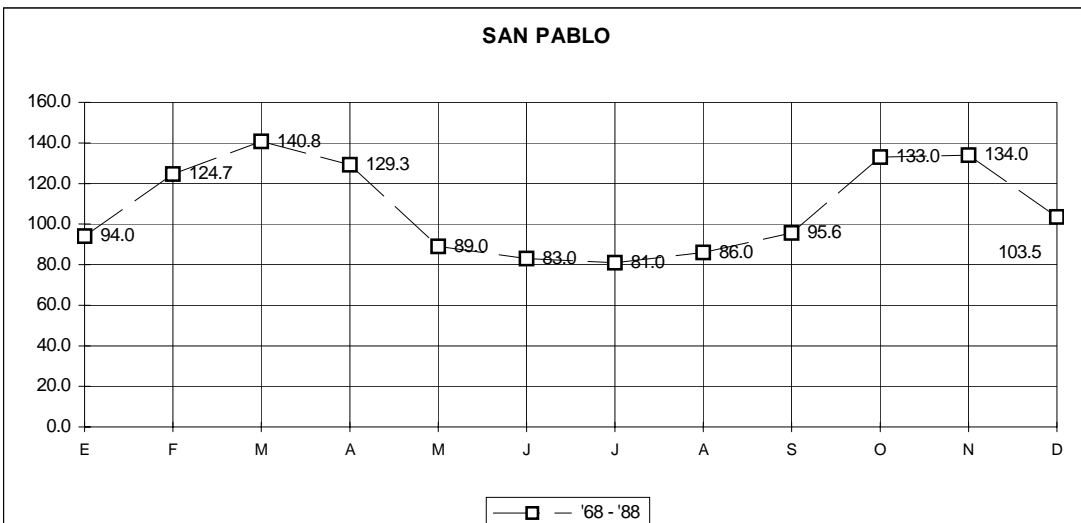
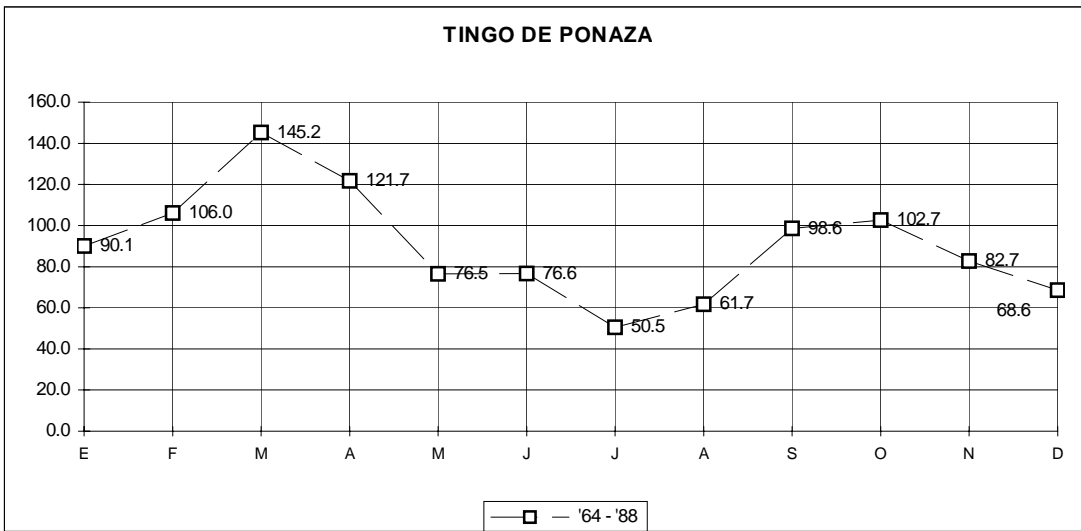
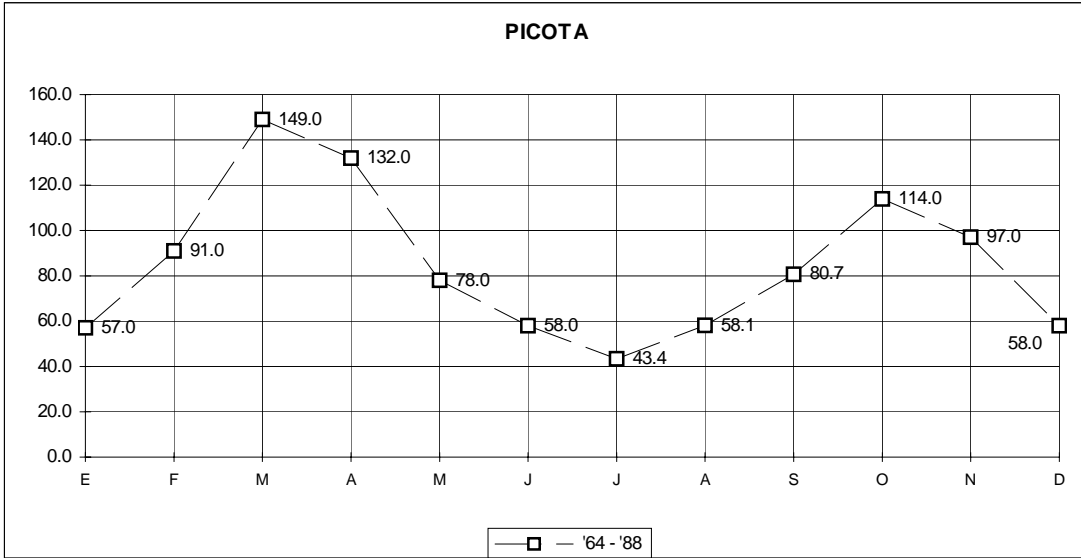


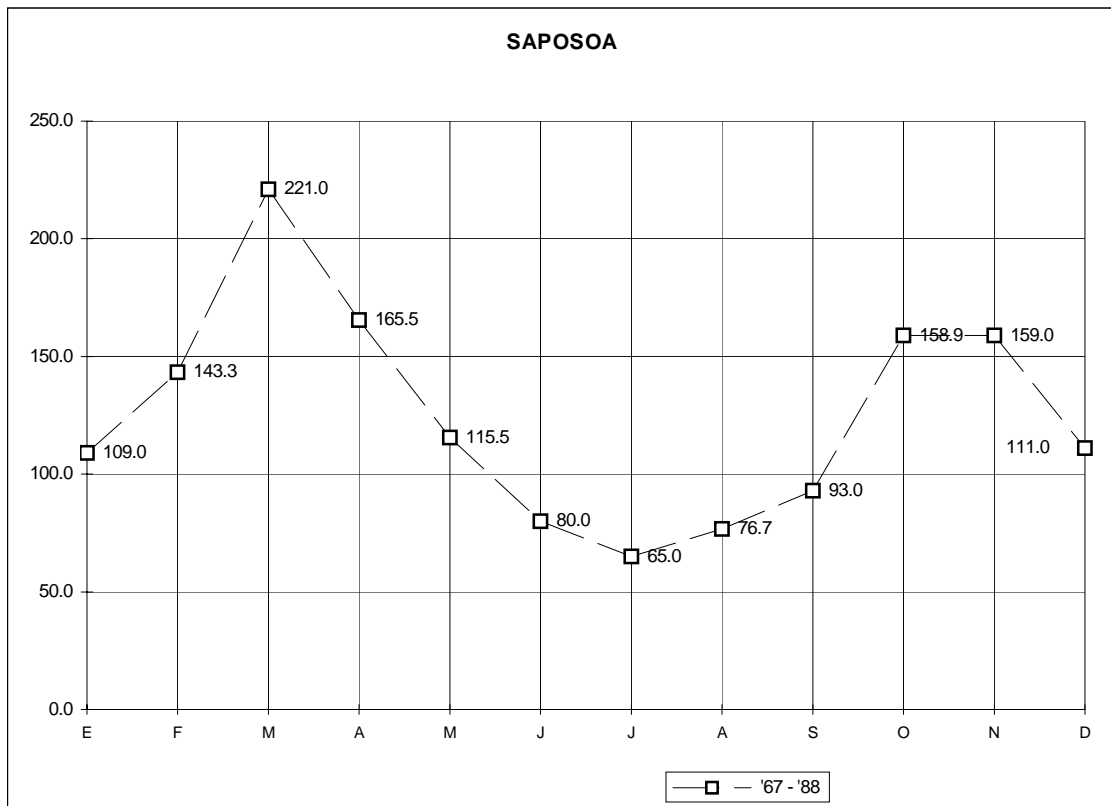
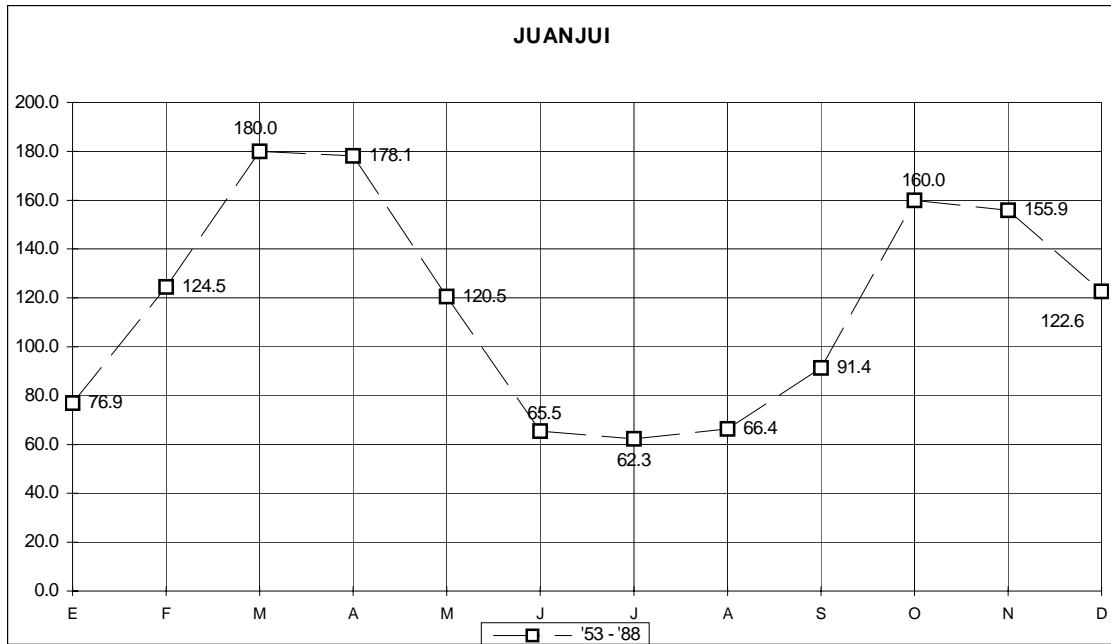
Total Promedio Mensual

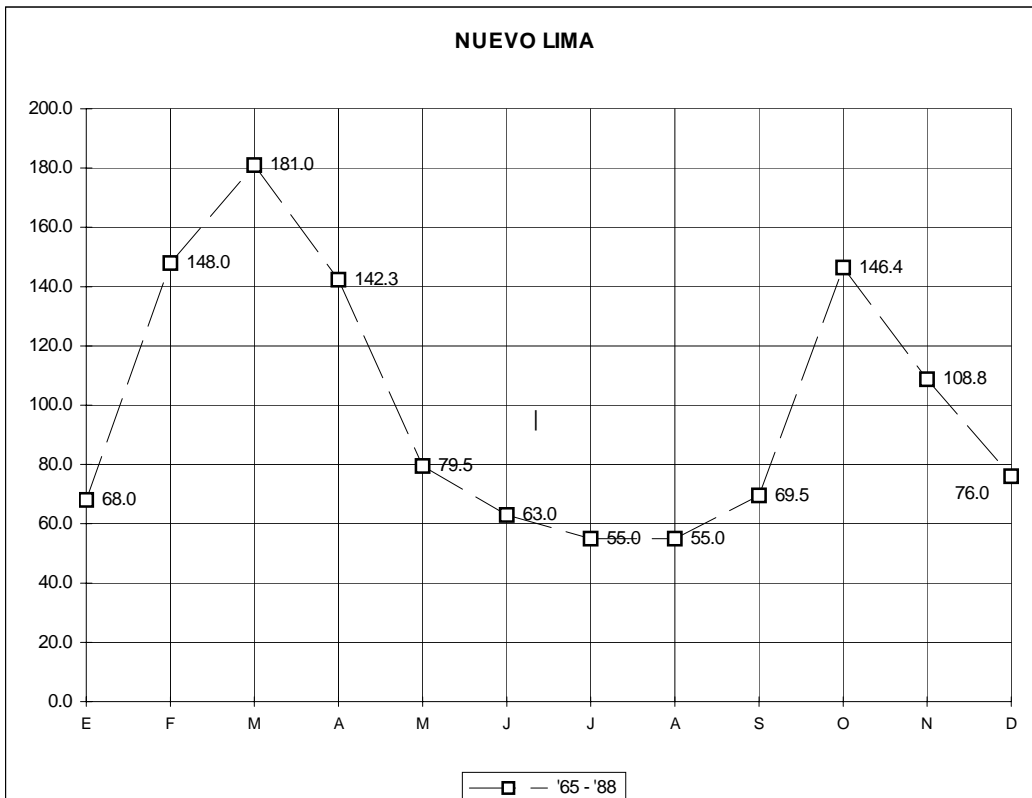
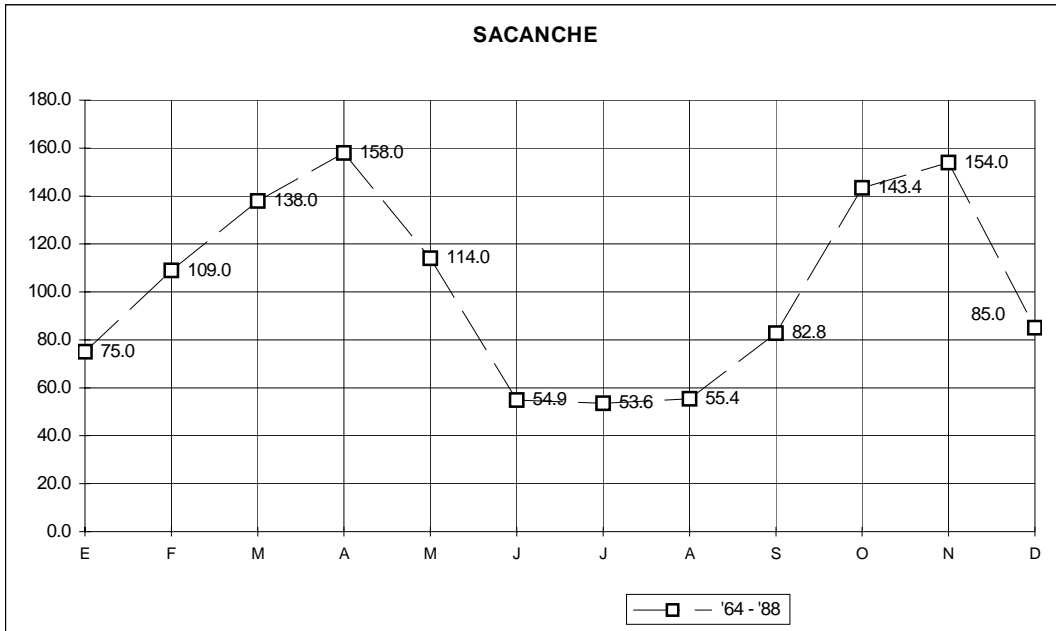
ESTACIÓN	Ene.	Feb.	Mar.	Abr	May.	Jun.	Jul.	Ago.	Set.	Oct.	Nov.	Dic.	PTA
PILLUANA	58,0	99,0	133,1	110,4	65,5	52,0	41,0	58,3	71,7	98,2	84,4	48,5	931,1
PICOTA	57,0	91,0	149,0	132,0	78,0	58,0	43,4	58,1	80,7	114,0	97,0	58,0	966,3
TINGO DE PONAZA	90,1	106,0	145,2	121,7	76,5	76,6	50,5	61,7	98,6	102,7	82,7	68,6	1055,5
SAN PABLO	94,0	124,7	140,8	129,3	89,0	83,0	81,0	86,0	95,6	133,0	134,0	103,5	1267,9
SAPOSOA	109,0	143,3	221,0	165,5	115,5	80,0	65,0	76,7	93,0	158,9	159,0	111,0	1588,9
BELLAVISTA	82,3	87,6	113,0	115,5	64,1	54,6	39,6	66,2	67,7	98,4	83,0	54,6	926,6
SACANCHE	75,0	109,0	138,0	158,0	114,0	54,9	53,6	55,4	82,8	143,4	154,0	85,0	1204,2
NUEVO LIMA	68,0	148,0	181,0	142,3	79,5	63,0	55,0	69,5	69,5	146,4	108,8	76,0	1133,0
LA UNIÓN	67,0	78,0	134,1	125,0	53,4	47,8	50,1	38,3	87,0	87,2	116,0	64,2	964,6
JUANJUÍ	76,9	124,5	180,0	178,1	120,5	65,5	62,3	66,4	91,4	160,0	155,9	122,6	1436,1
PACHIZA	136,3	166,2	227,4	196,7	150,7	94,1	88,2	82,2	125,1	199,6	189,2	150,5	1806,2
Norma Mensual (Huall. Central)	83,1	113,8	160,2	143,1	91,5	66,3	57,2	64,0	87,6	131,1	124,0	85,7	1207,3

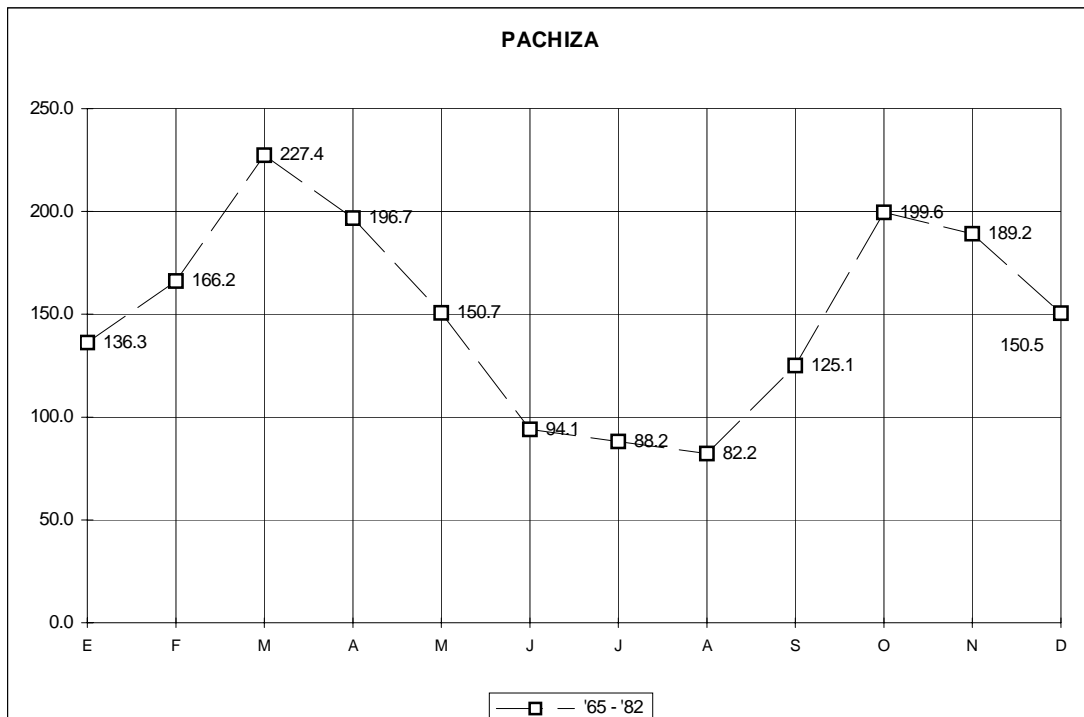
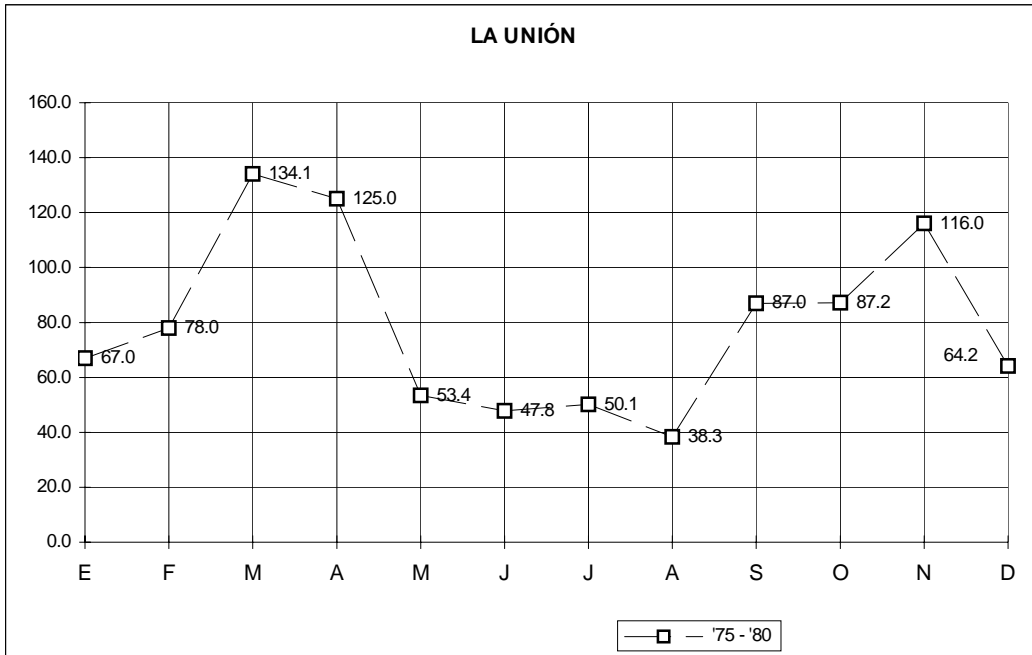
Fuente: 79 – 89 – Planillas pluviométricas SENAMHI – Tarapoto – 89
 Diagnóstico del Departamento de San Martín

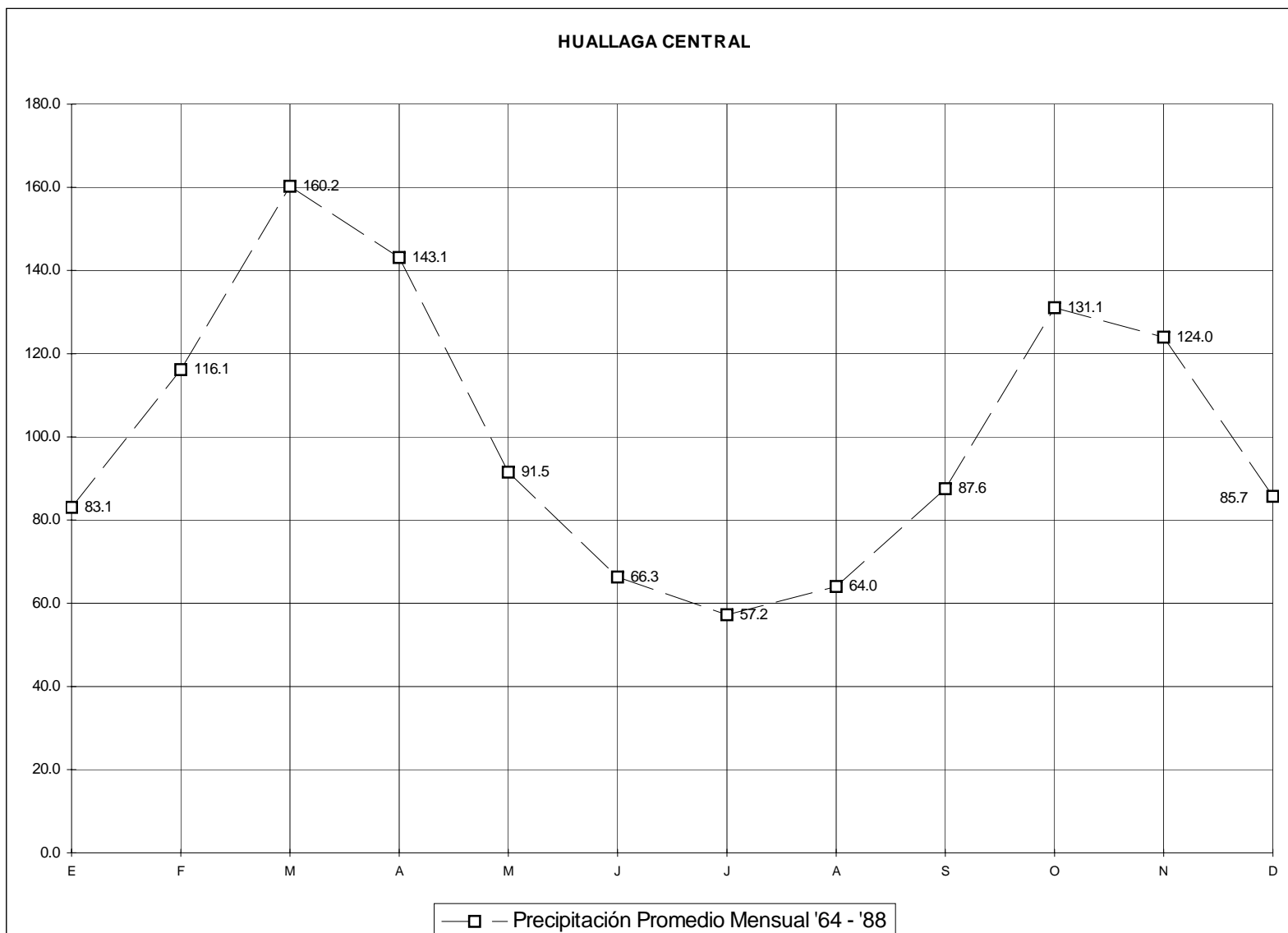












2.4 INFORMACION GEOLOGICA

Las formaciones geológicas del área de estudio, están comprendidas en la era cenozoica y en el sistema cuaternario, de la serie Holocena y Pleistocena. No obstante en toda la extensión del área estudiada y en la región en general, existe una cobertura inconsolidada de suelo residual y orgánico producto de la actividad biológica de la flora y fauna a lo que se suma la actividad antrópica.

Se han identificado depósitos aluviales pleitocénicos en las terrazas localizadas a ambos lados del río Huallaga entre Juanjui y el Tingo de Saposoa (margen izquierda). Estas terrazas se encuentran aproximadamente a 60 m. por sobre el nivel actual del río y representan una erosión y retrabajo parcial de los conglomerados Juanjui y los depósitos aluviales del Holoceno, que son depósitos de gravas, arenas, limos que tapizan los fondos del valle. También tenemos los depósitos fluviales, como gravas gruesas a finas y arenas; que conforman los depósitos Aluvio Coluviales. De la serie Pleistocena tenemos la formación Juanjui que es una secuencia de conglomerados que se encuentran en el área de estudio.

2.5 INFORMACION DE MECANICA DE SUELOS

En el área de estudio se cuenta con escasa información de Mecánica de Suelos realizados por Instituciones públicas o privadas; pero de acuerdo a las características geológicas, podemos mencionar que estos depósitos de cinturones meándricos se forman durante las grandes avenidas del río Huallaga, que inunda parte del área del primer piso de Bellavista, lo que permite que la arena y las partículas de limo, arrastradas por el río sean depositadas a lo largo de las orillas formando líneas conocidas como bordes naturales. Las partículas más finas de suelo, es decir limo y arcillas son depositadas en la planicie de inundación (primer piso). Estas arcillas pueden ser sumamente plásticas.

En el reconocimiento visual del sitio, se puede indicar que la ciudad no cuenta con un drenaje pluvial adecuado. El suelo del segundo y del tercer piso corresponde al conglomerado de Juanjui.

CAPITULO III

ESTUDIOS BASICOS

3.1 TOPOGRAFIA DEL AREA DE ESTUDIO

El área en estudio presenta una topografía en la cual se distinguen cuatro niveles y cada una de estos presentan una pendiente inclinada hacia el río Huallaga. El espaciamiento de las curvas de nivel es cada un (01) metro. (ver plano N° 02).

3.2 GEOLOGIA REGIONAL Y LOCAL DEL AREA DE ESTUDIO

3.2.1. GEOMORFOLOGÍA

Los rasgos geomorfológicos están estrechamente controlados por las estructuras resultantes de los procesos Tectónicos recientes, el tipo de litología, así como la intensidad con que actúan los fenómenos geológicos - climáticos, que se han encargado de darle la configuración actual al relieve de la zona.

Con relación a las morfoestructura regional, el área de estudio, esta ubicada en la parte media de la faja subandina, caracterizada por la afinidad genética de sus geoformas modeladas sobre las estructuras definidas durante el Neógeno; y dentro de la cuenca Hidrográfica del Huallaga Central, constituyendo una zona montañosa cubierta de vegetación boscosa localizada al este de la cordillera oriental.

Las unidades litoestratigráficas tienen su expresión topográfica, así la Formación Vivían conforma el arco de los cerros que rodea la estructura, la Formación Chonta, casi siempre forma el valle o una zona de relieve más suave situado entre estos y los cerros que constituyen la Formación Agua Caliente, de naturaleza escarpada. Las unidades del Paleógeno presentan un relieve moderado irregular en tanto que las formaciones Chambira, Upururo, Juanjui y los depósitos cuaternarios constituyen colinas, lomadas y llanuras.

3.2.1.1. UNIDADES GEOMORFOLOGICAS

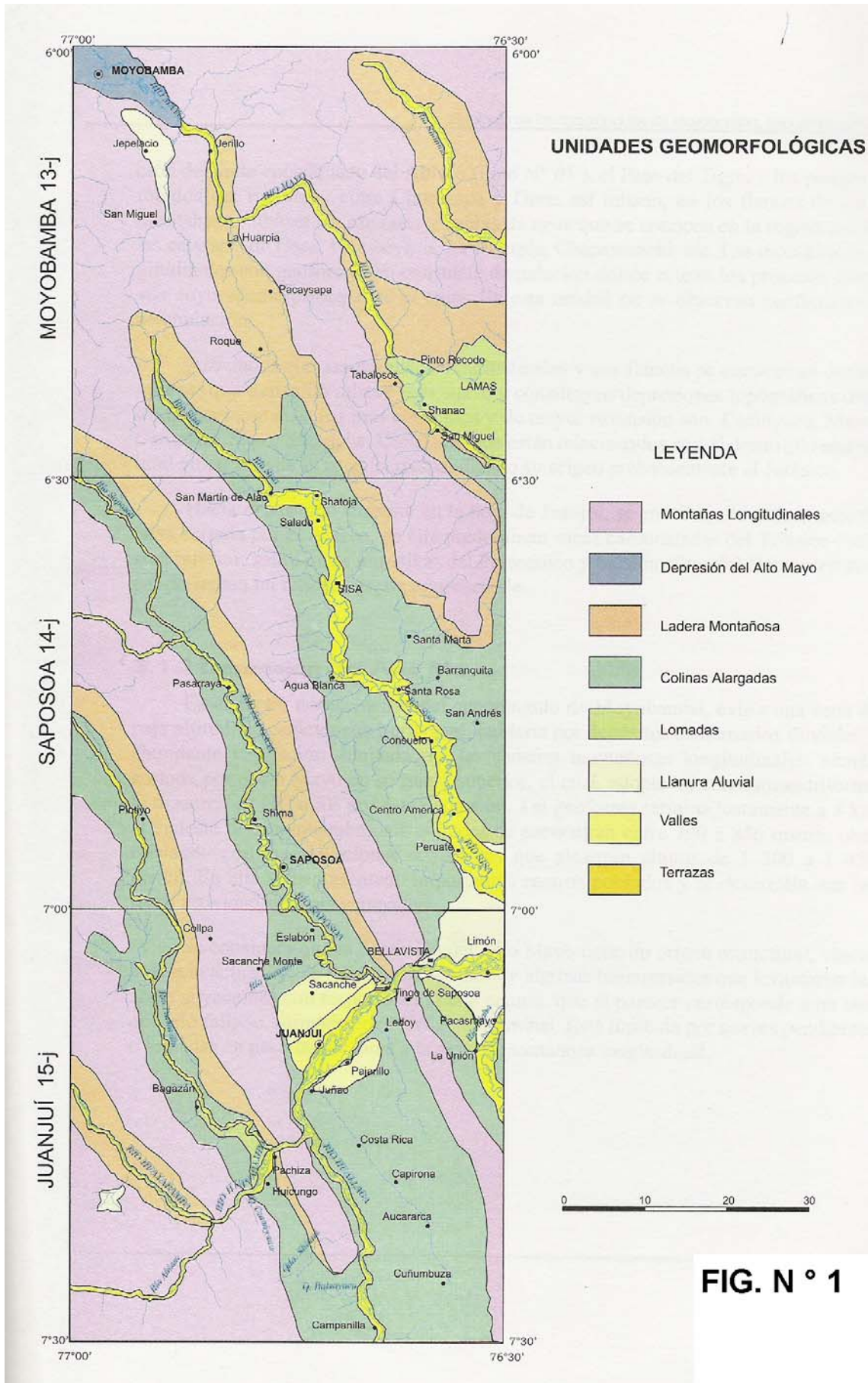
Regionalmente y de acuerdo a las unidades geomorfológicas mencionadas se pueden diferenciar las siguientes unidades: montañas longitudinales, depresiones estructurales, laderas montañosas, colinas alargadas, lomadas, valles y llanuras de inundación, cuya extensión y ubicación se visualiza en la Fig N°.1.

A. Montañas Longitudinales.

La faja subandina en la región del Huallaga tiene como rasgos característicos las montañas longitudinales, que constituyen las mayores elevaciones por franjas continuas de cerros alineados, que tienen una orientación NO – SE (dirección andina), alcanzando cimas de 600 – 700 y 2200 m.s.n.m. al oeste de la localidad de Roque.

Las montañas más notables se encuentran en los cuadrángulos de Moyobamba, Saposoa y en el sector Occidental de Juanjui. Estas montañas dan lugar a la formación del valle del Abiseo, el Paso del Tigre, y los Pongos y rápidos del río Mayo, así mismos en los flancos de estas montañas se ubican las cataratas y caídas de agua. Las montañas longitudinales son geoformas en constante denudación donde actúan los procesos erosivos cuyo agente principal es el agua. En esta ciudad no se observa geoformas de acumulación.

Asociados con las montañas longitudinales y sus flancos se encuentran domos salinos, que tienen un relieve más suave y constituyen depresiones topográficas, así tenemos: Cachiyacu, Mayo, Campana, Sapo y Sacanche; dichos domos están relacionados con el desarrollo estructural emergente de la zona, correspondiendo su origen probablemente al Jurásico.



Hacia el extremo Sur Oeste en la hoja de Juanjui, se encuentra la cadena montañosa cortada por el Abiseo, en ella predominan rocas carbonatadas del Triásico – Jurásico Inferior, sobre rocas intrusivas del Paleozoico y Metamorfitas del Neoproterozoico, que presentan un relieve agreste e inaccesible.

B.- Depresión del Altomayo.

En el sector Nor Occidental del cuadrángulo de Moyobamba, existe una zona de baja altitud que alcanza entre 790 y 856 m.s.n.m, en ella se han asentado importantes centros poblados y se desarrolla una intensa actividad agrícola y ganadera.

Se considera que la depresión del Alto Mayo tiene un origen estructural, vinculado a la actuación de fallas longitudinales y algunas transversales que levantan las áreas adyacentes con respecto a la parte central, que al parecer corresponde a un sinclinorio fallado, formado en el Neógeno terminal.

Esta limitada por suaves pendientes y lomadas en paso transicional a la cadena montañosa longitudinal.

C. Laderas Montañosas.

Esta unidad geomorfológica se caracteriza por la presencia de altas pendientes, las cuales constituyen la parte baja de las altas montañas, marcando el paso transicional a las lomadas. La inclinación de la ladera, es hacia el valle longitudinal, en ella se desarrollan valles intramontañosos transversales de corto recorrido cuyos flancos son en “v”. En muchos casos se observan gargantas, siendo sus perfiles longitudinales muy irregulares debido a la alternancia de litologías diversas. La Ladera Montañosa corresponde a los flancos de anticlinales, donde se ubican unidades menos competentes como la Formación Chonta y la Formación Yahuarango, incluida la Formación Vivian, la que frecuentemente da lugar a la presencia de saltos o caídas de agua que tienen un atractivo singular.

D.- Colinas Alargadas.

Esta unidad geomorfológica es propia de una zona de transición debido a que presenta bajas altitudes entre 400 –

800 m.s.n.m, con un relieve accidentado debido a la presencia de crestas agudas y simétricas, originadas por la alternancia de areniscas y rocas pelíticas menos resistentes que las formaciones Yahuarango, Pozo, Chambira e Ipururo, tienen inclinaciones moderadas a fuertes que corresponden a pliegues, resultantes de la deformación del Piloceno.

Estas geoformas expresan los diversos grados de erosión y las diferencias que existen entre las capas sedimentarias, de tal forma que en la franja de colinas se pueden observar valles transversales y longitudinales cortos, con perfiles variados así como algunas colinas o cerros aislados. Las pendientes de las colinas son moderadas a abruptas en algunos casos.

Las colinas alargadas se observan notoriamente a lo largo de los valles de Saposoa, Sisa, Pachicilla, Biabo y en general en los flancos de los valles longitudinales a modo de franjas alargadas, cuya altitud decrece hacia el centro del valle; constituyendo una ladera bastante degradada adyacente a la montaña longitudinal; tal es el caso de las colinas que se encuentran a ambos lados de las montañas de Pushcana (anticlinal de Bellavista) y su prolongación en el cuadrángulo de Juanjui, o de las colinas que se extienden como una franja de rumbo NO – SE tanto al Norte como al Sur de Pachiza.

E.- Lomadas.

Son un conjunto de elevaciones cortas, que tienen superficies de formas suaves y onduladas de poca pendiente y regular altitud. Se encuentran en las partes bajas de los valles del Sisa entre San Pablo Y Peruaté, en el cuadrángulo de Saposoa entre Shima y Eslabón; en el valle del Biabo al Oeste de Pacasmayo, también se encuentran al Nor Este y Sud Este de Huicungo, las lomadas están separadas por pequeños riachuelos, de curso sinuoso y cubiertos de abundante vegetación, estas geoformas son transicionales a las llanuras aluviales que constituyen los pisos de los valles.

F.- Llanura Aluvial.

Esta geoforma se encuentra principalmente en los valles del río Huallaga, Sisa, Saposoa, Biabo; se caracteriza por la

sucesión de terrazas bajas incluyendo el lecho actual, los que periódicamente son afectadas por inclinaciones relacionadas a las épocas de lluvias, mientras que en épocas de estiaje constituyen islas fluviales, bancos de arena, aguajales, etc. Están formados por depósitos de granos gruesos a finos, arenas y limos.

G.- Valles

Estos relieves negativos, de tamaño y aspecto variable, son desarrollados por los ríos que toman parte de la Hoyada hidrográfica del Huallaga, constituyen depresiones del terreno de longitudes y amplitudes variables. Así tenemos los valles del río Huallaga, Abiseo – Huayabamba, Pachicilla, Saposoa, Sisa, Mayo y Biabo.

H.- Terrazas.

Estas geoformas de acumulación y erosión se encuentran en los principales valles con llanuras aluviales extensas, presentando algunos metros de elevación sobre el nivel del río, en el valle del Huallaga entre Juanjui y el Tingo de Saposoa se observan a ambos lados del río una terraza labrada en rocas de las formaciones chambira, Ipururo y Juanjui, que se encuentran aproximadamente a 50 metros sobre el nivel del río, se trata de una superficie plana cubierta por una delgada capa de conglomerados y areniscas poco consolidadas que pueden considerarse como parte de la Formación Juanjui.

3.2.2 ESTRATIGRAFÍA Y LITOLOGÍA

Las unidades litoestratigráficas expuestas, tienen edades que van desde el Neoproterozoico hasta el cuaternario; así tenemos rocas intrusivas del Paleozoico y metamórficas del Neoproterozoico, unidades del Mesozoico, afloramientos de sedimentitas del Paleógeno, Neógeno, cobertura cuaternaria, unidades sedimentarias del Mesozoico y Cenozoico.

Las rocas que se encuentran en la faja subandina forman parte de la cuenca sedimentaria del Huallaga (ver Fig. N°2), rellena con sedimentos marinos desde el mesozoico y consecuencias clásticas continentales a partir del paleógeno; habiendo actuado desde aquel entonces como una depresión tectónica que fue claramente individualizada durante el Neógeno tardío.

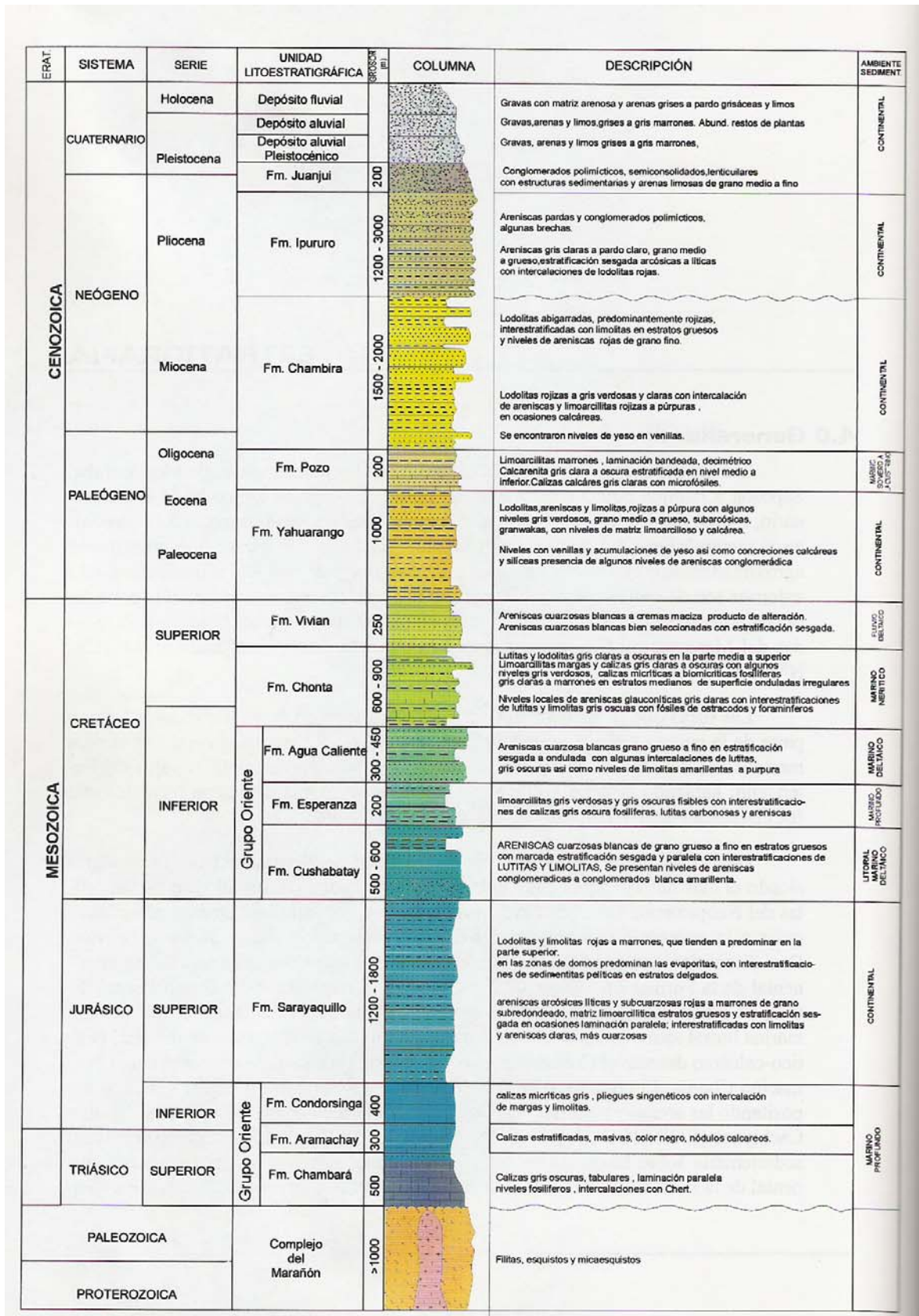


Fig. N° 2

3.2.2.1 Complejo del Marañón (Pe-ma)

Este complejo metamórfico presenta una morfología abrupta disectada que alcanza altitudes por sobre los 1400 m.s.n.m, constituyendo el sector más elevado del cuadrángulo de Juanjui.

Es parte de una franja de afloramientos que se han observado entre los ríos Pajatén y Montecristo, infrayaciendo en discordancia angular a las calizas del Grupo Pucará y que se prolonga hacia el Sud Este del río Abiseo continuando a la hoja de Pólvora. Tal como se observa en otras localidades, la presencia de las rocas metamórficas ésta relacionada a bloques antiguos que han sido levantados, de tal manera que se exponen las unidades más jóvenes de estos complejos, como son esquistos micáceos, filitas y pizarras.

En el caso de la esquina Sur oeste de la hoja de Juanjui, los afloramientos cartografiados como Metamorfitas son bastante inaccesibles, sin embargo, se han encontrado cantos rodados de esquistos gris verdosos y algunas rocas de grano muy fino que se pueden describir como filitas y pizarras con alto contenido de clorita, moscovita, sericita y cuarzo en menor proporción, en algunos esquistos se observa la presencia de biotita y estructuras bandeadas muy discretas.

Conjuntamente con los cantos rodados de rocas metamórficas se encuentran rodados de rocas graníticas tipo granodioritas y tonalitas que según las relaciones observadas en las hojas de Pólvora y Tocache se han emplazado dentro del complejo durante el Paleozoico superior. Por lo tanto, teniendo en cuenta las relaciones estratigráficas y el grado de metamorfismo se considera que dichas rocas son el resultado de procesos de metamorfismo regional ocurrido en el Neoproterozoico; datado aproximadamente en 600 millones de años.

3.2.2.2 Grupo Pucará

El grupo Pucará tiene afloramientos muy restringidos en el cuadrángulo de Saposoa, se le ha observado infrayaciendo a la formación Sarayaquillo en algunos lugares del núcleo anticlinal Bellavista que se encuentra entre los valles de Sisa y Saposoa, en el centro de una cadena montañosa de orientación NO-SE, cubierta por densa vegetación arbórea.

La morfología que generan las calizas del grupo Pucará son abruptas e irregulares con depresiones de disolución, dolinas, crestas y cavernas; tal relieve cártico es más desarrollado en las unidades inferiores, a diferencia de la Formación Aramachay que es menos resistente debido a que tiene un mayor contenido de material clástico fino y su estratificación es más delgada.

En el cuadrángulo de Juanjui existen buenas exposiciones de las tres formaciones del grupo Pucará a lo largo del río Abiseo al Oeste de Churo, que es un Puerto de Control para ingresar al Parque Nacional del Abiseo en su extremo Nor-Oriental:

1.- Formación Aramachay (Ji-a)

Esta formada por capas delgadas a gruesas de calizas micríticas grises oscuras con contenido bituminoso y material clástico fino, la que se intercalan con limonitas calcáreas marrón oscuro en estratos delgados, tabulares y también con calizas bituminosas gris oscuras y calizas dolomíticas delgadas. El rasgo característico de esta unidad es su estratificación tabular delgada con relación a las formaciones Chambará y Condorsinga, y la presencia de algunos módulos calcáreos subesféricos con diámetros hasta de 50 cm., esta formación contiene fauna fósil de ammonites y lamelibranquios, se estima que esta formación tiene un grosor de 250 metros en el río Abiseo.

2.- Formación Chambará (Trji-ch)

Conforma un relieve muy accidentado con presencia de gargantas muy profundas en las desembocaduras de las quebradas afluentes del Abiseo en su margen derecha. En tal unidad se observan estratos gruesos de 60 cm. a

más de 1.00 m., macizos con superficies de estratificaciones onduladas e irregulares. Corresponden a caliza gris a gris oscuras con algunos nódulos silíceos ínter estratificados, con niveles de calizas cristalizadas y espáticas, también se encuentran biomicriticas, micritas y calizas dolomíticas grises. De acuerdo a la extensión e inclinación se deduce un grosor de 400 metros.

3.- Formación Condorsinga (Ji-c)

Esta sobreyace a la Formación Aramachay, concordantemente en los afloramientos del Abiseo, e infrayace a la Formación Saraquillo en el anticlinal de Bellavista en aparente concordancia, pero su techo es una marcada discontinuidad sedimentológica. Su morfología es similar a aquella de la Formación Chambará, es conocida por sus estratos medios gruesos de apariencia maciza con superficies onduladas. Macroscópicamente se describen como calizas micriticas constituidas de lodo de calcita criptocristalina, en algunos casos con presencia de calciesferas, además se tienen calizas cristalinas y biomicriticas, con laminación. No se han encontrado restos de Paleofauna, y su grosor aproximado es de 600 metros.

3.2.2.3 Formación Sarayaquillo (J-s)

Esta formación pertenece al jurásico superior. Ha sido cartografiada y descrita en el flanco de la cordillera Oriental y se extiende hasta la faja Subandina, en el subsuelo de la llanura amazónica.

Los afloramientos que se han registrado en el cuadrángulo de Juanjui tienen mala exposición en el río Abiseo al Nor Oeste de Churo; tanto que al Nor oeste del domo de Sacanche constituye una franja de 1 a 3 Km de ancho que corresponde a un anticlinal limitado hacia el Este por una falla inversa regional que tiene una longitud mayor de 60 Km. Cruza la hoja de Saposoa tomando parte de las montañas que se encuentran al Oeste del valle formado por el río Saposoa. Parcialmente se observan buenos afloramientos en los cortes de la carretera a la colpa y en el río Shima. La Formación Sarayaquillo se halla en el núcleo

anticlinal de Pushcana a lo largo de 40 Km aproximadamente.

La Formación Sarayaquillo es diferenciable por su coloración rojiza, la litología dominante en la mayoría de afloramientos corresponde a areniscas rojas, marrón rojizas, y gris rojizas, intercaladas con areniscas limonitas y lodolitas. Las areniscas se encuentran en estratos gruesos de 50 cm. a más de 1 metro, son macizas y resistentes a la erosión; en general las areniscas abundan en la parte inferior media, mientras que hacia el techo se nota una mayor presencia de lodolitas rojas y areniscas finas en estratos más delgados, no obstante en la parte inferior existen lodolitas rojas bastantes fracturadas en los escasos afloramientos del Abiseo, en el corte de una trocha en la quebrada Shima se han encontrado areniscas arcósicas, sub cuarzosas gris clara a rojas de grano fino a medios en estratos de 1.50 m. de espesor hacia el techo. También existen limos arcillitas grises de 20 a 50 cm. de espesor intercalados con lodolitas en los niveles que están asociados con los domos. Son frecuentes la estratificación sesgada oblicua, tangencial, festoneada y laminación ondulada amplia.

El grosor de la Formación Sarayaquillo se estima en 100 m., aunque este parece disminuir hacia el Sur Oeste del cuadrángulo de Juanjui y engrosa hacia el Nor Oeste en el sector Oriental de la hoja de Moyobamba.

3.2.2.4 Formación Pumayacu

Esta compuesta esencialmente por la Sedimentación de inicio del Cretáceo inferior en el área del Huallaga. Formada por limolitas de color rojo claro con algunas intercalaciones de arcilla. Es una unidad que tiene una sección bien expuesta en la carretera Tarapoto - Yurimaguas, que corta las faldas de los Cerros Escalera, allí esta limitada por dos disconformidades ubicadas una en el techo y otra en la base, con las areniscas de Cushabatay y Sarayaquillo, respectivamente.

3.2.2.5 Grupo Oriente (K)

Este grupo forma los cerros y cadenas de cerros más altos y escarpados que se encuentran en la mayor parte de los cuadrángulos de Moyobamba y Saposoa, siguiendo una orientación NO-SE. Así se tienen extensos afloramientos en las montañas ubicadas entre Moyobamba y Roque, en las montañas al Oeste del Valle del Sisa, “Cordillera de Ayu Mayo”.

En el cuadrángulo de Juanjui las areniscas del Grupo Oriente se localizan al Oeste de la ciudad de Juanjui y Sacanche. En el grupo Oriente del Huallaga se encuentran las formaciones:

1.- Formación Cushabatay (Kj-C)

Esta formada por areniscas macizas blancas y amarillo brunáceas de grano fino a grueso con estratificación cruzada. Es fácilmente diferenciable porque constituye escarpas poco accesibles de areniscas en capas medias a gruesas, con algunas interrelaciones de arcillas limosas grises. Las areniscas de cuarzo de esta formación tienen coloraciones blanco amarillentas a rojizas o marrón rojizas en superficie meteorizada y provienen de rocas metamórficas.

2.- Formación Esperanza (Kj-e)

En esta formación predominan las lutitas arcillo limosas grises intercaladas con areniscas finas en estratos de 50 cm.; contienen material bituminoso y son algo carbonosas, en su sección media se notan algunos estratos de calizas grises en estratos delgados, descritas como micritas y calizas margosas con algunos fósiles. Se deduce que esta formación se acumuló en un medio marino poco profundo donde se depositaba material clástico muy fino.

3.- Formación Aguas Calientes (Ki-ac)

Esta formación pertenece al Cretáceo, presentando rasgos geomorfológicos característicos. Las areniscas son muy resistentes a la erosión y son rocas madres de suelos ácidos; tiene poquísima cobertura vegetal y su bosque es típico. Su litología predominante consiste en

areniscas cuarzosas de color blanco a ligeramente amarillo y algunas veces de color violáceo. Se encuentra al NW de la zona del estudio.

3.2.2.6 Formación Chonta (Kis – ch)

Esta formación pertenece al Sistema Cretáceo y corresponde a una unidad marina. Morfológicamente se caracteriza por ser zona de colinas y terrenos bajos que suceden a los escarpados y terrenos muy empinados que resultan del modelado de las formaciones Sarayaquillo y Aguas Calientes. Su litología predominante consiste en lutitas grises de varios tonos: verdosos claros, azulados y plumizos, y en el tope son de color negrusco con oxidaciones de hierro. Areniscas y calizas generalmente ocurren en la parte superior de la secuencia; origina suelos de alta o muy alta plasticidad.

3.2.2.7 Formación Vivian (Ks-v)

Esta formación pertenece al Sistema Cretáceo Superior, también es conocida por el nombre de “Areniscas de Azúcar”. Morfológicamente se presenta en forma de Crestones, pendientes empinadas o ligeramente empinadas, dependiendo de su posición estructural. Su litología predominante consiste de areniscas muy cuarzosas.

3.2.2.8 Formación Yahuarango (P-y)

Sus características litológicas generan mayormente geoformas suaves con algunos promontorios y colinas alargadas, la litología predominante es de lodolitas y arcillas limosas de color rojo oscuro, concho de vino o violáceos en estratos medios a gruesos, intercalados con limolitas y areniscas grises, rojizas, de grano fino a grueso de forma sub angular a sub redondeada, con matriz limosa.

3.2.2.9 Formación Pozo (P – p)

Morfológicamente forma los terrenos bajos y densamente poblados de vegetación. Su litología predominante es del siguiente modo: lutitas, arcillitas, calizas, lodolitas, areniscas y limolitas.

3.2.2.10 Formación Chambira (PN-Ch)

La formación Chambira, es una sucesión gruesa de lodolitas de colores marrón a rojizo, intercaladas con areniscas marrones y rojizas de grano medio, sub angulosas con matriz más fina, en ellas se puede encontrar algunos guijarros. Es frecuente observar láminas de yeso asociados con los niveles de lodolitas rojas, ocasionalmente se encuentran arcillas limosas gris verdosas a cremas en estratos delgados.

3.2.2.11 Formación Ipururo (N-i)

En esta formación, se pueden diferenciar dos unidades; una inferior constituida por areniscas gris claras o marrón claras que por meteorización toman coloraciones cremas a amarillo claro, intercaladas con lodolitas y pelitas marrón rojizas menos resistentes. La unidad superior consiste de areniscas grises a pardos intercalados con conglomerados polimícticos de formas lenticulares y grosor variable, con capas delgadas de lodolitas y limolitas rojizas.

3.2.2.12 Formación Juanjui (NQ-j)

Esta formada en esencia por conglomerados heterolíticos mal seleccionados y redondeados, los clastos corresponden a rocas intrusivas plutónicas, a rocas volcánicas porfíricas, afaníticas, a esquistos, gneises; además a calizas y areniscas grises y claras. La coloración de los conglomerados es pardo amarillenta a gris pardusca en el sector Juanjui – Bellavista.

3.2.2.13 Formación Cuaternarios (Q)

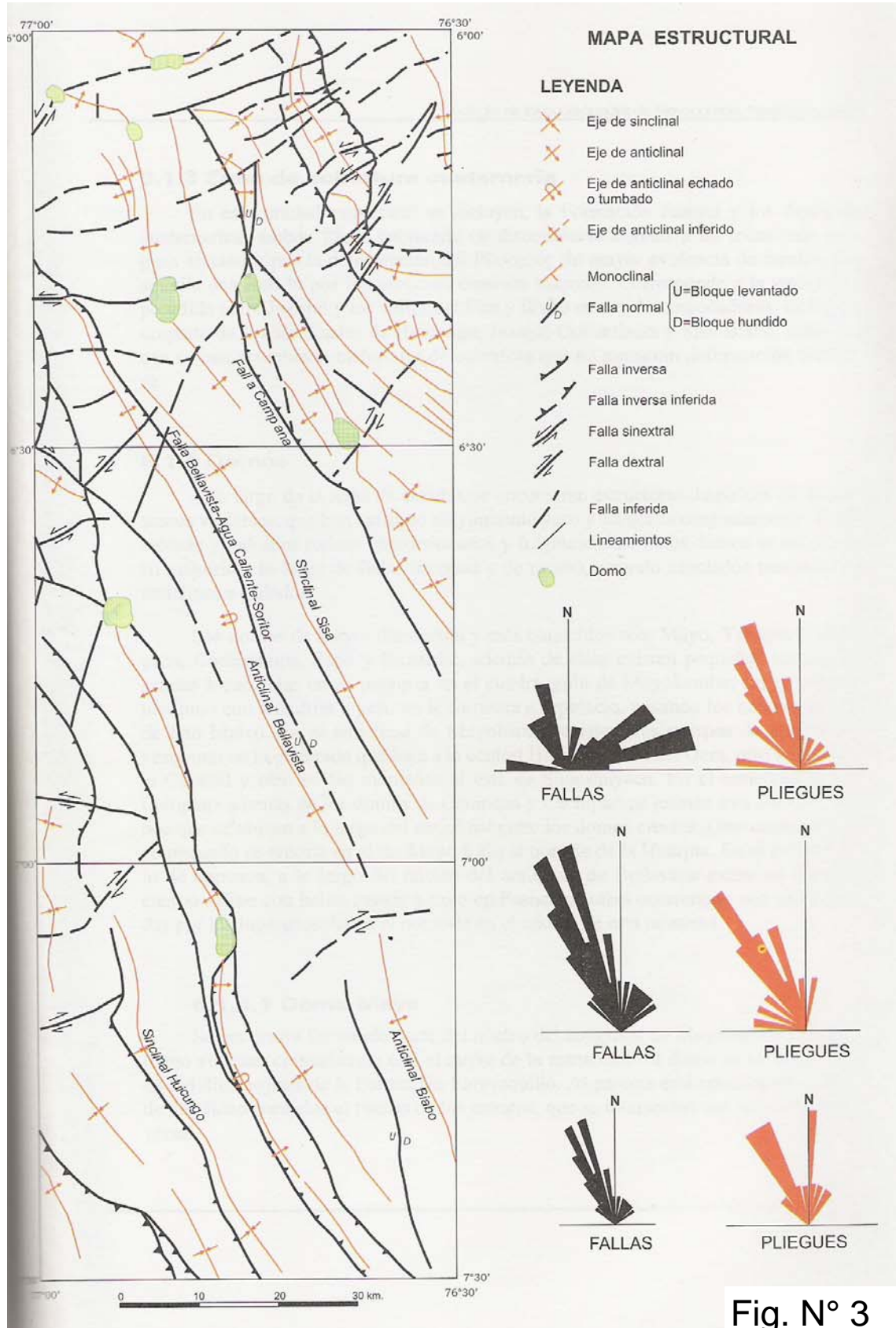
Los depósitos cuaternarios de la zona se han dividido de acuerdo a un criterio genético en:

1.- Depósitos Aluviales pleistocénicos (Qp-al).- Se han diferenciado como tales a depósitos de gravas y algunas arenas que se encuentran en las terrazas localizadas entre Juanjui y el Tingo de Saposoa (margen izquierda del río Huallaga), Así como también entre Juñao y la desembocadura del río Cuñumbuza (margen derecha).

- 2.- Depósitos Aluviales (Qh-al)**- Son depósitos de gravas, arenas, limos que tapizan los fondos de los principales valles, longitudinales y transversales. Estos depósitos considerados del Holoceno son más extensos en los alrededores de Huicungo, entre Juanjui y Bellavista, y de la desembocadura del río Sisa.
- 3.- Depósitos Fluviales (Qh-fl)**- Son depósitos de gravas finas a gruesas y de arenas, vinculadas a los cambios actuales del curso del río y que frecuentemente son sometidos a procesos de erosión y transporte.

3.2.3 Geología estructural

El área de estudio se halla ubicada en la Faja Subandina Nor Oriental, dentro de la cuenca sedimentaria Meso-cenozoica del Huallaga, limitada al Oeste por la cordillera Oriental que representa un macizo antiguo levantado (Bloque marañón), con rocas de Proterozoico Superior, Paleozoico, y del Mesozoico Inferior, que esta limitado hacia el Este por las fallas inversas de alto ángulo, que han permitido su ascenso y la presencia del Huallaga (Fig. N° 3), que es una depresión estructural rellena por secuencia del Mesozoico y Cenozoico, limitado al este por el Alto de Cahuapanas – Cushabatay.



Las fallas y pliegues longitudinales se alteran con un rumbo comprendido entre N 20° W a N 45° W, en oposición se puede notar que existen fallas transversales a la estructura general cuyo rumbo predominante es de N 50° E a N 80° E.

3.2.3.1 Zonas Estructurales

En la esquina Sud Oeste del cuadrángulo de Juanjui, se presenta una zona de terrenos Paleozoicos – Jurásicos, otra zona de terrenos Mesozoicos y una tercera zona por la cobertura cuaternaria; también se considera una cuarta zona a la formación Domos.

- a). **Zona de terrenos paleozoicos – jurásicos.-** Conformada por rocas metamórficas del Neoproterozoico y Paleozoico, cortadas al parecer por intrusivos graníticos del Paleozoico.
- b). **Zona de terrenos Meso-cenozoicos.-** Conformada por rocas cretácicas, paleógenas y neógenas que han sido afectadas por la deformación del Plioceno, y se encuentran plegadas y falladas.
- c). **Zona de Cobertura Cuaternaria.-** En esta unidad estructural se incluyen, la formación Juanjui y los depósitos cuaternarios, ambos yacen cubriendo en discordancia angular a las rocas más antiguas afectadas por la deformación del Plioceno, comprende a las zonas entre Juanjui y los valles del Sisa y Biabo en sus desembocaduras, incluyendo parte de los sinclinales de Huicungo, Juanjui-Cuñumbuque y Sisa-Biabo, sobre los que se han acumulado materiales de cobertura que no muestran deformaciones tectónicas.
- d). **Domos.-** También encontramos los domos que son estructuras diapíricas de dimensiones variables, que han extraído mayormente yeso y anhidrita conjuntamente con limonitas y lodolitas rojizas contorsionadas y fragmentadas. Estos domos se ubican en su mayoría a lo largo de fallas inversas y de rumbo, estando asociados también con anticlinales fallados. Así tenemos los domos de Moyobamba, Yanayacu, Campana, Cachipampa, Sapo y Sacanche.

3.2.3.2 Pliegues.

En el área de estudio se puede reconocer nueve pliegues anticlinales con ejes de dirección NW: el Anticlinal Abiseo, Anticlinorium de Escalera, Anticlinal de Moyobamba, Anticlinorium Ayu-Mayo, Anticlinal de Yanayacu, Anticlinal de Lamas, Anticlinal de Bellavista y el Anticlinal de Shima. Así como también ocho pliegues sinclinales de rumbo Andino, con ejes de dirección NW: el Siclinorium Tabalosos-Pamashto, Sinclinal de la Huarpía, Sinclinal del Sisa, Sinclinal de Costa Rica-Cumbaza, Sinclinal Huicungo y Sinclinal del Huayabamba. La mayoría de ellos han sido afectados por fallas sub siguientes al plegamiento; que tienen rumbos similares.

3.2.3.3 Fallas.

Se pueden observar fallas longitudinales concordantes con la estructura Andina regional, y fallas transversales al rumbo andino, de recorrido corto.

a) Fallas Longitudinales.

Es evidente que la secuencia sedimentaria de la cuenca del Huallaga así como los bloques o altos paleozoicos del Marañon y las Montañas Cahuapamanas-Cushabatay que limitan la cuenca del Huallaga, han sido afectados por esfuerzos compresivos y distensivos, que han generado los pliegues, y fallas regionales de cientos de kilómetros, concordantes con los Andes Centrales. Estas fallas ubicadas en la zona de estudio, generalmente levantan rocas Mezozoicas antiguas dejándolas en contacto con unidades del Cenozoico.

1. **Falla Aguano – Muyuna – Alto Palmichi-Balsapuerto.-** Es una estructura regional que ha levantado a las unidades del Jurásico y Cretácico que conforman las montañas del Cerro Escalera.
2. **Falla Campana.-** Es una falla inversa, que ha levantado el bloque oriental constituido por la

Formación Sarayaquillo y el grupo Oriente contra la Formación Chambira, levantando así mismo el Domo Campana contra el Sinclinal de la Huarpía.

3. **Falla Gera.-** Es una estructura asociada al esfuerzo tensional distensivo del Anticlinal de Moyobamba. Levanta las areniscas y lodolitas rojas de la Formación Sarayaquillo conjuntamente con el Grupo Oriente, en tanto que el bloque de la Formación Chonta se encuentra en un nivel bajo. Se infiere que esta falla es la que marca en parte el cambio Morfológico entre las montañas y la depresión de alto Mayo.
4. **Falla Bellavista – Agua Blanca – Soritor.-** Esta falla Regionalmente asociada a la cadena montañosa de Bellavista – Agua Blanca, sigue paralela al rumbo e inclinación de los estratos en el flanco Este del anticlinal homónimo. Se comporta como una falla Sub Vertical.
5. **Falla Sacanche – Río Potorongo.-** Es una falla inversa pluripilométrica, que se prolonga al Nor Oeste desde el Diapiro de Sacanche hasta la hoja de Rioja y por el Sud Este a lo largo del Huallaga, hasta la localidad de Pishuaya. A lo largo de su recorrido se asocia con los Domos Salinos de Sacanche y Sapo. Esta falla ha levantado el bloque Occidental más antiguo, bajando las rocas más jóvenes en el lado Oriental.
6. **Falla Collpa – Motelillo.-** Es una falla inversa de gran longitud que se extiende desde la altura de Juanjui hasta la hoja de Huayabamba, su movimiento es similar a la falla de Sacanche, levanta en el Oeste a las rocas cretácicas contra las rocas Paleógenas – Neógenas.
7. **Fallas Apana y Soconillo.-** Son dos fallas inversas con inclinación al Este, que limitan a la prolongación

Sur del anticlinal Shima, en su flanco Occidental, afectan rocas del Cretáceo superior hasta el Neógeno; principalmente a la Formación Pozo, ocasionando su desaparición en la Zona Apana.

- 8. Falla Huicungo – Pachicilla.-** Limita las montañas que son cortadas por el río Huayabamba en el paso del Tigre a su lado Oriental, se comporta como una falla inversa. Se ha observado brechas con evaporitas, producto del fallamiento de estas rocas.

Un bloque de calizas del Grupo Pucará ha sido levantado conjuntamente en el Grupo oriente poniéndolas en Contacto con la Formación Ipururo.

- 9. Falla El Churo – Dos de Mayo.-** Esta falla afecta principalmente a rocas del Cretáceo, en su base compresiva, notándose pequeños desplazamientos, probablemente esté asociada al sistema de fallas antiguas reactivadas que han levantado bloques paleozoicos contra unidades Meso-Cenozoicos.

- 10. Falla Breña – Aucurarca.-** según sus características se trata de una falla compresiva ubicada en terrenos Paleógenos-Neógenos (Formaciones Chambira e Ipururo), al oeste del Anticlinal del Biabo; posiblemente relacionada a la última fase de deformación del Plioceno.

b) Fallas Transversales.

Son fallas que afectan el basamento, dichos eventos son regenerativos que reactivan las fallas durante épocas geológicas diferentes.

- 1. Falla Yanayacu.-** Estrechamente relacionada a los cuerpos Salinos de Yanayacu y Gera, otra falla de comportamiento similar es la falla de Canahán y afecta a rocas cretácicas y Paleógenas y está asociada al Domo Mayo.

2. Sistema de Fallas Shanusi – Campana.-

Relacionada a una inflexión en el Anticlinorium del Cerro Escalera – Shanusi. No hay evidencias que afecte al Anticlinorium del Agua Mayo. Sus movimientos principales han sido esencialmente dextrales, aunque se notan movimientos sinistral.

Es evidente que se han formado durante la fase Compresiva Inca, por la deformación de las rocas Mesozoicas. Durante la fase Quechua se habrían reactivado afectando a las secuencias de rocas-Neógenas.

3. Falla San Miguel – Cachiyacu – La Florida.-

Esta falla tiene un movimiento dextral que desplaza a las estructuras de rumbo andino y está asociada al domo de Cachipampa localizado en el límite de los cuadrángulos de Moyobamba y Saposoa.

Otras fallas que cortan a los pliegues y fallas de dirección NW-SE se encuentran en Roque, al Oeste de Nuevo Pucaca en la hoja de Saposoa, también en el domo Sapo se encuentran dos Fallas, una dextral de rumbo N 70° W y otra sinistral de rumbo N 20° E. En Bello Horizonte y al Oeste de Nuevo Sacanche se han interpretado fallas dextrales de dirección N 40° y 60° E, respectivamente; en cambio en Agua Azul (SW de la hoja de Saposoa) y Tambillo (SE de la hoja de Juanjui) se han delineado fallos sinistral de corto recorrido. En Bellavista se interpreta la presencia de una falla dextral de rumbo N 70° E que puede estar vinculada al cambio de dirección del río Huallaga.

3.2.4 ASPECTOS SÍSMICOS

Los estudios geológicos y la historia de actividad sísmica permiten identificar las zonas sismogénicas, es decir aquellos donde existen fallas tectónicas activas cuya ruptura generan los sismos. Los

movimientos sísmicos del terreno representan no sólo a las zonas sismogénicas sino a todas aquellas que están suficientemente cercanas a las mismas, para que lleguen a ellas ondas sísmicas de amplitud significativa. Por lo tanto, el peligro sísmico se refiere al grado de expansión que en un sitio dado tienen los movimientos sísmicos, en lo referente a las máximas intensidades que en él puedan presentarse. En una zona sismogénica se producen sismos de diferentes magnitudes, según el tamaño del tramo de falla que se rompe en cada evento. Ocurre, generalmente, un gran número de eventos de pequeña magnitud y la frecuencia de ocurrencia disminuye en forma exponencial con la magnitud. Se suele suponer un modelo, propuesto por Guttemberg y Richter (1954), para relacionar el número de años que en promedio transcurre entre uno y otro evento de cierta magnitud. Este lapso promedio se denomina Periodo de Retorno y se calcula de la siguiente manera:

$$\text{LogN} = (a+b)*M$$

Donde:

N = Periodo de Retorno

a, b = Coeficientes que definen el grado de actividad sísmica de la zona sismogénica.

M = Magnitud del Sismo

Los sismos, terremotos o temblores de tierra, son vibraciones de la corteza terrestre, generada por distintos fenómenos, como la actividad volcánica, la caída de Techos de Cavernas Subterráneas y hasta por explosiones y/o vibraciones. Sin embargo los sismos más severos y los más importantes desde punto de vista de la Ingeniería, son los de origen Tectónico que se deben a desplazamiento bruscos de las grandes placas en que está subdividida la corteza. Las presiones que se generan en la corteza por los flujos de magma desde el interior de la tierra llegan a vencer la fricción que mantiene en contacto los bordes de las placas y producen caídas de esfuerzos

y liberación de enormes cantidades de energía almacenada en la roca. La energía se libera principalmente en forma de ondas vibratorias que se propagan a grandes distancias a través de la roca de la corteza.

Esta vibración de la corteza terrestre es la que pone en peligro las edificaciones que sobre ella se desplantan, al ser estas solicitadas por el movimiento de su base. Por los movimientos vibratorios de las masas de los edificios, se generan fuerzas de inercia que inducen esfuerzos importantes en los elementos de la estructura y que pueden conducirlos a la falla.

Además de la vibración, hay otros efectos sísmicos que pueden afectar las estructuras, principalmente los relacionados con las fallas del terreno, como son los fenómenos de licuación, de deslizamiento de tierra y aberturas de grietas en el suelo.

El Perú se encuentra en el borde occidental de la placa continental Sudamericana, debajo de la cual se sumerge la Placa oceánica de Nazca, constituida por una corteza más densa que la anterior, casi frontalmente, con un buzamiento entre 20° y 30° y con una velocidad relativa de unos 10 cm. por año. Las manifestaciones externas de este proceso son la fosa marina del Pacífico, la cordillera de los Andes y la presencia de algunos volcanes en el sur del Perú y el norte de Chile.

La distribución espacio-tiempo de los epicentros de los sismos ocurridos en este territorio nos muestra que los mismos pueden estar asociados a:

- Interacción de placas.
- Procesos eruptivos de volcanes
- Fallas geológicas

La mayoría de fallas geológicas son consecuencias del movimiento orogénico superficial, producto a su vez del proceso del levantamiento y formación de la Cordillera de los Andes, a través del tiempo geológico.

El territorio peruano se encuentra ubicado en una de las zonas sísmicas más activas del mundo, dentro del Cinturón Circum-pacífico. Desde la formación de los continentes ha estado bajo la acción y efectos de grandes terremotos, cuyas referencias sólo datan a partir de la presencia española, basada en relatos y narraciones; a partir del presente siglo, con datos instrumentales.

En base a dicha información se han elaborado diversos estudios, una síntesis de estos, es el mapa de Zonificación Sísmica del Perú, este mapa considera al territorio peruano dividido en tres zonas, de acuerdo a la Sismicidad observada y a la potencialidad sísmica de cada zona:

Zona III: Sismicidad Alta	Zona II: Sismicidad Media	Zona I: Sismicidad Baja
---------------------------	---------------------------	-------------------------

De acuerdo a dicha zonificación, la región San Martín se encuentra en la zona II (de Sismicidad media). **(Ver plano N° 03)**

La presencia de fallas geológicas del país, la activación de algunas de dichas fallas, y el mapa sísmico que muestra los epicentros de los últimos siglos revelan la Sismicidad media de la región. Esta Sismicidad se debe a fallas netamente tectónicas, ocasionado por el movimiento orogénico del proceso del levantamiento de la Cordillera de los Andes, que activan las fallas geológicas. En esta región no existen volcanes por lo que la génesis de dichos movimientos no se deben a estos.

En la zona en estudio no se cuenta con datos de Sismicidad por la falta de estaciones sismográficas.

En la Región San Martín la actividad sísmica está vinculada a fallas geológicas superficiales y/o de reciente formación, presentándose

también hipocentros a profundidades mayores a 33 Km.; son un reflejo de la interacción de las placas Sudamericana y de Nazca.

El número de terremotos registrados en la zona en estudio, es 1 a una profundidad entre 0 y 33 Km. ; 1 entre 33 Km. y 100 Km., y 1 entre 100 Km. y 300 Km. Si bien es cierto dichos terremotos no han afectado considerablemente a la ciudad de Bellavista, debido a su baja vulnerabilidad territorial, se pueden apreciar viviendas con grietas importantes, debido a la acumulación de efectos sísmicos.

San Martín es una de las regiones del Perú que ha manifestado una actividad sísmica notable, evidenciada con daños en varias ciudades y centros poblados con los dos últimos terremotos ocurridos (1990 y 1991)

El presente trabajo es un esfuerzo preliminar para conocer la Sismicidad instrumental de la región, elaborado en base a los datos del Catálogo Sísmico del Perú.

El Catálogo Sísmico del Perú (Alva Hurtado) señala eventos ocurridos entre 1900 y 1984; de allí se han extraído los correspondientes al área de estudio, incluyendo datos de los últimos terremotos, los que se muestran en los cuadros del presente anexo (ANEXO N°1).

Los parámetros que identifican a un terremoto, desde el punto de vista matemático son:

- (1) El tiempo de ocurrencia, que significa hora, minuto y segundo, datos usualmente en el tiempo medio de Greenwich (GTM) o Tiempo Universal Coordinado (UTC);
- (2) La localización, que significa en coordenadas geocéntricas, la longitud y latitud, en grados, del epicentro (esta información se utiliza en estudios de distribución espacial de la Sismicidad); y
- (3) La profundidad, que significa el punto donde se origina el primer movimiento, y localiza el hipocentro del evento (esta información se utiliza en estudios de distribución en profundidades de la Sismicidad).

Otros parámetros del terremoto que lo identifican como evento aleatorio son:

- La fecha, que significa día, mes y año (esta información se utiliza en estudios de distribución en el tiempo de la sismicidad);
- El tamaño, ya sea:
 - o Instrumentalmente cuan grande o pequeño fue el terremoto en función de una ley de escalamiento de magnitudes, por ejemplo: m_b y/o M_s (esta información se utiliza en estudios de distribución de tamaño de la sismicidad),
 - o No instrumentalmente cuan grande o pequeño fue el terremoto, en función de una escala de intensidad, por ejemplo: la escala de intensidad Mercali Modificada (Ver glosario del presente acápite). Una clasificación en esta escala es cuando se le asigna a un punto en el área sacudida por un sismo, utilizando cuestionarios en el campo y comparando después los resultados de los efectos del sismo con la escala.

Otro tipo de información sobre el terremoto se refiere a la relación del evento con la actividad volcánica, al daño sufrido por las estructuras construidas o a los efectos de deformación del terremoto observado, tales como fallamientos, licuefacción, falla del suelo, deslizamiento, aludes, derrumbes, subsidencias, etc.. También los daños producidos por un evento son de importancia en su identificación, daños sufridos por la población, o el daño de las líneas vitales como carreteras, sistemas de abastecimiento de agua, construcciones críticas (hospitales), etc.

La información instrumental se complementa con la de los datos históricos

El listado de datos instrumentales “Es una versión muy cuidadosamente editada de todos los registros de terremotos

instrumentales desde 1900 hasta 1984” (Catálogo Sísmico del Perú, 1985).

Para el presente estudio se han considerado sólo los datos que se encuentran entre las latitudes 4° y 9.5° sur, y entre las longitudes 73° y 79° oeste, área que incluye la región estudiada.

Las tablas contienen los siguientes datos:

- (1) **N° C.S.** : indica el número consecutivo asignado a la lista cronológica, en el Catalogo Sísmico del Perú
- (2) **N°:** que indica el número consecutivo asignado a la lista cronológica.
- (3) **Fecha:** identifica el año, mes y día de ocurrencia del número de evento.
- (4) **Hora:** identifica la hora, minuto y segundo en tiempo universal (UTC o GMT)
- (5) **Lat. S.:** es la coordenada Latitud Sur de la localización del epicentro del evento, en grados sexagesimales (Deg. = °).
- (6) **Lon. O.:** es la coordenada Longitud Oeste de la localización del epicentro del evento, en grados sexagesimales (Deg. = °).
- (7) **Profundidad.** : lista de la profundidad focal del terreno en kilómetros. Para algunos eventos, junto a la profundidad focal se presenta un símbolo de control de profundidad que puede ser:
 - A.- Profundidad Asignada
 - D.- Profundidad registrada utilizando otras fases de profundidad.
 - G.- La profundidad está restringida por un geofísico que esta examinando y determinando la calidad de la solución.
 - N.- Restringida a profundidades normales de 33 Km.

(8) **Magnitud:** lista de la magnitud en base a las ondas internas (m_b) y/o la magnitud en base a las ondas superficiales (M_s), y su fuente de determinación:

PAS.- Pasadena (Laboratorio Sismológico California Institute of technology).

ISC.- International Sismological Center.

BKR.- Berkley, California.

Al dato de magnitud también acompaña, cuando está disponible, el efecto percibido por el hombre (Efectos Culturales):

H.- se escuchó ruido debido a la ocurrencia del terremoto

P.- el terremoto fue sentido

C.- el terremoto causó daños

D.- el terremoto produjo daños en estructuras construidas por el hombre

En el anexo N°1, se ordenan los registros sísmicos de acuerdo a su ubicación geográfica (latitud sur, longitud oeste), mostrando también las características del cuadro anterior.

En esta tabla, la región limitada por las latitudes 4° y 9.5° sur, y entre las longitudes 73° y 79° oeste, esta subdividida en 26 cuadrículas.

La información de esta tabla, es la misma que la de la anterior para todas las magnitudes de terremotos registrados en todo el mundo, pero reorganizada de forma que facilite la separación de una subdivisión de 1° X 1° y que permita determinar la Sismicidad y el tamaño de los terremotos que ocurrieron en dicha área, de manera rápida.

GLOSARIO

Célula. Una división Geográfica pequeña de un área o áreas, que tiene 0.5° X 0.5° en extensión. Un grupo de células conforman una

cuadrícula con dimensiones de 4° X 4° en el Catalogo sísmico del Perú.

Código de Estación. Abreviación de las estaciones de la red Mundial de estaciones Sismográficas Estándar (WWNSS) mencionadas en este trabajo BRK, Berkeley, California

PAL, Palisades, Nueva York

PAS, Pasadena, California

Cuadrícula. Una subdivisión de un área o áreas, teniendo una dimensión de 4° X 4° en el Catalogo sísmico del Perú.

Epicentro. El punto en la superficie de la tierra verticalmente por encima del hipocentro o punto de generación de un terremoto.

Hipocentro. El punto origen de un terremoto, donde la rotura comienza y desde donde se originan las ondas sísmicas.

Intensidad. Un índice subjetivo numérico que describe los efectos de un terremoto en el hombre, en sus estructuras y en la superficie de la tierra. En el Perú y en otros países se utiliza la de Mercalli Modificada con grados del I al XII como se describen a continuación (Modificada de Richter, 1958):

ESCALA DE INTENSIDADES MERCALLI MODIFICADA

- I. No sentido, excepto por algunas personas bajo circunstancias especialmente favorables.
- II. Sentido solamente por unas pocas personas en reposo, especialmente en pisos superiores de edificios. Objetos suspendidos delicadamente pueden balancearse
- III. Sentido de forma notoria en interiores, especialmente en pisos superiores de edificios; muchas personas no lo reconocen como

temblor. Vehículos estacionados pueden balancearse ligeramente. Vibración como un camión pasando. Se estima la duración.

- IV. Durante el día lo sienten muchos en interiores, en exteriores lo sienten algunos. En la noche algunas personas se despiertan. Los platos, ventanas y puertas oscilan; las paredes hacen un sonido chirriador. Se tiene la sensación que un camión pesado ha chocado el edificio. Vehículos estacionados se balancean notoriamente
- V. Sentido por casi todos, muchos se despiertan. Algunos platos, ventanas, etc. se rompen; en algunos casos el enlucido se agrieta; objetos inestables volcados. Algunas veces se notan perturbaciones en árboles, postes y otros objetos altos. Los péndulos de los relojes se pueden parar.
- VI. Sentido por todos, muchos se asustan y corren hacia fuera. Algunos muebles pesados se mueven; unos cuantos casos de caídas de enlucidos o chimeneas dañadas. Daño ligero
- VII. Todos corren hacia afuera. Daño insignificante en edificaciones bien diseñadas y construidas; daño considerable en estructuras mal diseñadas o construidas, notada por personas conduciendo vehículos.
- VIII. Daño ligero en estructuras diseñadas especialmente; daño considerable en edificaciones ordinariamente resistentes, con colapso parcial; gran daño en estructuras construidas pobremente. Los paneles de pared se caen de los pórticos de la estructura. Caída de chimeneas, torres de fábricas, columnas, monumentos, paredes. Muebles pesados se vuelcan. Se expulsa arena y lodo en pequeñas cantidades. Cambio en el agua de pozo. Se perturban las personas conduciendo vehículos.
- IX. Daño considerable en estructuras construidas especialmente; estructuras porticadas bien diseñadas salen fuera de plomo; gran daño en edificios resistentes, con colapso parcial. Edificios salen fuera de las cimentaciones. El terreno se agrieta visiblemente, las tuberías enterradas se rompen.

- X. Algunas estructuras de madera bien construidas se destruyen; la mayoría de estructuras porticadas y de albañilería se destruyen con la cimentación; terreno muy agrietado. Los rieles se doblan. Deslizamientos considerables en diques de ríos y taludes pronunciados. Arena y lodo transportados. Agua se rebalsa sobre los diques.
- XI. Muy pocas estructuras de albañilería permanecen de pie. Se destruyen puentes. Fisuras gruesas en el terreno. Tuberías enterradas completamente fuera de servicio. Hundimientos y fallas en terrenos blandos. Los rieles se doblan grandemente.
- XII. Daño total. En la superficie del terreno se ven ondas. Líneas de vista y nivel distorsionados. Objetos lanzados hacia arriba.

Isosistas. Líneas de contorno de igual intensidad

Magnitud. (m_b , M_s). Una cantidad característica de la energía total liberada por un terremoto. La "intensidad", a diferencia de la magnitud, describe el efecto de un sitio particular. Richter (1958) propuso la escala logarítmica de magnitud, que esta en función del movimiento que se medirá en un sismógrafo de tipo estándar localizado a 100 KM del epicentro de un terremoto, m_b es la magnitud en función de las ondas internas, y M_s en función de ondas de Superficie. En el **Anexo N° 01** podemos observar el registro de sismicidad en la Región San Martín

Historia Sísmica de la Región

Los sismos más importantes que afectaron la región y cuya historia data de los últimos años han permitido conocer que la intensidad máxima, en la escala modificada de Mercalli (EMM) de los sismos que han ocurrido en esta zona es del orden de VI a VII grados (Mapa Geológico sismo-tectónico).

Se puede apreciar que la historia sísmica de la región en estudio muestra la presencia de tres zonas sismogénicas claramente definidas:

- En el Alto Mayo, la zona de Pucatambo (en la provincia de Rioja) y la zona de Angaiza (en Moyobamba).
- En el Huallaga Central, la zona entre Saposoa y Sisa, que incluye el área circundante a Bellavista, a los valles de los ríos Saposoa y Sisa, y
- A los pueblos y ciudades que se encuentran en ellos (provincias de Mariscal Cáceres, Huallaga, El Dorado, y Picota).

Esto no significa que las demás zonas no se encuentren vulnerables ante este peligro, pues también se ha observado daños en ciudades de las provincias de Lamas y San Martín.

La presencia de los terremotos ocurridos en los últimos 20 años (Juanjui -1972, Rioja - 1990, Moyobamba - 1991), han puesto de manifiesto en forma catastrófica la extraordinaria vulnerabilidad sísmica de las ciudades afectadas y de la región en general.

El 20 de Marzo de 1972 ocurrió un terremoto de magnitud $M_s = 6.5$ que afectó la zona centro-sur del Dpto. de San Martín, ocasionando funestas consecuencias en Juanjui (con 200 casas afectadas⁴) y en Saposoa; se observó también el fenómeno de licuación de suelos. Se interrumpieron las siguientes carreteras: Tarapoto-Yurimaguas, debido a derrumbes en diferentes sectores; Puente Colombia - Shapaja, debido a deslizamientos de la plataforma; Tarapoto - Río Nieva y Cacatachi - Lamas; con reposición del tráfico casi inmediatamente.

El último sismo ocurrió el 04 de Abril de 1991 cuyo epicentro se localizó aproximadamente a 30 Km. Al Nor Oeste de la Ciudad de Moyobamba, en las cercanías del cerro Angaiza, conocido como Morro de Angaiza.

⁴ Defensa Civil - Comité Multisectorial de Emergencia. "Informe de Actividades del Comité Multisectorial de Emergencia - 15 Marzo 1972 - 5 Abril 1972".

3.3 HIDROLOGÍA DE LA ZONA

La red hidrográfica de la ciudad de Bellavista esta dominada por el Río Huallaga, que inundan las orillas del primer piso. Está rodeada también por las quebradas de Intiyacu, al sur, y por la quebrada Baños, al norte.

En lo que al drenaje se refiere, Bellavista cuenta con una pendiente relativamente fuerte, la cual permite el rápido y fácil discurrir de las aguas pluviales, en época de lluvias, ayudando a esto la red parcial existente de drenaje pluvial de la ciudad, constituido por cunetas, el cual genera en muchos casos el estancamiento y colmatación en las zonas bajas específicamente en los sectores bajos de la ciudad. En consecuencia esto representa un eminente peligro por la socavación que genera y la vulnerabilidad derivada de la precariedad de algunas viviendas. Es por eso que se hace necesario establecer dentro del plan de desarrollo el estudio integral de drenaje pluvial de Bellavista.

3.3.1 CLIMATOLOGIA

Según la clasificación de KOEPPEN W. se ha distinguido solo el clima selva tropical (AF), clima tropical permanentemente húmedo y calido, la temperatura media de todos los meses es superior a los 21° C. La precipitación pluvial anual es superior a los 750 mm., con clara disminución durante el invierno, la altitud predominante es de 200 m.s.n.m., sin embargo la distribución de temperatura es inversa a la altitud, teniéndose generalmente las siguientes temperaturas promedios anuales.

- Mayores a 25.1 °C en el 64 % del área, abarcando los valles del Huallaga, y la llanura Amazónica.
- 23.1 °C a 25 °C en el 30% del área, en la mayor parte de las elevaciones subandinas.
- 21.1 °C a 23 °C en las elevaciones de mayor altitud (6% del área.)

3.3.1.1. PRECIPITACIONES

Las mayores precipitaciones se presentan entre los meses de Febrero a Abril (más altas) y de Octubre a Noviembre, decreciendo en los meses de Mayo a Setiembre y de Diciembre a Enero.

Las precipitaciones pluviales anuales, siempre son superiores a 800 mm. sin sobrepasar los 1700 mm. La humedad atmosférica es alta durante todo el año igual que la evapotranspiración.

Las áreas que se cubren con mayor frecuencia de nubes son los cerros al Oeste de Bellavista y el frente Oriental de la Faja subandina que se comportan como barreras de contención de los vientos que desplazan las nubes desde el Este.

3.3.2 HIDROLOGIA

Es la ciencia que estudia el agua, su frecuencia y distribución en la superficie de la tierra y su relación con los seres vivientes.

Al tratar la hidrología de la zona, básicamente nos referimos al conocimiento de los efectos naturales y económicos.

La hidrología tiene un papel esencial en todo proyecto, como en su ejecución y operación.

La ciudad de Bellavista se encuentra entre los 238 y los 333 m.s.n.m., la falta de un adecuado sistema de drenaje que permita el encauzamiento de las aguas de lluvias provenientes del segundo y tercer piso, a través de obras que garanticen su evacuación inmediata, constituye un problema al área urbana en el primer piso de esta ciudad, trayendo como consecuencia el deterioro de la infraestructura de viviendas asentadas en las partes bajas, y la integridad física de los moradores.

El estudio hidrológico de la zona nos permitirá evaluar:

- Los gastos máximos y la frecuencia de ocurrencia de las crecidas.
- Las probabilidades de embalse para poder establecer el flujo de la corriente con el objeto de garantizar el servicio.
- La recuperación de terrenos con anegamientos.

Bellavista de acuerdo a su topografía, tiene subcuencas de drenaje natural, los cuales son un caso condicionante para el proyecto.

Las lluvias pueden durar, minutos y días enteros que pueden abarcar zonas pequeñas y toda la región.

Se ha realizado el reconocimiento detallado de los sistemas hidrográficos, morfológicos, y de las infraestructuras existentes, para lo cual se utilizó el plano catastral de de la ciudad.

Con la finalidad de realizar el estudio hidrológico de la ciudad se ha subdivido de acuerdo a la topografía del área de estudio, en cuencas y sectores. Como son:

1. **Cuenca del Jirón Ayacucho.**-Colecta aguas del tercer piso y las deriva, una parte a la Av. Lima, otra al Jr. Ancash, otra a la zanja borrico y el resto al primer piso.
2. **Cuenca del Jirón Progreso.**- Nace en la intersección con el Jr. Ayacucho y deriva aguas directamente a las orillas del río Huallaga.
3. **Cuenca del Jirón Ricardo Palma.**- Colecta aguas del 2do piso y las deriva al primer piso.
4. **Cuenca Andrés Avelino Cáceres.**- Colecta las aguas de las laderas en la zona baja del segundo piso.
5. **Cuenca del jirón A.B. Leguía.**- Recepciona las aguas de exceso provenientes de las partes altas y las deriva al río Huallaga.
6. **Cuenca de la Zanja Borrico.**- Nace en el Jr. Moyobamba en el tercer piso, colecta aguas del cuarto piso y las deriva hacia el río Huallaga pasando por el barrio El Porvenir.

7. **Sub Cuenca de la Zanja de la Av. Lima a la carretera marginal.-** Nace en la confluencia de la Av. Lima con el Jr. Ancash, en el tercer piso, colecta aguas del cuarto piso (colectadas en el Jr. Ayacucho), así como las colectadas del sector aeropuerto y las deriva hacia el río Huallaga cruzando la carretera marginal por una alcantarilla en proceso de colapso, entre el barrio El Porvenir y el camal.
8. **Sub Cuenca del jirón Manco Cápac.-** Capta aguas de las laderas en la zona baja del tercer piso, y las deriva hacia el barrio San Juan.
9. **Sub Cuenca del sector Intiyacu.-** Capta las aguas del sector Intiyacu, derivándolas al río Huallaga y quebrada Intiyacu.

De las cuencas estudiadas existen cuatro (04) drenes principales que recogen las aguas superficiales del sistema de drenaje pluvial de la ciudad, como son: Zanja Borrico, drenes existentes en los jirones Ayacucho, Progreso y San Martín.

En el presente trabajo se cuenta con los registros de precipitación en un periodo de 20 años de la estación de Bellavista y de otras cercanas. (**Ver Anexo N° 02**)

3.3.3 HIDRAULICA DE LOS RIOS

Río Huallaga: Tiene un recorrido general, aguas arriba y aguas abajo de la ciudad de Bellavista de Sur-Oeste a Nor-Este. Al ingresar a la ciudad de Bellavista hace una curva hacia la derecha (Este) continuando así 12 Km. hasta el meridiano 76°30' (de Oeste a Este). Este cambio de dirección se debe, en cierta forma, al impulso producido por la desembocadura del río Sapo. A pesar de ello, sus aguas han socavado la rivera de la margen izquierda y depositado material pétreo en sus orillas.

Frente a la ciudad de Bellavista se encuentra el cerro Vainillas, que estrangula al río, impulsando sus aguas a la margen izquierda, que trae como consecuencia la inundación de las partes bajas de la ciudad en épocas de máximas avenidas.

Se han construido dos defensas ribereñas tipo muros con gaviones, longitudinales y paralelos a las orillas, ubicados en la zona baja de la ciudad.

Quebrada Baños: Se origina en las partes altas de Bellavista. Tiene un recorrido general de Oeste a Este, de aproximadamente 8 Km, perdiéndose por infiltración a la altura del centro poblado Limón; parte de su caudal es aprovechado para el riego de terrenos de cultivo. Se encuentra en el entorno urbano.

Quebrada Intiyacu: También se origina en las partes altas de Bellavista, con un mayor recorrido; en general va de Nor-Oeste a Sur-Este, hasta desembocar en el río Huallaga, cerca a la salida de Bellavista hacia Juanjui.

Se revisó la delimitación de subcuencas de las quebradas adyacentes al área urbana, lo que muestra el **Plano N° 04**

3.3.4 EROSION Y SEDIMENTACION

La acción de arrastre de partículas de suelo que se produce durante las lluvias, desde las zonas altas del Cuarto y Tercer piso, la topografía y la exposición del terreno natural a las precipitaciones pluviales, origina la sedimentación de estas partículas del suelo en la zona baja, específicamente hacia el primer piso; parte de estos suelos transportados llegan hasta el Río Huallaga.

3.3.5 HIDROGEOLOGIA

En el área de estudio podemos indicar que existe presencia de aguas subterráneas en el sector del primer piso.

3.4 EXPLORACION GEOTECNICA DEL AREA DE ESTUDIO

3.4.1. Generalidades

El propósito de la investigación del suelo de la Ciudad de Bellavista, se realizó con la finalidad de conocer el comportamiento físico – mecánico del terreno de fundación. Realizando estudios del subsuelo, se determinará valores admisibles aplicables para la sobre

carga, debido a edificaciones por construir. Así mismo se determinará el asentamiento o el efecto que produce la carga de la edificación, las vibraciones y otros factores de los cuales se debe conocer, no solamente la magnitud, sino también el desarrollo de los asentamientos según el transcurso del tiempo, para poder establecer el comportamiento de los suelos en el área de expansión urbana, conocer sus características, determinar el grado de peligro y el nivel de riesgo en los que se encuentren las edificaciones públicas y privadas.

3.4.2 Exploración de Suelos

3.4.2.1 Reconocimiento de Campo

Los trabajos de campo fueron realizados por el personal técnico del Proyecto, identificando los lugares y zonas, en las cuales se deberían realizar las excavaciones con la finalidad de determinar el perfil estratigráfico del área de estudio, realizándose 20 calicatas o pozos a cielo abierto distribuido convenientemente. **(Ver plano N°05)**

3.4.2.2 Excavaciones a Cielo Abierto (Calicatas)

Con la finalidad de determinar las propiedades índice, el perfil estratigráfico, el esfuerzo admisible por zonas de acuerdo a las características de los suelos, se han realizado 20 calicatas o pozos a cielo abierto, distribuidos convenientemente en el área en estudio.

Muestreo disturbado.- Se han recuperado muestras disturbadas de cada uno de los tipos de suelos encontrados durante las excavaciones, en cantidad suficiente o representativa, para realizar los ensayos de clasificación e identificación de suelos.

Muestreo Inalterado.- Se han recuperado muestras inalteradas de las calicatas a una profundidad promedio de 3 metros y acondicionadas para el traslado al laboratorio.

Registro de excavaciones.- Paralelamente se realizó el registro de las calicatas, anotándose las principales características de los tipos de suelos encontrados, tales como el buzamiento, humedad, plasticidad, peso volumétrico, etc.

3.4.2.3 Espaciamiento y Características de las Calicatas

El espaciamiento de las calicatas y las características de cada una de ellas varían de acuerdo a la topografía, y ubicación de las zonas más pobladas o donde se puede extender urbanamente Bellavista tomándose principalmente las zonas donde existe mayor concentración de movimiento local.

Las calicatas fueron realizadas según la Norma Técnica ASTM D 420, las cuales son aplicables a todos los Estudios de Mecánica de Suelos (EMS).

Los autores y estudiosos indican que para estudios como el muestreo, a fin de lograr una buena precisión del perfil estratigráfico del suelo, se deben tomar muestras a distancias entre los 40 m y 100 m, pero en realidad para lograr perfiles estratigráficos que sean más reales, se deben tomar muestras en distancias más cortas; lo que traería como consecuencia un gasto económico muy alto, por lo que, considerando las características geográficas, geológicas y sociales de la zona, hemos optado por realizar la excavación de calicatas en las zonas por donde se concentra el mayor movimiento poblacional y en las zonas urbanas de Bellavista donde se realizó nuestra investigación.

Por ser el estudio realizado para la elaboración de una Microzonificación Urbana, en el presente proyecto, se han realizado las excavaciones de 20 calicatas o pozos a cielo abierto a una profundidad no menor de 3.00 m; las cuales

estaban propensas a cambios de acuerdo a los diferentes factores como pueden ser el Nivel freático, impedimento por ser de carácter cultural, y otros.

El Estudio de Mecánica de Suelos (EMS), nos ha permitido examinar en su estado natural las características de los tipos de suelo, que constituyen cada estrato de la zona en estudio, haciendo una descripción completa de los mismos, midiendo su potencia y clasificando los suelos en forma precisa por su textura. Las técnicas de muestreos se ha realizado según la Norma ASTM D 420.

Las muestras llevadas al Laboratorio de Mecánica de Suelos de la Universidad Nacional de San Martín, fueron las más representativas y en las cantidades reglamentarias para cada tipo de material, escogidos luego del cuarteo respectivo.

Para el transporte de las muestras extraídas, se han utilizado bolsas plásticas y recipientes cerrados herméticamente, a los cuales para su identificación, se les colocó etiquetas con los siguientes datos:

- Nombre del Proyecto.
- Lugar de ubicación.
- Fecha de excavación.
- Número de calicata.
- Número de estrato.
- Tipo de muestra.
- Profundidad de la muestra.
- Técnico responsable.
- Perfil stratigráfico.

En el presente estudio se realizaron 20 calicatas

- 20 Realizadas por la Municipalidad Provincial de Juanjui (excavación).
- 20 Realizadas por INDECI (ensayos de laboratorio).

3.4.3 Ensayos de Laboratorio de Mecánica de Suelos

Para las muestras extraídas en los puntos de investigación y/o de muestreo de la fase de investigación de campo, se determinaron sus propiedades físicas y mecánicas mediante la ejecución de los ensayos estándar y especiales que se indican a continuación:

1.- ENSAYOS ESTANDAR	NORMA USADA
1.1 Contenido de Humedad Natural	ASTM D2216
1.2 Análisis Granulométrico por Tamizado	ASTM D422
1.3 Limite Líquido y Limite Plástico	ASTM D4318
1.4 Clasificación Unificada de Suelos	ASTM D2487
1.5 Peso Específico del Sólido	ASTM D854
1.6 Gravedad Específica de Los Sólidos	ASTM D854
1.7 Peso Volumétrico	ASTM D2937
2.- ENSAYOS ESPECIALES	NORMA USADA
2.1 Corte Directo	ASTM D3080
2.2 Consolidación	ASTM D2435

Los ensayos estándar de laboratorio se han efectuado para cada una de las muestras alteradas recopiladas en las calicatas, en el Laboratorio de Mecánica de Suelos, de la facultad de Ingeniería Civil de La Universidad de San Martín. **(Ver plano N° 05).**

3.4.4 Clasificación de Suelos SUCS para el Área de Estudio

Los tipos de suelos como resultado de las muestras ensayadas se han clasificado por el SISTEMA UNIFICADO DE CLASIFICACION DE SUELOS (SUCS) **(Ver plano N° 06)**, con la información obtenida mediante los análisis, ensayos de laboratorio y observando el perfil estratigráfico de las calicatas, siendo los suelos

predominantes en el área de estudio a nivel de cimentación los siguientes:

ZONA I:

Conformada por suelos arenos arcillosos (**SC**), de baja plasticidad, sin presencia del nivel freático, poco densos, en esta zona se considera las áreas ubicadas en el segundo, tercer y cuarto pisos (zona de expansión urbana); por el norte, con el área no estudiada; por el Este, con el Barrio La Esperanza; por el Oeste con la Av. Circunvalación; por el Sur con el Jr. Andrés Avelino Cáceres y carretera Fernando Belaunde Terry.

ZONA II:

Conformada por suelos Limosos de baja plasticidad (**ML**), sin presencia del nivel freático, poco densos. En esta zona se consideran las áreas ubicadas entre los Jrs. Andrés Avelino Cáceres por el Norte; Jrs. Huallaga y Malecón por el Sur; por el Este todo lo que abarca el barrio La Esperanza.

ZONA III:

Conformada por suelos Limosos de baja plasticidad (**SM**), sin presencia del nivel freático, poco densos. Se considera el área ubicada entre los jirones Huallaga y Malecón por el Norte; con el río Huallaga por el Sur.

ZONA IV:

Conformada por suelos Limosos de baja plasticidad (**CL**), sin presencia del nivel freático, poco densos. Se considera toda el área de influencia de la calicata N° 02, localizándose en un sector del cuarto piso.

BELLAVISTA: CLASIFICACIÓN SUCS

ZONA	CLASIFICACIÓN (SUCS)		NIVEL FREÁTICO		ÁREA M ² .	IDENTIFICACIÓN DE SUELOS EXPANSIVOS CRITERIO : CARTA DE PLASTICIDAD	SUELOS COLAPSABLES	SECTORES
			UBICACIÓN	m.				
I	SC	Suelo Areno arcilloso con presencia de grava	--	--	--	Con finos de potencial de expansión bajo.	No se tiene presencia de suelos colapsables.	Se consideran las áreas ubicadas en el segundo, tercer y cuarto piso (zona de expansión urbana); por el norte, con el límite del proyecto; por el Este, con el Barrio el Porvenir; por el Oeste con la Av. Circunvalación; por el Sur con el Jr. Andrés Avelino Cáceres y carretera Fernando Belaunde Terry.
II	ML	Suelo limoso de I	--	--	--	Con potencial de expansión de bajo a no plástico	--	Se considera las áreas ubicadas entre los Jrs. Andrés Avelino Cáceres por el Norte; Jrs. Huallaga y Malecón por el Sur; y por el Este con el barrio el Porvenir.
III	SM	Suelo Areno limoso de baja plasticidad	--	--	--	Es un suelo no plástico	--	Se considera el área ubicada entre los jirones Huallaga y Malecón por el Norte; y con el río Huallaga por el Sur
IV	CL	Suelo arcilloso de baja plasticidad	--	--	--	Con potencial de expansión de medio a bajo.	--	Se considera toda el área de influencia de la calicata N° 02, localizada en un sector del cuarto piso

3.4.5 Capacidad de Carga Admisible

3.4.5.1 Capacidad de Carga Admisible por Falla al Corte

La capacidad de carga admisible de los suelos, en el área de estudio a nivel de cimentación considerado 1.50 m. Para el caso de una zapata aislada, se determina en forma general por las fórmulas de KARL TERZAGHI.

$$q_u = 0.867 C N_c' + \gamma D_f N_q' + 0.4 \gamma B N_\gamma'$$

$$q_{ad} = q_u / F_s$$

Donde:

q_u : Capacidad Última de Carga

q_{ad} : Capacidad Admisible de Carga

F_s : Factor de Seguridad

γ : Densidad Natural

B : Ancho de la Zapata

D_f : Profundidad de la Cimentación

C : Cohesión

N_c', N_q', N_γ' : Factores de Carga en Función del
Angulo de Fricción " ϕ "

Los resultados obtenidos para cada una de las zonas se muestran a continuación:

ZONA I :

La capacidad portante es de **1.44 Kg/cm²**. Se consideran las áreas ubicadas en el segundo, tercer y cuarto piso (zona de expansión urbana), colindando; por el norte, con el límite del proyecto; por el Este con la zona de Alto Peligro ubicada

paralelamente al jirón Amazonas; por el Oeste con la zona de Alto Peligro ubicada paralelamente a la Av. Circunvalación; y por el Sur con la zona de Alto Peligro ubicada paralelamente al Jr. Moquegua.

ZONA II :

La capacidad portante es de **1.22 Kg/cm²**. En esta zona se consideran las áreas ubicadas entre los Jrs. Andrés Avelino Cáceres por el Norte; Jrs. Huallaga y Malecón por el Sur; y por el Este con el barrio el Porvenir.

ZONA III :

La capacidad portante es de **1.48 Kg/cm²**. Se considera el área ubicada entre los jirones Huallaga y Malecón por el Norte; y con el río Huallaga por el Sur.

ZONA IV:

La capacidad portante es de **0.93 Kg/cm²**. Se considera toda el área de influencia de la calicata N° 02, localizada en un sector del cuarto piso.

3.4.5.2 Capacidad de Carga Admisible por Asentamiento

Se determina en base a la teoría de la elasticidad y conociendo el tipo de cimentación recomendado. El asentamiento inicial para:

$$S = \frac{\Delta q_s B(1 - u^2) l_w}{E_s}$$

Donde:

S = Asentamiento en cm.

Δq_s = Esfuerzo neto transmitido (Kg./m²)

- B = Ancho de la cimentación (m)
Es = Modulo de elasticidad (Kg./m²)(Tabla N° 2)
u = Relación de Poisson (Tabla N° 3)
lw = Factor de influencia, en función de la forma y rigidez de la cimentación (Tabla N° 4)

Del ensayo de **consolidación** se obtiene el asentamiento para los suelos arcillosos de baja plasticidad (CL), se determinará mediante la expresión.

$$\Delta H = \frac{C_c}{1 + e_0} \text{Log} \left(\frac{P_i + \Delta P}{P_i} \right) H$$

Donde:

- Cc = Índice de compresión
e₀ = Relación de vacíos
Pi = Presión ínter granular o efectiva (Tn/ m²)
ΔP = Incremento de la presión al suelo por sollicitación externa (Tn/m²)
H = Espesor del suelo en estudio
ΔH = Asentamiento (m)

Los resultados obtenidos para cada una de las zonas se muestran a continuación:

ZONA I:

La capacidad portante es de **1.44 Kg/cm²**, y el asentamiento es igual a **1.66 cm**. Menor que el permisible (2.54cm). Se consideran las áreas ubicadas en el segundo, tercer y cuarto piso (zona de expansión urbana), colindando; por el Norte, con el límite del proyecto; por el Este con la zona de Alto Peligro ubicada paralelamente al jirón Amazonas; por el Oeste con la zona de Alto Peligro ubicada paralelamente a la Av. Circunvalación; y por el Sur con la zona de Alto

Peligro ubicada paralelamente al Jr. Moquegua y zona del aeropuerto.

ZONA II:

La capacidad portante es de **1.22 Kg/cm²**. Y el asentamiento es igual a **2.63 cm**. Mayor que el permisible (2.54 cm.); por lo tanto la capacidad de caga será de **1.18 Kg/cm²**. En esta zona se consideran las áreas ubicadas entre los Jrs. Andrés Avelino Cáceres por el Norte; Jrs. Huallaga y Malecón por el Sur; y por el Este con el barrio el Porvenir.

ZONA III:

La capacidad portante es de **1.48 Kg/cm²**. y su asentamiento es igual a **1.60 cm**. Menor que el permisible (2.54 cm.). En esta zona se consideran las áreas ubicadas entre los Jrs. Andrés Avelino Cáceres por el Norte; Jrs. Huallaga y Malecón por el Sur; y por el Este con el barrio el Porvenir.

ZONA IV:

La capacidad portante es de **0.93 Kg/cm²**. y su asentamiento es igual a **1.49 cm**. Menor que el permisible (2.54 cm.). Se considera toda el área de influencia de la calicata N° 02, localizada en un sector del cuarto piso.

CAPITULO IV

MAPA DE PELIGROS DE LA CIUDAD DE BELLAVISTA

4.1. MAPA DE PELIGROS GEOTÉCNICOS

Para la microzonificación geotécnica de la ciudad de Bellavista, se ha determinado la resistencia o capacidad admisible y deformación del suelo, que fueron determinadas mediante ensayos de laboratorio. Se observó que los depósitos de suelo natural, sobre los cuales las cimentaciones se construyen, no son homogéneos en la mayoría de los casos.

En general, la intensidad sísmica aumenta en los sitios de terreno blando, y los daños de los sismos importantes han sido sistemáticamente más graves en estos sitios que en los de terreno firme.

Las ondas sufren modificaciones y amplificaciones extraordinarias al transmitirse hacia la superficie a través de los estratos de arcilla sumamente compresibles.

Los fenómenos de origen geotécnico que se han tomado en cuenta para el análisis de su ocurrencia en el área de estudio son:

4.1.1. Fenómenos de Origen Geotécnicos

Falla por Corte y Asentamiento del suelo (Capacidad Portante)

Se producen en el suelo de Cimentación que presenta una baja capacidad portante y en donde los esfuerzos actuantes inducidos por una estructura de cimentación de alguna obra específica, pueden ocasionar la falla por corte y asentamiento del suelo. Un suelo con una capacidad portante de 1.50 Kg./cm². Como mínimo se le considera aceptable para una cimentación común y para valores menores se deberá tener un especial cuidado debido a la posibilidad de una drástica reducción de la capacidad portante en condiciones dinámicas y amplificación de ondas sísmicas.

Cambio de Volumen por Cambios en el Contenido de Humedad

Se producen en los suelos de cimentación con un alto contenido de humedad natural, un alto límite líquido y un alto índice plástico. En

aquellos suelos en donde el índice plástico sea mayor al 15% es posible que se produzcan cambios moderados de volumen por cambios de contenido de humedad y que ocurren en las épocas más secas y calurosas del año.

4.1.2. Evaluación de Peligros Geotécnicos

Los peligros de origen geotécnico de mayor incidencia en la ciudad de Bellavista se dan por las siguientes razones:

- Falla por corte y asentamiento del suelo (Capacidad portante).
- Cambios de volumen por cambios de contenido de humedad.

4.1.3. Zonificación de Peligros Geotécnicos

La zonificación de peligros de origen geotécnico para la ciudad de Bellavista se presenta en el **PLANO N° 07**, para lo cual se han establecido 4 zonas:

Zona de Peligro Medio

Son aquellas áreas donde el terreno es de pendiente menor de 15° (Suave a Moderada), poca erosión, con posibilidad de uso moderado, el nivel freático es mayor al ancho de la cimentación (profundo), la capacidad portante será de 1.00 – 1.50 Kg/cm².

Zona de Peligro Alto

Son aquellas áreas donde el terreno tiene una pendiente de 15° a 30°; no existe erosión severa, son áreas cercanas a las riberas de ríos, quebradas y torrenteras; nivel freático menor o igual al ancho de la cimentación (menor de 4m), la capacidad portante se encuentra entre 0.50 a 1.00 Kg/cm².

Zona de Peligro “Alto Más”

Son aquellas áreas donde el terreno es de pendiente de 30° a 60°, zonas adyacentes a las riberas a cauces de ríos, quebradas y torrenteras, donde se tiene el nivel freático menor al desplante de la zapata (menor a 50 cm), la capacidad portante es menor a 0.50 Kg/cm². En estos suelos la disminución de la capacidad portante por

efecto sísmico es muy alta. Para el uso del suelo se requiere hacer estudios de sitio muy intensos, por las limitaciones Geotécnicas.

Zona de Peligro Muy Alto

Son aquellas áreas donde el terreno es de pendiente mayor de 60°. Riberas y cauces de ríos, quebradas y zonas adyacentes, cuyo ancho de trabajo estará determinado por la topografía, talud del cauce natural (ancho efectivo del río y/o quebrada). En estas zonas no se deberán hacer uso del suelo con fines de vivienda por el alto peligro de erosión y socavamiento, que podría llegar al colapso de las estructuras. Las inversiones que se realicen serán para protección, defensa ribereña y recreación. En estas áreas los suelos disminuyen su capacidad portante por la inestabilidad y el efecto Sísmico.

4.1.3.1. Sectorización de Peligros Geotécnicos

De acuerdo a la zonificación de peligros Geotécnicos presentada en el **PLANO N° 07**, se desprende lo siguiente:

- a) Sectores de Peligro Medio.-** Se consideran las áreas ubicadas en el segundo, tercer y cuarto piso (zona de expansión urbana), colindando; por el norte, con el límite del proyecto; por el Este con la zona de Peligro Alto ubicada paralelamente al jirón Amazonas; por el Oeste con la zona de Peligro Alto ubicada paralelamente a la Av. Circunvalación; y por el Sur con la zona de Alto Peligro ubicada paralelamente al Jr. Moquegua, sectores aeropuerto y futura planta de agua potable.
- b) Sectores de Peligro Alto.-** Se consideran las áreas ubicadas en el cuarto piso entre los jirones: Huanuco y Huancavelica, haciendo intersección a media cuadra del jirón Mariscal Cáceres. En el primer piso, el área

delimitada con la intersección de los jirones: Andrés Avelino Cáceres y A. B. Leguía; Andrés Avelino Cáceres y Malecón. Incluye el Barrio el Porvenir y las zonas de transición entre las de peligro medio y alto más.

- c) Sectores de Peligro “Alto Más”.-** Considerada en las zonas ubicadas entre las de peligro alto y de peligro Muy Alto, en las que anteriormente se han manifestado fenómenos naturales que han afectado las edificaciones existentes en ese momento, como han sido el sismo de Marzo de 1972 y la inundación de Septiembre de 1972, entre otras. Incluye una zona delimitada por el Norte con el jirón Moquegua; por el Sur con la carretera Fernando Belaunde Terry; por el Este con la carretera al Distrito de San Pablo; y por el Oeste con el sector de la futura planta de tratamiento de agua potable.
- d) Sector de Peligro Muy Alto.-** Se consideran las áreas de los cauces del río Huallaga y las quebradas Borrico e Intiyacu, correspondiente al ancho efectivo o de trabajo hidráulico. Así como las Riberas adyacentes a estos cauces, en un ancho no menor de 25 m. Las áreas de taludes con pendientes muy fuertes, ubicadas entre el primer y el segundo piso.

FENÓMENOS GEOTECNICOS	PELIGROS	ZONIFICACIÓN DE PELIGROS	SECTORES	CAPACIDAD PORTANTE Kg / cm ²	AREAS	
					Ha.	%
* Falla por corte y Asentamiento (Capacidad Portante). * Cambios de Volumen por la Variación en el contenido de humedad (Suelos Expansivos). * Asentamiento por suelos colapsables. * Uso de Suelo en pendiente (Topografía).	MEDIO	Son aquellas áreas donde el terreno es de pendiente menor de 15° (Suave a Moderada), poca erosión, con posibilidad de uso moderado, nivel freático mayor al ancho de la cimentación (profundo), La Capacidad Portante será de 1.00 – 1.50 Kg / cm ² .	Se consideran las áreas ubicadas en el segundo, tercer y cuarto piso (zona de expansión urbana), colindando; por el norte, con el límite del proyecto; por el Este con la zona de Peligro Alto ubicada paralelamente al jirón Amazonas; por el Oeste con la zona de Peligro Alto ubicada paralelamente a la Av. Circunvalación; y por el Sur con la zona de Alto Peligro ubicada paralelamente al Jr. Moquegua, sectores aeropuerto y futura planta de agua potable.	1.44	253.0	37.5
	ALTO	Son aquellas áreas donde el terreno tiene una pendiente de 15° a 30°; no existe erosión severa, son áreas cercanas a las riberas de ríos, quebradas y torrenteras; nivel freático menor o igual ancho de la cimentación (menor de 4 m), la capacidad portante se encuentra entre 0.50 a 1.00 Kg / cm ² .	Se consideran las áreas ubicadas en el cuarto piso entre los jirones: Huanuco y Huancavelica, haciendo intersección a media cuadra del jirón Mariscal Cáceres. En el primer piso, el área delimitada con la intersección de los jirones: Andrés Avelino Cáceres y A. B. Leguía; Andrés Avelino Cáceres y Malecón. Incluye el Barrio el Porvenir y las zonas de Transición entre las de peligro medio y alto más.	1.22	116.0	17.5
	ALTO MÁS	Son aquellas áreas donde el terreno es de pendiente de 30° a 60°, zonas adyacentes a las riberas a cauces de ríos, quebradas y torrenteras, donde se tiene el nivel freático menor al desplante de la zapata (menor a 50 cm), la capacidad portante es menor a 0.50 Kg/cm ² . En estos suelos la disminución de la capacidad portante por efecto sísmico es muy alta. Para el uso del suelo se requiere hacer estudios de sitio muy intensos, por las limitaciones Geotécnicas.	Zonas ubicadas entre las de peligro alto y de peligro Muy Alto, en las que anteriormente se han manifestado fenómenos naturales que han afectado las edificaciones existentes en ese momento, como han sido el sismo de Marzo de 1972 y la inundación de Setiembre de 1972, entre otras. Incluye una zona delimitada por el Norte con el jirón Moquegua; por el Sur con la carretera Fernando Belaunde Terry; por el Este con la carretera al Distrito de San Pablo; y por el Oeste con el sector de la futura planta de tratamiento de agua potable.	0.93 – 1.22	154.0	23.0
	MUY ALTO	Son aquellas áreas donde el terreno es de pendiente mayor de 60°. Riberas y cauces de ríos, quebradas y zonas adyacentes, cuyo ancho de trabajo estará determinado por la topografía, talud del cauce natural (ancho efectivo del Río y/o Quebrada). En estas zonas no se deberán hacer uso del suelo con fines de vivienda por el alto peligro de erosión y socavamiento, que podría llegar al colapso de las estructuras. Las inversiones que se realicen serán para protección, defensa ribereña y recreación. En estas áreas los suelos disminuyen su capacidad portante por la inestabilidad y el efecto Sísmico.	Se consideran las áreas de los cauces del río Huallaga y las quebradas Borrico e Intiyacu, correspondiente al ancho efectivo o de trabajo hidráulico. Así como las Riberas adyacentes a estos cauces, en un ancho no menor de 25 m. Las áreas de taludes con pendientes muy fuertes, ubicadas entre el primer y el segundo piso.		147.0	22.0

4.2. MAPA DE PELIGROS GEOLÓGICOS CLIMÁTICOS

4.2.1. Fenómenos de Origen Geológicos Climáticos

Los fenómenos de origen geológico climático de mayor incidencia en las ciudades de Bellavista son los procesos erosivos que producen socavamientos y deslizamientos en las zonas de taludes o pendientes pronunciadas. El deslizamiento y hundimiento produce la acumulación de material en las zonas bajas las cuales son arrastradas por las quebradas y torrenteras.

Así mismo la presencia de afloramientos de agua y/o presencia de lagunas o antiguos lechos de lagunas que indican la presencia de agua en los estratos del subsuelo y podrían originar asentamientos considerables, en zonas donde existen suelos arenosos, podría producir el fenómeno de licuefacción por acción sísmica, y en suelos arcillosos grandes asentamientos por debilitamiento de la resistencia al corte.

4.2.2. Evaluación de Peligros Geológicos Climáticos

Los peligros de origen geológico climático en la ciudad de Bellavista son el deslizamiento, socavamiento y hundimiento de suelos.

La pendiente pronunciada de los taludes en los sectores ubicados entre el primer y segundo piso disminuyendo de manera ostensible en los otros niveles paralelo a la carretera Marginal al ingreso del norte y ribera del río Huallaga, lagunamiento por inundación de las áreas del primer piso, El Porvenir, en la margen izquierda del río Huallaga podría producir socavamiento del talud, representando un alto riesgo para las construcciones ubicadas en ese sector.

En general en el cauce de los drenes naturales de evacuación de aguas de lluvias en la parte baja, Primer piso, representan un riesgo para las viviendas asentadas en estos lugares.

4.2.3. Zonificación de Peligros Geológico Climáticos

La zonificación de peligros de origen geológicos climáticos para la ciudad de Bellavista se presenta en el **PLANO N° 08**, para el cual se han establecido 5 Zonas de acuerdo a la descripción siguiente:

Zona de Peligro Bajo

Son aquellas áreas donde el terreno es de pendiente suave, y con formaciones geológicas que originan suelos residuales que presentan propiedades geotécnicas aceptables.

En esta zona no ocurren fenómenos geológicos climáticos de gran magnitud por la que se considera de un peligro bajo.

Zona de Peligro Medio

Son aquellas zonas donde el terreno es de pendiente Suave a Moderada (menos de 15°) y sus formaciones geológicas son suelos de origen residual de propiedades geotécnicas adecuadas. En esta zona ocurren pequeños problemas de erosión por acción hídrica en época de lluvias.

Zona de Peligro Alto

Son aquellas áreas de pendientes moderadas y presentan propiedades geotécnicas medias. En estas zonas se presentan erosiones por acción hídrica en época de lluvias, pequeños derrumbes y licuación de suelos.

Zona de Peligro “Alto Más”

Son aquellas zonas adyacentes a las riberas de los cauces de ríos, quebradas y torrenteras; terrenos con pendientes fuertes, laderas empinadas cercanas a los ríos y quebradas, y rellenos de cauces antiguos. En estas zonas las precipitaciones intensas producen inundaciones frecuentes. También existen intensos problemas de erosión, agrietamientos y deslizamientos por acción hídrica, en épocas de lluvias. Se presenta licuación de suelos en forma localizada, con presencia de la napa freática alta. Para el uso de estos espacios, se deben realizar intensos estudios de sitio, para garantizar la seguridad y vida útil de las edificaciones.

Zona de peligro Muy Alto

Son zonas de cauces y riberas de ríos y quebradas; terrenos con pendientes muy fuertes y mayor de 60° e inestables, con erosión severa, presencia de suelos altamente compresibles, los cuales generan problemas de intensos asentamientos y deslizamientos de masas de suelo por acción hídrica en época de lluvias. En este tipo de suelos la amplificación de ondas sísmicas es muy alta. Zona de licuación de suelos con presencia de la napa freática alta, en forma generalizada.

4.2.3.1. Sectorización de Peligros Geológico Climáticos

De acuerdo a la zonificación de Peligros Geológicos Climáticos presentado en el **PLANO N° 08**, podemos desprender lo siguiente:

- a) Sectores de Peligro Bajo.-** Se consideran las áreas ubicadas: una en el cuarto piso, delimitada por el Jr. Tarapoto intersección con los jirones Huanuco por el Oeste y Jr. Puno por el Este; y con la zona adyacente al límite del proyecto, por el Norte.
- b) Sectores de Peligro Medio,** Se consideran las áreas correspondientes al segundo piso en la zona del aeropuerto, las áreas de transición entre el segundo y tercer piso; otra entre el tercer y cuarto piso (naciente de la cuenca de la quebrada Borrico), y las zonas adyacentes a los taludes, tanto al Oeste (Sector Intiyacu) y al Este (planta eléctrica), así como el área de la planta de tratamiento de agua.
- c) Sectores de Peligro Alto,** Se consideran las zonas de transición entre las áreas de peligro medio y “alto más” que bordean los taludes existentes del segundo al primer piso del sector Hospital hacia el sector San Juan, incluye

así mismo las del tercer y cuarto piso hacia los sectores Intiyacu, Planta eléctrica y de allí al barrio el Porvenir.

- d) Sectores de Peligro “Alto Más”,** Se consideran las zonas ubicadas entre las de peligro alto y de peligro Muy Alto, y cercanas a las riberas del río Huallaga y de las quebradas Borrigo e Intiyacu, incluye también el sector del primer piso entre la planta de tratamiento de agua y la carretera a San Pablo, para luego continuar hacia el segundo piso hasta el jirón Moquegua, así como el sector del Barrio el Porvenir.

- e) Sectores de Peligro Muy Alto,** Se consideran las áreas de los cauces del río Huallaga y las quebradas Borrigo e Intiyacu, correspondiente al ancho efectivo o de trabajo hidráulico. Así como las riberas adyacentes a estos cauces, en un ancho no menor de 25 m.

BELLAVISTA: PELIGROS GEOLÓGICOS - CLIMATICOS

FENÓMENOS DE ORIGEN GEOLÓGICO - CLIMÁTICOS	PELIGROS	ZONIFICACIÓN DE PELIGROS	SECTORES	AREAS	
				Ha.	%
<p>* Falla del suelo por deslizamientos (que pueden ser causados por vibraciones sísmicas o por humedecimiento).</p> <p>* Fallas por licuación de suelos provocados por sismos intensos.</p> <p>* Cambios de Volumen por la Variación en el contenido de humedad (Suelos Expansivos).</p> <p>* Asentamiento en suelos con presencia de napa freática alta.</p> <p>* Uso de Suelos en pendiente alta (mayor de 60°).</p>	BAJO	<p>Son aquellas zonas en donde el terreno es de pendiente suave, y de conformaciones geológicas que originan suelos residuales, los que presentan propiedades geotécnicas aceptables.</p> <p>En esta zona no ocurren fenómenos geológicos – climáticos de gran magnitud, por lo que se considera de peligro bajo.</p>	<p>Se consideran las áreas ubicadas: una en el cuarto piso, delimitada por el Jr. Tarapoto intersección con los jirones Huanuco por el Oeste y Jr. Puno por el Este; y con la zona adyacente al límite del Proyecto, por el Norte.</p>	106.5	15.80
	MEDIO	<p>Zonas donde el terreno es de pendiente Suave a Moderada (menos de 15°) y sus formaciones geológicas son suelos de origen residual de propiedades geotécnicas adecuadas. En esta zona ocurren pequeños problemas de erosión, por la acción hídrica en temporada de lluvias</p>	<p>Se consideran las áreas correspondientes al segundo piso en la zona del aeropuerto, las áreas de transición entre el segundo y tercer piso; otra entre el tercer y cuarto piso (naciente de la cuenca de la quebrada borrico), y las zonas adyacentes a los taludes, tanto al Oeste (Sector Intiyacu) y al Este (Planta eléctrica), así como el área de la Planta de Tratamiento de Agua.</p>	162.0	24.0
	ALTO	<p>Zonas de pendientes moderadas y presentan propiedades geotécnicas medias. En estas zonas se presentan erosiones por acción hídrica en épocas de lluvias, pequeños derrumbes y licuación de suelos.</p>	<p>Se consideran las zonas de transición entre las áreas de peligro medio y “alto más” que bordean los taludes existentes del segundo al primer piso del sector Hospital hacia el sector San Juan, incluye así mismo las del tercer y cuarto piso hacia los sectores Intiyacu, Planta eléctrica y de allí al barrio el Porvenir.</p>	59.50	8.80
	ALTO MÁS	<p>Zonas adyacentes a las riberas de los cauces de ríos, quebradas y torrenteras; terrenos con pendientes fuertes, laderas empinadas cercanas a los ríos y quebradas y rellenos de cauces antiguos. En estas zonas las precipitaciones intensas producen inundaciones frecuentes. También existen intensos problemas de erosión, agrietamientos y deslizamientos por acción hídrica, en épocas de lluvias. Se presenta licuación de suelos en forma localizada, con presencia de la napa freática alta. Para el uso de estos espacios, se deben realizar intensos estudios de sitio, para garantizar la seguridad y vida útil de las edificaciones.</p>	<p>Se consideran las zonas ubicadas entre las de peligro alto y de peligro Muy Alto, y cercanas a las riberas del río Huallaga y de las quebradas borrico e Intiyacu, incluye también el sector del primer piso entre la planta de tratamiento de agua y la carretera a San Pablo, para luego continuar hacia el segundo piso hasta el jirón Moquegua, así como el sector del Barrio el Porvenir.</p>	208.4	30.90
	MUY ALTO	<p>Son zonas de cauces y riberas de ríos y quebradas; terrenos con pendientes muy fuertes y mayor de 60° e inestables, con erosión severa, presencia de suelos altamente compresibles, los cuales generan problemas de intensos asentamientos y deslizamientos de masas de suelo por acción hídrica en época de lluvias. En este tipo de suelos la amplificación de ondas sísmicas es muy alta. Zona de licuación de suelos con presencia de la napa freática alta, en forma generalizada.</p>	<p>Se consideran las áreas de los cauces del río Huallaga y las quebradas Borrico e Intiyacu, correspondiente al ancho efectivo o de trabajo hidráulico. Así como las Riberas adyacentes a estos cauces, en un ancho no menor de 25 m.</p>	138.6 80	20.5

4.3. MAPA DE PELIGROS CLIMÁTICOS, HIDROLÓGICOS E HIDRÁULICOS

4.3.1. Fenómenos de origen Climáticos, Hidrológicos e Hidráulicos

En la ciudad de Bellavista, los eventos desastados por las lluvias en los últimos años han motivado la preocupación de la población y del gobierno local, esto ha generado un concepto de peligros como variable en la formulación de planes de ordenamiento local. Estos fenómenos son originados por 3 factores:

- El acelerado crecimiento de la población urbana sin tener en cuenta la planificación urbanística, con presencia de viviendas y asentamientos humanos en zonas de riesgo.
- La intervención descontrolada de las cuencas hidrográficas altas a través de la deforestación de los cerros que contienen las nacientes de las quebradas Intiyacu, Baños y el mismo anticlinal Bellavista (entre los ríos Cuñumbuza y Biavo en la margen derecha del río Huallaga y entre los ríos Sapo y Sisa en la margen izquierda), con presencia de una agricultura inadecuada, originando la alteración del ciclo hidrológico.
- Los cambios climáticos presentados en los últimos años genera una probabilidad de ocurrencia de lluvias de alta intensidad sobre las cuencas hidrográficas de los ríos de la zona, generando inundaciones en el área urbana.

4.3.2. Evaluación de Peligros Climáticos, Hidrológicos e Hidráulicos.

La ciudad de Bellavista se ubica a orillas del río Huallaga, y limitada por el norte, por la quebrada Baños, y por el sur por la quebrada Intiyacu. Así mismo incluye el sector denominado zanja Burrico, cuyas nacientes están entre el 3er y 4to piso pasan por el barrio El Porvenir. Todas ellas drenan las áreas rurales y urbanas hacia el río Huallaga, afectando algunos sectores de la ciudad. Para encarar el problema trataremos el caso del peligro, para los eventos más excepcionales y riesgos existentes.

4.3.3. Zonificación de Peligros Climáticos, Hidrológicos e Hidráulicos

En el **PLANO N° 09** se muestra el mapa de peligros climáticos, hidrológicos e hidráulicos de la ciudad de Bellavista, el cual se divide en 5 sectores según el grado de peligro:

Zona de Peligro Bajo

Esta zona comprende los terrenos con pendientes muy suaves a moderadas. En esta zona las precipitaciones solo producen inundaciones superficiales repentinas, no ocurren fenómenos climáticos de gran magnitud tampoco se presentan inundaciones generados por ríos y/o quebradas.

Zona de Peligro Medio

Son aquellas áreas de pendiente moderada. En esta zona las precipitaciones intensas producen inundaciones de corta duración. Existe transporte moderado de sedimentos y casos excepcionales son inundados por ríos y /o quebradas.

Zona de Peligro Alto

Son aquellas áreas donde el terreno es de pendiente fuerte, el flujo de escorrentía es repentino e intenso y el transporte de sedimentos es moderado a intenso; son áreas inundables temporalmente por ríos y /o quebradas.

Zona de Peligro “Alto Más”

Son aquellas zonas adyacentes a las riberas de los cauces de ríos, quebradas y torrenteras, terrenos con pendientes fuertes, laderas empinadas cercanas a los ríos y quebradas y rellenos de cauces antiguos. En estas zonas las precipitaciones intensas producen inundaciones frecuentes. Para el uso de estos espacios, se deben realizar intensos estudios de sitio, para garantizar la seguridad y vida útil de las edificaciones.

Zona de Peligro Muy Alto

Son aquellas zonas de cauces de ríos, quebradas, torrenteras y rellenos de cauces antiguos, terrenos con pendiente muy pronunciada y mayores de 60°. En estas zonas las precipitaciones intensas producen inundaciones frecuentes, con deslizamientos de flujos de lodos y colmatación de material de arrastre en las zonas bajas. Son áreas inundables continuamente por ríos y quebradas.

4.3.3.1. Sectorización de Peligros Climáticos, Hidrológicos e Hidráulicos

De acuerdo a la zonificación de peligros climáticos, hidrológicos e hidráulicos presentada en el **PLANO N° 09**, se desprende lo siguiente:

- a) Sectores de Peligro Bajo**, se consideran las áreas en las cuales no se presentan inundaciones y cuentan con buen sistema de drenaje, ubicados entre el tercer y cuarto piso del área urbana (zona de expansión).
- b) Sectores de Peligro Medio**, se consideran las áreas comprendidas entre el segundo, tercer y cuarto piso, correspondiente a los sectores del Aeropuerto (segundo piso) y hacia la parte norte adyacente al sector de peligro bajo; así mismo, en el primer piso, el sector de la futura planta de tratamiento del agua potable, y las áreas planas que van a la salida hacia Juanjui (sector Intiyacu).
- c) Sectores de Peligro Alto**, se consideran todas las áreas adyacentes a las de peligro “alto más” y las zonas de transición correspondientes a los taludes existentes del segundo al primer piso, del sector Hospital hacia el sector San Juan; de la zona del tercer y cuarto piso hacia los sectores Intiyacu y planta eléctrica; y de allí al barrio el Porvenir.

- d) Sectores de Peligro “Alto Más”,** se consideran las zonas ubicadas entre las de peligro alto y de peligro Muy Alto, y aquellas adyacentes a las riberas del río Huallaga y de las quebradas Borrigo e Intiyacu, Así como también las adyacentes a las lagunas colectoras de aguas pluviales ubicadas en la parte baja del primer piso y el barrio El Porvenir. Se consideran así mismo zonas de peligro “alto más”, las diferentes zonas de los taludes existentes y aquellas calles que colectan las aguas pluviales y son drenadas por la misma calle derivándolas hacia las zonas bajas generando inundaciones, como son el Jr. Progreso. A.B. Leguía, Andrés A. Cáceres y Ricardo Palma.
- e) Sectores de Peligro Muy Alto,** se consideran las áreas de los cauces del río Huallaga y las quebradas Borrigo e Intiyacu, correspondiente al ancho efectivo o de trabajo hidráulico. Así como las Riberas adyacentes a estos cauces, en un ancho no menor de 25 m.

BELLAVISTA: PELIGROS CLIMÁTICOS, HIDROLÓGICOS E HIDRAULICOS

FENÓMENOS DE ORIGEN CLIMÁTICO, HIDROLÓGICO E HIDRÁULICOS	PELIGROS	ZONIFICACIÓN DE PELIGROS	SECTORES	AREAS	
				Ha.	%
* Falla del suelo por deslizamientos (que pueden ser causados por vibraciones sísmicas o por humedecimiento). * Fallas por licuación de suelos provocados por sismos intensos. * Cambios de Volumen por la Variación en el contenido de humedad (Suelos Expansivos). * Asentamiento en suelos con presencia de napa freática alta. * Uso de Suelos en pendiente alta (mayor de 60°).	BAJO	Esta zona comprende los terrenos con pendientes muy suaves a moderadas. En esta zona las precipitaciones solo producen inundaciones superficiales repentinas, no ocurren fenómenos climáticos de gran magnitud tampoco se presentan inundaciones generados por ríos y/o quebradas.	Se consideran las áreas en las cuales no se presentan inundaciones y cuentan con buen sistema de drenaje, ubicados entre el tercer y cuarto piso del área urbana (zona de expansión).	150.0	22.70
	MEDIO	Áreas de pendiente moderada. En esta zona las precipitaciones intensas producen inundaciones de corta duración. Existe transporte moderado de sedimentos y en casos excepcionales son inundados por ríos y/o quebradas.	Se consideran las áreas comprendidas entre el segundo, tercer y cuarto piso, correspondiente a los sectores del Aeropuerto (segundo piso) y hacia la parte norte adyacente al sector de peligro bajo; así mismo, en el primer piso, el sector de la futura planta de tratamiento del agua potable, y las áreas planas que van a la salida hacia Juanjui (sector Intiyacu).	115.0	17.40
	ALTO	Áreas donde el terreno es de pendiente fuerte, el flujo de escorrentía es repentino e intenso y el transporte de sedimentos es moderado a intenso; son áreas inundables temporalmente por ríos y/o quebradas.	Se consideran todas las áreas adyacentes a las de peligro "alto más" y las zonas de transición correspondientes a los taludes existentes del segundo al primer piso, del sector Hospital hacia el sector San Juan; de la zona del tercer y cuarto piso hacia los sectores Intiyacu y Planta eléctrica; y de allí al barrio el Porvenir.	175.0	26.50
	ALTO MÁS	Zonas adyacentes a las riberas de los cauces de ríos, quebradas y torrenteras, terrenos con pendientes fuertes, laderas empinadas cercanas a los ríos y quebradas y rellenos de cauces antiguos. Las precipitaciones intensas producen inundaciones frecuentes. Para el uso de estos espacios, se deben realizar intensos estudios de sitio, para garantizar la seguridad y vida útil de las edificaciones.	Se consideran las zonas ubicadas entre las de peligro alto y de peligro Muy Alto, y aquellas adyacentes a las riberas del río Huallaga y de las quebradas Borrico e Intiyacu, Así como también las adyacentes a las lagunas colectoras de aguas pluviales ubicadas en la parte baja del primer piso y el barrio El Porvenir. Se consideran así mismo zonas de peligro "alto más", las diferentes zonas de los taludes existentes y aquellas calles que colectan las aguas pluviales y son drenadas por la misma calle derivándolas hacia las zonas bajas generando inundaciones, como son el Jr. Progreso. A.B. Leguía, Andrés A. Cáceres y Ricardo Palma.	180.0	27.2
	MUY ALTO	Son aquellas áreas de riberas y de cauces de ríos, quebradas y torrenteras, terrenos con pendiente muy pronunciada y mayores de 60°. En estas zonas las precipitaciones intensas producen inundaciones muy frecuentes, con deslizamientos de flujos de lodos y colmatación de material de arrastre en las zonas bajas. Son áreas inundables continuamente por ríos y quebradas.	Se consideran las áreas de los cauces del río Huallaga y las quebradas Borrico e Intiyacu, correspondiente al ancho efectivo o de trabajo hidráulico. Así como las Riberas adyacentes a estos cauces, en un ancho no menor de 25 m.	41.0	6.20
				86	

4.4. MAPA DE PELIGROS MÚLTIPLES

4.4.1. Zonificación de Peligros Múltiples

Tomando en cuenta la posibilidad de ocurrencia simultánea de fenómenos de origen geológico (sismos), geológicos-climáticos, geotécnicos y climáticos hidrológicos e hidráulicos en el área de estudio que comprende la ciudad de Bellavista, se procedió a preparar el Mapa de Peligros Múltiples que se presenta en el **PLANO N° 10**.

Zona de Peligro Medio

Son aquellas áreas donde el terreno es de pendiente menor de 15° (Suave a Moderada), poca erosión, con posibilidad de uso moderado, nivel freático mayor al ancho de la cimentación (profundo), La Capacidad Portante será de 1.00 a 1.50 Kg/cm².

Zona de Peligro Alto

Zonas donde el terreno tiene una pendiente de 15° a 30°; no existe erosión severa, En esta zona las precipitaciones producen: inundaciones medias repentinas, flujo de escorrentía y transporte de sedimentos repentino a moderado, flujos de lodos. Se presentan problemas de derrumbes, agrietamientos y deslizamientos de suelos. La capacidad portante del terreno se encuentra entre 0.50 Kg/cm² a 1.00 Kg/cm² y su amplificación por ondas sísmicas es alta.

Zona de Peligro “Alto Más”

Son aquellas zonas adyacentes a las riberas de los cauces de ríos, quebradas y torrenteras, terrenos con pendientes fuertes. En estas zonas existen intensos problemas de erosión, agrietamientos y deslizamientos por acción hídrica, en épocas de lluvias. Se presenta licuación de suelos arenosos, limosos o pantanosos en forma localizada, con presencia de la napa freática alta. En estas zonas las precipitaciones ocasionan inundaciones medias a profundas en forma repentina, con flujos de lodo, colmatación de material de arrastre. La capacidad portante es menor a 0.50 Kg/cm². En estos

suelos la disminución de la capacidad portante por efecto sísmico es muy alta.

Para el uso de estos espacios, se deben realizar intensos estudios de sitio, para garantizar la seguridad y vida útil de las edificaciones.

Zona de Peligro Muy Alto

Son aquellas zonas de cauces de ríos, quebradas y torrenteras, terrenos inestables, con erosión severa, con pendiente muy pronunciada y mayores de 60°. En estas zonas las precipitaciones intensas producen inundaciones frecuentes, con deslizamientos de flujos de lodos, colmatación de material de arrastre en las zonas bajas, y asentamientos de suelos. Son áreas inundables continuamente por ríos y quebradas; la amplificación por ondas sísmicas es muy alta presentándose el fenómeno de licuación de suelos de manera generalizada.

4.4.1.1. Sectorización de Peligros Múltiples.

De acuerdo a la zonificación de peligros múltiples presentada en el **PLANO N° 10**, se desprende lo siguiente:

- a) Sectores de Peligro Medio**, se consideran las áreas ubicadas en el segundo, tercer y cuarto piso (zona de expansión urbana), colindando; por el norte, con el límite del proyecto; por el Este con la zona de Peligro Alto ubicada paralelamente al jirón Amazonas; por el Oeste con la zona de Peligro Alto ubicada paralelamente a la Av. Circunvalación; y por el Sur con la zona de Alto Peligro ubicada paralelamente al Jr. Moquegua, sectores aeropuerto y futura planta de agua potable.
- b) Sectores de Peligro Alto**, se consideran las zonas de transición entre las áreas de peligro medio y “alto más” que bordean los taludes existentes del segundo al primer piso del sector Hospital hacia el sector San Juan, incluye

así mismo las del tercer y cuarto piso hacia los sectores Intiyacu, planta eléctrica y de allí al barrio el Porvenir.

- c) Sectores de Peligro “Alto Más”,** se consideran las zonas ubicadas entre las de peligro alto y de peligro Muy Alto, y cercanas a las riberas del río Huallaga y de las quebradas borrico e Intiyacu, incluye también el sector del primer piso entre la planta de tratamiento de agua y la carretera a San Pablo, para luego continuar hacia el segundo piso hasta el jirón Moquegua, así como el sector del Barrio el Porvenir.
- d) Sector de Peligro Muy Alto,** se consideran las áreas de los cauces del río Huallaga y las quebradas Borrico e Intiyacu, correspondiente al ancho efectivo o de trabajo hidráulico. Así como las riberas adyacentes a estos cauces, en un ancho no menor de 25 m.

BELLAVISTA: PELIGROS MÚLTIPLES

PELIGROS MÚLTIPLES	PELIGROS	ZONIFICACIÓN DE PELIGROS	SECTORES	AREAS	
				Ha.	%
<p>* Tomando en cuenta la posibilidad de ocurrencia simultánea de fenómenos de origen geológico (sismos), geológicos-climáticos, geotécnicos y climáticos hidrológicos e hidráulicos en el área de estudio</p> <p>* Falla del suelo por deslizamientos (que pueden ser causados por vibraciones sísmicas o por humedecimiento).</p> <p>* Fallas por licuación de suelos provocados por sismos intensos.</p> <p>* Cambios de Volumen por la Variación en el contenido de humedad (Suelos Expansivos).</p> <p>* Asentamiento en suelos con presencia de napa freática alta.</p> <p>* Uso de Suelos en pendiente alta (mayor de 60°).</p>	MEDIO	Zonas donde el terreno es de pendiente Suave a Moderada (menos de 15°) y sus formaciones geológicas son suelos de origen residual de propiedades geotécnicas adecuadas. Las precipitaciones intensas producen: inundaciones superficiales, flujo de escorrentía y transporte de sedimentos repentino y moderado, la capacidad portante del terreno se encuentra entre 1.0 Kg/cm ² a 1.5 Kg/cm ² y la amplificación de ondas sísmica es media. Se recomienda el uso urbano de media a alta densidad.	Se consideran las áreas ubicadas en el segundo, tercer y cuarto piso (zona de expansión urbana), colindando; por el norte, con el límite del proyecto; por el Este con la zona de Peligro Alto ubicada paralelamente al jirón Amazonas; por el Oeste con la zona de Peligro Alto ubicada paralelamente a la Av. Circunvalación; y por el Sur con la zona de Alto Peligro ubicada paralelamente al Jr. Moquegua, sectores aeropuerto y futura planta de agua potable.	270.65	36.95
	ALTO	Las precipitaciones producen: inundaciones medias repentinas, flujo de de escorrentía y transporte de sedimentos repentino a moderado, flujos de lodos. Se presentan problemas de derrumbes, agrietamientos y deslizamientos de suelos. La capacidad portante del terreno se encuentra entre 0.5 Kg./cm ² a 1.0 Kg./cm ² y su amplificación por ondas sísmicas es alta.	Se consideran las zonas de transición entre las áreas de peligro medio y "alto más" que bordean los taludes existentes del segundo al primer piso del sector Hospital hacia el sector San Juan, incluye así mismo las del tercer y cuarto piso hacia los sectores Intiyacu, Planta eléctrica y de allí al barrio el Porvenir.	56.35	7.70
	ALTO MÁS	Áreas adyacentes a cauces de ríos, quebradas y torrenteras, terrenos con pendientes fuertes. En estas zonas existen intensos problemas de erosión, agrietamientos y deslizamientos por acción hídrica, en épocas de lluvias. Se presenta licuación de suelos arenosos, limosos o pantanosos en forma localizada, con presencia de la napa freática alta. En estas zonas las precipitaciones ocasionan inundaciones medias a profundas en forma repentina, con flujos de lodo, colmatación de material de arrastre. La capacidad portante es menor a 0.50 Kg / cm ² . En estos suelos la disminución de la capacidad portante por efecto sísmico es muy alta. Para el uso de estos espacios, se deben realizar intensos estudios de sitio, para garantizar la seguridad y vida útil de las edificaciones.	Se consideran las zonas ubicadas entre las de peligro alto y de peligro Muy Alto, y cercanas a las riberas del río Huallaga y de las quebradas borrico e Intiyacu, incluye también el sector del primer piso entre la planta de tratamiento de agua y la carretera a San Pablo, para luego continuar hacia el segundo piso hasta el jirón Moquegua, así como el sector del Barrio el Porvenir.	266.95	36.45
	MUY ALTO	Son aquellas zonas de cauces de ríos, quebradas y torrenteras, terrenos inestables, con erosión severa, con pendiente muy pronunciada y mayores de 60°. En estas zonas las precipitaciones intensas producen inundaciones frecuentes, con deslizamientos de flujos de lodo, colmatación de material de arrastre en las zonas bajas, y asentamientos de suelos activados en épocas de lluvia. Son áreas inundables continuamente por ríos y quebradas.; la amplificación por ondas sísmicas es muy alta presentándose el fenómeno de licuación de suelos de manera generalizada.	Se consideran las áreas de los cauces del río Huallaga y las quebradas Borrico e Intiyacu, correspondiente al ancho efectivo o de trabajo hidráulico. Así como las Riberas adyacentes a estos cauces, en un ancho no menor de 25 m.	138.55	18.90

CAPITULO V

CONCLUSIONES Y RECOMENDACIONES

5.1. CONCLUSIONES

1. La geomorfología actual de la parte media del valle del río Huallaga, que incluye a la ciudad de Bellavista, está condicionado por el alineamiento morfo-estructural montañoso en dirección NO – SE, correspondiente a las cadenas montañosas de la Cordillera Sub Andina; específicamente al anticlinal Bellavista que corresponde a la divisoria de aguas entre el río Sisa y el río Saposo; está limitada por la depresión tectónica del Huallaga.
2. La estratigrafía y litología en la parte norte de la ciudad esta formada en esencia por conglomerados heterolíticos mal seleccionados y redondeados (formación Juanjui), los clastos corresponden a rocas intrusivas plutónicas, rocas volcánicas porfíricas, afaníticas, a esquistos y gneises; además a calizas y areniscas grises y claras. La coloración de los conglomerados es pardo amarillento a gris parduzco en el sector Juanjui – Bellavista. También se observan afloramientos restringidos del grupo Pucará en el anticlinal Bellavista, así como depósitos aluviales cuaternarios en la parte baja.
3. El perfil actual del relieve en el área de estudio incluye cadenas montañosas alargadas y depresiones topográficas condicionadas en gran parte por las estructuras de deformación, desarrolladas en las secuencias de rocas mesozoicas y cenozoicas, y que generalmente siguen una dirección NO-SE; coincidiendo las cadenas montañosas con los anticlinales y las hondonadas con los sinclinales y sinclinorios. Otro factor importante en el relieve y los procesos de denudación es el nivel de base local, que en el caso del área, es el nivel del Huallaga.
4. Los suelos existentes en el área de estudio son depósitos cuaternarios de origen aluvial en la parte baja, y en el Norte de la ciudad esta formado por los depósitos residuales (formación Juanjui), se han diferenciado como tales a depósitos de gravas y algunas arenas que se encuentran en las terrazas localizadas entre Juanjui y Tingo de Saposo (margen izquierda

del río Huallaga), y los de origen fluvial que son depósitos de gravas finas a gruesas y de arenas, vinculadas a los cambios actuales del curso del río y que frecuentemente son sometidos a procesos de erosión y transporte.

5. Según el mapa de zonificación sísmica del país, el departamento de San Martín, se encuentra en la zona II, con una sismicidad media.
6. La actividad sísmica de la zona de estudio está vinculada a fallas superficiales de activación reciente, presentándose los hipocentros a profundidades mayores a 33 Km.
7. El área de estudio está influenciada estructuralmente por fallas longitudinales y transversales, así tenemos entre otras el domo Sapo donde se encuentran dos Fallas, una dextral de rumbo N 70° W y otra siniestral de rumbo N 20° E. En Bello Horizonte y al Oeste de Nuevo Sacanche se han interpretado fallas dextrales de dirección N 40° y 60° E respectivamente; en cambio en Agua Azul (SW de la hoja de Saposoa) y Tambillo (SE de la hoja de Juanjui) se han delineado fallas sinistral de corto recorrido. En Bellavista se interpreta la presencia de una falla dextral de rumbo N 70° E que puede estar vinculada al cambio de dirección del río Huallaga.
8. El relieve de la ciudad de Bellavista presenta zonas bien definidas:
 - El primer piso, que corresponde a toda la parte urbana de la parte baja e incluye las riberas y terrenos ganados al cauce del río Huallaga (por las defensas ribereñas construidas desde años anteriores), así como la zona pantanosa relacionada con dicho espacio.
 - Las laderas montañosas que circundan los demás pisos (segundo, tercero y cuarto), en algunos sectores de los cuales se muestran procesos de expansión urbana.
 - El Segundo Piso, ubicado en el entorno del aeropuerto.
 - El Tercer Piso, sector en el que se manifiestan procesos de expansión urbana más ordenados.
 - El Cuarto Piso, que se ubica en la misma extensión de dicha expansión urbana; y

- El barrio El Porvenir, ubicado en la parte baja, y que también ha sido afectada por las inundaciones tanto del río Huallaga como de la zanja Borrigo (por lluvias intensas).
9. De acuerdo al Sistema Unificado de Clasificación de Suelos (SUCS), se ha determinado en las diferentes zonas, los siguientes tipos de suelos: **(Ver Plano N° 06)**.

ZONA I:

Conformada por suelos arenos arcillosos **(SC)**, de baja plasticidad, sin presencia del nivel freático, poco densos. En esta zona se consideran las áreas ubicadas en el segundo, tercer y cuarto piso (zona de expansión urbana); por el norte, con el límite del proyecto; por el Este, con el Barrio el Porvenir; por el Oeste con la Av. Circunvalación; por el Sur con el Jr. Andrés Avelino Cáceres y carretera Fernando Belaunde Terry.

ZONA II:

Conformada por suelos Limosos de baja plasticidad **(ML)**, sin presencia del nivel freático, poco densos. En esta zona se consideran las áreas ubicadas entre los Jrs. Andrés Avelino Cáceres por el Norte; Jrs. Huallaga y Malecón por el Sur; y por el Este con el barrio el Porvenir.

ZONA III:

Conformada por suelos Limosos de baja plasticidad **(SM)**, sin presencia del nivel freático, poco densos. Se considera el área ubicada entre los jirones Huallaga y Malecón por el Norte; y con el río Huallaga por el Sur.

ZONA IV:

Conformada por suelos Limosos de baja plasticidad **(CL)**, sin presencia del nivel freático, poco densos. Se considera toda el área de influencia de la calicata N° 02, localizada en un sector del cuarto piso.

10. La capacidad de carga admisible en el área de estudio es:

En la zona I : la capacidad portante es de 1.44 Kg/cm².
En la zona II : la capacidad portante es de 1.22 Kg/cm².
En la zona III : la capacidad portante es de 1.48 Kg/cm².
En la zona IV: la capacidad portante es de 0.93 Kg/cm².

11. Los fenómenos de origen Geotécnico de mayor incidencia en el área de estudios son: Falla por Corte y Asentamiento del Suelo (Capacidad Portante), cambios de volumen por el incremento del contenido de humedad, pérdida de resistencia mecánica por licuación de suelos y pérdida de la capacidad portante por presencia del nivel freático.
12. Dentro de los fenómenos de Origen Geológicos – Climáticos podemos citar aquellos ocurridos en la faja Sub andina donde se ubica la zona de estudio, la cual muestra la presencia de fallas regionales tanto longitudinales como transversales al rumbo andino, las que eventualmente podrían reactivarse, por corresponder a zonas Sísmicas activas. Donde los sismos tienen ocurrencia a profundidades mayores de 20 Km. (superficiales y profundos), siendo de naturaleza superficial a intermedia y pertenecen a unidades de deformación mesozoica y paleozoica.
13. Los peligros de origen Geológicos – Climáticos de mayor incidencia en el área de estudio, son por deslizamientos, socavamientos, desprendimiento de rocas y derrumbes en laderas, procesos que se ven favorecidos por una alta pendiente del terreno, baja o pobre consistencia de las partículas de los materiales y el agua de lluvia en su acción de erosión, transporte y sedimentación, siendo de especial interés los procesos que ocurren en las laderas o taludes del río Huallaga, en el de las laderas que circundan el “primer piso” de los demás pisos, y en general de las torrenteras; así mismo, la probable presencia de licuación de suelos en las zonas adyacentes al río Huallaga y/o sectores bajos del distrito de Bellavista.
14. Las principales referencias relacionadas con desastres o daños a la población ocurridos por los fenómenos anteriormente descritos, son:
 - Terremoto de Saposoa ocurrido el 20 de marzo de 1972, con daños ocasionados en diferentes ciudades de la región: Saposoa, Juanjui, Bellavista, San Hilarión, Tarapoto, entre otras. El epicentro se detectó a 11 km. al NE de Saposoa. De origen tectónico y relacionado con la falla geológica superficial cercana al epicentro. Los daños en Juanjui y Saposoa se relacionan con la mala calidad de los materiales de construcción, la naturaleza del suelo y la presencia de una napa acuífera

- muy superficial, dichos peligros no se tomaron en cuenta antes del suceso.
- Deslizamiento del 21 de marzo de 1995, donde la presencia de lluvias intensas y la deforestación de las laderas activó un deslizamiento que afectó a dos viviendas entre los jirones Mariscal Cáceres y Arequipa.
15. Dentro de los fenómenos de origen Climáticos – Hidrológicos e Hidráulicos podemos citar aquellos ocurridos en las riberas de los cauces del río Huallaga, donde se ha experimentado un acelerado proceso de crecimiento urbano, el cual está asociado a constantes reducciones del ancho efectivo de la sección transversal de su cauce. Por lo que se considera altamente peligrosa, la construcción de viviendas sobre dichas riberas y áreas adyacentes, debido a la presencia de inundaciones, socavaciones y transportes de sedimentos de carácter repentino, intenso y frecuente. Así mismo, los relacionados con las lluvias torrenciales, con las tormentas eléctricas, con los vientos fuertes, los que se han presentado en diferentes momentos de su historia.
16. La deposición de sedimentos en el casco urbano de la ciudad es consecuencia de la alta capacidad de transporte de sedimentos que tienen las quebradas y cursos de aguas, que naciendo de las laderas de las partes altas, cruzan la ciudad y llegan finalmente hacia el río Huallaga o a las quebradas de dicha zona, depositando en su camino material de arrastre y originando inundaciones superficiales en puntos críticos.
17. Las principales referencias relacionadas con desastres o daños a la población ocurridos por los fenómenos anteriormente descritos, son:
- Inundación del río Huallaga de 1910, donde se inundó toda la parte baja de Bellavista (primer piso) incluyendo el barrio el Porvenir.
 - Inundación del 20 de febrero de 1942, donde cayeron casas de tapial y las aguas llegaron hasta el Jr. Mariscal Cáceres, con daños a las viviendas, cultivos y pastos.
 - Inundación del 23 de Setiembre de 1972, que ocasionó mayor destrucción en casas de adobe y tapial, quedando el 60% de las viviendas inhabitables.

- Inundación del 26 de marzo de 1977, la más grande pero con menores daños.
- Inundación por lluvias intensas del 21 de marzo de 1995, donde la ciudad de Bellavista se vio afectado por las lluvias intensas: las casas se llenaron de agua, resultaron afectadas 102 familias y 45 viviendas, además de un centro educativo. Se destruyó la vía de acceso a Vainillas, parte de la irrigación Sisa, margen derecha. Se filtró el agua a la tubería en la línea de aducción. Se afectaron 24 has. de cultivo.
- Inundación por lluvias intensas de Octubre del 2003, afectando viviendas del sector San Juan.

18. De acuerdo a la zonificación de peligros múltiples presentada en el **PLANO N° 10**, se desprende lo siguiente:

Zona de peligro Medio:

Son aquellas áreas donde el terreno es de pendiente menor de 15° (Suave a Moderada), poca erosión, con posibilidad de uso moderado, nivel freático mayor al ancho de la cimentación (profundo), la capacidad portante será de 1.00 a 1.50 Kg / cm².

Zona de peligro Alto:

Zonas donde el terreno tiene una pendiente de 15° a 30°; no existe erosión severa. En esta zona las precipitaciones producen: inundaciones medias repentinas, flujo de escorrentía y transporte de sedimentos repentino a moderado, flujos de lodos. Se presentan problemas de derrumbes, agrietamientos y deslizamientos de suelos. La capacidad portante del terreno se encuentra entre 0.50 Kg./cm² a 1.00 Kg./cm² y su amplificación por ondas sísmicas es alta.

Zona de peligro “Alto Más”:

Son aquellas zonas adyacentes a las riberas de los cauces de ríos, quebradas y torrenteras, terrenos con pendientes fuertes. En estas zonas existen intensos problemas de erosión, agrietamientos y deslizamientos por acción hídrica, en épocas de lluvias. Se presenta licuación de suelos arenosos, limosos o pantanosos en forma localizada, con presencia de la napa freática alta. En estas zonas las precipitaciones ocasionan

inundaciones medias a profundas en forma repentina, con flujos de lodo, colmatación de material de arrastre. La capacidad portante es menor a 0.50 Kg / cm². En estos suelos la disminución de la capacidad portante por efecto sísmico es muy alta. Para el uso de estos espacios, se deben realizar intensos estudios de sitio, para garantizar la seguridad y vida útil de las edificaciones.

Zona de peligro Muy Alto:

Son aquellas zonas de riberas y cauces de ríos, quebradas y torrenteras, terrenos inestables, con erosión severa, con pendiente muy pronunciada y mayores de 60°. En estas zonas las precipitaciones intensas producen inundaciones frecuentes, con deslizamientos de flujos de lodos, colmatación de material de arrastre en las zonas bajas, y asentamientos de suelos. Son áreas inundables continuamente por ríos y quebradas; la amplificación por ondas sísmicas es muy alta presentándose el fenómeno de licuación de suelos de manera generalizada.

Sectorización de Peligros Múltiples

De acuerdo a la zonificación de peligros múltiples presentada en el **PLANO N° 11**, se desprende lo siguiente:

- a) **Sectores de Peligro Medio**, se consideran las áreas ubicadas en el segundo, tercer y cuarto piso (zona de expansión urbana), colindando; por el norte, con el límite del proyecto; por el Este con la zona de Peligro Alto ubicada paralelamente al jirón Amazonas; por el Oeste con la zona de Peligro Alto ubicada paralelamente a la Av. Circunvalación; y por el Sur con la zona de Alto Peligro ubicada paralelamente al Jr. Moquegua, sectores aeropuerto y futura planta de agua potable.
- b) **Sectores de Peligro Alto**, se consideran las zonas de transición entre las áreas de peligro medio y “alto más” que bordean los taludes existentes del segundo al primer piso del sector Hospital hacia el sector San Juan, incluye así mismo las del tercer y cuarto piso hacia los sectores Intiyacu, planta eléctrica y de allí al barrio el Porvenir.

- c) Sectores de Peligro “Alto Más”**, se consideran las zonas ubicadas entre las de peligro alto y de peligro Muy Alto, y cercanas a las riberas del río Huallaga y de las quebradas borrico e Intiyacu, incluye también el sector del primer piso entre la planta de tratamiento de agua y la carretera a San Pablo, para luego continuar hacia el segundo piso hasta el jirón Moquegua, así como el sector del Barrio el Porvenir.
- d) Sector de Peligro Muy Alto**, se consideran las áreas de los cauces del río Huallaga y las quebradas Borrico e Intiyacu, correspondiente al ancho efectivo o de trabajo hidráulico. Así como las Riberas adyacentes a estos cauces, en un ancho no menor de 25 m.

5.2. RECOMENDACIONES

1. Considerar los efectos sísmicos en el diseño de las estructuras para todas las zonas sin excepción.
2. Las cimentaciones a considerar serán zapatas rectangulares superficiales desplantadas a 1.50 m de profundidad mínima, conectadas con vigas y/o plateas de cimentación en las zonas de suelos de características arcillosas, consideradas como zonas de peligro medio y peligro alto.
3. Los elementos de la cimentación deberán ser diseñados de modo que la presión de contacto o carga estructural del edificio entre el área de cimentación sea inferior o cuando menos igual a la presión de diseño o capacidad admisible.
4. Previamente a las labores de excavación de las zanjas para los cimientos de los edificios, deberán eliminarse todos los materiales de relleno, en los lugares que existe, y, realizar los estudios de sitio que correspondan, para garantizar la seguridad y vida útil de las edificaciones..
5. Considerar que en el área de estudio se presentan precipitaciones pluviales de gran intensidad, y existiendo zonas inundables es necesario diseñar sistemas de drenaje adecuados, para evacuar las aguas pluviales tomando como base la topografía y el área de captación.

Es necesario diseñar el sistema de drenaje desde las áreas de menor captación hacia las áreas de mayor captación, (donde se priorizará la inversión), y de ahí derivarlos a las quebradas correspondientes o al mismo río Huallaga.

Las soluciones se deberán adecuar a la topografía y pueden ir desde pequeños canales de tierra hasta soluciones de vía canal (teniendo en cuenta la rasante de diseño) o sistemas de alcantarillados.

6. Limpieza, refacción y/o habilitación de las cunetas y/o alcantarillas existentes en los diferentes sectores de la ciudad:

- Carretera Fernando Belaunde Terry a la entrada de la ciudad, antes de llegar al barrio El Porvenir y el camal municipal, a la salida hacia Juanjui, y principalmente en las alcantarillas o cunetas de cruce.
 - Primer piso y Barrio San Juan.
 - Segundo Piso y drenes del sector aeropuerto.
 - Tercer y cuarto piso, así como el sistema de drenaje de la zanja Borrico.
7. Considerar que en las áreas en las que se producen inundaciones por el río Huallaga y en las que todavía se manifiestan procesos erosivos y de socavación, se deberán diseñar obras de defensa ribereña, tomando como base la experiencia de las obras ya ejecutadas y que han cumplido con su objetivo y/o que están funcionando (espigones, tetrápodos, muros de contención, entre otros).

También se deberán considerar para las poblaciones ubicadas en las áreas adyacentes a las riberas del río Huallaga y de las quebradas Borrico, Intiyacu y baños, lo siguiente:

- Delimitar los límites de los cauces y riberas.
 - No construir viviendas en los cauces naturales y restringirlas en las riberas.
 - Respetar la franja marginal de los ríos y quebradas.
 - Revisar el estado y seguridad de las viviendas existentes en las riberas y cauces, y en los casos correspondientes proceder a su reubicación.
8. En las zonas de pendientes pronunciadas o taludes se deberán reforestar, para evitar la erosión hídrica y deslizamientos de suelos, debiendo también restringirse su uso para la construcción de viviendas.
9. La población y las autoridades locales y regionales deberán tomar medidas para prevenir y mitigar los desastres causados por fenómenos naturales, en todas las zonas tomando preferentemente, aquellas consideradas de peligro medio, de peligro alto y de peligro “alto más”.
11. Considerando la alta tasa de crecimiento poblacional en el área urbana de Bellavista (10.51%, tendencia '81 - '93) y la ubicación de viviendas en áreas de poca seguridad (riberas del río Huallaga, zonas de napa freática superficial, laderas empinadas), o construidos con materiales de baja

calidad y sin el diseño sismo-resistente que le corresponde, es urgente la evaluación del estado actual y ubicación de las edificaciones e inversiones en la ciudad de Bellavista (estudio de vulnerabilidad).

11. Las autoridades locales y regionales deberán promover campañas de difusión sobre los desastres ocurridos, con la finalidad de recordar como se comporta la naturaleza e incentivar el conocimiento e investigación de dichos fenómenos.

BIBLIOGRAFIA

1. ALVA HURTADO J.E., MENESES J.F Y GUZMAN V. (1984). "Distribución de Máximas Intensidades Sísmica Observadas en el Perú". V Congreso Nacional de Ingeniería Civil, Tacna Perú.
2. FUKUMOTO S., ALVA HURTADO J. E., MENESES J.F. Y NISHIMURA T. (1991), " The Mayo 29, 1990, Rioja Eartuqueke", Fourth Internacional Conference on Seismic Zonation, Stanford University, Stanford, California, Vol II, pág. 801-810.
3. MONGE F. (1990), "Efectos Geológicos del Sismo del 29 de Mayo de 1990 en el Departamento de San Martín, Perú". Instituto Geofísico del Perú, Lima, Perú.
4. SILGADO E. (1978), "Histograma de los Sismos más Nobles Ocurridos en el Perú (1513-1974)" .Instituto de Geología y Minería. Boletín N°3, Serie C. Lima, Perú.
5. CASTILLO ALVA, J.(1993). "Estudio de Peligro Sísmico en el Perú".
6. KUROIWA, J. (1990). "Prevención de Desastres". Editorial Bruño. Lima – Perú.
7. J.E. ALVA HURTADO, PHD. "Licuación de suelos en el Perú".
8. INADUR, Instituto de Desarrollo Urbano (TARAPOTO).
9. JUAREZ BADILLO – RICO RODRÍGUEZ. Mecánica de Suelos – Tomo I.
10. JUAREZ BADILLO – RICO RODRÍGUEZ. Mecánica de suelos–Tomo II.
11. INSTITUTO GEOLOGICO MINERO Y METALURGICO (PERU), Geología del Cuadrángulo de Tarapoto.

12. Ing. JULIO KUROIWA. (2002). Reducción de Desastres – Viviendo en Armonía con la Naturaleza.

13. Ing. CANALES RUMICHE, PAUL STEWARD, Ing. TANTAJULCA ROMERO, DENIS WILTER. “Microzonificación de Usos de Suelos de la Ciudad de Huanchaco ante Peligros Naturales: Sismos e inundaciones”



ESTUDIO:

**MAPA DE PELIGROS DE LA CIUDAD DE
BELLAVISTA**

INFORME FINAL

**PROYECTO INDECI – PNUD PER / 02/ 051
CIUDADES SOSTENIBLES**

ANEXO N° 01

REGISTRO CATALOGO SISMICO

ANEXO 1:

Cuadro C.1 REGISTRO DE SISMICIDAD : Región San Martín										
ORDENADO POR FECHAS										
(4.0° – 9.5°, Latitud Sur ; 73.0° é 79°.0 Longitud Oeste)										
Fuente: Catálogo Sísmico del Perú: Cuadrángulos 6,7,10,11										
N°CS	N°	Fecha	HORA	Lat. S	Long. O	Profundidad		Magnitud		
			(Tiemp. Univ)	(deg.)	(deg.)	(Km.)		m _b	M _s	
39	1	1925-09-12	09 26 0.0	8.00	75.00					
45	2	1926-03-07	20 33 38.0	5.00	76.50	150.0			6.5	PAS
62	3	1928-05-14	22 14 46.0	5.00	78.00				7.3	PAS
63	4	1928-05-15	02 36 4.0	5.00	78.00					
66	5	1928-05-21	17 02 25.0	5.00	78.00					
67	6	1928-05-26	14 03 15.0	5.00	78.00					
69	7	1928-07-18	19 05 0.0	5.50	79.00				7.0	PAS
73	8	1929-05-01	22 03 32.0	5.00	78.50					
74	9	1929-05-25	11 59 38.0	8.50	75.50	150.0			6.3	PAS
84	10	1931-07-11	05 56013	8.50	74.50	120.0				
105	11	1933-10-01	02 40 42.0	7.00	75.25	120.0			6.3	PAS
119	12	1934-10-29	23 25 23.0	5.00	78.00	110.0			6.0	PAS
131	13	1936-05-06	03 38 55.0	8.00	75.00	160.0				
142	14	1937-08-02	03 26 54.0	4.70	73.00	400.0				
155	15	1938-01-16	21 41 47.0	6.00	75.00	100.0			6.0	PAS
177	16	1939-11-26	06 26 18.0	8.50	77.50	130.0			6.8	PAS

MAPA DE PELIGROS DE LA CIUDAD DE BELLAVISTA
PROYECTO INDECI-PNUD PER/02/051 CIUDADES SOSTENIBLES

182	17	1940-01-07	21 34 48.0	6.50	78.00	100.0					
213	18	1942-01-08	15 12 31.0	6.00	78.50	110.0				6.5	PAS
240	19	1942-11-06	13 31 10.0	6.00	77.00	130.0					
243	20	1942-11-11	02 02 36.0	6.50	75.50						
265	21	1943-04-05	03 08 58.0	6.50	76.00	140.0					
294	22	1945-07-12	09 12 8.0	8.50	74.50	150.0					
297	23	1945-08-06	23 02 10.0	6.00	76.50	100.0					
298	24	1945-08-09	03 13 32.0	6.00	76.50						
301	25	1945-08-29	13 38 32.0	4.50	78.50						
303	26	1945-09-29	04 27 46.0	6.00	77.00						
313	27	1946-11-10	17 42 53.0	8.50	77.50						
334	28	1949-08-05	07 49 29.0	6.50	77.00	100.0					
346	29	1950-02-07	21 16 16.0	7.20	74.00	160.0					
347	30	1950-03-14	03 10 2.0	8.00	74.00	150.0				6.8	PAS
354	31	1950-05-31	09 21 45.0	8.00	74.00	150.0					
359	32	1950-06-30	10 54 12.0	6.20	75.30	96.0					
363	33	1950-07-17	08 56 30.0	9.00	78.00						
366	34	1950-08-27	14 26 12.0	8.00	74.50	150.0					
384	35	1951-04-03	04 59 34.0	7.00	74.90	150.0					
408	36	1952-03-31	00 50 40.0	6.00	79.50						
419	37	1952-09-24	17 38 42.0	7.10	74.70						
422	38	1952-11-14	11 40 44.0	6.60	76.90						
433	39	1953-04-17	00 02 50.0	5.20	77.20					6.0	PAS
436	40	1953-06-30	13 23 14.0	8.00	76.50						

MAPA DE PELIGROS DE LA CIUDAD DE BELLAVISTA
PROYECTO INDECI-PNUD PER/02/051 CIUDADES SOSTENIBLES

N°CS	N°	Fecha	HORA (tiemp. Univ)	Lat. S (deg.)	Long. O (deg.)	Profundidad		Magnitud				
						(Km.)		m _b		M _s		
442	41	1953-08-16	03 09 55.0	7.10	74.70	160.0						
451	42	1954-02-26	15 35 15.0	8.50	76.00	150.0						
455	43	1954-03-27	18 21 3.0	8.50	74.80	128.0						
456	44	1954-03-28	19 20 58.0	7.50	73.50	100.0						
460	45	1954-05-07	00 22 55.0	8.00	74.00	150.0						
465	46	1954-06-15	13 29 59.0	5.00	77.00	100.0					6.6	PAS
466	47	1954-07-02	09 06 19.0	5.00	77.00							
472	48	1954-08-19	15 06 30.0	5.00	79.00							
490	49	1955-03-09	17 11 23.0	5.00	79.00							
504	50	1955-08-17	10 42 37.0	8.50	76.00	150.0						
505	51	1955-05-19	07 44 44.0	8.00	79.50	60.0						
518	52	1956-02-18	12 50 12.0	8.50	74.50	150.0						
520	53	1956-02-15	10 24 20.0	5.00	79.50							
541	54	1956-10-29	15 42 8.0	8.50	77.00	60.0						
557	55	1957-05-19	22 41 3.0	8.00	74.00	200.0						
566	56	1957-10-01	23 20 50.0	7.00	74.00							
577	57	1958-03-03	19 09 46.0	6.00	74.00							
581	58	1958-04-21	12 15 28.0	8.00	74.00	150.0						
584	59	1958-05-12	21 12 16.0	6.50	75.50	150.0						
604	60	1958-10-12	01 35 27.0	6.00	74.50	150.0						
627	61	1959-03-18	14 56 5.0	8.00	73.50	150.0						
628	62	1959-03-25	00 11 15.0	5.00	78.50							

MAPA DE PELIGROS DE LA CIUDAD DE BELLAVISTA
PROYECTO INDECI-PNUD PER/02/051 CIUDADES SOSTENIBLES

631	63	1959-04-25	20 23 36.0	8.00	76.00					
632	64	1959-04-26	05 21 38.0	8.50	75.25					
644	65	1959-07-05	15 53 37.0	8.00	74.00	200.0				
653	66	1959-08-15	18 28 57.0	8.00	79.50					
655	68	1960-01-04	15 05 39.0	5.50	77.50					
671	69	1960-01-30	05 07 24.0	5.50	77.50					
672	70	1960-02-08	19 06 16.0	8.50	74.50	200.0				
674	71	1960-02-14	18 20 46.0	6.00	75.50	150.0				
680	72	1960-05-06	18 53 59.0	7.50	74.50	60.0				
696	73	1960-09-13	21 55 34.0	5.00	74.50	119.0				
703	74	1960-10-21	04 18 44.4	7.20	73.80	100.0				
706	75	1960-11-20	10 49 13.4	8.40	77.60	55.0				
716	76	1960-12-23	14 34 37.9	4.80	75.60	82.0				
739	77	1961-03-24	02 13 14.1	8.50	74.70	175.0				
741	78	1961-04-02	11 14 28.1	8.60	75.00	115.0				
762	79	1961-06-27	05 39 57.7	8.50	76.10	33.0	N			
767	80	1961-07-08	05 49 2.0	6.20	77.10	15.0				
774	81	1961-07-30	07 25 46.8	5.40	78.70	42.0				
808	82	1961-11-11	21 46 59.5	8.10	75.00	117.0				
812	83	1961-11-29	20 38 9.2	7.20	76.40	33.0	N			
820	84	1962-01-08	10 44 22.3	4.10	77.40	100.0				
825	85	1962-02-27	00 04 43.5	6.20	77.00	61.0				
827	86	1962-02-28	13 44 42.0	8.90	75.80	33.0				
833	87	1962-04-07	12 24 16.5	8.20	75.00	140.0				

MAPA DE PELIGROS DE LA CIUDAD DE BELLAVISTA
PROYECTO INDECI-PNUD PER/02/051 CIUDADES SOSTENIBLES

839	88	1962-04-07	02 10 2.2	6.30	79.90	25.0					
853	89	1962-07-10	19 21 39.6	6.50	75.20	46.0					
861	90	1962-07-28	02 36 26.0	4.10	79.70	110.0					
863	91	1962-08-17	07 26 33.4	4.70	79.40	96.0					
865	92	1962-08-29	12 23 20.8	8.00	73.60	165.0					
896	93	1963-01-05	11 05 8.2	7.40	73.40	178.0					
901	94	1963-01-17	19 30 59.9	8.30	75.10	124.0					
904	95	1963-02-03	11 18 9.3	9.10	77.10	33.0					
919	96	1963-04-03	01 35 59.3	4.80	78.40	33.0					
922	97	1963-04-13	02 20 57.9	6.30	76.70	125.0	6.1		6.9	PAS	
927	98	1963-05-10	13 05 22.5	8.00	74.40	143.0	4.4				
939	99	1963-06-18	15 39 55.4	5.30	78.50	33.0	4.4				
940	100	1963-06-20	10 23 18.4	7.60	74.70	133.0	3.9				
947	101	1963-06-30	12 43 56.5	8.80	77.90	94.0	4.2				
946	102	1963-06-31	11 09 49.8	7.30	75.20	43.0	4.3				
986	103	1963-10-06	12 10 47.8	9.00	75.00	82.0	4.1				
997	104	1963-10-30	01 17 31.1	4.80	77.90	20.0	5.3				
998	105	1963-10-31	23 19 15.3	4.90	77.70	60.0	4.5				
1001	106	1963-11-03	04 24 48.4	4.30	78.30	146.0	4.2				
1006	107	1963-11-06	01 28 46.6	4.20	77.70	170.0	4.1				
1016	108	1963-11-15	00 18 52.4	4.70	76.80	152.0	4.3				
1031	109	1963-12-18	01 42 13.5	7.40	76.00	33.0	4.0				
1041	110	1964-01-03	13 27 44.5	5.00	77.30	33.0	4.2				
1043	111	1964-01-05	18 33 54.7	8.00	74.50	150.0	5.2				

MAPA DE PELIGROS DE LA CIUDAD DE BELLAVISTA
PROYECTO INDECI-PNUD PER/02/051 CIUDADES SOSTENIBLES

1062	112	1964-02-15	04 46 5.0	7.60	75.70	33.0		4.1			
1063	113	1964-02-16	10 03 37.7	7.60	75.90	31.0		4.5			
1065	114	1964-02-18	10 33.23.0	8.30	78.00	33.0		4.1	ISC		
1070	115	1964-02-21	21 52 12.4	7.70	79.50	36.0		4.3			
1079	116	1964-03-14	02 14 2.0	7.80	75.40	33.0		4.2			
1084	117	1964-03-22	07 05 39.7	5.50	77.10	147.0		5.1			
1087	118	1964-03-24	06 36 19.5	5.20	78.60	33.0		4.0			
1089	119	1964-03-25	12 44 59.4	7.50	74.30	156.0		3.8			
1090	120	1964-03-26	05 25 2.8	5.10	78.60	100.0		4.8			
1113	121	1964-05-17	07 52 58.7	7.90	74.30	152.0		3.9			
1124	122	1964-06-03	07 49 30.8	5.20	78.60	33.0		4.2			
1129	123	1964-06-09	15 31 29.6	4.77	77.90	40.0		4.4	ISC		
1152	124	1964-08-04	13 06 22.2	5.10	78.60	33.0		4.1			
1158	125	1964-08-18	00 26 51.8	7.20	74.40	156.0		5.3			
1159	126	1964-08-19	14 00 37.8	6.90	75.50	14.0		4.4			
1167	127	1964-09-21	13 27 32.9	7.20	74.30	150.0		4.6			
1168	128	1964-09-29	18 46 15.3	8.60	74.50	170.0		4.1			
1174	129	1964-10-07	17 02 34.4	6.30	78.60	23.0		3.7			
1183	130	1964-11-02	06 50 58.2	4.10	76.90	91.0		6.0			
1189	131	1964-11-20	10 30 36.0	5.00	77.80	292.0		3.7			
1191	132	1946-11-21	17 24 24.1	4.80	76.60	107.0		4.4			
1196	133	1964-1129	17 08 25.7	4.80	79.30	81.0		4.6			
1197	134	1964-12-01	02 33 19.6	7.00	75.50	254.0		3.6			
1202	135	1964-12-07	15 55 56.8	6.40	76.20	177.0		4.7			

MAPA DE PELIGROS DE LA CIUDAD DE BELLAVISTA
PROYECTO INDECI-PNUD PER/02/051 CIUDADES SOSTENIBLES

1205	136	1964-12-15	16 20 11.0	7.20	76.90	33.0		4.8			
1226	137	1965-01-23	14 48 28.0	8.30	75.10	33.0		4.2			
1236	138	1965-02-13	10 05 24.3	5.90	77.60	69.0		4.5	ISC		
1239	139	1965-02-19	23 01 50.0	7.52	74.68	138.0		4.4	ISC		
1240	140	1965-02-20	18 00 14.0	4.40	79.10	266.0		3.9			
1242	141	1965-03-05	07 18 30.6	4.02	79.40	231.0		3.8	ISC		
1247	142	1965-03-12	22 54 44.7	5.80	77.80	52.0		4.9			
1256	143	1965-04-04	20 09 41.1	8.80	74.50	143.0		5.3			
1260	144	1965-04-15	02 00 10.4	5.72	75.60	33.0		4.4	ISC		
1261	145	1965-04-22	22 14 4.1	6.02	78.68	118.0		4.6	ISC		
1285	146	1965-06-08	05 46 49.6	4.01	78.20	33.0		4.2	ISC		
1298	147	1965-07-02	02 28 13.0	7.60	76.90	21.0		4.4			
1297	148	1965-07-02	01 09 47.6	7.70	76.80	46.0		4.4			
1332	149	1965-08-22	12 24 22.5	7.80	74.50	141.0		4.7			
1335	150	1965-09-06	16 25 53.5	9.30	75.90	31.0		4.4			
1347	151	1965-09-20	18 10 40.3	6.30	75.00	139.0		5.1			
1357	152	1965-10-08	22 28 48.6	8.30	76.00	141.0		5.2			
1359	153	1965-10-10	19 35 0.1	7.70	74.60	140.0		4.3			
1380	154	1965-11-26	00 25 49.2	4.70	77.20	120.0		4.4			
1381	155	1965-11-29	17 07 2.0	6.00	78.60	37.0		5.5			
1388	156	1965-12-03	09 55 49.7	4.50	79.90	89.0		4.5			
1409	157	1966-01-01	19 51 56.1	7.80	74.70	165.0		4.6			
1451	158	1966-03-23	06 10 11.6	6.50	79.30	33.0		3.9			
1452	159	1966-03-23	21 57 9.8	7.20	74.70	140.0		5.1			

MAPA DE PELIGROS DE LA CIUDAD DE BELLAVISTA
PROYECTO INDECI-PNUD PER/02/051 CIUDADES SOSTENIBLES

1469	160	1966-05-01	08 04 26.1	6.90	77.00	48.0		4.5			
1475	161	1966-05-07	06 48 40.7	5.20	76.20	101.0		4.3			
1477	162	1966-05-11	00 01 32.2	7.10	74.50	152.0		4.0			
1515	163	1965-06-21	12 51 23.0	4.30	77.00	104.0		4.5			
1518	164	1966-06-30	10 49 52.4	6.80	76.80	21.0		4.8			
1536	165	1966-08-06	14 38 43.7	7.40	74.70	156.0		5.1			
1544	166	1966-08-21	09 39 19.8	4.10	79.10	120.0		4.1			
1547	167	1966-08-24	15 41 1.4	7.70	74.30	142.0		4.2			
1558	168	1966-09-06	21 04 32.5	4.90	76.80	123.0		4.3			
1559	169	1966-09-07	10 20 46.1	9.30	74.60	105.0		4.5			
1564	170	1966-09-10	20 08 59.1	5.10	78.60	48.0		4.3			
1566	171	1966-09-17	12 55 23.4	5.00	77.40	87.0		4.3			
1584	172	1966-10-16	15 18 22.0	9.30	75.90	134.0		4.0			
1620	173	1966-11-04	08 55 50.8	4.40	77.80	57.0		4.6			
1621	174	1966-11-04	09 15 1.0	4.40	77.80	86.0		4.5			
1623	175	1966-11-07	20 31 30.2	7.70	75.90	115.0		5.0			
1655	176	1966-12-23	18 59 5.1	7.40	74.70	139.0		5.2			
1666	177	1967-01-29	18 27 44.1	4.63	77.84	74.0		4.2			
1675	178	1967-02-13	10 25 44.0	5.18	75.41	39.0		5.3			
1691	179	1967-03-24	15 38 48.3	6.72	74.98	138.0		4.8			
1698	180	1967-04-02	01 35 34.9	8.63	75.87	28.0		4.6			
1705	181	1967-04-13	05 30 4.0	6.16	76.52	41.0		4.8			
1709	182	1967-04-22	19 29 33.3	5.76	79.82	33.0	N	4.3			
1713	183	1967-04-30	08 39 7.8	8.49	74.87	163.0	D	4.9			

MAPA DE PELIGROS DE LA CIUDAD DE BELLAVISTA
PROYECTO INDECI-PNUD PER/02/051 CIUDADES SOSTENIBLES

1719	184	1967-05-12	02 21 41.2	7.15	73.11	58.0		4.3			
1762	185	1967-07-14	10 08 45.5	6.40	77.40	146.0		4.6			
1778	186	1967-08-01	16 49 57.6	8.50	75.00	118.0		4.4			
1781	187	1967-08-05	14 46 32.9	8.20	75.10	132.0		4.3			
1780	188	1967-08-05	08 26 17.7	8.10	74.90	33.0		4.5	ISC		
1801	189	1967-09-04	16 06 8.7	9.20	77.30	33.0		4.8			
1806	190	1967-09-20	09 33 54.1	8.00	74.50	145.0		5.1			
1822	191	1967-10-20	04 39 12.0	5.10	75.20	116.0		4.0	ISC		
1852	192	1967-12-11	14 16 7.1	5.50	77.70	118.0		4.7			
1853	193	1967-12-11	21 57 1.9	9.10	75.10	33.0		4.5	ISC		
1860	194	1967-12-23	22 .57 43.7	6.60	78.50	43.0		4.5			
1863	195	1967-12-29	23 57 48.5	7.90	74.40	135.0		4.3			
1870	196	1968-01-08	23 43 20.4	8.89	74.62	33.0		4.4	ISC		
1872	197	1968-01-13	04 03 43.3	8.24	75.20	33.0		4.3	ISC		
1891	198	1968-03-08	08 23 0.0	4.20	77.90	106.0		4.2			
1902	199	1968-04-07	23 49 4.5	5.00	78.00	68.0		4.9			
1906	200	1968-04-17	06 54 19.6	5.60	77.10	36.0		4.9			
1924	201	1968-05-27	04 15 37.0	8.10	76.90	103.0		4.2	ISC		
1927	202	1968-06-05	13 53 51.0	7.90	74.42	157.0		4.4			
1931	203	1968-06-19	17 33 8.0	6.41	76.54	112.0		4.2			
1953	204	1968-06-19	14 40 29.0	6.80	78.80	155.0		3.9	ISC		
1937	205	1968-06-19	09 01 24.0	4.60	78.70	128.0		4.3	ISC		
1941	206	1968-06-19	09 11 21.0	4.10	77.40	278.0		4.4	ISC		
1951	207	1968-06-19	12 46 13.0	5.62	77.31	33.0	N	4.7			

MAPA DE PELIGROS DE LA CIUDAD DE BELLAVISTA
PROYECTO INDECI-PNUD PER/02/051 CIUDADES SOSTENIBLES

1940	208	1968-06-19	09 05 48.9	5.37	77.26	26.0		5.3	ISC		
1956	209	1968-06-19	17 07 44.5	5.52	77.25	33.0	N	5.0			
1938	210	1968-06-19	09 01 59.0	5.90	77.20	147.0		4.3	ISC		
1957	211	1968-06-19	18 54 51.0	6.60	77.20	220.0		3.9	ISC		
1959	212	1968-06-19	23 38 58.5	5.70	77.18	33.0	N	5.1		4.4	H
1954	213	1968-06-19	16 54 30.0	5.64	77.17	33.0	N	4.8			
1946	214	1968-06-19	10 18 46.3	5.57	77.16	33.0	N	4.9			
1934	215	1968-06-19	08 13 35.0	5.56	77.15	28.0		6.4		6.9	H
1945	216	1968-06-19	09 35 20.3	5.14	77.13	33.0		4.0	ISC		
1935	217	1968-06-19	08 36 26.7	5.30	77.13	33.0		4.7	ISC		
1949	218	1968-06-19	11 00 6.0	5.30	77.12	33.0		4.5	ISC		
1944	219	1968-06-19	09 28 1.0	5.70	77.12	38.0		4.7			
1958	220	1968-06-19	21 19 11.2	5.66	77.10	33.0		4.5	ISC		
1948	221	1968-06-19	10 57 25.0	5.53	77.09	33.0		4.7			
1950	222	1968-06-19	12 42 17.0	5.62	77.09	23.0		4.4			
1955	223	1968-06-19	17 06 10.0	5.70	77.07	33.0	N	4.5			
1952	224	1968-06-19	14 20 17.0	5.59	77.04	33.0	N	4.3			
1942	225	1968-06-19	09 17 20.9	5.75	77.00	91.0		4.6	ISC		
1943	226	1968-06-19	09 27 11.0	5.56	76.95	255.0		4.3			
1939	227	1968-06-19	09 24 59.0	5.40	76.86	33.0	N	4.3	ISC		
1963	228	1968-06-20	02 38 38.4	5.59	77.33	33.0	N	5.8		5.7	H
1965	229	1968-06-20	08 11 10.5	5.76	77.33	33.0	N	5.3			
1960	230	1968-06-20	00 11 10.5	5.53	77.32	33.0	N	4.4			
1964	231	1968-06-20	05 4 45.0	5.47	77.25	33.0	N	4.3			

MAPA DE PELIGROS DE LA CIUDAD DE BELLAVISTA
PROYECTO INDECI-PNUD PER/02/051 CIUDADES SOSTENIBLES

1966	232	1968-06-20	15 51 56.5	5.72	77.25	33.0	N	4.7		4.7	H
1961	233	1968-06-20	00 28 14.0	5.41	77.03	33.0	N	4.3			
1962	234	1968-06-20	00 47 48.0	5.51	76.97	33.0	N	4.4			
1970	235	1968-06-21	07 24 17.0	5.45	77.31	25.0		4.8			
1968	236	1968-06-21	00 26 7.8	5.72	77.28	22.0		5.6			
1971	237	1968-06-21	07 31 17.3	5.49	77.23	33.0	N	4.9			
1972	238	1968-06-21	12 28 54.0	5.49	77.19	15.0	G	4.4			
1969	239	1968-06-21	02 19 59.0	5.5	77.06	33.0		4.3			
1973	240	1968-06-21	12 51 41.0	5.46	76.95	33.0	N	4.1			
1980	241	1968-06-22	20 16 55.0	5.60	77.25	33.0	N	4.4			
1979	242	1968-06-22	18 34 7.0	5.50	77.11	33.0		4.5			
1974	243	1968-06-22	04 02 19.5	5.74	77.07	25.0	D	4.6			
1977	244	1968-06-22	09 16 50.0	5.51	77.03	34.0		4.6			
1978	245	1968-06-22	11 59 13.0	5.62	77.03	33.0	N	4.3			
1975	246	1968-06-22	04 24 45.0	5.58	76.99	33.0	N	4.6			
1982	247	1968-06-23	19 09 48.0	5.64	77.33	33.0	N	4.2			
1983	248	1968-06-23	19 18 29.0	7.10	76.70	33.0		4.3	ISC		
1984	249	1968-06-24	02 59 34.0	5.76	77.34	33.0	N	4.4			
1986	250	1968-06-24	14 03 48.0	5.76	77.14	53.0	D	4.7			
1985	251	1968-06-24	10 58 59.0	5.53	77.10	23.0		4.2			
1988	252	1968-06-25	10 03 51.0	5.50	77.26	33.0	N	4.2			
1987	253	1968-06-25	03 03 4.0	6.20	76.50	224.0		3.7	ISC		
1991	254	1968-06-26	06 33 49.0	5.76	77.56	33.0	N	4.3			
1995	255	1968-06-26	20 51 9.6	5.58	77.29	33.0	N	4.4			

MAPA DE PELIGROS DE LA CIUDAD DE BELLAVISTA
PROYECTO INDECI-PNUD PER/02/051 CIUDADES SOSTENIBLES

1989	256	1968-06-26	04 53 45.3	5.69	77.20	27.0		4.9			
1990	257	1968-06-26	05 17 33.2	6.40	77.20	194.0		3.8	ISC		
1994	258	1968-06-26	16 34 12.7	5.58	77.17	34.0		5.0			
1992	259	1968-06-26	06 46 41.0	6.20	76.70	153.0		4.1	ISC		
1998	260	1968-06-27	20 27 4.0	5.96	77.80	114.0		4.3	ISC		
1996	261	1968-06-27	07 10 35.0	5.57	77.07	37.0		4.4			
1997	262	1968-06-27	09 35 4.0	5.76	76.60	67.0		4.0	ISC		
1999	263	1968-06-27	11 47 45.0	7.54	74.25	102.0		4.5			
2001	264	1968-06-29	18 43 26.0	5.55	77.05	33.0	N	4.5			
2002	265	1968-06-30	02 09 47.0	5.36	77.15	24.0		4.1			
2003	266	1968-07-01	11 08 23.0	5.68	77.14	52.0		4.8			
2005	267	1968-07-03	15 24 54.0	5.53	77.14	33.0	N	4.2			
2006	268	1968-07-05	06 45 42.0	5.49	76.87	33.0	N	4.4			
2008	269	1968-07-07	23 48 8.2	5.76	77.06	27.0		5.5		5.2	H
2007	270	1968-07-07	12 35 50.0	5.42	77.29	34.0		4.4			
2010	271	1968-07-08	08 45 47.0	5.69	76.87	33.0	N	4.8			
2012	272	1968-07-14	10 01 11.0	5.43	77.29	33.0	N	4.5			
2013	273	1968-07-14	15 19 59.0	5.44	76.89	33.0	N	4.2			
2014	274	1968-07-16	12 30 57.0	5.69	77.19	33.0	N	4.6			
2015	275	1968-07-16	13 18 43.2	5.68	77.16	27.0	D	5.0			
2016	276	1968-07-16	14 01 51.0	5.69	77.02	33.0	N	4.5			
2017	277	1968-07-23	07 14 48.3	5.68	77.02	116.0		4.0			
2021	278	1968-07-27	22 06 9.0	5.50	76.63	139.0		4.2			
2022	279	1968-07-28	18 36 10.3	5.61	76.95	46.0		5.0			

MAPA DE PELIGROS DE LA CIUDAD DE BELLAVISTA
PROYECTO INDECI-PNUD PER/02/051 CIUDADES SOSTENIBLES

2023	280	1968-08-02	10 09 30.9	5.75	77.43	76.0		4.3			
2028	281	1968-08-18	06 38 25.8	6.75	78.41	156.0		3.9			
2033	282	1968-08-22	02 47 34.6	6.31	76.75	185.0		3.7			
2034	283	1968-08-24	06 40 49.4	5.74	76.93	102.0		4.4			
2036	284	1968-08-25	01 39 16.7	6.34	77.11	191.0		3.8			
2037	285	1968-08-27	11 19 14.6	5.81	77.35	26.0		4.9		4.3	H
2041	286	1968-09-02	23 01 53.4	5.95	77.41	104.0		4.3			
2043	287	1968-09-07	17 41 56.8	5.53	76.87	63.0		5.0			
2046	288	1968-09-09	00 37 43.2	8.73	74.52	120.0		6.0			
2052	289	1968-09-11	00 56 29.2	5.88	76.47	282.0		3.7			
2057	290	1968-09-18	04 23 40.3	9.27	75.72	41.0		4.3			
2077	291	1968-11-07	02 44 30.1	5.90	77.15	42.0		4.3			
2083	292	1968-11-19	07 18 56.2	5.36	77.31	20.0	G	4.7			
2087	293	1968-11-29	09 31 5.1	5.70	76.92	110.0		4.1			
2093	294	1968-12-04	11 33 22.0	7.34	74.45	112.0		4.2			
2098	295	1968-12-10	00 58 59.4	5.76	77.44	85.0		4.4			
2109	296	1969-01-01	08 04 34.0	5.95	77.07	97.0		4.3			
2110	297	1969-01-04	05 38 6.7	6.05	77.71	34.0		4.2			
2116	298	1969-01-15	08 19 58.2	6.28	78.35	164.0		4.1			
2123	299	1969-02-03	21 37 33.5	5.74	77.09	40.0		4.9			
2126	300	1969-02-06	14 36 41.2	5.84	78.38	33.0	N	4.2			
2129	301	1969-02-21	00 52 8.6	8.93	75.39	135.0		4.4			
2132	302	1969-02-23	16 59 13.1	6.70	74.48	33.0		4.5	ISC		
2136	303	1969-03-04	00 11 39.0	6.32	76.73	203.0		4.5			

MAPA DE PELIGROS DE LA CIUDAD DE BELLAVISTA
 PROYECTO INDECI-PNUD PER/02/051 CIUDADES SOSTENIBLES

2139	304	1969-03-05	23 18 59.6	6.57	76.20	33.0		4.6			
2140	305	1969-03-08	13 37 5.6	5.53	77.06	44.0		4.6			
2145	306	1969-03-17	16 31 42.0	8.39	75.18	33.0	N	4.4			
2146	307	1969-03-21	23 34 41.5	5.64	77.16	51.0		4.7			
2157	308	1969-04-10	21 32 22.2	4.89	78.08	110.0					
2160	309	1969-04-19	09 21 46.4	5.32	77.17	26.0		5.0			
2164	310	1969-05-03	04 09 30.6	5.58	77.23	21.0		4.3			
2170	311	1969-05-18	20 01 34.0	5.49	77.00	61.0		4.3			
2171	312	1969-05-19	01 41 30.4	5.18	76.47	33.0	N	3.9			
2173	313	1969-05-21	00 40 27.4	8.56	77.18	78.0		4.2			
2199	314	1969-07-05	04 55 33.7	5.64	77.16	37.0		5.2		5.1	H
2202	315	1969-07-11	13 51 25.7	4.17	76.55	122.0	D	4.6			
2217	316	1969-08-02	13 50 0.0	8.45	77.31	33.0	N	4.7			
2229	317	1969-08-22	12 59 47.3	8.51	77.00	28.0		4.5			
2238	318	1969-09-08	12 43 40.0	6.07	77.54	125.0		4.1			
2287	319	1969-12-10	09 46 47.6	7.36	74.83	164.0		4.3			
2300	320	1970-01-03	02 08 13.2	6.30	77.78	130.0		4.3			
2309	321	1970-01-26	09 15 6.7	7.75	74.46	155.0	G	4.5			
2310	322	1970-01-30	05 41 52.3	4.16	76.82	125.0	G	4.5			
2311	323	1970-02-01	12 29 42.4	7.16	76.90	33.0		4.4	ISC		
2314	324	1970-02-09	02 16 24.2	5.36	76.52	80.0		4.7			
2343	325	1970-04-16	10 26 58.9	5.62	77.09	43.0		4.8			
2349	326	1970-05-14	07 00 19.0	4.49	78.90	61.0		4.2	ISC		
2354	327	1970-05-27	09 52 33.6	6.15	76.47	51.0		4.6			

MAPA DE PELIGROS DE LA CIUDAD DE BELLAVISTA
PROYECTO INDECI-PNUD PER/02/051 CIUDADES SOSTENIBLES

2370	328	1970-06-01	06 05 43.0	9.24	77.59	34.0		5.2	ISC		
2371	329	1970-06-01	06 11 56.7	8.79	77.24	45.0		4.7			
2387	330	1970-06-04	02 28 45.3	8.78	75.39	70.0		4.5	ISC		
2395	331	1970-06-05	10 13 2.7	5.65	77.79	43.0		5.1			
2399	332	1970-06-07	18 58 21.8	8.27	77.15	48.0		4.7			
2413	333	1970-06-24	01 43 40.1	8.68	74.91	123.0		4.5			
2424	334	1970-07-07	06 03 45.6	7.72	74.31	160.0	G	4.8			
2425	335	1970-08-18	04 34 18.4	7.35	76.55	145.0	G	4.4			
2447	336	1970-08-27	08 22 52.7	4.03	76.58	135.0		4.9	ISC		
2458	337	1970-10-04	20 20 4.5	8.92	75.60	37.0		4.1			
2461	338	1970-10-09	06 51 31.0	7.50	76.70	65.0		4.3	ISC		
2479	339	1970-11-16	12 22 21.5	8.60	74.94	139.0	D	4.9			
2511	340	1970-12-12	05 37 47.8	5.92	74.99	29.0		4.8			
2571	341	1971-01-27	23 22 54.9	4.30	75.23	24.0		4.8			
2576	342	1971-02-10	08 13 18.8	4.84	78.54	108.0		4.4			
2580	343	1971-03-16	00 25 3.0	8.46	77.81	34.0		4.8			
2592	344	1971-04-24	03 34 32.2	6.03	77.22	69.0		4.3			
2593	345	1971-04-26	14 26 30.5	7.19	74.88	75.0		4.6			
2595	346	1971-05-04	22 50 54.2	7.35	79.17	153.6					
2596	347	1971-05-04	17 28 10.9	8.27	77.84	34.0		4.9			
2608	348	1971-05-22	14 50 1.2	7.24	76.1	71.0		4.4			
2610	349	1971-05-23	22 29 18.1	7.61	74.50	153.0	D	4.4			
2625	350	1971-06-24	05 07 12.6	7.34	73.64	33.0	A				
2639	351	1971-08-10	22 44 9.7	7.91	75.10	115.0		4.41			

MAPA DE PELIGROS DE LA CIUDAD DE BELLAVISTA
 PROYECTO INDECI-PNUD PER/02/051 CIUDADES SOSTENIBLES

2651	352	1971-09-09	01 37 23.1	7.35	74.60	150.0	D	5.1			
2652	353	1971-09-12	00 46 13.2	7.21	79.98	64.0		4.7			
2690	354	1971-11-29	01 01 41.2	6.95	75.79	20.0		4.3			
2714	355	1972-02-12	22 42 21.6	4.20	76.94	132.0		4.4			
2726	356	1972-03-20	13 33 3.6	6.70	77.99	0.0	A				
2728	357	1972-03-20	19 09 49.1	6.94	77.94	0.0	A				
2727	358	1972-03-20	16 50 27.1	6.81	76.85	33.0	N	5.4		4.3	H
2724	359	1972-03-20	07 33 49.6	6.77	76.79	64.0	D	6.1		6.9	PAS
2725	360	1972-03-20	07 51 4.8	6.64	76.77	50.0	G	5.4			
2731	361	1972-03-22	04 49 43.5	6.86	76.63	39.0		4.1			
2732	362	1972-03-24	03 01 4.3	7.01	76.75	87.5					
2735	363	1972-04-01	09 12 52.5	7.01	76.47	49.5					
2738	364	1972-04-04	07 00 4.9	6.95	76.58	104.3	A				
2739	365	1972-04-04	14 37 30.8	7.16	73.90	0.0	A				
2745	366	1972-04-06	18 48 36.1	6.87	76.64	60.0					
2782	367	1972-05-25	21 59 18.4	7.22	76.38	207.1					
2786	368	1972-06-01	00 54 21.8	6.61	76.51	15.0					
2788	369	1972-06-02	18 32 51.7	6.75	77.16	52.2					
2805	370	1972-06-21	08 25 16.6	7.82	74.44	153.0	D				
2806	371	1972-06-24	06 35 39.3	4.45	78.22	0.0	A				
2807	372	1972-06-25	12 18 58.9	5.01	79.92	68.0					
2823	373	1972-07-12	02 32 25.4	7.67	74.10	0.0	A				
2853	374	1972-08-18	12 42 8.5	7.07	74.29	0.0	A				
2856	375	1972-08-20	16 39 32.3	7.56	74.67	147.0	D				

MAPA DE PELIGROS DE LA CIUDAD DE BELLAVISTA
PROYECTO INDECI-PNUD PER/02/051 CIUDADES SOSTENIBLES

2860	376	1972-08-26	12 30 26.9	7.73	78.98	0.0	A				
2872	377	1972-09-17	18 42 52.8	7.83	75.54	219.7					
2882	378	1972-09-29	01 20 44.7	8.47	74.99	140.0	D				
2891	379	1972-10-10	09 26 5.1	6.71	74.77	138.0	D				
2894	380	1972-10-14	06 13 16.4	7.69	74.03	0.0	A				
2904	381	1972-10-29	04 55 11.6	5.55	76.48	52.5					
2908	382	1972-11-04	12 58 10.1	7.56	73.17	0.0	A				
2912	383	1972-11-11	17 26 19.2	7.65	78.36	0.0	A				
2920	384	1972-12-02	11 34 57.7	5.13	76.05	54.2					
2930	385	1972-12-17	02 29 55.7	8.80	75.48	0.0	A				
2932	386	1972-12-19	02 43 41.0	4.83	77.10	191.0					
2940	387	1972-12-26	17 51 15.5	6.70	73.44	0.0	A				
2947	388	1973-01-21	18 12 29.9	7.95	74.39	147.0	D	5.1			
2951	389	1973-01-30	17 36 20.7	5.55	77.08	48.0		4.6			
2954	390	1973-02-06	04 09 6.0	5.18	78.42	92.0		4.8			
2955	391	1973-02-07	06 10 21.8	7.42	74.81	140.0	D	5.3			
2961	392	1973-02-28	13 36 39.6	9.15	77.57	33.0	N	4.8			
2965	393	1973-03-01	20 44 25.6	5.63	78.72	0.0	A				
2982	394	1973-03-18	18 09 8.9	8.84	74.60	231.3					
2988	395	1973-03-28	16 48 21.2	7.22	76.51	157.0		4.2			
3006	396	1973-04-23	00 00 33.3	6.82	73.89	0.0	A				
3038	397	1973-06-09	13 24 9.2	4.67	77.22	109.0	D	4.6			
3057	398	1973-07-10	23 39 16.4	8.73	77.29	27.2		4.5			
3058	399	1973-07-13	19 06 58.3	6.78	76.32	96.9		4.4			

MAPA DE PELIGROS DE LA CIUDAD DE BELLAVISTA
PROYECTO INDECI-PNUD PER/02/051 CIUDADES SOSTENIBLES

3071	400	1973-07-28	06 10 30.7	5.01	73.94	59.9					
3086	401	1973-08-07	05 56 24.8	5.68	77.10	58.0		4.7			
3085	402	1973-08-07	02 52 35.5	7.23	76.36	0.0	A				
3094	403	1973-08-27	05 24 8.7	8.27	76.91	0.0	A				
3101	404	1973-09-10	03 32 8.9	7.80	73.84	0.0	A				
3104	405	1973-09-16	04 34 8.6	5.43	76.81	0.0					
3105	406	1973-09-18	12 58 25.2	7.03	76.14	133.0	D	5.8			
3106	407	1973-09-20	00 00 22.5	4.17	78.24	177.9					
3115	408	1973-10-09	04 36 49.9	4.14	76.24	136.0		4.5			
3141	409	1973-11-08	05 24 15.0	7.29	74.61	179.9		4.5			
3145	410	1973-11-11	01 53 12.4	5.93	75.16	139.0	D	4.8			
3156	411	1973-11-26	03 24 42.2	6.64	75.17	49.0		4.7			
3157	412	1973-11-26	10 05 24.8	8.96	75.05	0.0	A				
3158	413	1973-11-29	05 29 35.0	5.61	76.06	0.0	A				
3174	414	1974-01-12	06 00 11.2	6.11	76.65	260.8					
3179	415	1974-01-14	17 35 17.0	8.56	77.74	33.0		5.2		4.5	H
3178	416	1974-01-14	15 52 47.3	8.57	77.55	4.0		5.2		4.5	H
3184	417	1974-01-21	02 34 44.4	4.25	77.78	129.0		4.4			
3201	418	1974-02-08	06 22 11.5	8.32	77.18	81.0		4.6			
3202	419	1974-02-09	02 02 28.2	8.96	75.06	162.0		4.5			
3207	420	1974-02-12	08 33 15.3	5.78	74.49	22.0	D	4.6			
3211	421	1974-03-05	00 55 45.0	6.46	77.71	235.0		4.0			
3222	422	1974-03-21	19 28 24.1	4.53	73.40	48.0		4.8			
3229	423	1974-04-01	15 34 12.4	4.91	77.70	76.0		4.6			

MAPA DE PELIGROS DE LA CIUDAD DE BELLAVISTA
PROYECTO INDECI-PNUD PER/02/051 CIUDADES SOSTENIBLES

3234	424	1974-04-11	09 59 44.1	8.38	77.77	0.0	A	4.7			
3239	425	1974-04-18	03 28 44.0	5.64	77.04	28.0	D	4.6			
3251	426	1974-05-13	03 28 44.0	5.60	78.87	33.0	A				
3263	427	1974-05-29	23 51 44.3	9.21	75.09	104.0		4.6			
3268	428	1974-06-07	04 04 13.9	8.82	75.82	25.0		4.9			
3277	429	1974-06-19	23 25 45.3	8.73	76.15	32.0		4.4			
3290	430	1974-07-05	19 36 43.0	7.39	77.28	294.4		3.9			
3305	431	1974-07-29	21 47 58.8	4.16	75.63	160.3		4.3			
3310	432	1974-08-11	17 05 30.3	6.56	77.43	128.1		4.1			
3328	433	1974-09-16	02 47 15.1	7.79	74.44	163.2					
3394	434	1974-10-18	04 09 40.4	4.04	77.64	127.0		4.3			
3418	435	1974-11-11	11 43 53.7	7.33	76.72	74.0		4.7			
3421	436	1974-11-15	02 50 22.9	5.73	79.96	33.0	A				
3434	437	1974-12-05	11 57 31.3	7.69	74.45	162.0	D	6.0			
3436	438	1974-12-06	06 52 49.4	7.84	74.82	167.0		4.4			
3437	439	1974-12-07	11 35 21.5	8.03	76.21	0.0	A				
3441	440	1974-12-09	20 57 11.1	6.80	74.60	0.0	A				
3446	441	1974-12-18	20 31 27.8	4.53	77.66	0.0	A				
3464	442	1975-01-22	15 07 31.5	7.75	74.47	153.0	D	4.6			
3467	443	1975-02-01	12 50 44.5	5.94	79.53	33.0	N	4.7			
3477	444	1975-02-22	11 39 34.1	8.50	75.23	97.0		4.4			
3484	445	1975-03-18	17 21 23.4	4.32	77.01	98.0	D	6.2		6.5	PAS
3491	446	1975-04-01	08 14 43.4	7.88	74.51	0.0	A				
3516	447	1975-05-18	11 15 44.2	6.60	76.94	0.0	A	4.3			

MAPA DE PELIGROS DE LA CIUDAD DE BELLAVISTA
PROYECTO INDECI-PNUD PER/02/051 CIUDADES SOSTENIBLES

3522	448	1975-06-03	20 18 2.0	6.17	75.15	33.0	D	5.0		5.2	S
3529	449	1975-06-11	16 37 36.8	5.97	73.36	0.0	A	4.6			
3537	450	1975-06-29	03 32 7.2	6.94	77.42	0.0	A				
3547	451	1975-07-31	10 42 31.9	5.22	78.83	92.8					
3559	452	1975-08-16	00 53 53.7	5.38	76.08	123.0	D	5.7			
3562	453	1975-08-24	15 30 8.7	5.49	77.22	33.0	N	5.1		4.3	Z
3594	454	1975-11-15	06 33 23.5	7.29	75.64	32.5					
3598	455	1975-11-29	06 26 56.2	5.12	77.57	33.0		4.8			
3601	456	1975-12-08	01 50 19.1	5.51	77.30	78.0		5.0			
3647	457	1976-04-18	10 52 43.6	8.39	75.01	135.0	D	4.7			
3653	458	1976-05-07	05 10 49.3	8.62	74.72	133.0		5.3			
3667	459	1976-05-23	22 21 2.1	6.96	74.07	33.0	N	4.7			
3692	460	1976-07-08	12 46 16.9	4.75	79.72	80.0		4.6			
3695	461	1976-07-13	09 21 45.9	7.44	73.93	33.0	A	4.9			
3717	462	1976-09-02	02 34 29.3	4.24	79.70	33.0	A				
3720	463	1976-09-14	04 38 24.0	5.37	77.21	29.0					
3726	464	1976-09-24	06 49 10.4	6.92	75.84	33.0	A				
3764	465	1976-12-20	16 56 41.5	6.85	77.18	68.2		5.0	GS		
3780	466	1977-02-01	14 37 56.8	8.88	74.54	156.0		4.9			
3789	467	1977-02-24	07 11 50.8	8.55	74.52	138.0		4.9			
3790	468	1977-03-01	01 02 25.6	8.75	74.75	141.0		4.6			
3814	469	1977-03-30	18 53 36.8	5.24	78.52	21.0	D	5.0			
3825	470	1977-05-01	00 09 6.2	6.11	77.13	123.0	D	4.9			
3827	471	1977-05-03	22 43 37.0	5.93	75.59	133.0		4.7			

MAPA DE PELIGROS DE LA CIUDAD DE BELLAVISTA
PROYECTO INDECI-PNUD PER/02/051 CIUDADES SOSTENIBLES

3838	472	1977-05-09	17 57 39.8	8.38	77.43	34.0		4.8			
3844	473	1977-05-13	13 35 16.9	5.75	77.09	49.0		5.0			
3872	474	1977-06-13	01 02 1.8	5.62	77.41	33.0	N	4.7			
3881	475	1977-07-10	03 06 52.2	9.23	75.76	31.0		4.9			
3883	476	1977-07-19	00 48 32.2	8.91	76.93	123.0		4.7			
3884	477	1977-07-20	16 45 0.8	7.36	74.00	33.0	A				
3886	478	1977-07-24	23 25 36.4	5.58	77.39	33.0	N	4.8			
3890	479	1977-07-30	05 22 19.2	4.58	77.21	33.0	N	4.9		4.5	Z
3893	480	1977-08-05	08 09 34.0	4.73	77.49	352.8					
3903	481	1977-08-26	05 46 51.7	7.98	74.48	149.0		4.6			
3913	482	1977-09-20	17 17 59.5	4.05	79.88	164.0		4.7	GS		
3917	483	1977-09-28	01 01 52.1	5.71	77.04	81.0		4.7			
3931	484	1977-11-02	14 33 15.5	5.73	75.33	177.0	A				
3952	485	1977-12-26	21 17 33.1	8.44	75.94	15.8					
3967	486	1978-02-02	06 15 1.9	8.88	75.68	45.0		4.6			
3976	487	1978-03-14	17 20 47.3	4.67	77.76	69.0	D	4.8			
3980	488	1978-03-24	00 31 22.1	5.22	75.59	42.0		5.3			
3988	489	1978-04-11	22 57 48.5	5.73	75.01	148.0		4.7			
4003	490	1978-05-04	11 26 11.9	8.07	76.00	131.0		5.1			
4017	491	1978-05-28	06 07 4.0	6.71	74.57	75.0		4.9			
4020	492	1978-06-09	07 34 58.8	7.77	74.54	152.0	D	5.0			
4019	493	1978-06-09	04 08 39.2	7.81	73.72	33.0	N	4.6			
4025	494	1978-06-28	09 04 52.7	5.37	79.56	33.0	N				
4047	495	1978-08-30	00 26 3.6	5.30	78.41	127.0		5.0			

MAPA DE PELIGROS DE LA CIUDAD DE BELLAVISTA
PROYECTO INDECI-PNUD PER/02/051 CIUDADES SOSTENIBLES

4065	496	1978-11-04	09 09 19.0	8.37	76.03	131.0		5.0		3.9	ISC
4076	497	1978-11-22	06 24 17.6	7.34	75.90	33.0	N	4.9			
4090	498	1978-12-28	09 55 7.5	8.15	74.65	187.4					
4093	499	1979-01-06	01 31 47.6	8.88	75.73	33.0	N	5.7		5.7	ISC
4100	500	1979-01-21	12 33 47.7	8.65	74.88	134.0		5.0			
4104	501	1979-01-27	13 38 58.2	5.29	76.65	56.8		4.5			
4120	502	1979-02-26	06 33 33.4	8.29	75.11	131.0		4.9		4.0	ISC
4131	503	1979-03-16	07 03 34.1	4.02	76.64	46.0		4.4			
4140	504	1979-04-18	19 36 30.2	7.71	74.52	155.0	D	4.7			
4153	505	1979-05-15	15 13 4.8	8.62	75.97	143.0		4.8			
4154	506	1979-05-20	01 43 24.5	6.32	77.39	33.0	A	4.4			
4165	507	1979-06-01	20 40 53.7	7.49	75.16	108.0		4.9			
4175	508	1979-06-09	20 50 30.1	8.70	75.87	33.0	A				
4197	509	1979-07-30	13 43 14.9	7.06	78.08	33.0	N	4.6			
4219	510	1979-09-13	04 40 58.7	5.36	77.52	34.0		5.0			
4226	511	1979-10-09	16 57 5.3	6.35	76.28	118.0	D	5.0			
4230	512	1979-10-11	17 48 37.2	5.41	77.21	33.0	N	5.2			
4229	513	1979-10-11	17 47 31.8	5.41	77.13	33.0	N	4.9			
4240	514	1979-11-18	13 50 45.4	6.46	73.91	33.0	N	5.0			
4248	515	1979-12-13	15 30 18.0	7.91	72.23	98.0	A				
4274	516	1980-01-22	01 08 5.5	4.44	77.86	121.0		4.4			
4275	517	1980-01-31	00 24 34.0	7.62	74.39	155.0	D	4.8			
4282	518	1980-02-18	02 45 53.0	8.98	74.78	33.0	A				
4285	519	1980-02-24	11 00 50.6	4.77	77.35	142.0		4.6			

MAPA DE PELIGROS DE LA CIUDAD DE BELLAVISTA
PROYECTO INDECI-PNUD PER/02/051 CIUDADES SOSTENIBLES

4304	520	1980-03-29	11 56 29.4	7.66	74.32	148.0	D	4.7			
4305	521	1980-04-02	23 14 34.1	8.62	74.69	138.0		4.6			
4306	522	1980-04-04	06 25 25.4	7.89	74.41	154.0	D	5.0		4.0	ISC
4318	523	1980-05-04	23 29 3.2	5.12	78.81	127.0		4.6			
4323	524	1980-05-16	04 52 53.8	7.92	73.75	186.0	D	5.3		4.0	ISC
4342	525	1980-06-16	21 47 32.5	8.71	74.81	144.0		4.9			
4352	526	1980-07-10	17 41 22.4	8.43	75.76	46.5					
4358	527	1980-07-25	00 11 43.1	8.06	74.52	168.0		4.6			
4361	528	1980-08-05	10 21 49.9	5.2	79.11	33.0	A	4.5			
4371	529	1980-09-03	11 17 59.5	5.64	79.36	75.9		4.3			
4373	530	1980-09-04	20 18 58.5	4.80	77.75	33.0	A				
4377	531	1980-09-16	22 08 22.6	7.11	75.81	33.0	N	4.9			
4378	532	1980-09-17	15 39 6.4	6.73	76.99	132.6		4.4			
4387	533	1980-10-01	14 21 15.3	9.03	76.70	33.0	N				
4391	534	1980-10-10	19 10 1.8	8.44	74.64	135.0		4.7			
4399	535	1980-11-02	18 21 15.6	4.53	79.44	95.0	D	5.0		3.1	ISC
4417	536	1980-11-21	13 20 33.0	8.68	75.93	33.0	A	4.4			
4494	537	1981-04-11	10 22 8.7	5.50	77.34	33.0	N	4.9			
4526	538	1981-04-27	16 22 33.7	4.46	77.03	127.0		4.8			
4543	539	1981-05-09	19 48 25.5	7.11	75.64	133.3		4.3			
4542	540	1981-05-09	02 56 7.9	8.33	75.07	205.0	A				
4554	541	1981-05-23	07 01 59.5	8.55	74.61	222.9	A				
4556	542	1981-05-24	08 51 6.0	5.58	78.76	33.0	N	4.2			
4559	543	1981-05-26	04 45 51.7	4.91	76.43	102.3		4.6			

MAPA DE PELIGROS DE LA CIUDAD DE BELLAVISTA
PROYECTO INDECI-PNUD PER/02/051 CIUDADES SOSTENIBLES

4573	544	1981-06-18	07 14 42.8	8.75	75.06	160.5					
4575	545	1981-06-21	23 58 59.9	4.86	76.91	102.0	D	5.1			
4591	546	1981-06-28	12 56 20.0	7.82	74.30	132.9		4.8			
4602	547	1981-07-13	19 47 34.8	6.71	76.82	33.0	N	4.9			
4625	548	1981-08-03	13 37 47.4	5.35	78.13	91.0	D	4.9			
4631	549	1981-08-16	21 46 53.6	8.61	74.65	147.0	D	4.9			
4632	550	1981-08-16	23 11 21.7	8.60	74.52	149.0	D	4.8			
4654	551	1981-09-10	19 41 60.0	8.62	77.11	226.8		4.2			
4662	552	1981-09-19	01 27 17.1	7.87	76.40	252.5					
4726	553	1981-11-30	07 48 39.5	5.15	77.65	89.2		4.4			
4772	554	1982-01-27	17 14 28.0	7.06	74.40	161.0	D	5.1			
4775	555	1982-02-02	07 11 29.2	8.74	74.51	33.0	A				
4780	556	1982-02-04	18 57 43.6	4.99	77.51	33.0	N	5.3		4.0	ISC
4791	557	1982-02-24	09 57 49.2	8.95	74.59	240.0		4.2			
4797	558	1982-03-01	01 34 13.1	7.58	76.71	146.0		4.7			
4799	559	1982-03-03	20 54 2.4	6.83	76.10	121.9		4.7			
4811	560	1982-03-19	03 05 18.0	5.77	75.32	33.0	N				
4826	561	1982-04-12	09 12 23.1	6.76	77.06	183.6		3.8			
4833	562	1982-04-18	14 15 57.1	5.62	77.54	61.0	D	4.6			
4857	563	1982-05-25	05 19 1.8	5.47	77.44	17.0	D	4.9			
4875	564	1982-06-31	00 33 11.0	4.47	78.39	33.0	A				
4910	565	1982-08-10	04 51 48.6	5.35	77.37	33.0	N	5.5		4.5	ISC
4914	566	1982-08-12	08 27 6.3	6.68	75.79	33.0	A	4.7			
4915	567	1982-08-12	08 27 29.0	8.46	75.38	33.0	N				

MAPA DE PELIGROS DE LA CIUDAD DE BELLAVISTA
PROYECTO INDECI-PNUD PER/02/051 CIUDADES SOSTENIBLES

4944	568	1982-09-11	08 01 41.1	7.58	75.56	40.0		4.8			
4977	569	1982-10-22	23 12 48.3	9.08	74.50	180.8		4.0			
5026	570	1982-12-18	10 15 6.2	6.39	77.69	33.0	N	5.4		4.3	Z
5057	571	1983-02-27	01 20 26.4	4.01	76.40	126.6		4.2			
5060	572	1983-02-28	13 54 50.5	7.34	76.40	33.3		5.1		4.2	Z
5072	573	1983-04-04	02 01 10.4	5.58	78.78	52.7		4.7			
5076	574	1983-04-12	12 07 54.5	4.84	78.10	104.2		6.6	PAS		
5081	575	1983-04-15	10 08 20.5	5.98	75.66	118.0		5.6			
5085	576	1983-04-21	19 40 55.0	9.17	75.36	107.6		4.5			
5118	577	1983-07-21	02 33 28.5	8.56	74.66	154.1		4.7			
5125	578	1983-08-04	07 44 25.4	4.02	76.58	99.4		4.9			
5131	579	1983-08-21	15 47 17.02	4.98	76.01	129.9	S	4.6			
5140	580	1983-09-20	02 13 56.9	8.03	76.62	132.0		4.4			
5153	581	1983-11-03	07 41 11.5	4.01	78.42	92.8	D	5.9			
5157	582	1983-11-13	22 38 45.7	5.59	77.06	29.2		5.0		3.9	Z
5161	583	1983-11-22	15 15 15.0	5.01	78.11	25.6		5.2			
5164	584	1983-11-27	17 48 3.7	4.89	76.16	111.0	D	4.8			
5177	585	1983-12-25	05 32 40.2	5.09	73.36	33.0	N	5.4			
5189	586	1984-02-08	14 20 12.9	7.26	76.47	33.9		5.0			
5197	587	1984-03-06	21 40 4.9	5.31	77.27	120.0		4.8			
5198	588	1984-03-11	07 43 49.0	6.45	76.09	33.0	N	4.8			
5225	589	1984-06-03	04 10 26.9	7.80	76.78	33.9		5.3			
5226	590	1984-06-05	04 15 24.4	7.82	76.71	33.0	N	5.8		5.1	Z,
5227	591	1984-06-05	22 33 20.1	7.75	76.10	33.0	N	5.0			

MAPA DE PELIGROS DE LA CIUDAD DE BELLAVISTA
 PROYECTO INDECI-PNUD PER/02/051 CIUDADES SOSTENIBLES

5231	592	1984-06-14	08 08 23.0	7.28	76.72	33.0	N	4.6			
5238	593	1984-07-11	06 09 41.7	6.51	77.04	47.5		4.9			
5241	594	1984-07-24	11 49 58.4	8.43	74.73	132.8	D	5.3			
5243	595	1987-07-29	06 02 29.1	5.29	76.60	36.8		4.4			
5246	596	1987-07-30	07 19 41.9	8.54	75.02	142.9		4.1			
5250	597	1987-08-09	02 00 40.9	8.33	74.54	217.5					
5252	598	1987-08-18	16 38 26.8	7.72	77.02	139.0					
5263	599	1987-10-03	23 55 20.1	6.21	75.84	50.6	D	5.3			
5268	600	1987-11-23	18 40 11.8	8.16	76.13	99.1		5.9			
5271	601	1987-12-13	19 36 2.7	7.25	77.38	97.0		5.0			

ANEXO N° 02

ESTUDIOS DE SUELOS

ENSAYOS DE LABORATORIO

(TRABAJOS DE LABORATORIO)

PROYECTO : ESTUDIOS CON FINES DE CIMENTACION DE LAS
CIUDADES DE JUANJUI, BELLAVISTA Y SAN
HILARION

REBAJO REALIZADO: CLASIFICACION DE SUELOS

SOLICITANTE : *INDECI PERU – PNUD – PER /02/51*

UBICACIÓN : *PROVINCIA DE BELLAVISTA*

ENSAYOS ESTANDAR:

ENSAYOS PATA DETERMINACION DE PROPIEDADES INDICE (NORMAS)	NTP	ASTM
* Contenido de Humedad Natural	339,127	D2216
* Gravedad Específica de los Sólidos	339,131	D854
* Peso Volumétrico (densidad natural)	-----	D2937
* Limites de Consistencia		
• Límite Líquido	339,129	D4318
• Límite Líquido	339,129	D4318
• Índice de Plasticidad	-----	-----
• Límite de Contracción	339,140	D427
* Análisis Granulométrico por Tamizado	339,128	D422
* Corte Directo	339,171	D3080
* Consolidación (por carga, 24 Horas)	-----	D2435

TARAPOTO – PERU



UNIVERSIDAD NACIONAL DE SAN MARTIN

FACULTAD DE INGENIERIA CIVIL
LABORATORIO DE MECANICA DE SUELOS Y PAVIMENTOS

SOLICITA : PROYECTO INDECI - PNUD - PER/02/051, MAPAS DE PELIGRO DE LAS CIUDADES DE JUANJUI, BELLAVISTA Y SAN HILARION
 UBICACIÓN : BELLAVISTA-SAN MARTIN
 MUESTRA : CALICATAS
 FECHA : BELLAVISTA, JUNIO DEL 2004

CUADRO RESUMEN - PROPIEDADES FISICO-MECANICAS

CALICATA	RESULTADOS													
	PROFUND.	GRANULOMETRIA		PROPIEDADES INDICES				GRAVEDAD	PESO	HUMEDAD	NIVEL	ANGULO	COHESION	CLASIF.
	MUESTRA	MALLA	MALLA	L.L	L.P.	IP	Lc	ESPECIFICA	UNITARIO	NATURAL	FREATICO	FRICCION	COHESION	SUCS
MUESTRA	m.	# 200	#4	%	%	%	%		gr/cm3	%	m.	φ	Kg/cm2	
C-1- M1	0.00-0.65	86.42	98.07	45.6	27.43	18.17	-----	2.44	1.480	25.00	---	---	---	OL
C-1- M2	0.65-3.00	49.97	87.06	36.78	23.1	13.68	5.85	2.61	1.592	13.19	---	---	---	SC
C-2- M1	0.45-2.15	81.24	100	64.37	29.73	34.64	-----	2.46	1.451	18.61	---	---	---	CH
C-2- M2	2.15-3.25	73.01	100	41.32	18.06	23.26	6.37	2.55	1.532	12.03	---	11°	0.32	CL
C-3- M1	0.50-1.10	84.06	96.59	67.35	30.25	37.1	8.02	2.45	1.439	22.54	---	---	---	CH
C-3- M2	1.10-3.00	14.46	39.03	35.3	20.03	15.27	-----	2.62	1.753	11.43	---	---	---	GC
C-4- M1	0.40-0.75	91.98	98.34	49.85	23.95	25.90	8.77	2.56	1.525	20.69	---	---	---	CL
C-4- M2	0.75-3.00	34.78	80.92	36.42	17.45	18.97	-----	2.61	1.544	11.20	---	---	---	SC
C-5- M1	0.40-3.00	58.99	80.13	41.14	24.02	9.73	-----	2.62	1.515	21.43	---	---	---	CL
C-5- M2	0.75-3.00	48.4	71.58	31.44	19.14	12.3	-----	2.62	1.598	18.65	---	---	---	SC
C-6	0.40-3.00	17.59	57.10	30.58	15.57	15.01	-----	2.62	1.572	18.67	---	---	---	SC
C-7- M1	0.50-1.60	77.56	99.73	49.38	16.46	32.92	5.18	2.53	1.521	18.64	---	---	---	CL
C-7- M2	1.60-3.00	48.77	93.94	33.12	20.39	12.73	-----	2.59	1.546	13.65	---	---	---	SC
C-8- M1	0.40-1.40	45.80	99.94	38.68	22.33	12.66	-----	2.6	1.511	25.24	---	---	---	CL
C-8- M2	1.40-3.00	32.92	61.23	39.96	22.77	17.19	-----	2.60	1.552	17.00	---	---	---	SC
C-9- M1	0.40-1.05	84.69	91.5	30.16	16.82	13.34	12.10	2.57	1.518	22.00	---	---	---	CL
C-9- M2	1.05-3.00	30.68	68.66	31.44	19.68	11.76	---	2.60	1.556	19.06	---	---	---	SC



UNIVERSIDAD NACIONAL DE SAN MARTIN
 FACULTAD DE INGENIERIA CIVIL
LABORATORIO DE MECANICA DE SUELOS Y PAVIMENTOS

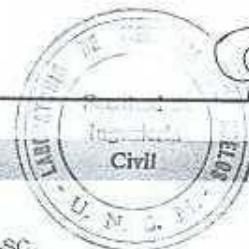
SOLICITA : PROYECTO INDECI - PNUD - PER/02/051, MAPAS DE PELIGRO DE LAS CIUDADES DE JUANJUI, BELLAVISTA Y SAN HILARION
 UBICACIÓN : BELLAVISTA-SAN MARTIN
 MUESTRA : CALICATAS
 FECHA : BELLAVISTA, JUNIO DEL 2004

CUADRO RESUMEN - PROPIEDADES FISICO-MECANICAS

CALICATA MUESTRA	RESULTADOS													
	PROFUND.	GRANULOMETRIA		PROPIEDADES INDICES				GRAVEDAD	PESO	HUMEDAD	NIVEL	ANGULO	COHESION	CLASIF.
	MUESTRA m.	MALLA # 200	MALLA #4	L.L %	L.P. %	IP %	Lc %	ESPECIFICA gr/cm3	UNITARIO gr/cm3	NATURAL %	FREATICO m.	FRICCION φ	Kg/cm2	SUCS
C-10- M1	0.30-0.65	92.07	98.36	49.17	24.23	24.94	13.87	2.56	1.500	23.16	---	---	---	CL
C-10- M2	0.65-3.05	31.03	68.06	31.42	19.35	12.07	---	2.61	1.579	16.07	---	23.75°	0.22	SC
C-11- M1	0.15-0.90	74.97	99.44	35.36	22.84	12.52	10.07	2.54	1.512	19.83	---	---	---	CL
C-11- M2	0.90-3.00	28.21	83.02	30.25	17.79	12.46	---	2.61	1.537	16.02	---	---	---	SC
C-12- M1	0.20-0.95	95.85	99.94	38.52	24.43	14.09	11.75	2.55	1.505	35.38	---	---	---	CL
C-12- M2	0.95-3.00	31.65	86.54	30.46	17.07	13.09	---	2.61	1.537	15.74	---	27.74°	0.16	SC
C-13- M1	0.25-0.70	58.33	97.4	30.42	16.61	13.81	11.55	2.57	1.500	14.44	---	---	---	CL
C-13- M2	0.70-3.00	28.45	84.42	30.58	17.36	13.22	---	2.62	1.536	16.95	---	---	---	SC
C-14- M1	0.20-1.10	76.05	99.27	49.5	27.35	22.15	8.25	2.53	1.512	9.86	---	---	---	CL
C-14- M2	1.10-2.90	11.57	44.85	46.27	21.1	25.17	---	2.62	1.731	12.14	---	---	---	SP-SC
C-15-M1	0.25-0.57	66.43	99.9	30.39	16.95	13.44	11.65	2.56	1.500	18.23	---	---	---	CL
C-15-M2	0.57-3.10	29.88	84.62	30.35	16.97	13.38	---	2.62	1.546	19.38	---	---	---	SC
C-16	0.20-3.20	45.00	99.58	19.42	NP	NP	---	2.60	1.589	10.49	---	32.60	0.00	SM
C-17	0.20-3.00	95.76	100	28.62	22.93	5.69	---	2.48	1.458	13.22	---	---	---	ML
C-18	0.20-3.00	84.33	100	28.56	23.43	5.13	---	2.48	1.459	19.43	---	---	---	ML
C-19	0.30-3.20	61.9	99.76	22.11	17.00	5.11	---	2.51	1.477	13.97	---	25°	0.27	ML
C-20	0.40-3.00	84.58	100	28.03	22.77	5.26	---	2.50	1.466	20.71	---	---	---	ML



UNIVERSIDAD NACIONAL DE SAN MARTIN
 FACULTAD DE INGENIERIA CIVIL
 LABORATORIO DE MECANICA DE SUELOS Y PAVIMENTOS- FIC
 TELEFAX 521365 - CIUDAD UNIVERSITARIA



[Handwritten signature]

ENSAYO DE CORTE DIRECTO RESIDUAL

ASTM D3080

INFORME :	LMS- 2004	DESCRIPCION DEL SUELO:	C10-MII -SC
SOLICITANTE :	INDECI-PERU	ESTADO DEL SUELO:	INALTERADO
PROYECTO :	Mapas de peligro de las ciudades de Bellavista, Juanjui y San Hilarión	CERTIFICADO N°:	UNSM -U113
UBICACIÓN :	SAN MARTIN-BELLAVISTA	DISPOSITIVO UTILIZADO :	AUTOMATICO
FECHA :	JULIO DEL 2004	HORA DE ENSAYO:	8:00 PM.

OBSERVACIONES	HUMEDAD NATURAL						PESO VOLUMETRICO (con anillo)					
	TARA	C+ M.H.	C+ M.S.	AGUA	P.M.S.	W	N° ANILLO	PESO ANILLO	P. ANILLO+ M	PESO M	VOL. ANILLO	γ
DE CUBO INALT.	84.64	258.60	234.51	24.09	149.87	16.07	1	42.5	122.0	79.5	50.32	1.580
DE CUBO INALT.	84.52	260.32	235.98	24.34	151.46	16.07	2	43.6	123.0	79.4	50.32	1.578
DE CUBO INALT.	84.75	260.58	236.25	24.33	151.50	16.06	3	40.1	120.0	79.9	50.32	1.588

Observaciones

Caja de corte

Fecha Corte

Prmedio Humedad Natural **16.07 %**

Prmedio Peso Volumetrico **1.58 gr/cm³**

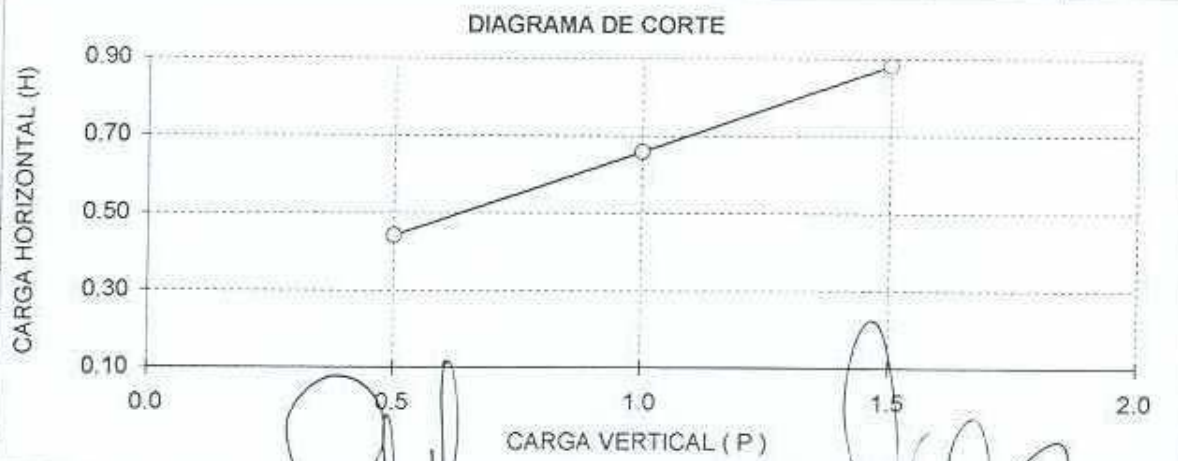
Peso Volumetrico Sumergido **1.11 gr/cm³**

N° ANILLO	11	7	14
Carga vertical	0.50	1.00	1.50
Carga horizontal	0.44	0.66	0.88

Tangente (tg f) **0.44**

Angulo de talud (f) **23.75 °**

Cohesion (c) **0.22 Kg/cm²**



OBSERVACIONES: El corte que se ha efectuado se ha realizado en una muestra de 300*200 mm. Y se efectuó en el equipo de Corte Residual electrónico y el Peso Volumétrico In Situ con molde según norma ASTM

[Signature]
Roberto Mori
 Lab. Mec. de Suelos y Cementos
 UNSM - F.I.C.

[Signature]
Serbrando Quiroga
 INGENIERO CIVIL
 CIP. 20186



ENSAYO DE CORTE DIRECTO RESIDUAL

ASTM D3080

INFORME :	LMS-2004	DESCRIPCIÓN DEL SUELO:	C12-MII - SC
SOLICITANTE :	INDECI-PERU	ESTADO DEL SUELO:	INALTERADO
PROYECTO :	Mapas de peligro de las ciudades de Bellavista, Juanjui y San Hilarión	CERTIFICADO N°:	LNSM-UH14
UBICACIÓN :	SAN MARTIN-BELLAVISTA	DISPOSITIVO UTILIZADO :	AUTOMATICO
FECHA :	JULIO DEL 2004	HORA DE ENSAYO:	8:00 PM

OBSERVACIONES	HUMEDADES						PESO VOLUMETRICO (con anillo)					
	TARA	C + MH	C + M.S.	AGUA	P.M.S	W	N° ANILLO	PESO ANILLO	P. ANILLO+ M	PESO M.	VOL. ANILLO	γ
	58.10	354.60	314.42	40.18	256.32	15.68	1'1	40.2	116.00	75.8	49.32	1.537
	58.20	213.00	192.03	20.97	133.83	15.67	1'2	40.2	118.00	77.8	50.32	1.546
	58.46	220.13	197.98	22.15	139.52	15.88	1'3	40.2	119.00	78.8	51.32	1.535

Observaciones

Fecha Cons
 Fecha Corte

Prmedio Humedad Natural **15.74** %

Prmedio Peso Volumetrico **1.54** gr/cm³

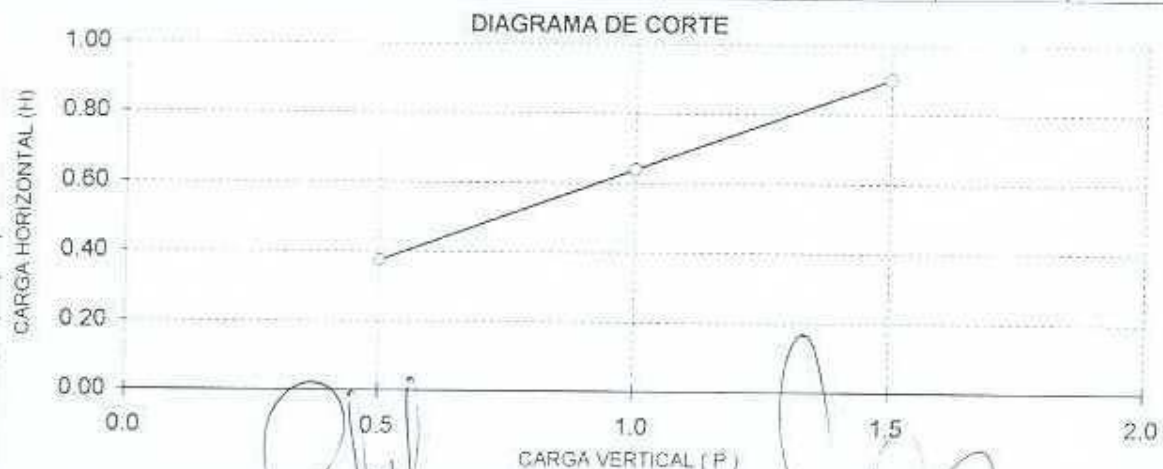
Peso Volumetrico Sumergido **1.08** gr/cm³

N° ANILLO	1	9	5
Carga vertical	0.50	1.00	1.50
Carga horizontal	0.37	0.64	0.90

Tangente (tg f) **0.53**

Angulo de talud (f) **27.7**

Cohesion (c) **0.16**



OBSERVACIONES: El corte que se ha efectuado se ha realizado en una muestra de 300x300 mm. Y se efectuó en el equipo de Corte Residual electrónico y el Peso Volumétrico In Situ con molde según norma ASTM.

Lic. Rubén Morán
 Lab. Mec. de Suelos y Pavimentos
 UNSM - F.I.C.

Lic. Juan Carlos Díaz
 FIC



ENSAYO DE CORTE DIRECTO RESIDUAL

ASTM D3080

INFORME :	LMS- 2004	DESCRIPCION DEL SUELO:	C19- ML
SOLICITANTE :	INDECI-PERU	ESTADO DEL SUELO:	REMOLDEADO
PROYECTO :	Mapas de peligro de las ciudades de Bellavista, Juanjui y San Hilarión	CERTIFICADO N°:	UNSM -U115
UBICACIÓN :	SAN MARTIN-BELLAVISTA	DISPOSITIVO UTILIZADO :	AUTOMÁTICO
FECHA :	JULIO DEL 2004	HORA DE ENSAYO:	1:00 PM.

OBSERVACIONES	HUMEDAD NATURAL						PESO VOLUMETRICO (con anillo)					
	TARA	C + M.H.	C + M.S.	AGUA	P.M.S.	W	N° ANILLO	PESO ANILLO	P. ANILLO+ M	PESO M.	VOL ANILLO	γ
DE CUBO INALT	58.96	88.52	84.92	3.60	25.96	13.87	1	343.7	773.0	429.3	290.64	1.477
DE CUBO INALT	58.78	88.50	84.90	3.60	26.12	13.78	1	343.7	772.0	428.3	290.64	1.474
DE CUBO INALT	58.56	88.54	84.92	3.62	26.36	13.73	1	343.7	772.0	428.3	290.64	1.474

Observaciones

Caja de corte

Fecha Corte

Prmedio Humedad Natural **13.79 %**

Prmedio Peso Volumetrico **1.47 gr/cm³**

Peso Volumetrico Sumergido **1.03 gr/cm³**

N° ANILLO	1	2	3
-----------	---	---	---

Carga vertical	0.50	1.00	1.50
----------------	------	------	------

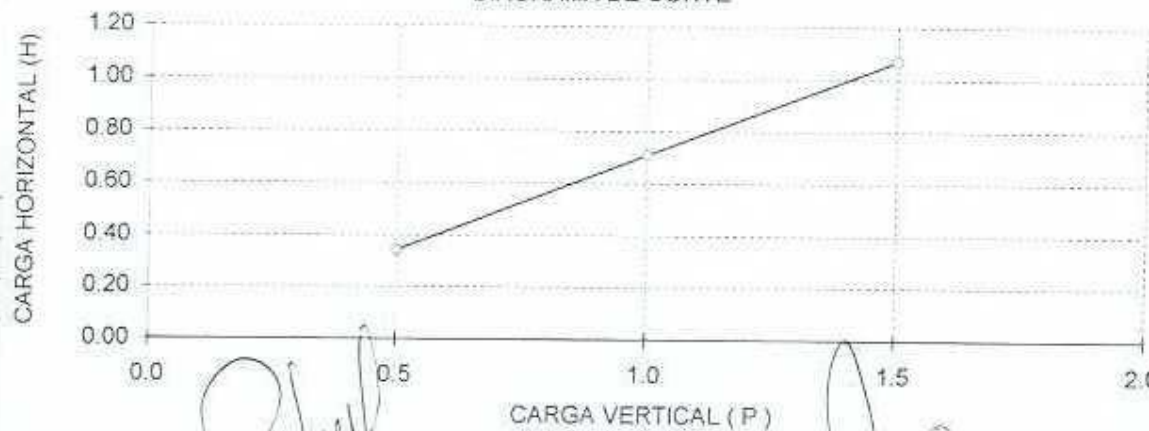
Carga horizontal	0.53	0.92	1.00
------------------	------	------	------

Tangente (tg f) **0.47**

Angulo de fricción (φ) **25.17 °**

Cohesion (c) **0.27 Kg/cm²**

DIAGRAMA DE CORTE



OBSERVACIONES: El corte que se ha efectuado en una muestra remoldeada en el mismo equipo y el Peso Volumétrico se calculo con la caja de corte

Roberto
 M. de Suelos y Pavimentos
 UNSM - FIC

[Signature]
 M. de Suelos y Pavimentos
 UNSM - FIC



UNIVERSIDAD NACIONAL DE SAN MARTIN
FACULTAD DE INGENIERIA CIVIL
LABORATORIO DE MECANICA DE SUELOS Y PAVIMENTOS- FIC
 TELEFAX 521365 - CIUDAD UNIVERSITARIA



ENSAYO DE CORTE DIRECTO RESIDUAL

ASTM D3080

INFORME :	LMS- 2004	DESCRIPCIÓN DEL SUELO:	C16-SM
SOLICITANTE :	INDECI-PERU	ESTADO DEL SUELO:	REMOLDEADO
PROYECTO :	Mapas de peligro de las ciudades de Bellavista, Juanjui y San Hilarión	CERTIFICADO N°:	UNSM -U121
UBICACIÓN :	SAN MARTIN-BELLAVISTA	DISPOSITIVO UTILIZADO :	AUTOMATICO
FECHA :	JULIO DEL 2004	HORA DE ENSAYO:	1:00 PM.

OBSERVACIONES	HUMEDAD NATURAL						PESO VOLUMETRICO (con anillo)					
	TARA	C.+ M.H.	C.+ M.S.	AGUA	P.M.S.	W	N° ANILLO	PESO ANILLO	P. ANILLO+ M	PESO M	VOL. ANILLO	γ
	58.60	108.10	103.45	4.65	44.85	10.37	1	343.7	804.5	460.8	290.64	1.586
	58.20	108.23	103.58	4.65	45.38	10.25	1	343.7	805.0	461.3	290.64	1.587
	59.65	108.54	103.56	4.98	43.91	11.34	1	343.7	806.0	462.3	290.64	1.591

Observaciones

Caja de corte

Fecha Corte

Prmedio Humedad Natural **10.65 %**

Prmedio Peso Volumetrico **1.59 gr/cm³**

Peso Volumetrico Sumergido **1.11 gr/cm³**

N° ANILLO	1	2	3
-----------	---	---	---

Carga vertical	0.50	1.00	1.50
----------------	------	------	------

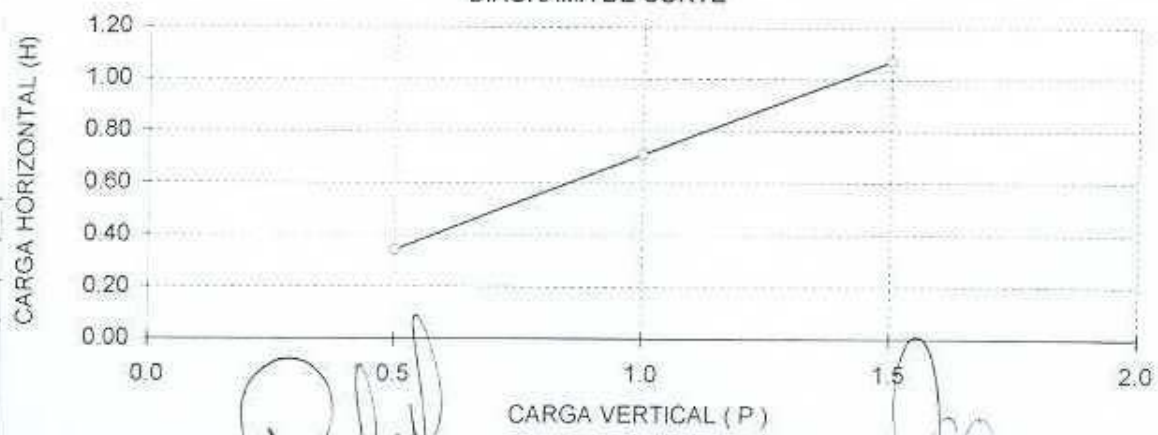
Carga horizontal	0.34	0.67	0.98
------------------	------	------	------

Tangente (tg ϕ) **0.64**

Angulo de friccion (ϕ) **32.62 °**

Cohesion (c) **0.00 Kg/cm²**

DIAGRAMA DE CORTE



OBSERVACIONES: El corte que se ha efectuado en una muestra remoldeada en el mismo equipo y el Peso Volumétrico se calculo con la caja de corte

[Handwritten signature]
 Ing. Roberto [illegible]
 Laboratorio de Suelos y Pavimentos
 U.N.S.M. - Arequipa

[Handwritten signature]
 Ing. [illegible]
 Laboratorio de Suelos y Pavimentos
 U.N.S.M. - Arequipa



UNIVERSIDAD NACIONAL DE SAN MARTIN
FACULTAD DE INGENIERIA CIVIL
LABORATORIO DE MECANICA DE SUELOS Y PAVIMENTOS- FIC
 TELEFAX 521365 - CIUDAD UNIVERSITARIA

ENSAYO DE CORTE DIRECTO RESIDUAL

ASTM D3080

INFORME :	LMS- 2004	DESCRIPCION DEL SUELO:	C2-MII -CL
SOLICITANTE :	INDECI-PERU	ESTADO DEL SUELO:	INALTERADO
PROYECTO :	Mapas de peligro de las ciudades de Bellavista, Juanjui y San Hilarión	CERTIFICADO N°:	UNSM -U122
UBICACIÓN :	SAN MARTIN-BELLAVISTA	DISPOSITIVO UTILIZADO :	AUTOMATICO
FECHA :	JULIO DEL 2004	HORA DE ENSAYO:	8:00 PM.

HUMEDAD NATURAL							PESO VOLUMETRICO (con anillo)					
OBSERVACIONES	TARA	C+MH	C+M.S.	AGUA	P.M.S.	W	Nº ANILLO	PESO ANILLO	P. ANILLO+M	PESO M.	VOL. ANILLO	γ
DE CUBO INALT.	35.52	302.00	272.98	29.02	237.46	12.22	1	44.2	121.6	77.4	50.32	1.537
DE CUBO INALT.	49.72	302.25	274.56	27.69	224.84	12.32	2	44.5	121.6	77.1	50.32	1.532
DE CUBO INALT.	44.02	302.25	274.58	27.67	230.56	12.00	3	44.4	121.8	77.4	50.32	1.537

Observaciones

Caja de corte

Fecha Corte

Prmedio Humedad Natural **12.18 %**

Prmedio Peso Volumetrico **1.54 gr/cm³**

Peso Volumetrico Sumergido **1.07 gr/cm³**

Nº ANILLO	11	7	14
-----------	----	---	----

Carga vertical	0.56	1.11	1.67
----------------	------	------	------

Carga horizontal	0.64	0.75	0.85
------------------	------	------	------

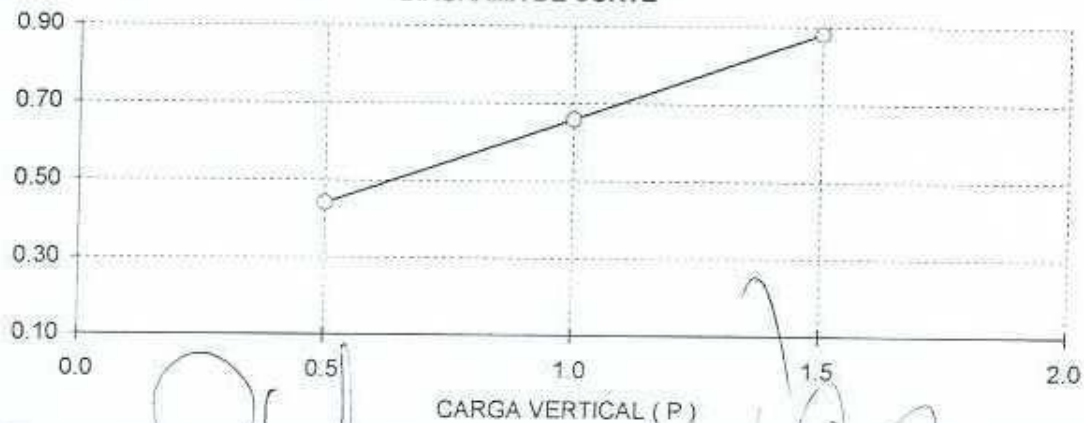
Tangente (tg f) **0.19**

Angulo de talud (f) **10.96 °**

Cohesion (c) **0.32 Kg/cm²**

CARGA HORIZONTAL (H)

DIAGRAMA DE CORTE



OBSERVACIONES: El corte que se ha efectuado se ha realizado en una muestra de 300*300 mm. Y se efectuó en el equipo de Corte Residual electrónico y el Peso Volumétrico In Situ con molde según norma ASTM.

Eds. Robert
 Ing. Mec. de Suelos y Caminos
 UNSM - F.I.C.

Gerardo Soplopoco Quiroga
 INGENIERO CIVIL
 CIP. 38126



UNIVERSIDAD NACIONAL DE SAN MARTÍN
 FACULTAD DE INGENIERIA CIVIL
 LABORATORIO DE MECANICA DE SUELOS Y PAVIMENTOS- FIC
 TELEFAX 521365 - CIUDAD UNIVERSITARIA

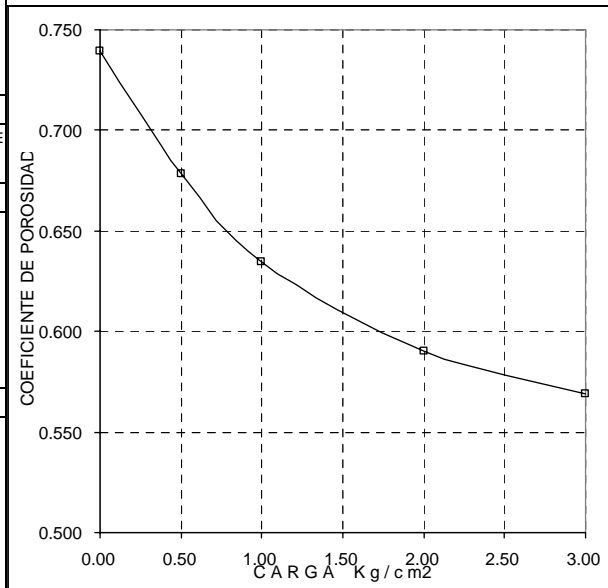
ENSAYO DE CONSOLIDACION POR CARGA

ASTM D2435

INFORME : LMS-2004
SOLICITANTE : INDECI-PERU
PROYECTO : Mapas de peligro de las ciudades de Bellavista, Juanjui y San Hilarión
UBICACIÓN : SAN MARTIN
FECHA : 30 DE JULIO DEL 2004

DESCRIPCION DEL SUELO: C16
ESTADO DEL SUELO: INALTERADO
CERTIFICADO N°: UNSM -U106
DISPOSITIVO UTILIZADO : AUTOMATICO
HORA DE ENSAYO: 8:00 PM.

DETERMINACION DE PROPIEDADES FISICAS	ANTES ENSAYO	DESPUES DEL ENSAYO	RESULTADOS DEL ENSAYO DE CONSOLIDACION DE SUELOS			
	EN ANILLO	EN ANILLO METODO DEL HIDROMETRO	CARACTERISTICAS DEL ESQUELETO		CARACTERISTICAS DEL SUELO SEGÚN EL MONOLITO	
PESO VOLUMETRICO HUMEDO P_v g/cm^3	1.620		TERRENO NATURAL :	SI	HUMEDAD DEL SUELO POR EL MONOLITO 9.60 %	
HUMEDAD DEL ESQUELETO DEL SUELO W %	9.600		ESTRUCTURA :	FRICCIONANTE	PESO VOLUMETRICO DE ESQUELETO 1.48 gr/cm^3	
P. VOLUMETRICO DEL ESQUELETO DEL SUELO gr/cm^3	1.478		OBSERVACIONES :	ESTADO NATURAL	POROSIDAD 42.50 %	
COEFICIENTE DE POROSIDAD n	0.739		INDICE GEOLOGICO	Nº DE LABORATORIO	COEFICIENTE DE POROSIDAD 0.74 %	
GRADO DE SATURACION G %	33.381		ESTADO DE ESTRUCTURA		GRADO DE SATURACION 33.38 %	
PESO DEL SUELO CON ANILLO gr	126.00		PESO ESPECIFICO	2.57 PROMEDIO		
PESO DEL ANILLO gr	44.500		LIMITE LIQUIDO	0.00		
PESO DEL SUELO gr	81.500		LIMITE PLASTICO	0.00		
ALTURA DEL ANILLO h cm	2.000		INDICE PLASTICO	N.P		
AREA DE CORTE TRANSVERSAL	25.160		DATOS DE COMPRESION			
AREA DEL ANILLO F cm^2	25.160		P	H	E	COEFICIENTE
VOLUMEN DEL ANILLO cm^3	50.320		gr/cm^2	mm.		POROSIDAD
PESO ESPECIFICO	2.570		DE HUMEDAD NATURAL			
ALTURA REDUCIDA $h_o=(h/1+n)$	1.150		0.00			0.739
PESO DEL SUELO SECO gr	74.361		0.50	0.70	0.061	0.678
			1.00	1.20	0.104	0.635
			2.00	1.71	0.149	0.590
			3.00	1.96	0.170	0.569
			SATURADO			
P	DEFORMACION	VARIACION COEFICIENTE	COEFICIENTE	REGISTRO	COEFICIENTE	COEFICIENTE
gr/cm^2		POROSIDAD	POROSIDAD	CURVA	COMPRESIB. RELATIVA	DE COMPRESIB.
0.00			0.739	0.739		
0.50	0.70	0.061	0.678	0.678	0.122	3.50
1.00	1.20	0.104	0.635	0.635	0.087	6.00
2.00	1.71	0.149	0.590	0.590	0.044	8.55
3.00	1.96	0.170	0.569	0.569	0.022	9.80





UNIVERSIDAD NACIONAL DE SAN MARTIN
FACULTAD DE INGENIERIA CIVIL
LABORATORIO DE MECANICA DE SUELOS Y PAVIMENTOS- FIC
 TELEFAX 521365 - CIUDAD UNIVERSITARIA

ENSAYO DE CONSOLIDACION POR CARGA

ASTM D2435

INFORME : LMS-2004
SOLICITANTE : INDECI-PERU
PROYECTO : Mapas de peligro de las ciudades de Bellavista, Juanjui y San Hilarion
UBICACION : SAN MARTIN
FECHA : 30 DE JULIO DEL 2004

DESCRIPCION D DESCRIPCION DEL SUELO: C14
ESTADO DEL SU ESTADO DEL SUELO: INALTERADO
CERTIFICADO N CERTIFICADO N°: UNSM -U106
DISPOSITIVO UT DISPOSITIVO UTILIZADO : AUTOMATICO
HORA DE ENSA' HORA DE ENSAYO: 8:00 PM.

DENOMINACION	ANTES ENSAYO	DESPUES DEL ENSAYO	RESULTADOS DEL ENSAYO DE CONSOLIDACION DE SUELOS					
	EN ANILLO	EN ANILLO METODO DEL HIDROMETRO	CARACTERISTICAS DEL ESQUELETO		CARACTERISTICAS DEL SUELO SEGUN EL MONOLITO			
PESO VOLUMETRICO HUMEDO P_v c/m^3	1.689		TERRENO NATURAL :	SI	HUMEDAD DEL SUELO POR EL MONOLITO	9.00 %		
HUMEDAD DEL ESQUELETO DEL SUELO W %	9.000		ESTRUCTURA :	FRICCIONANTE	PESO VOLUMETRICO DEL ESQUELETO	1.55 gr/cm^3		
P. VOLUMETRICO DEL ESQUELETO DEL SUELO gr/cm^3	1.550		OBSERVACIONES :	ESTADO NATURAL	POROSIDAD	39.93 %		
COEFICIENTE DE POROSIDAD n	0.665		INDICE GEOLOGICO	N° DE LABORATORIO	COEFICIENTE DE POROSIDAD	0.66 %		
GRADO DE SATURACION G %	34.927		ESTADO DE ESTRUCTURA		GRADO DE SATURACION	34.93 %		
PESO ESPECIFICO	2.580		PESO ESPECIFICO	2.58 gr/cm^3				
PESO DEL SUELO CON ANILLO gr	128.50		LIMITE LIQUIDO	22.30 %				
PESO DEL ANILLO gr	43.500		LIMITE PLASTICO	16.82 %				
PESO DEL SUELO gr	85.000		INDICE PLASTICO	5.48 %				
ALTURA DEL ANILLO h cm	2.000		DATOS DE COMPRESION					
AREA DE CORTE TRANSVERSAL	25.160		P	H			E	COEFICIENTE POROSIDAD
AREA DEL ANILLO F cm^2	25.160		DE HUMEDAD NATURAL					
VOLUMEN DEL ANILLO cm^3	50.320		0.00					0.665
ALTURA REDUCIDA $h_o=(h/1+n)$	1.201		0.50	0.56			0.047	0.618
PESO DEL SUELO SECO gr	77.982		1.00	0.85			0.071	0.594
			2.00	1.20	0.100	0.565		
			3.00	1.36	0.113	0.552		
			SATURADO					
			0.00					
			0.50					
			1.00					
			2.00					
			3.00					
P	DEFORMACION	VARIACION COEFICIENTE	COEFICIENTE	REGISTRO	COEFICIENTE	COEFICIENTE		
gr/cm^2		POROSIDAD	POROSIDAD	CURVA	RELATIVA	COMPRESIB.		
0.00		0.665	0.665	0.665	0.093	2.80		
0.50	0.56	0.047	0.618	0.618	0.048	4.25		
1.00	0.85	0.071	0.594	0.594	0.029	6.00		
2.00	1.20	0.100	0.565	0.565	0.013	6.80		
3.00	1.36	0.113	0.552	0.552				



UNIVERSIDAD NACIONAL DE SAN MARTIN
FACULTAD DE INGENIERIA CIVIL
LABORATORIO DE MECANICA DE SUELOS Y PAVIMENTOS

Proyecto: Estudios Mapas de Peligro de Las ciudades de Juanjui, Bellavista y San Hilarión

Localización del Proyecto: Provincia de Bellavista

Muestra I

Descripción del Suelo: Suelo arcilloso limoso

Profundidad de la Muestra: 0.65

Hecho Por : Tec. Robert navarro mori

Calicata:

C-01

Fecha:

09/05/2004

Determinación del % de Humedad Natural

ASTM D2216

LATA	1	2	3
PESO DE LATA grs	45.20	45.60	80.65
PESO DEL SUELO HUMEDO + LATA grs	145.80	145.50	180.63
PESO DEL SUELO SECO + LATA grs	125.68	125.50	160.65
PESO DEL AGUA grs	20.12	20.00	19.98
PESO DEL SUELO SECO grs	80.48	79.90	80.00
% DE HUMEDAD	25.00	25.03	24.98
PROMEDIO % DE HUMEDAD	25.00		

Determinación del Gravedad Especifico de Solidos

ASTM D854

LATA	1	2
VOL. DEL FRASCO A 20° C.	500.00	500.00
METODO DE REMOCION DEL AIREa	Vacio	Vacio
PESO DEL FRASCO+AGUA+SUELO	788.30	788.85
TEMPERATURA, °C	23.00	23.00
PESO DEL FRASCO+AGUA grs	718.02	718.00
PLATO EVAPORADO N°	1	2
PESO DEL PLATO EVAP+SUELO SECO grs	320.00	319.95
PESO DEL SUELO SECO grs	119.10	119.95
VOLUMEN DE SOLIDOS cm ³	48.82	49.10
GRAVEDAD ESPECIFICA grs/cm ³	2.44	2.44
PROMEDIO grs/cm ³	2.44	

Peso Unitario Volumétrico (Densidad Natural)

ASTM D2937

LATA	1	2	3
PESO DE MOLDE grs	302.00	302.02	302.05
PESO DEL SUELO + MOLDE grs	670.00	665.00	665.00
PESO DEL SUELO SECO grs	368.00	362.98	362.95
VOLUMEN DEL MOLDE cm ³	246.30	246.30	246.30
PESO UNITARIO grs/cm ³	1.49	1.47	1.47
PROMEDIO grs/cm ³	1.480		

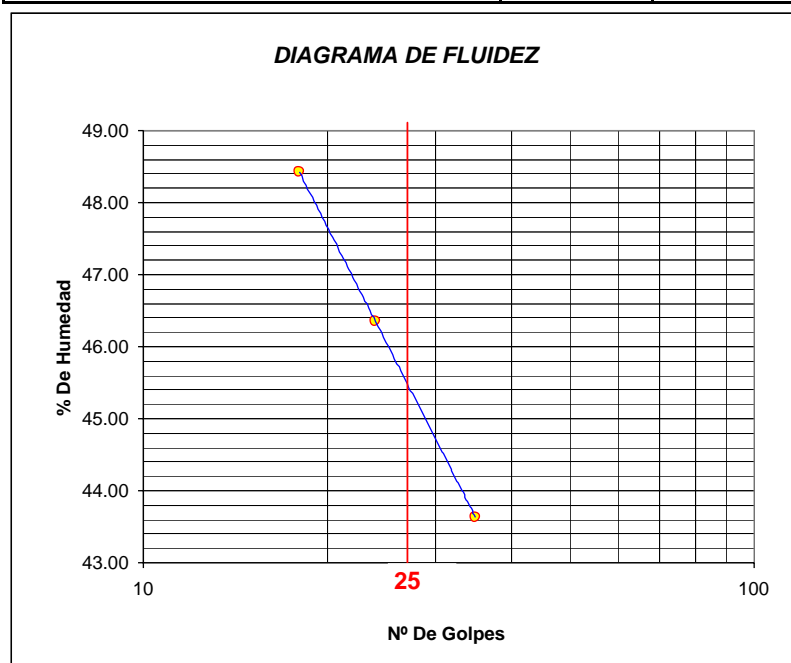


UNIVERSIDAD NACIONAL DE SAN MARTIN
FACULTAD DE INGENIERIA CIVIL
LABORATORIO DE MECANICA DE SUELOS Y PAVIMENTOS

Proyecto: Estudios Mapas de Peligro de Las ciudades de Juanjui, Bellavista y San Hilarión
 Localización del Proyecto: Provincia de Bellavista Muestra: I
 Descripción del Suelo: Suelo arcilloso limoso Profundidad de la Muestra: 0.65
 Hecho Por: Tec. Robert navarro mori Calicata: C-01 Fecha: 09/05/2004

Determinación del Límite Líquido ASTM D4318

LATA	1	2	3
PESO DE LATA grs	37.20	38.50	35.20
PESO DEL SUELO HUMEDO + LATA grs	82.32	85.23	82.31
PESO DEL SUELO SECO + LATA grs	67.60	70.43	68.00
PESO DEL AGUA grs	14.72	14.80	14.31
PESO DEL SUELO SECO grs	30.40	31.93	32.80
% DE HUMEDAD	48.42	46.35	43.63
NUMERO DE GOLPES	18	24	35



Límite de Contracción	ND
Límite Líquido	45.60
Límite Plástico	27.43
Indice de Plasticidad Ip	18.17
Clasificación SUCS	OL
Clasificación AASHTO	A-7(20)

Determinación del Límite Plástico ASTM D4318

LATA	1	2	3
PESO DE LATA grs	43.15	37.85	33.34
PESO DEL SUELO HUMEDO + LATA grs	56.65	50.06	46.24
PESO DEL SUELO SECO + LATA grs	53.75	47.43	43.46
PESO DEL AGUA grs	2.90	2.63	2.78
PESO DEL SUELO SECO grs	10.60	9.58	10.12
% DE HUMEDAD	27.36	27.45	27.47
% PROMEDIO	27.43		



UNIVERSIDAD NACIONAL DE SAN MARTIN
FACULTAD DE INGENIERIA CIVIL
LABORATORIO DE MECANICA DE SUELOS Y PAVIMENTOS

Proyecto: Estudios Mapas de Peligro de Las ciudades de Juanjui, Bellavista y San Hilarion

Localización del Proyecto: Provincia de Bellavista

Muestra I

Descripción del Suelo: Suelo arcilloso limoso

Profundidad de la Muestra:

0.65

Calicata: C-01

09/05/2004

Hecho Por : Tec. Robert navarro mori

Fecha: 09/05/2004

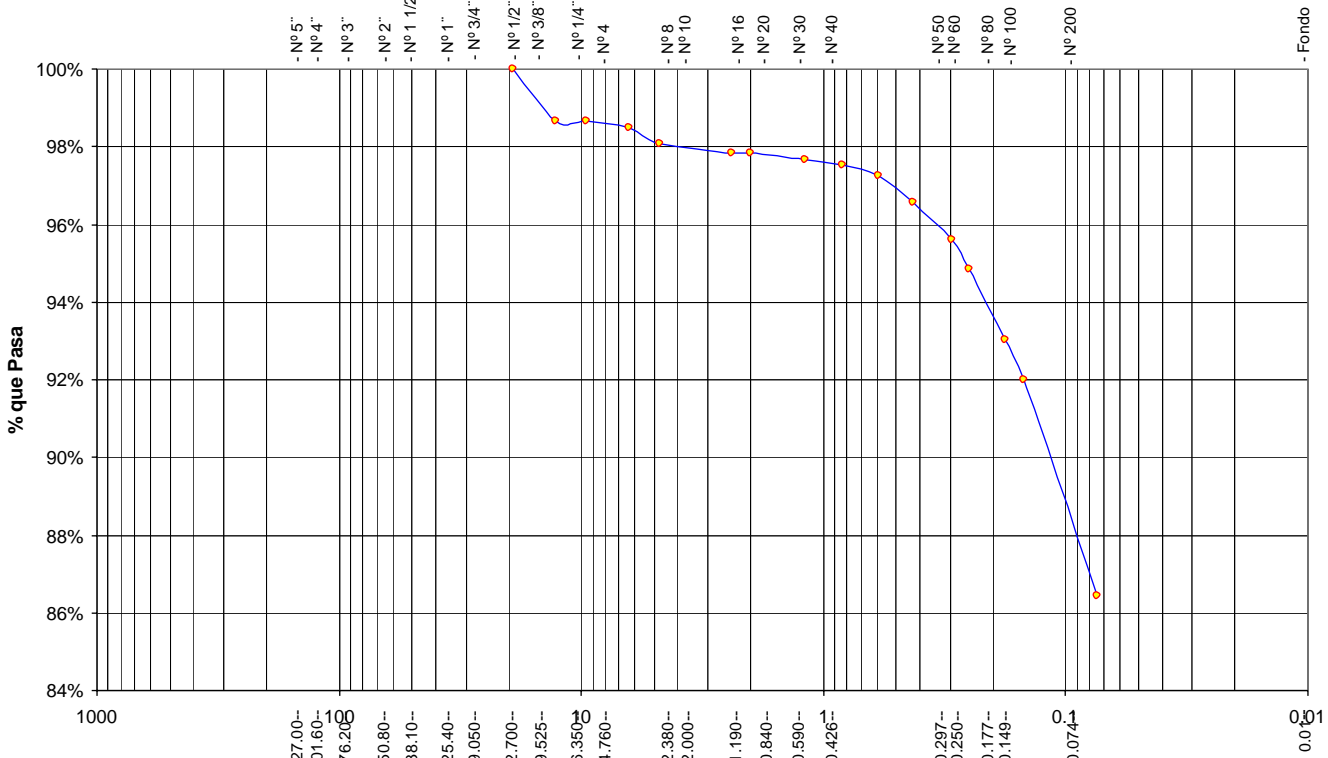
Análisis Granulométrico por Tamizado

ASTM D422

Tamices		Peso Retenido	% Retenido Parcial	% Retenido Acumulado	% Que Pasa	Especificaciones	Tamaño Máximo:		
Ø	(mm)								
5"	127.00						-		
4"	101.60						-		
3"	76.20						-		
2"	50.80						-		
1 1/2"	38.10						-		
1"	25.40						-		
3/4"	19.050				100.00%		-		
1/2"	12.700	4.47	1.35%	1.35%	98.65%		-		
3/8"	9.525	0.01	0.00%	1.35%	98.65%		-		
1/4"	6.350	0.55	0.17%	1.52%	98.48%		-		
Nº 4	4.760	1.34	0.41%	1.93%	98.07%		-		
Nº 8	2.380	0.75	0.23%	2.15%	97.85%		-		
Nº 10	2.000	0.07	0.02%	2.17%	97.83%		-		
Nº 16	1.190	0.53	0.16%	2.33%	97.67%		-		
Nº 20	0.840	0.50	0.15%	2.49%	97.51%		-		
Nº 30	0.590	0.90	0.27%	2.76%	97.24%		-		
Nº 40	0.426	2.25	0.68%	3.44%	96.56%		-		
Nº 50	0.297	3.11	0.94%	4.38%	95.62%		-		
Nº 60	0.250	2.53	0.77%	5.14%	94.86%		-		
Nº 80	0.177	6.00	1.81%	6.96%	93.04%		-		
Nº 100	0.149	3.47	1.05%	8.01%	91.99%		-		
Nº 200	0.074	18.41	5.57%	13.58%	86.42%		-		
Fondo	0.01	285.78	86.42%	100.00%	0.00%		-		
TOTAL		330.67					A	B	

Modulo de Fineza AF:	-		
Modulo de Fineza AG:	-		
Equivalente de Arena:	-		
Descripción Muestras:			
Suelo arcilloso Limoso color marrón oscuro trazas de arcilla roja clasificación 8/1			
SUCS =	OL	AASHTO =	A - 7 (20)
LL =	45.60	WT =	58.83
LP =	27.43	WT+SAL =	389.50
IP =	18.17	WSAL =	330.67
IG =		WT+SDL =	103.72
		WSDL =	44.89
D 90=	-	%ARC. =	86.42
D 60=	-	%ERR. =	0.00
D 30=	-	Cc =	-
D 10=	*	Cu =	-
Observaciones :			
El suelo es una arcilla limosa orgánica compacta con 86.42% de finos, de plasticidad elevada color marrón y trazas de arcilla roja con una resistencia al corte deficiente, de compresibilidad y expansión de mediana a elevada.			
% de Humedad Natural de la muestra ensayada			
Número de tarro =	1	Peso del agua =	32.3
Peso del tarro =	58.64	Peso suelo húmedo=	363.16
Peso del tarro + Mh =	421.8	Peso suelo seco =	330.86
Peso del tarro + Ms =	389.5	% Humedad Muestra=	9.76

Curva Granulometrica



Diametro en m.m							
Piedras mayores 3"							
Clasificación - ASTM	GRAVA		ARENA			LIMO	ARCILLA
Clasificación - AASHTO	GRAVA GRUESA	GRAVA MEDIA	GRAVA FINA	ARENA GRUESA	ARENA FINA	LIMO	ARCILLA



UNIVERSIDAD NACIONAL DE SAN MARTIN
FACULTAD DE INGENIERIA CIVIL
LABORATORIO DE MECANICA DE SUELOS Y PAVIMENTOS

Proyecto: Estudios Mapas de Peligro de Las ciudades de Juanjui, Bellavista y San Hilarión

Localización del Proyecto: Provincia de Bellavista

Muestra II

Descripción del Suelo: Suelo arenoso arcilloso

Profundidad de la Muestra: 2.35

Hecho Por : Tec. Robert navarro mori

Calicata:

C-01

Fecha:

13/05/2004

Determinación del % de Humedad Natural

ASTM D2216

LATA	1	2	3
PESO DE LATA grs	58.79	55.23	50.68
PESO DEL SUELO HUMEDO + LATA grs	140.08	143.25	150.23
PESO DEL SUELO SECO + LATA grs	130.62	133.00	138.60
PESO DEL AGUA grs	9.46	10.25	11.63
PESO DEL SUELO SECO grs	71.83	77.77	87.92
% DE HUMEDAD	13.17	13.18	13.23
PROMEDIO % DE HUMEDAD	13.19		

Determinación del Gravedad Especifico de Solidos

ASTM D854

LATA	1	2
VOL. DEL FRASCO A 20° C.	500.00	500.00
METODO DE REMOCION DEL AIREa	Vacio	Vacio
PESO DEL FRASCO+AGUA+SUELO	792.03	791.90
TEMPERATURA, °C	23.00	23.00
PESO DEL FRASCO+AGUA grs	718.02	718.00
PLATO EVAPORADO N°	3	4
PESO DEL PLATO EVAP+SUELO SECO grs	320.00	320.00
PESO DEL SUELO SECO grs	120.00	120.00
VOLUMEN DE SOLIDOS cm ³	45.99	46.10
GRAVEDAD ESPECIFICA grs/cm ³	2.61	2.60
PROMEDIO grs/cm ³	2.61	

Peso Unitario Volumétrico (Densidad Natural)

ASTM D2937

LATA	1	2	3
PESO DE MOLDE grs	306.00	307.00	305.00
PESO DEL SUELO + MOLDE grs	699.00	698.00	697.00
PESO DEL SUELO SECO grs	393.00	391.00	392.00
VOLUMEN DEL MOLDE cm ³	246.30	246.30	246.30
PESO UNITARIO grs/cm ³	1.60	1.59	1.59
PROMEDIO grs/cm ³	1.592		

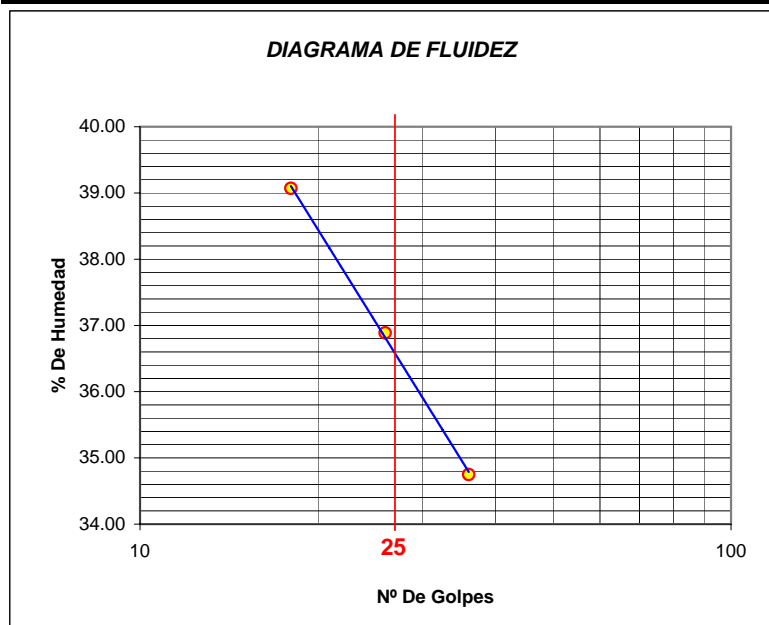


UNIVERSIDAD NACIONAL DE SAN MARTIN
FACULTAD DE INGENIERIA CIVIL
LABORATORIO DE MECANICA DE SUELOS Y PAVIMENTOS

Proyecto: Estudios Mapas de Peligro de Las ciudades de Juanjui, Bellavista y San Hilarión
 Localización del Proyecto: Provincia de Bellavista Muestra II
 Descripción del Suelo: Suelo arenoso arcilloso Profundidad de la Muestra: 2.35
 Hecho Por: Tec. Robert navarro mori Calicata: C-01 Fecha: 13/05/2004

Determinación del Límite Líquido ASTM D4318

LATA	1	2	3
PESO DE LATA grs	25.63	26.65	25.46
PESO DEL SUELO HUMEDO + LATA grs	42.36	49.25	35.62
PESO DEL SUELO SECO + LATA grs	37.66	43.16	33.00
PESO DEL AGUA grs	4.70	6.09	2.62
PESO DEL SUELO SECO grs	12.03	16.51	7.54
% DE HUMEDAD	39.07	36.89	34.75
NUMERO DE GOLPES	18	26	36



Límite de Contracción	5.85
Límite Líquido	36.78
Límite Plástico	23.10
Índice de Plasticidad Ip	13.68
Clasificación SUCS	SC
Clasificación AASHTO	A-6(4)

Determinación del Límite Plástico ASTM D4318

LATA	1	2	3
PESO DE LATA grs	40.56	42.30	41.20
PESO DEL SUELO HUMEDO + LATA grs	60.54	62.53	71.23
PESO DEL SUELO SECO + LATA grs	56.80	58.72	65.60
PESO DEL AGUA grs	3.74	3.81	5.63
PESO DEL SUELO SECO grs	16.24	16.42	24.40
% DE HUMEDAD	23.03	23.20	23.07
% PROMEDIO	23.10		

LIMITE DE CONTRACCION ASTM D427	
Ensayo Nº	1
Peso Rec + Suelo húmedo Gr.	36.52
Peso Rec + Suelo seco Gr.	30.93
Peso de rec. De contracción Gr.	10.42
Peso del suelo seco Gr.	20.51
Peso del agua Gr.	5.59
Humedad %	27.25
Volumen Inicial (Suelo Húmedo) cm3	15.68
Volumen Final (Suelo Seco) cm3	11.29
Límite de Contracción %	5.85
Relación de Contracción	1.82



UNIVERSIDAD NACIONAL DE SAN MARTIN

FACULTAD DE INGENIERIA CIVIL
LABORATORIO DE MECANICA DE SUELOS Y PAVIMENTOS

Proyecto: Estudios Mapas de Peligro de Las ciudades de Juanjui, Bellavista y San Hilarion

Localización del Proyecto: Provincia de Bellavista

Muestra 2.35

II

Descripción del Suelo: Suelo arenoso arcilloso Profundidad de la Muestra:

Calicata:

C-01

Hecho Por: Tec. Robert navarro mori

Fecha:

13/05/2004

Analisis Granulométrico por Tamizado

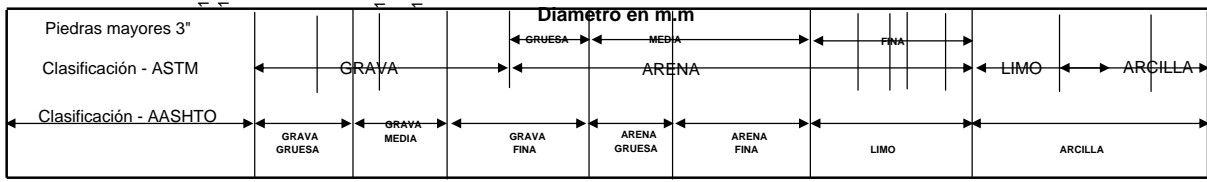
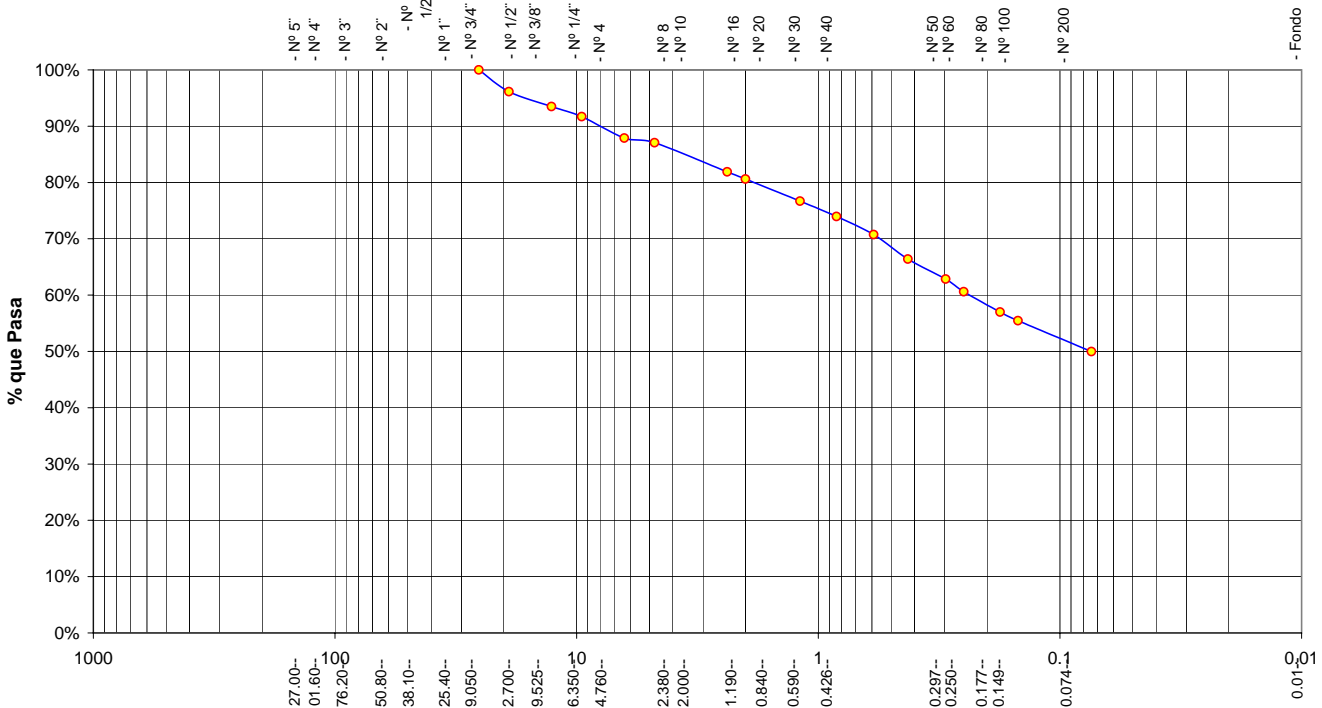
ASTM D422

Tamices	Peso Retenido	% Retenido Parcial	% Retenido Acumulado	% Que Pasa	Especificaciones	Tamaño Máximo:
Ø (mm)						-
5"	127.00					-
4"	101.60					-
3"	76.20					-
2"	50.80					-
1 1/2"	38.10					-
1"	25.40			100.00%		-
3/4"	19.050	14.47	3.86%	3.86%	96.14%	
1/2"	12.700	9.91	2.64%	6.50%	93.50%	
3/8"	9.525	6.76	1.80%	8.30%	91.70%	
1/4"	6.350	14.30	3.81%	12.12%	87.88%	
Nº 4	4.760	3.11	0.83%	12.94%	87.06%	
Nº 8	2.380	19.31	5.15%	18.09%	81.91%	
Nº 10	2.000	4.83	1.29%	19.38%	80.62%	
Nº 16	1.190	14.77	3.94%	23.32%	76.68%	
Nº 20	0.840	10.24	2.73%	26.05%	73.95%	
Nº 30	0.590	12.04	3.21%	29.26%	70.74%	
Nº 40	0.426	16.29	4.34%	33.60%	66.40%	
Nº 50	0.297	13.27	3.54%	37.14%	62.86%	
Nº 60	0.250	8.47	2.26%	39.40%	60.60%	
Nº 80	0.177	13.51	3.60%	43.00%	57.00%	
Nº 100	0.149	5.77	1.54%	44.54%	55.46%	
Nº 200	0.074	20.61	5.50%	50.03%	49.97%	
Fondo	0.01	187.40	49.97%	100.00%	0.00%	
TOTAL		375.06				

SUCS =	SC	AASHTO =	A-6(4)
LL =	36.78	WT =	58.64
LP =	23.10	WT+SAL =	433.70
IP =	13.68	WSAL =	375.06
IG =		WT+SDL =	246.30
		WSDL =	187.66
D 90=	-	%ARC. =	49.97
D 60=	-	%ERR. =	0.00
D 30=	-	Cc =	-
D 10=	-	Cu =	-

Observaciones :			
El suelo es una arcilla arenosa firme con 49.97 % de finos , de plasticidad mediana color amarillo claro con una resistencia al corte de regular a bueno, de compresibilidad. y expansión baja, con mezcla de rocas de diámetros de 2" hasta de 6" (Rocas areniscas cuarzosas)			
% de Humedad Natural de la muestra ensayada			
Número de tarro =	2	Peso del agua =	34.9
Peso del tarro =	58.64	Peso suelo húmedo=	409.96
Peso del tarro + Mh =	468.6	Peso suelo seco =	375.06
Peso del tarro + Ms =	433.7	% Humedad Muestra=	9.31

Curva Granulométrica





UNIVERSIDAD NACIONAL DE SAN MARTIN
FACULTAD DE INGENIERIA CIVIL
LABORATORIO DE MECANICA DE SUELOS Y PAVIMENTOS

Proyecto: Estudio de Mapas de Peligro de las Ciudades de Juanjui, Bellavista y San Hilarión.

Localización del proyecto : Provincia de Bellavista

Descripción del suelo : arcilloso arenoso color amarillo claro con clasificación 7/3

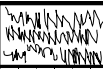
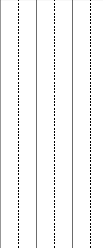
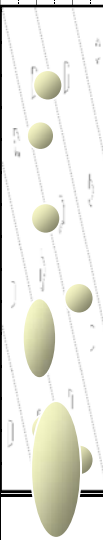
Prof. De la muestra : 3.00 m.

Realizado por : Téc. R.N.M.

Calicata: 1 MI - MII

Fecha de Ensayo: 09/05/04

REGISTRO DE EXCAVACIÓN

COTA m	ESPESOR m	HUMEDAD %	CLASIFICACION			DESCRIPCION DEL SUELO
			AASHTO	SUCS	SIMBOLO	
0.00						
0.15	0.15	33.62%		Pt		Material organico color negro con mezcla de arcilla, presentando raices que se profundizan hasta 025 m.
0.65	0.5	25%	A-7(20)	OL		El suelo es una arcilla limosa orgánica compacta con 86.42% de finos, de plasticidad elevada, con mezcla de materia organica color marrón y trazas de arcilla roja con una resistencia al corte deficiente, de compresibilidad y expansión de mediana a elevada.
3.00	2.35	13.19%	A-6(4)	SC		El suelo es una arcilla arenosa con 49.97 % de finos , de plasticidad mediana color amarillo claro con una resistencia al corte de regular a bueno, de compresibilidad y expansión baja, con mezcla de rocas de diametros de 2" hasta de 6" (Rocas areniscas cuarzosas)

OBSERVACIONES : Las muestras han sido extraídas 2 días despues de haber sido excavadas



UNIVERSIDAD NACIONAL DE SAN MARTIN
FACULTAD DE INGENIERIA CIVIL
LABORATORIO DE MECANICA DE SUELOS Y PAVIMENTOS

Proyecto: Estudios Mapas de Peligro de Las ciudades de Juanjui, Bellavista y San Hilarión

Localización del Proyecto: Provincia de Bellavista

Muestra I

Descripción del Suelo: Suelo arcilloso

Profundidad de la Muestra: 1.70

Hecho Por : Tec. Robert navarro mori

Calicata:

C-02

Fecha:

10/05/2004

Determinación del % de Humedad Natural

ASTM D2216

LATA	1	2	3
PESO DE LATA grs	58.40	55.62	58.62
PESO DEL SUELO HUMEDO + LATA grs	116.15	156.23	169.23
PESO DEL SUELO SECO + LATA grs	107.07	140.50	151.86
PESO DEL AGUA grs	9.08	15.73	17.37
PESO DEL SUELO SECO grs	48.67	84.88	93.24
% DE HUMEDAD	18.66	18.53	18.63
PROMEDIO % DE HUMEDAD	18.61		

Determinación del Gravedad Especifico de Solidos

ASTM D854

LATA	1	2
VOL. DEL FRASCO A 20° C.	500.00	500.00
METODO DE REMOCION DEL AIREa	Vacio	Vacio
PESO DEL FRASCO+AGUA+SUELO	768.15	770.21
TEMPERATURA, °C	23.00	23.00
PESO DEL FRASCO+AGUA grs	702.95	704.68
PLATO EVAPORADO N°	5	6
PESO DEL PLATO EVAP+SUELO SECO grs	320.00	319.95
PESO DEL SUELO SECO grs	110.00	110.00
VOLUMEN DE SOLIDOS cm3	44.80	44.47
GRAVEDAD ESPECIFICA grs/cm3	2.46	2.47
PROMEDIO grs/cm3	2.46	

Peso Unitario Volumétrico (Densidad Natural)

ASTM D2937

LATA	1	2	3
PESO DE MOLDE grs	306.00	306.00	306.00
PESO DEL SUELO + MOLDE grs	664.00	666.00	660.00
PESO DEL SUELO SECO grs	358.00	360.00	354.00
VOLUMEN DEL MOLDE cm3	246.30	246.30	246.30
PESO UNITARIO grs/cm3	1.45	1.46	1.44
PROMEDIO grs/cm3	1.451		



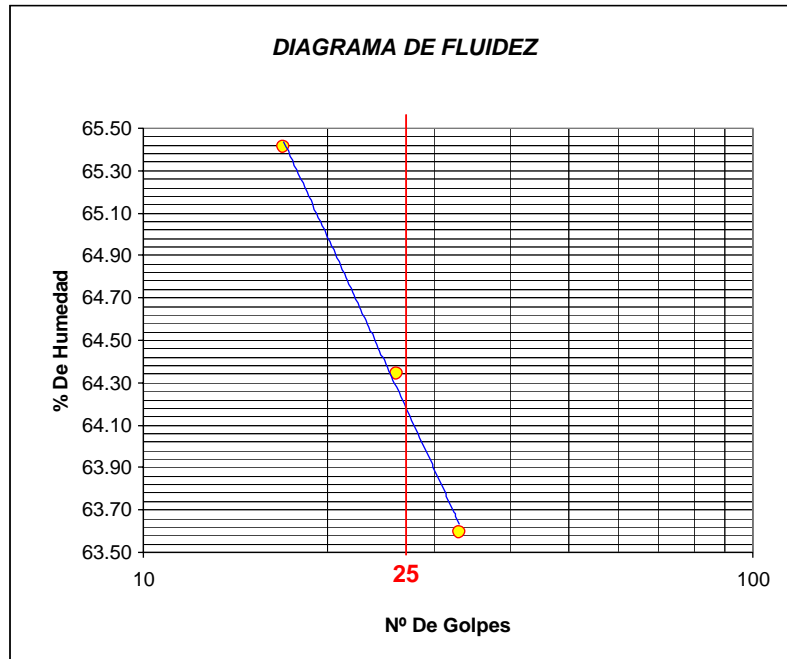
UNIVERSIDAD NACIONAL DE SAN MARTIN
FACULTAD DE INGENIERIA CIVIL
LABORATORIO DE MECANICA DE SUELOS Y PAVIMENTOS

Proyecto: Estudios Mapas de Peligro de Las ciudades de Juanjui, Bellavista y San Hilarión

Localización del Proyecto: Provincia de Bellavista Muestra I
 Descripción del Suelo: Suelo arcilloso Profundidad de la Muestra: 1.70
 Hecho Por : Tec. Robert navarro mori Calicata: C-02 Fecha: 10/05/2004

Determinación del Límite Líquido **ASTM D4318**

LATA	1	2	3
PESO DE LATA grs	22.35	21.76	22.00
PESO DEL SUELO HUMEDO + LATA grs	42.58	47.48	45.23
PESO DEL SUELO SECO + LATA grs	34.58	37.41	36.20
PESO DEL AGUA grs	8.00	10.07	9.03
PESO DEL SUELO SECO grs	12.23	15.65	14.20
% DE HUMEDAD	65.41	64.35	63.59
NUMERO DE GOLPES	17	26	33



Límite de Contracción	ND
Límite Líquido	64.37
Límite Plástico	29.73
Índice de Plasticidad Ip	34.64
Clasificación SUCS	CH
Clasificación AASHTO	A-7(20)

Determinación del Límite Plástico **ASTM D4318**

LATA	1	2	3
PESO DE LATA grs	23.86	25.36	22.56
PESO DEL SUELO HUMEDO + LATA grs	45.60	50.06	46.24
PESO DEL SUELO SECO + LATA grs	40.62	44.40	40.81
PESO DEL AGUA grs	4.98	5.66	5.43
PESO DEL SUELO SECO grs	16.76	19.04	18.25
% DE HUMEDAD	29.71	29.73	29.75
% PROMEDIO	29.73		



UNIVERSIDAD NACIONAL DE SAN MARTIN
FACULTAD DE INGENIERIA CIVIL
LABORATORIO DE MECANICA DE SUELOS Y PAVIMENTOS

Proyecto: Estudios Mapas de Peligro de Las ciudades de Juanjui, Bellavista y San Hilarion

Localización del Proyecto: Provincia de Bellavista

Muestra I

Descripción del Suelo: Suelo arcilloso

Profundidad de la Muestra:

1.70

Calicata: C-02

10/05/2004

Hecho Por : Tec. Robert navarro mori

Fecha:

10/05/2004

Análisis Granulométrico por Tamizado

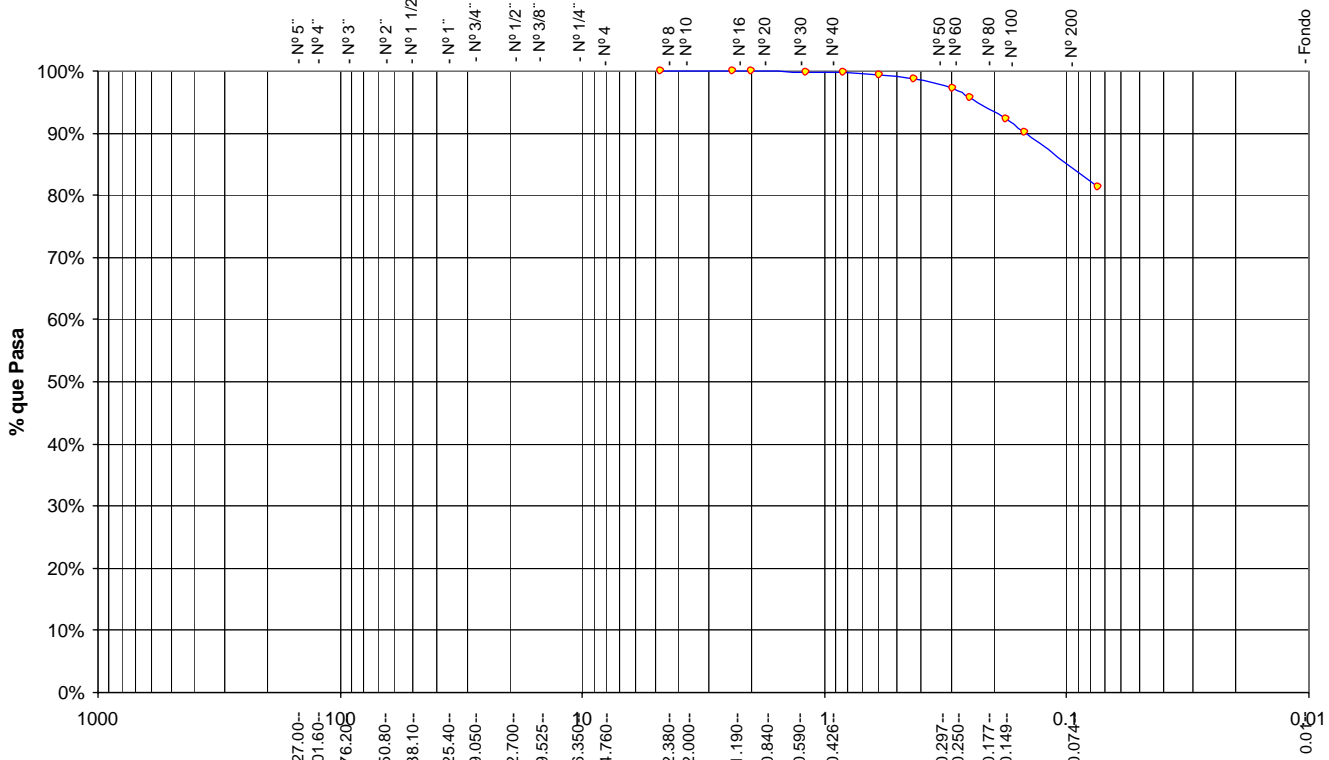
ASTM D422

Tamices		Peso Retenido	% Retenido Parcial	% Retenido Acumulado	% Que Pasa	Especificaciones	Tamaño Máximo:		
Ø	(mm)								
5"	127.00						-		
4"	101.60						-		
3"	76.20						-		
2"	50.80						-		
1 1/2"	38.10						-		
1"	25.40						-		
3/4"	19.050						-		
1/2"	12.700						-		
3/8"	9.525						-		
1/4"	6.350						-		
Nº 4	4.760				100.00%		-		
Nº 8	2.380	0.12	0.04%	0.04%	99.96%		-		
Nº 10	2.000	0.08	0.02%	0.06%	99.94%		-		
Nº 16	1.190	0.37	0.11%	0.17%	99.83%		-		
Nº 20	0.840	0.40	0.12%	0.29%	99.71%		-		
Nº 30	0.590	0.88	0.27%	0.56%	99.44%		-		
Nº 40	0.426	2.58	0.78%	1.34%	98.66%		-		
Nº 50	0.297	4.82	1.46%	2.80%	97.20%		-		
Nº 60	0.250	4.91	1.49%	4.29%	95.71%		-		
Nº 80	0.177	11.50	3.48%	7.77%	92.23%		-		
Nº 100	0.149	6.84	2.07%	9.84%	90.16%		-		
Nº 200	0.074	29.46	8.92%	18.76%	81.24%		-		
Fondo	0.01	268.27	81.24%	100.00%	0.00%		-		
TOTAL		330.23					-		

Modulo de Fineza AF:	-		
Equivalente de Arena:	-		
Descripción Muestras:			
Suelo arcilloso color amarillo oscuro clasificación 8/3			
SUCS =	CH	AASHTO =	A - 7 (20)
LL =	64.37	WT =	58.27
LP =	29.73	WT+SAL =	388.50
IP =	34.64	WSAL =	330.23
IG =	-	WT+SDL =	120.23
		WSDL =	61.96
D 90=	-	%ARC. =	81.24
D 60=	-	%ERR. =	0.00
D 30=	-	Cc =	-
D 10=	*	Cu =	-

Observaciones :			
El suelo es una arcilla inorganica compacta con 81.24 % de finos , de plasticidad elevada color amarillo oscuro con una resistencia al corte deficiente, de compresibilidad y expansión elevada, difícil de excavar manualmente			
% de Humedad Natural de la muestra ensayada			
Número de tarro =	3	Peso del agua =	27.3
Peso del tarro =	58.27	Peso suelo húmedo=	357.53
Peso del tarro + Mh =	415.8	Peso suelo seco =	330.23
Peso del tarro + Ms =	388.5	% Humedad Muestra=	8.27

Curva Granulometrica



		Diametro en m.m						
Piedras mayores 3"								
Clasificación - ASTM		GRAVA		ARENA			LIMO	ARCILLA
Clasificación - AASHTO		GRAVA GRUESA	GRAVA MEDIA	GRAVA FINA	ARENA GRUESA	ARENA FINA	LIMO	ARCILLA



UNIVERSIDAD NACIONAL DE SAN MARTIN
FACULTAD DE INGENIERIA CIVIL
LABORATORIO DE MECANICA DE SUELOS Y PAVIMENTOS

Proyecto: Estudios Mapas de Peligro de Las ciudades de Juanjui, Bellavista y San Hilarión

Localización del Proyecto: Provincia de Bellavista

Muestra II

Descripción del Suelo: Suelo arcilloso

Profundidad de la Muestra: 1.10

Hecho Por: Tec. Robert navarro mori

Calicata:

C-02

Fecha:

10/05/2004

Determinación del % de Humedad Natural

ASTM D2216

LATA	1	2	3
PESO DE LATA grs	58.97	58.23	58.46
PESO DEL SUELO HUMEDO + LATA grs	114.37	175.63	123.65
PESO DEL SUELO SECO + LATA grs	108.43	163.01	116.65
PESO DEL AGUA grs	5.94	12.62	7.00
PESO DEL SUELO SECO grs	49.46	104.78	58.19
% DE HUMEDAD	12.01	12.04	12.03
PROMEDIO % DE HUMEDAD	12.03		

Determinación del Gravedad Especifico de Solidos

ASTM D854

LATA	1	2
VOL. DEL FRASCO A 20° C.	500.00	500.00
METODO DE REMOCION DEL AIREa	Vacio	Vacio
PESO DEL FRASCO+AGUA+SUELO	785.20	787.00
TEMPERATURA, °C	23.00	23.00
PESO DEL FRASCO+AGUA grs	712.21	714.00
PLATO EVAPORADO N°	7	8
PESO DEL PLATO EVAP+SUELO SECO grs	320.00	320.00
PESO DEL SUELO SECO grs	120.00	120.00
VOLUMEN DE SOLIDOS cm3	47.01	47.00
GRAVEDAD ESPECIFICA grs/cm3	2.55	2.55
PROMEDIO grs/cm3	2.55	

Peso Unitario Volumétrico (Densidad Natural)

ASTM D2937

LATA	1	2	3
PESO DE MOLDE grs	306.00	306.00	306.00
PESO DEL SUELO + MOLDE grs	685.00	682.00	683.00
PESO DEL SUELO SECO grs	379.00	376.00	377.00
VOLUMEN DEL MOLDE cm3	246.30	246.30	246.30
PESO UNITARIO grs/cm3	1.54	1.53	1.53
PROMEDIO grs/cm3	1.532		

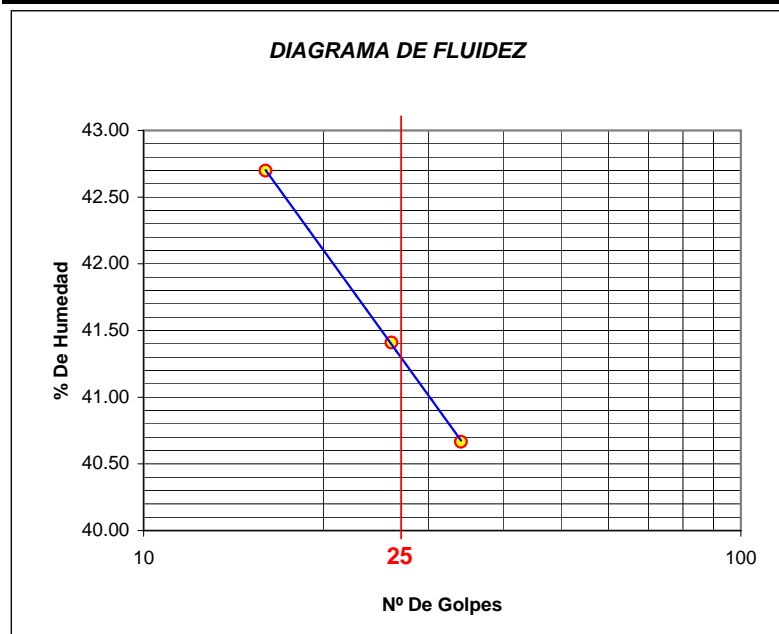


UNIVERSIDAD NACIONAL DE SAN MARTIN
FACULTAD DE INGENIERIA CIVIL
LABORATORIO DE MECANICA DE SUELOS Y PAVIMENTOS

Proyecto: Estudios Mapas de Peligro de Las ciudades de Juanjui, Bellavista y San Hilarión
 Localización del Proyecto: Provincia de Bellavista Muestra II
 Descripción del Suelo: Suelo arcilloso Profundidad de la Muestra: 1.10
 Hecho Por: Tec. Robert navarro mori Calicata: C-02 Fecha: 10/05/2004

Determinación del Límite Líquido ASTM D4318

LATA	1	2	3
PESO DE LATA grs	25.36	25.75	25.98
PESO DEL SUELO HUMEDO + LATA grs	65.23	55.63	62.30
PESO DEL SUELO SECO + LATA grs	53.30	46.88	51.80
PESO DEL AGUA grs	11.93	8.75	10.50
PESO DEL SUELO SECO grs	27.94	21.13	25.82
% DE HUMEDAD	42.70	41.41	40.67
NUMERO DE GOLPES	16	26	34



Límite de Contracción	6.37
Límite Líquido	41.32
Límite Plástico	18.06
Índice de Plasticidad Ip	23.26
Clasificación SUCS	CL
Clasificación AASHTO	A-7(15)

Determinación del Límite Plástico ASTM D4318

LATA	1	2	3
PESO DE LATA grs	25.83	23.56	25.00
PESO DEL SUELO HUMEDO + LATA grs	55.62	50.06	48.00
PESO DEL SUELO SECO + LATA grs	51.06	46.01	44.48
PESO DEL AGUA grs	4.56	4.05	3.52
PESO DEL SUELO SECO grs	25.23	22.45	19.48
% DE HUMEDAD	18.07	18.04	18.07
% PROMEDIO	18.06		

LIMITE DE CONTRACCION ASTM D427	
Ensayo N°	1
Peso Rec + Suelo húmedo Gr.	37.81
Peso Rec + Suelo seco Gr.	31.84
Peso de rec. De contracción Gr.	10.42
Peso del suelo seco Gr.	21.42
Peso del agua Gr.	5.97
Humedad %	27.87
Volumen Inicial (Suelo Húmedo) cm3	14.21
Volumen Final (Suelo Seco) cm3	9.60
Límite de Contracción %	6.37



UNIVERSIDAD NACIONAL DE SAN MARTIN

FACULTAD DE INGENIERIA CIVIL
LABORATORIO DE MECANICA DE SUELOS Y PAVIMENTOS

Proyecto: Estudios Mapas de Peligro de Las ciudades de Juanjui, Bellavista y San Hilarión

Localización del Proyecto: Provincia de Bellavista

Muestra 1.10

II

Descripción del Suelo: Suelo arcilloso Profundidad de la Muestra: _____

Calicata: C-02

Hecho Por : Tec. Robert navarro mori

Fecha: 10/05/2004

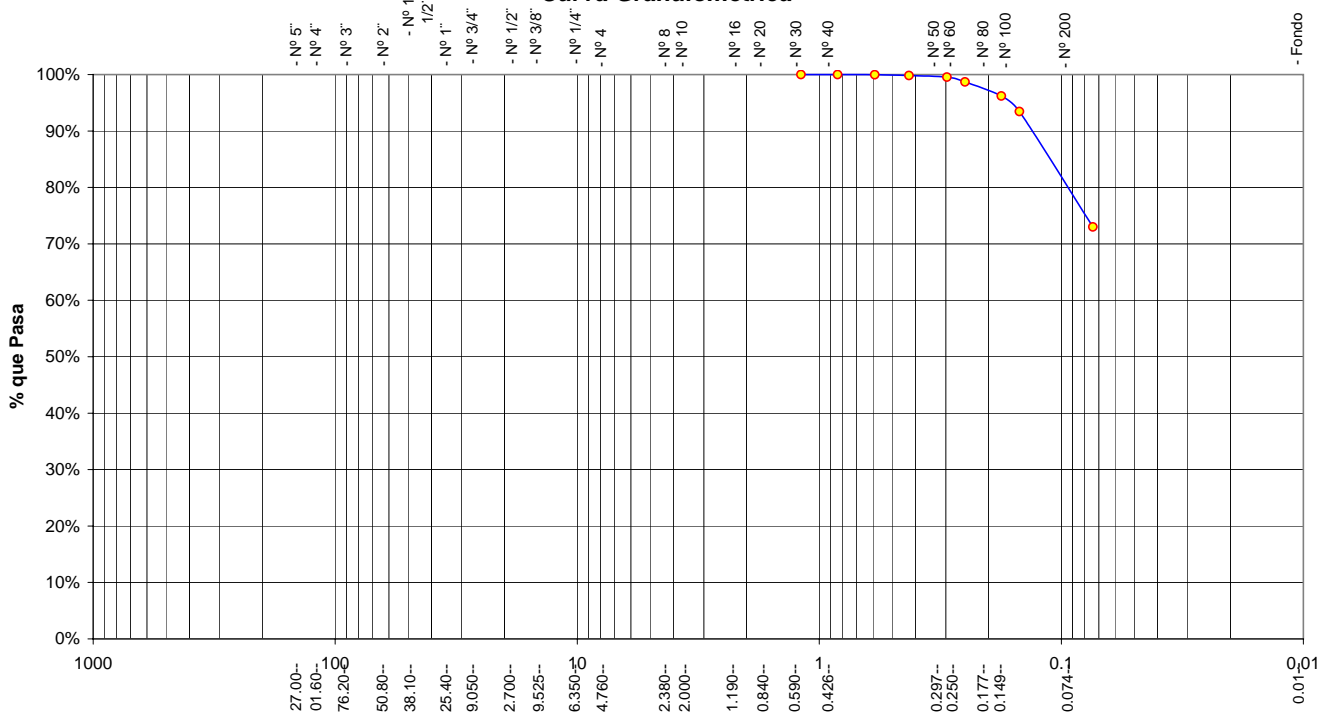
Análisis Granulométrico por Tamizado

ASTM D422

Tamices		Peso Retenido	% Retenido Parcial	% Retenido Acumulado	% Que Pasa	Especificaciones	Tamaño Máximo:
Ø	(mm)						-
5"	127.00						Modulo de Fineza AF: -
4"	101.60						Modulo de Fineza AG: -
3"	76.20						Equivalente de Arena: -
2"	50.80						Descripción Muestras:
1 1/2"	38.10						Suelo arcilloso color marrón con trazas de arcilla roja clasificación 8/5
1"	25.40						
3/4"	19.050						
1/2"	12.700						
3/8"	9.525						
1/4"	6.350						
Nº 4	4.760						
Nº 8	2.380						
Nº 10	2.000						
Nº 16	1.190				100.00%		
Nº 20	0.840	0.04	0.01%	0.01%	99.99%		
Nº 30	0.590	0.08	0.03%	0.04%	99.96%		
Nº 40	0.426	0.37	0.12%	0.16%	99.84%		
Nº 50	0.297	0.86	0.28%	0.45%	99.55%		
Nº 60	0.250	2.63	0.87%	1.32%	98.68%		
Nº 80	0.177	7.52	2.49%	3.81%	96.19%		
Nº 100	0.149	8.29	2.74%	6.55%	93.45%		
Nº 200	0.074	61.76	20.44%	26.99%	73.01%		
Fondo	0.01	220.65	73.01%	100.00%	0.00%		
TOTAL		302.20				A B	

Observaciones :			
<i>El suelo es una arcilla inorganica compacta con 73.01 % de finos , de plasticidad elevada color marrón con trazas de arcilla roja con una resistencia al corte de regular, de compresibilidad y expansión de mediana a elevada.</i>			
% de Humedad Natural de la muestra ensayada			
Número de tarro =	58	Peso del agua =	14.7
Peso del tarro =	58.9	Peso suelo húmedo =	316.9
Peso del tarro + Mh =	375.8	Peso suelo seco =	302.2
Peso del tarro + Ms =	361.1	% Humedad Muestra =	4.86

Curva Granulométrica





UNIVERSIDAD NACIONAL DE SAN MARTIN
FACULTAD DE INGENIERIA CIVIL
LABORATORIO DE MECANICA DE SUELOS Y PAVIMENTOS

Proyecto: Estudio de Mapas de Peligro de las Ciudades de Juanjui, Bellavista y San Hilarión.

Localización del proyecto : Provincia de Bellavista

Descripción del suelo : arcilloso color Marrón con trazas de arcilla roja con clasificación 8/5

Prof. De la muestra : 3.25 m.

Realizado por : Téc. R.N.M.

Calicata: 2 MI - MII

Fecha de Ensayo: 09/05/04

REGISTRO DE EXCAVACIÓN

COTA m	ESPESOR m	HUMEDAD %	CLASIFICACION			DESCRIPCION DEL SUELO
			AASHTO	SUCS	SIMBOLO	
0.00						
0.15	0.15	30.23%		Pt		Material organico color negro con mezcla de arcilla y arena, presentando raices que se profundizan hasta 0.15 m
0.45	0.30	6.21%		SM		Suelo arenoso limoso transportado con mezcla de material orgánico color negro y raices
2.15	1.70	18.61%	A-7(20)	CH		Suelo arcilloso inorganica compacta plasticidad elevada, con 81.24% de finos de color amarillo oscuro Con una resistencia al corte deficiente, compresibilidad y expansión de medianos a elevados en condición saturada. no presenta nivel de napa freática, pero si un alto contenido de humedad.
3.25	1.10	12.03%	A-7(15)	CL		El suelo es una arcilla inorganica compacta de plasticidad elevada, con 73.01% de finos de color marrón con trazas de arcilla roja Con una resistencia al corte de regular, compresibilidad y expansión de medianos a elevados en condición saturada. no presenta nivel de napa freática.

OBSERVACIONES : _____



UNIVERSIDAD NACIONAL DE SAN MARTIN
FACULTAD DE INGENIERIA CIVIL
LABORATORIO DE MECANICA DE SUELOS Y PAVIMENTOS

Proyecto: Estudios Mapas de Peligro de Las ciudades de Juanjui, Bellavista y San Hilarión

Localización del Proyecto: Provincia de Bellavista

Muestra I

Descripción del Suelo: Suelo arcilloso

Profundidad de la Muestra: 0.60

Hecho Por : Tec. Robert navarro mori

Calicata:

C-03

Fecha:

10/05/2004

Determinación del % de Humedad Natural

ASTM D2216

LATA	1	2	3
PESO DE LATA grs	57.99	58.25	58.46
PESO DEL SUELO HUMEDO + LATA grs	109.87	152.30	178.78
PESO DEL SUELO SECO + LATA grs	100.26	135.00	156.80
PESO DEL AGUA grs	9.61	17.30	21.98
PESO DEL SUELO SECO grs	42.27	76.75	98.34
% DE HUMEDAD	22.73	22.54	22.35
PROMEDIO % DE HUMEDAD	22.54		

Determinación del Gravedad Especifico de Solidos

ASTM D854

LATA	1	2
VOL. DEL FRASCO A 20° C.	500.00	500.00
METODO DE REMOCION DEL AIREa	Vacio	Vacio
PESO DEL FRASCO+AGUA+SUELO	695.23	698.23
TEMPERATURA, °C	23.00	23.00
PESO DEL FRASCO+AGUA grs	624.03	627.47
PLATO EVAPORADO N°	8	9
PESO DEL PLATO EVAP+SUELO SECO grs	320.00	319.95
PESO DEL SUELO SECO grs	120.00	120.00
VOLUMEN DE SOLIDOS cm3	48.80	49.24
GRAVEDAD ESPECIFICA grs/cm3	2.46	2.44
PROMEDIO grs/cm3	2.45	

Peso Unitario Volumétrico (Densidad Natural)

ASTM D2937

LATA	1	2	3
PESO DE MOLDE grs	310.00	310.00	310.00
PESO DEL SUELO + MOLDE grs	665.00	662.00	666.00
PESO DEL SUELO SECO grs	355.00	352.00	356.00
VOLUMEN DEL MOLDE cm3	246.30	246.30	246.30
PESO UNITARIO grs/cm3	1.44	1.43	1.45
PROMEDIO grs/cm3	1.439		



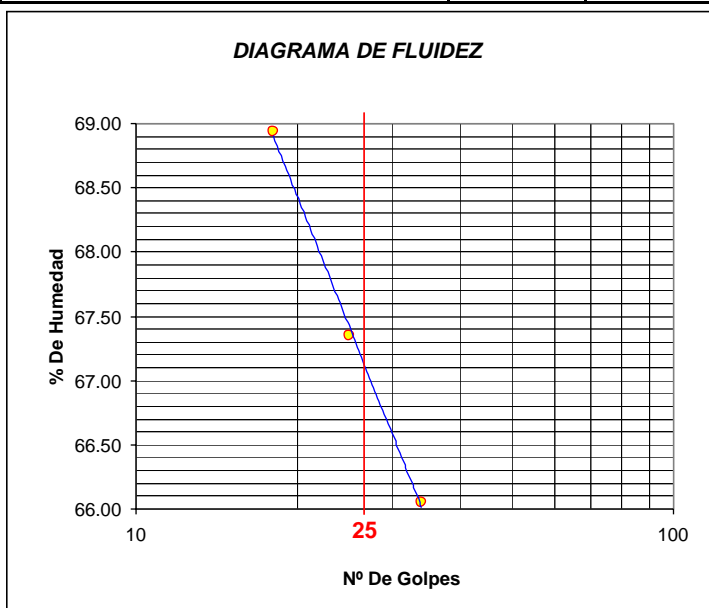
UNIVERSIDAD NACIONAL DE SAN MARTIN
FACULTAD DE INGENIERIA CIVIL
LABORATORIO DE MECANICA DE SUELOS Y PAVIMENTOS

Proyecto: Estudios Mapas de Peligro de Las ciudades de Juanjui, Bellavista y San Hilarión

Localización del Proyecto: Provincia de Bellavista Muestra I
 Descripción del Suelo: Suelo arcilloso Profundidad de la Muestra: 0.60
 Hecho Por : Tec. Robert navarro mori Calicata: C-03 Fecha: 10/05/2004

Determinación del Límite Líquido ASTM D4318

LATA	1	2	3
PESO DE LATA grs	22.56	23.57	22.58
PESO DEL SUELO HUMEDO + LATA grs	52.36	51.45	55.69
PESO DEL SUELO SECO + LATA grs	40.20	40.23	42.52
PESO DEL AGUA grs	12.16	11.22	13.17
PESO DEL SUELO SECO grs	17.64	16.66	19.94
% DE HUMEDAD	68.93	67.35	66.05
NUMERO DE GOLPES	18	25	34



Límite de Contracción	8.02
Límite Líquido	67.35
Límite Plástico	30.25
Índice de Plasticidad Ip	37.10
Clasificación SUCS	CH
Clasificación AASHTO	A-7(20)

Determinación del Límite Plástico ASTM D4318

LATA	1	2	3
PESO DE LATA grs	25.63	25.63	33.31
PESO DEL SUELO HUMEDO + LATA grs	55.00	52.30	63.25
PESO DEL SUELO SECO + LATA grs	48.20	46.10	56.28
PESO DEL AGUA grs	6.80	6.20	6.97
PESO DEL SUELO SECO grs	22.57	20.47	22.97
% DE HUMEDAD	30.13	30.29	30.34
% PROMEDIO	30.25		

LIMITE DE CONTRACCION ASTM D427	
Ensayo Nº	1
Peso Rec + Suelo húmedo Gr.	36.98
Peso Rec + Suelo seco Gr.	31.94
Peso de rec. De contracción Gr.	10.42
Peso del suelo seco Gr.	21.52
Peso del agua Gr.	5.04
Humedad %	23.42
Volumen Inicial (Suelo Húmedo) cm ³	14.94
Volumen Final (Suelo Seco) cm ³	11.62
Límite de Contracción %	8.02
Relación de Contracción	1.85



UNIVERSIDAD NACIONAL DE SAN MARTIN
FACULTAD DE INGENIERIA CIVIL
LABORATORIO DE MECANICA DE SUELOS Y PAVIMENTOS

Proyecto: Estudios Mapas de Peligro de Las ciudades de Juanjui, Bellavista y San Hilarión

Localización del Proyecto: Provincia de Bellavista

Descripción del Suelo: Suelo arcilloso

Profundidad de la Muestra:

Muestra

0.60

Calicata:

C-03

Hecho Por: Tec. Robert navarro mori

Fecha:

10/05/2004

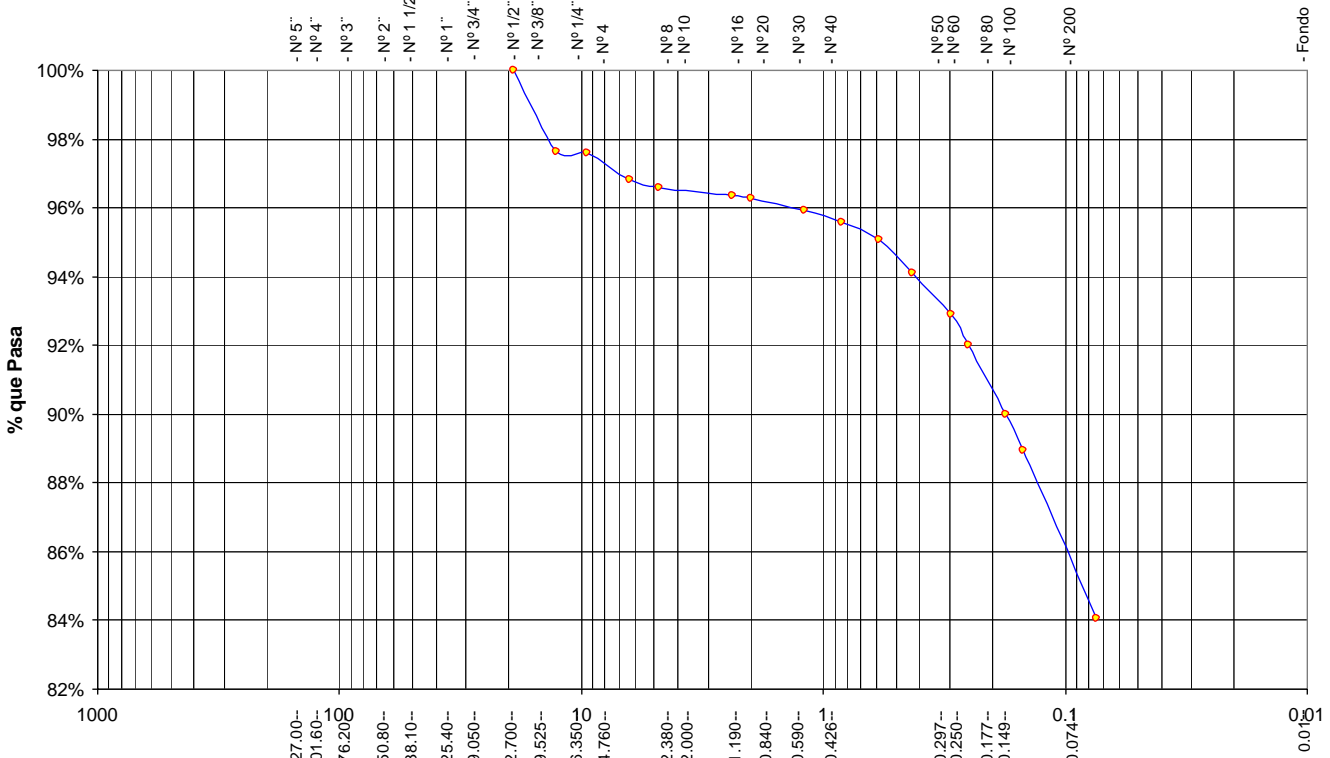
Análisis Granulométrico por Tamizado ASTM D422

Tamices		Peso Retenido	% Retenido Parcial	% Retenido Acumulado	% Que Pasa	Especificaciones	Tamaño Máximo:		
Ø	(mm)								
5"	127.00						-		
4"	101.60						-		
3"	76.20						-		
2"	50.80						-		
1 1/2"	38.10						-		
1"	25.40						-		
3/4"	19.050				100.00%		-		
1/2"	12.700	9.51	2.38%	2.38%	97.62%		-		
3/8"	9.525	0.02	0.01%	2.39%	97.61%		-		
1/4"	6.350	3.20	0.80%	3.19%	96.81%		-		
Nº 4	4.760	0.87	0.22%	3.41%	96.59%		-		
Nº 8	2.380	0.92	0.23%	3.64%	96.36%		-		
Nº 10	2.000	0.34	0.09%	3.73%	96.27%		-		
Nº 16	1.190	1.44	0.36%	4.09%	95.91%		-		
Nº 20	0.840	1.39	0.35%	4.44%	95.56%		-		
Nº 30	0.590	1.96	0.49%	4.93%	95.07%		-		
Nº 40	0.426	3.86	0.97%	5.89%	94.11%		-		
Nº 50	0.297	4.73	1.19%	7.08%	92.92%		-		
Nº 60	0.250	3.70	0.93%	8.01%	91.99%		-		
Nº 80	0.177	8.00	2.01%	10.01%	89.99%		-		
Nº 100	0.149	4.19	1.05%	11.06%	88.94%		-		
Nº 200	0.074	19.46	4.88%	15.94%	84.06%		-		
Fondo	0.01	335.26	84.06%	100.00%	0.00%		-		
TOTAL		398.85					-		

SUCS =	CH	AASHTO =	A-7(20)
LL =	67.35	WT =	57.85
LP =	30.25	WT+SAL =	456.70
IP =	37.10	WSAL =	398.85
IG =		WT+SDL =	121.44
		WSDL =	63.59
D 90=	-	%ARC. =	84.06
D 60=	-	%ERR. =	0.00
D 30=	-	Cc =	-
D 10=	*	Cu =	-

Observaciones :			
El suelo es una arcilla inorganica compacta con 84.06 % de finos , de plasticidad elevada color marrón con trazas de arcilla rojo oscuro con una resistencia al corte deficiente, de compresibilidad y expansión elevada, con gravas areniscas de 2" a 3" incrustadas.			
% de Humedad Natural de la muestra ensayada			
Número de tarro =	5	Peso del agua =	45
Peso del tarro =	57.85	Peso suelo húmedo=	443.85
Peso del tarro + Mh =	501.7	Peso suelo seco =	398.85
Peso del tarro + Ms =	456.7	% Humedad Muestra=	11.28

Curva Granulométrica



Diametro en m.m							
Piedras mayores 3"							
Clasificación - ASTM	GRAVA		ARENA			LIMO	ARCILLA
Clasificación - AASHTO	GRAVA GRUESA	GRAVA MEDIA	GRAVA FINA	ARENA GRUESA	ARENA FINA	LIMO	ARCILLA



UNIVERSIDAD NACIONAL DE SAN MARTIN
FACULTAD DE INGENIERIA CIVIL
LABORATORIO DE MECANICA DE SUELOS Y PAVIMENTOS

Proyecto: Estudios Mapas de Peligro de Las ciudades de Juanjui, Bellavista y San Hilarión

Localización del Proyecto: Provincia de Bellavista

Muestra II

Descripción del Suelo: Suelo arcilloso

Profundidad de la Muestra: 1.90

Hecho Por: Tec. Robert Navarro Mori

Calicata:

C-03

Fecha:

10/05/2004

Determinación del % de Humedad Natural

ASTM D2216

LATA	1	2	3
PESO DE LATA grs	59.03	58.57	56.52
PESO DEL SUELO HUMEDO + LATA grs	125.68	132.56	153.26
PESO DEL SUELO SECO + LATA grs	118.84	124.98	143.32
PESO DEL AGUA grs	6.84	7.58	9.94
PESO DEL SUELO SECO grs	59.81	66.41	86.80
% DE HUMEDAD	11.44	11.41	11.45
PROMEDIO % DE HUMEDAD	11.43		

Determinación del Gravedad Especifico de Solidos

ASTM D854

LATA	1	2
VOL. DEL FRASCO A 20° C.	500.00	500.00
METODO DE REMOCION DEL AIREa	Vacio	Vacio
PESO DEL FRASCO+AGUA+SUELO	792.29	792.18
TEMPERATURA, °C	23.00	23.00
PESO DEL FRASCO+AGUA grs	718.02	718.00
PLATO EVAPORADO N°	98	99
PESO DEL PLATO EVAP+SUELO SECO grs	320.00	320.00
PESO DEL SUELO SECO grs	120.00	120.00
VOLUMEN DE SOLIDOS cm ³	45.73	45.82
GRAVEDAD ESPECIFICA grs/cm ³	2.62	2.62
PROMEDIO grs/cm ³	2.62	

Peso Unitario Volumétrico (Densidad Natural)

ASTM D2937

LATA	1	2	3
PESO DE MOLDE grs	310.00	310.00	310.00
PESO DEL SUELO + MOLDE grs	741.00	746.00	738.00
PESO DEL SUELO SECO grs	431.00	436.00	428.00
VOLUMEN DEL MOLDE cm ³	246.30	246.30	246.30
PESO UNITARIO grs/cm ³	1.75	1.77	1.74
PROMEDIO grs/cm ³	1.753		

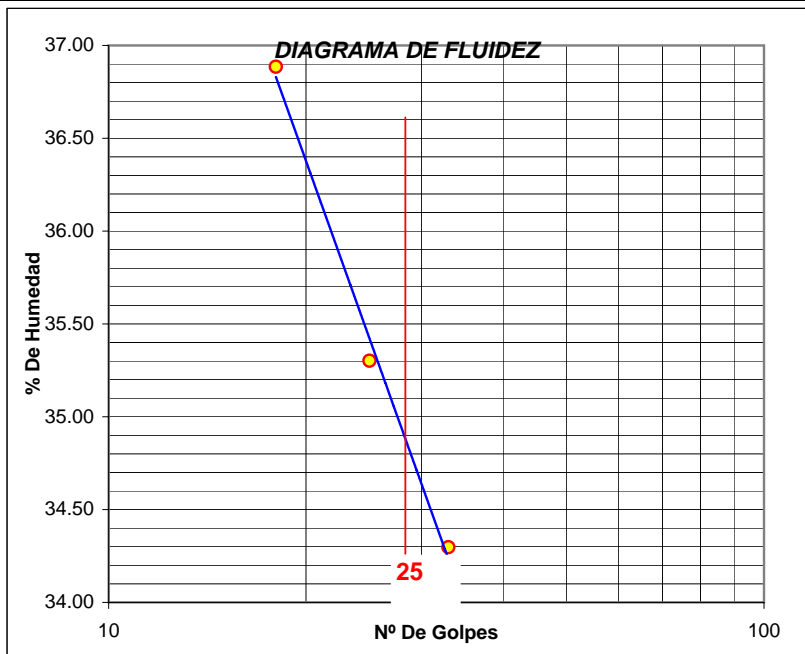


UNIVERSIDAD NACIONAL DE SAN MARTIN
FACULTAD DE INGENIERIA CIVIL
LABORATORIO DE MECANICA DE SUELOS Y PAVIMENTOS

Proyecto: Estudios Mapas de Peligro de Las ciudades de Juanjui, Bellavista y san Hilarión
 Localización del Proyecto: Provincia de Bellavista Muestra II
 Descripción del Suelo: Suelo arcilloso Profundidad de la Muestra: 1.90
 Hecho Por: Tec. Robert navarro mori Calicata: C-03 Fecha: 10/05/2004

Determinación del Límite Líquido ASTM D4318

LATA	1	2	3
PESO DE LATA grs	25.63	24.31	23.54
PESO DEL SUELO HUMEDO + LATA grs	55.69	54.32	50.01
PESO DEL SUELO SECO + LATA grs	47.59	46.49	43.25
PESO DEL AGUA grs	8.10	7.83	6.76
PESO DEL SUELO SECO grs	21.96	22.18	19.71
% DE HUMEDAD	36.89	35.30	34.30
NUMERO DE GOLPES	18	25	33



Límite de Contracción	ND
Límite Líquido	35.30
Límite Plástico	20.03
Índice de Plasticidad Ip	15.27
Clasificación SUCS	GC
Clasificación AASHTO	A-2-6(0)

Determinación del Límite Plástico ASTM D4318

LATA	1	2	3
PESO DE LATA grs	23.54	22.56	28.65
PESO DEL SUELO HUMEDO + LATA grs	51.23	52.30	58.22
PESO DEL SUELO SECO + LATA grs	46.60	47.34	53.29
PESO DEL AGUA grs	4.63	4.96	4.93
PESO DEL SUELO SECO grs	23.06	24.78	24.64
% DE HUMEDAD	20.08	20.02	20.01
% PROMEDIO	20.03		



UNIVERSIDAD NACIONAL DE SAN MARTIN
FACULTAD DE INGENIERIA CIVIL
LABORATORIO DE MECANICA DE SUELOS Y PAVIMENTOS

Proyecto: Estudios Mapas de Peligro de Las ciudades de Juanjui, Bellavista y san Hilarion

Localización del Proyecto: Provincia de Bellavista

Muestra II

Descripción del Suelo: Suelo arcilloso Profundidad de la Muestra: 1.90

Calicata: C-03

Hecho Por: Tec. Robert navarro mori

Fecha: 10/05/2004

Analisis Granulométrico por Tamizado

ASTM D422

Tamices		Peso Retenido	% Retenido Parcial	% Retenido Acumulado	% Que Pasa	Especificaciones	Tamaño Máximo:			
Ø	(mm)									
5"	127.00						-			
4"	101.60						-			
3"	76.20						-			
2"	50.80						-			
1 1/2"	38.10				100.00%		-			
1"	25.40	170.64	28.12%	28.12%	71.88%		-			
3/4"	19.050	62.65	10.32%	38.45%	61.55%		-			
1/2"	12.700	63.90	10.53%	48.98%	51.02%		-			
3/8"	9.525	21.72	3.58%	52.56%	47.44%		-			
1/4"	6.350	36.58	6.03%	58.58%	41.42%		-			
Nº 4	4.760	14.51	2.39%	60.97%	39.03%		-			
Nº 8	2.380	33.63	5.54%	66.52%	33.48%		-			
Nº 10	2.000	6.73	1.11%	67.63%	32.37%		-			
Nº 16	1.190	18.39	3.03%	70.66%	29.34%		-			
Nº 20	0.840	11.27	1.86%	72.51%	27.49%		-			
Nº 30	0.590	13.67	2.25%	74.77%	25.23%		-			
Nº 40	0.426	21.43	3.53%	78.30%	21.70%		-			
Nº 50	0.297	14.20	2.34%	80.64%	19.36%		-			
Nº 60	0.250	7.38	1.22%	81.85%	18.15%		-			
Nº 80	0.177	9.04	1.49%	83.34%	16.66%		-			
Nº 100	0.149	3.32	0.55%	83.89%	16.11%		-			
Nº 200	0.074	10.00	1.65%	85.54%	14.46%		-			
Fondo	0.01	87.75	14.46%	100.00%	0.00%		-			
TOTAL		606.81				A B				

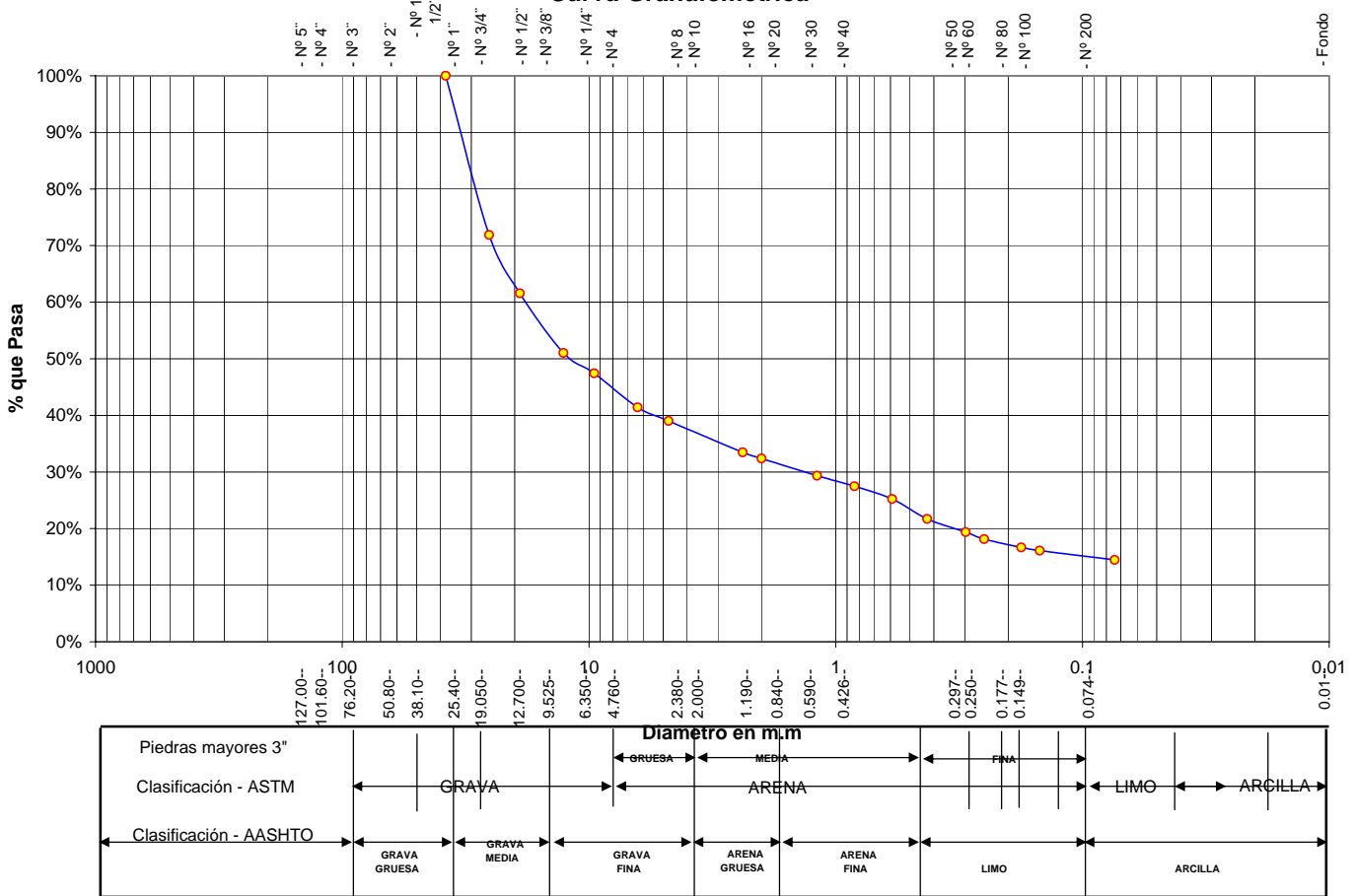
Descripción Muestras:			
Suelo arcilloso color amarillo con trazas de arcilla roja clasificación 7/3			
SUCS =	GC	AASHTO =	A-2-6(0)
LL =	35.30	WT =	58.69
LP =	20.03	WT+SAL =	665.50
IP =	15.27	WSAL =	606.81
IG =		WT+SDL =	577.75
		WSDL =	519.06
D 90=	-	%ARC. =	14.46
D 60=	-	%ERR. =	0.00
D 30=	-	Cc =	-
D 10=	*	Cu =	-

Observaciones :

El suelo es una mezcla grava arcillosa mal graduada compacta con 14.46% de finos color amarillo con trazas de arcilla roja con una resistencia al corte buena a regular, de compresibilidad mediana, las gravas están entre los Diámetros de 2" a 4" incrustadas.

% de Humedad Natural de la muestra ensayada			
Número de tarro =	6	Peso del agua =	18.3
Peso del tarro =	58.69	Peso suelo húmedo=	625.11
Peso del tarro + Mh =	683.8	Peso suelo seco =	606.81
Peso del tarro + Ms =	665.5	% Humedad Muestra=	3.02

Curva Granulométrica





UNIVERSIDAD NACIONAL DE SAN MARTIN
FACULTAD DE INGENIERIA CIVIL
LABORATORIO DE MECANICA DE SUELOS Y PAVIMENTOS

Proyecto: Estudio de Mapas de Peligro de las Ciudades de Juanjui, Bellavista y San Hilarión.

Localización del proyecto : Provincia de Bellavista

Descripción del suelo : Arcilloso color amarillo con trazas de arcilla roja con clasificación 7/3

Prof. De la muestra : 3.00 m.

Realizado por : Téc. R.N.M.

Calicata: 3 MI - MII

Fecha de Ensayo: 10/05/04

REGISTRO DE EXCAVACIÓN

COTA m	ESPESOR m	HUMEDAD %	CLASIFICACION			DESCRIPCION DEL SUELO
			AASHTO	SUCS	SIMBOLO	
0.00						
0.15	0.15	31.00%		Pt		Material organico color negro con mezcla de arcilla y arena, presentando raices que se profundizan hasta 0.15 m
0.50	0.35	4.25%		SM		Suelo arenoso limoso transportado con mezcla de material orgánico color negro y raices, con olor de descompuesto organico
1.10	0.60	22.54%	A-7(20)	CH		Suelo arcilloso inorganica compacta plasticidad elevada, con 84.06% de finos de color marrón con trazas de arcilla roja Con una resistencia al corte deficiente, compresibilidad y expansión de medianos a elevados en condición saturada. Con incrustaciones de gravas areniscas de 2" a 3" en un 70% de la muestra ensayada
3.00	1.90	11.43%	A-2-6(0)	GC		El suelo es una Mezcla de grava arcilla compacta de plasticidad media, con 14.46% de finos de color amarillo con mezcla de arcilla roja del estrato anterior con una resistencia al corte de buena a regular, compresibilidad y expansión mediana en condición saturada. presentando en un 65% de la muestra total gravas areniscas que oscilan en diámetros de 2" a 4"

OBSERVACIONES : _____



UNIVERSIDAD NACIONAL DE SAN MARTIN
FACULTAD DE INGENIERIA CIVIL
LABORATORIO DE MECANICA DE SUELOS Y PAVIMENTOS

Proyecto: Estudios Mapas de Peligro de Las ciudades de Juanjui, Bellavista y San Hilarión

Localización del Proyecto: Provincia de Bellavista

Muestra I

Descripción del Suelo: Suelos arcillosos

Profundidad de la Muestra: 0.70

Hecho Por: Tec. Robert Navarro Mori

Calicata:

C-04

Fecha:

11/05/2004

Determinación del % de Humedad Natural

ASTM D2216

LATA	1	2	3
PESO DE LATA grs	58.95	57.98	57.96
PESO DEL SUELO HUMEDO + LATA grs	108.82	154.65	182.56
PESO DEL SUELO SECO + LATA grs	100.32	138.12	161.02
PESO DEL AGUA grs	8.50	16.53	21.54
PESO DEL SUELO SECO grs	41.37	80.14	103.06
% DE HUMEDAD	20.55	20.63	20.90
PROMEDIO % DE HUMEDAD	20.69		

Determinación del Gravedad Especifico de Solidos

ASTM D854

LATA	1	2
VOL. DEL FRASCO A 20° C.	500.00	500.00
METODO DE REMOCION DEL AIREa	Vacio	Vacio
PESO DEL FRASCO+AGUA+SUELO	787.02	785.25
TEMPERATURA, °C	23.00	23.00
PESO DEL FRASCO+AGUA grs	725.89	712.32
PLATO EVAPORADO N°	8	9
PESO DEL PLATO EVAP+SUELO SECO grs	300.00	320.00
PESO DEL SUELO SECO grs	100.00	120.00
VOLUMEN DE SOLIDOS cm ³	38.87	47.07
GRAVEDAD ESPECIFICA grs/cm ³	2.57	2.55
PROMEDIO grs/cm ³	2.56	

Peso Unitario Volumétrico (Densidad Natural)

ASTM D2937

LATA	1	2	3
PESO DE MOLDE grs	310.00	310.00	310.00
PESO DEL SUELO + MOLDE grs	688.00	685.00	689.00
PESO DEL SUELO SECO grs	377.00	372.00	378.00
VOLUMEN DEL MOLDE cm ³	246.30	246.30	246.30
PESO UNITARIO grs/cm ³	1.53	1.51	1.53
PROMEDIO grs/cm ³	1.525		

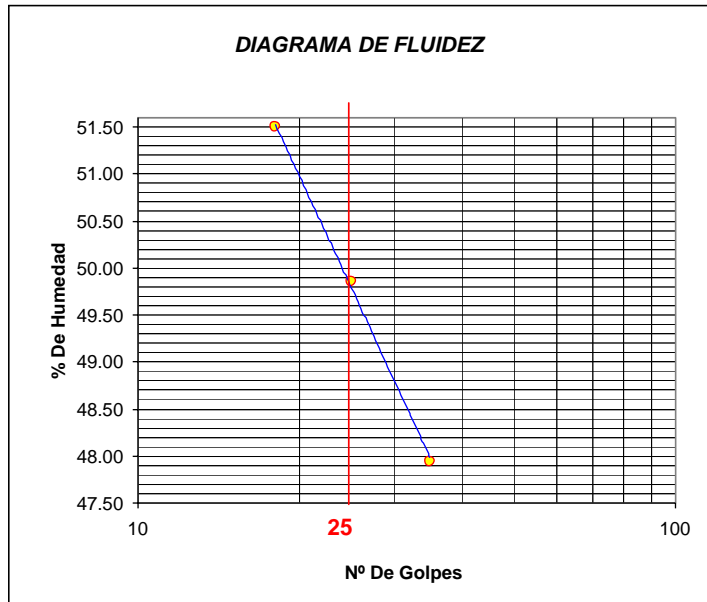


UNIVERSIDAD NACIONAL DE SAN MARTIN
FACULTAD DE INGENIERIA CIVIL
LABORATORIO DE MECANICA DE SUELOS Y PAVIMENTOS

Proyecto: Estudios Mapas de Peligro de Las ciudades de Juanjui, Bellavista y San Hilarión
 Localización del Proyecto: Provincia de Bellavista Muestra: I
 Descripción del Suelo: Suelos arcillosos Profundidad de la Muestra: 0.70
 Hecho Por: Tec. Robert Navarro Mori Calicata: C-04 Fecha: 11/05/2004

Determinación del Límite Líquido ASTM D4318

LATA	1	2	3
PESO DE LATA grs	33.64	44.39	44.23
PESO DEL SUELO HUMEDO + LATA grs	79.71	80.04	79.07
PESO DEL SUELO SECO + LATA grs	64.05	68.18	67.78
PESO DEL AGUA grs	15.66	11.86	11.29
PESO DEL SUELO SECO grs	30.41	23.79	23.55
% DE HUMEDAD	51.50	49.85	47.94
NUMERO DE GOLPES	18	25	35



Límite de Contracción	8.77
Límite Líquido	49.85
Límite Plástico	23.95
Índice de Plasticidad Ip	25.90
Clasificación SUCS	CL
Clasificación AASHTO	A-7 (20)

Determinación del Límite Plástico ASTM D4318

LATA	1	2	3
PESO DE LATA grs	31.50	34.43	38.28
PESO DEL SUELO HUMEDO + LATA grs	59.57	61.23	72.80
PESO DEL SUELO SECO + LATA grs	54.08	56.18	66.05
PESO DEL AGUA grs	5.49	5.05	6.75
PESO DEL SUELO SECO grs	22.58	21.75	27.77
% DE HUMEDAD	24.31	23.22	24.31
% PROMEDIO	23.95		

LÍMITE DE CONTRACCION ASTM D427	
Ensayo Nº	1
Peso Rec + Suelo húmedo Gr.	37.24
Peso Rec + Suelo seco Gr.	31.46
Peso de rec. De contracción Gr.	10.42
Peso del suelo seco Gr.	21.04
Peso del agua Gr.	5.78
Humedad %	27.47
Volumen Inicial (Suelo Húmedo) cm ³	15.52
Volumen Final (Suelo Seco) cm ³	11.59
Límite de Contracción %	8.77
Relación de Contracción	1.82



UNIVERSIDAD NACIONAL DE SAN MARTIN
FACULTAD DE INGENIERIA CIVIL
LABORATORIO DE MECANICA DE SUELOS Y PAVIMENTOS

Proyecto: Estudios Mapas de Peligro de Las ciudades de Juanjui, Bellavista y san Hilarión

Localización del Proyecto: Provincia de Bellavista

Descripción del Suelo: Suelos arcillosos

Profundidad de la Muestra:

Muestra: 0.60

Calicata: C-04

Fecha: 11/05/2004

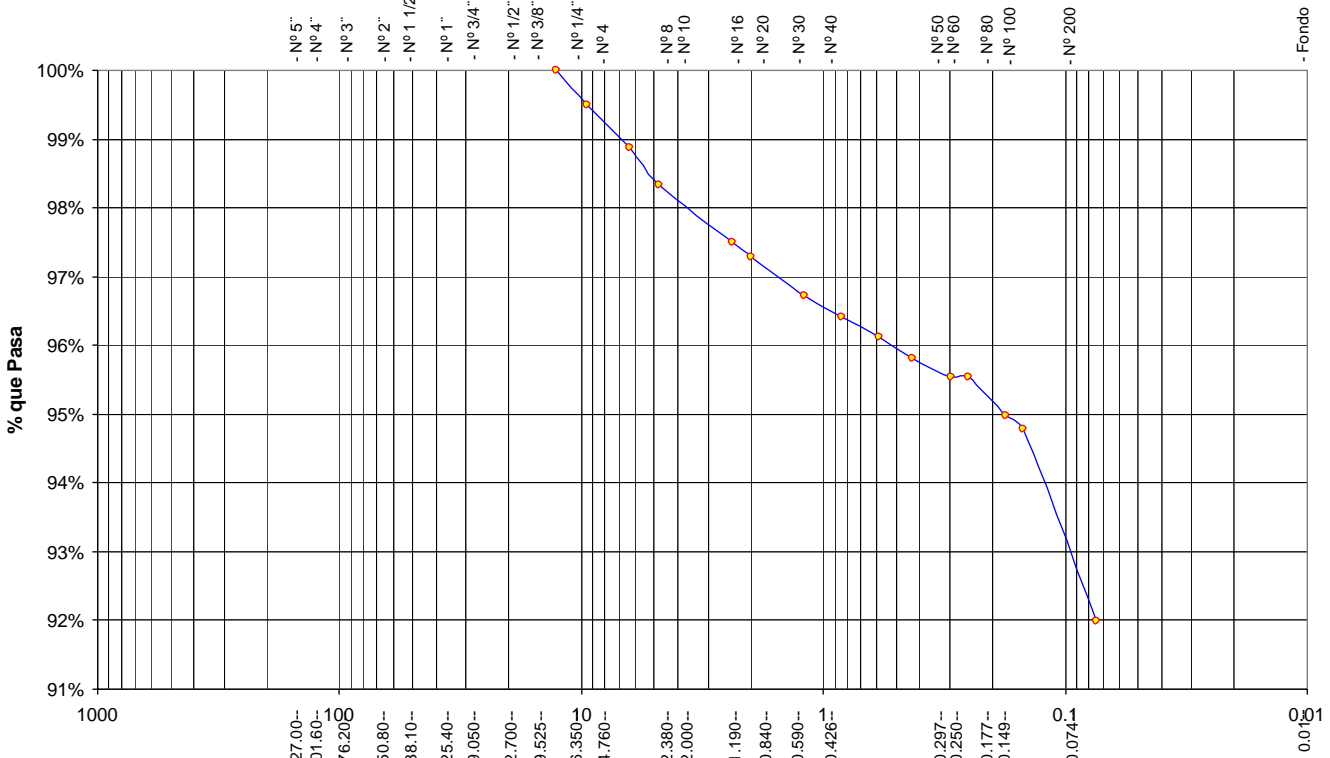
Hecho Por: Tec. Robert navarro mori

Análisis Granulométrico por Tamizado ASTM D422

Tamices		Peso Retenido	% Retenido Parcial	% Retenido Acumulado	% Que Pasa	Especificaciones	Tamaño Máximo:			
Ø	(mm)									
5"	127.00						-			
4"	101.60						-			
3"	76.20						-			
2"	50.80						-			
1 1/2"	38.10						-			
1"	25.40						-			
3/4"	19.050						-			
1/2"	12.700				100.00%		-			
3/8"	9.525	3.57	0.50%	0.50%	99.50%		-			
1/4"	6.350	4.48	0.63%	1.13%	98.87%		-			
Nº 4	4.760	3.74	0.53%	1.66%	98.34%		-			
Nº 8	2.380	5.96	0.84%	2.50%	97.50%		-			
Nº 10	2.000	1.57	0.22%	2.72%	97.28%		-			
Nº 16	1.190	4.00	0.56%	3.28%	96.72%		-			
Nº 20	0.840	2.12	0.30%	3.58%	96.42%		-			
Nº 30	0.590	2.14	0.30%	3.88%	96.12%		-			
Nº 40	0.426	2.23	0.31%	4.20%	95.80%		-			
Nº 50	0.297	1.90	0.27%	4.47%	95.53%		-			
Nº 60	0.250	0.01	0.00%	4.47%	95.53%		-			
Nº 80	0.177	3.95	0.56%	5.02%	94.98%		-			
Nº 100	0.149	1.39	0.20%	5.22%	94.78%		-			
Nº 200	0.074	19.85	2.80%	8.02%	91.98%		-			
Fondo	0.01	653.09	91.98%	100.00%	0.00%		-			
TOTAL		710.00								

Modulo de Fineza AF:	-
Equivalente de Arena:	-
Descripción Muestras:	
Suelo arcilloso color marrón con trazas de arcilla roja clasificación 8/6	
SUCS =	CL
LL =	49.85
LP =	23.95
IP =	25.90
AASHTO =	A-7(20)
WT =	100.00
WT+SAL =	810.00
WSAL =	710.00
WT+SDL =	157.07
WSDL =	57.07
%ARC. =	91.98
%ERR. =	0.00
Cc =	-
Cu =	-
Observaciones :	
El suelo es una arcilla inorganica compacta con 91.98 % de finos , de plasticidad elevada color marrón con trazas de arcilla roja, resistencia al corte de regular, de compresibilidad y expansión mediana.	
% de Humedad Natural de la muestra ensayada	
Número de tarro =	14
Peso del agua =	43.2
Peso del tarro =	100
Peso suelo húmedo =	753.2
Peso del tarro + Mh =	853.2
Peso suelo seco =	710
Peso del tarro + Ms =	810
% Humedad Muestra =	6.08

Curva Granulométrica



Diametro en m.m							
Piedras mayores 3"							
Clasificación - ASTM	GRAVA		ARENA			LIMO	ARCILLA
Clasificación - AASHTO	GRAVA GRUESA	GRAVA MEDIA	GRAVA FINA	ARENA GRUESA	ARENA FINA	LIMO	ARCILLA



UNIVERSIDAD NACIONAL DE SAN MARTIN
FACULTAD DE INGENIERIA CIVIL
LABORATORIO DE MECANICA DE SUELOS Y PAVIMENTOS

Proyecto: Estudios Mapas de Peligro de Las ciudades de Juanjui, Bellavista y San Hilarión

Localización del Proyecto: Provincia de Bellavista

Muestra II

Descripción del Suelo: Suelos arcillosos

Profundidad de la Muestra: 1.90

Hecho Por: Tec. Robert Navarro Mori

Calicata:

C-04

Fecha:

11/05/2004

Determinación del % de Humedad Natural

ASTM D2216

LATA	1	2	3
PESO DE LATA grs	58.87	58.65	58.46
PESO DEL SUELO HUMEDO + LATA grs	141.31	156.23	154.58
PESO DEL SUELO SECO + LATA grs	133.00	146.41	144.89
PESO DEL AGUA grs	8.31	9.82	9.69
PESO DEL SUELO SECO grs	74.13	87.76	86.43
% DE HUMEDAD	11.21	11.19	11.21
PROMEDIO % DE HUMEDAD	11.20		

Determinación del Gravedad Especifico de Solidos

ASTM D854

LATA	1	2
VOL. DEL FRASCO A 20° C.	500.00	500.00
METODO DE REMOCION DEL AIREa	Vacio	Vacio
PESO DEL FRASCO+AGUA+SUELO	790.56	791.00
TEMPERATURA, °C	23.00	23.00
PESO DEL FRASCO+AGUA grs	716.65	716.74
PLATO EVAPORADO N°	10	11
PESO DEL PLATO EVAP+SUELO SECO grs	320.00	320.00
PESO DEL SUELO SECO grs	120.00	120.00
VOLUMEN DE SOLIDOS cm ³	46.09	45.74
GRAVEDAD ESPECIFICA grs/cm ³	2.60	2.62
PROMEDIO grs/cm ³	2.61	

Peso Unitario Volumétrico (Densidad Natural)

ASTM D2937

LATA	1	2	3
PESO DE MOLDE grs	306.00	306.00	306.00
PESO DEL SUELO + MOLDE grs	682.00	689.00	688.00
PESO DEL SUELO SECO grs	376.00	383.00	382.00
VOLUMEN DEL MOLDE cm ³	246.30	246.30	246.30
PESO UNITARIO grs/cm ³	1.53	1.56	1.55
PROMEDIO grs/cm ³	1.544		

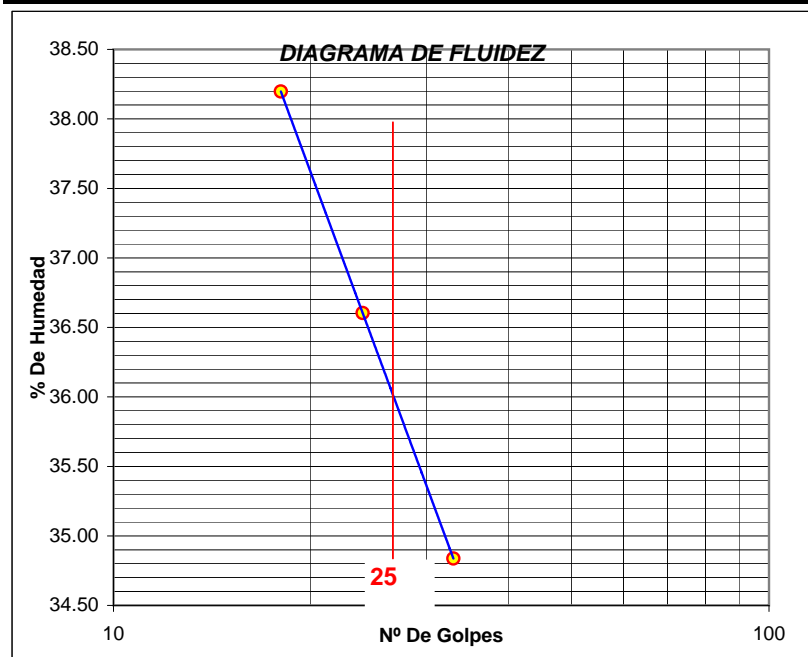


UNIVERSIDAD NACIONAL DE SAN MARTIN
FACULTAD DE INGENIERIA CIVIL
LABORATORIO DE MECANICA DE SUELOS Y PAVIMENTOS

Proyecto: Estudios Mapas de Peligro de Las ciudades de Juanjui, Bellavista y san Hilarión
 Localización del Proyecto: Provincia de Bellavista Muestra II
 Descripción del Suelo: Suelos arcillosos Profundidad de la Muestra: 1.90
 Hecho Por: Tec. Robert navarro mori Calicata: C-04 Fecha: 11/05/2004

Determinación del Límite Líquido ASTM D4318

LATA	1	2	3
PESO DE LATA grs	22.50	22.56	22.50
PESO DEL SUELO HUMEDO + LATA grs	53.00	52.64	51.49
PESO DEL SUELO SECO + LATA grs	44.57	44.58	44.00
PESO DEL AGUA grs	8.43	8.06	7.49
PESO DEL SUELO SECO grs	22.07	22.02	21.50
% DE HUMEDAD	38.20	36.60	34.84
NUMERO DE GOLPES	18	24	33



Límite de Contracción	ND
Límite Líquido	36.42
Límite Plástico	17.45
Índice de Plasticidad Ip	18.97
Clasificación SUCS	SC
Clasificación AASHTO	A-2-6(1)

Determinación del Límite Plástico ASTM D4318

LATA	1	2	3
PESO DE LATA grs	22.25	25.69	33.31
PESO DEL SUELO HUMEDO + LATA grs	52.68	54.62	58.97
PESO DEL SUELO SECO + LATA grs	48.16	50.32	55.16
PESO DEL AGUA grs	4.52	4.30	3.81
PESO DEL SUELO SECO grs	25.91	24.63	21.85
% DE HUMEDAD	17.45	17.46	17.44
% PROMEDIO	17.45		



UNIVERSIDAD NACIONAL DE SAN MARTIN

FACULTAD DE INGENIERIA CIVIL
LABORATORIO DE MECANICA DE SUELOS Y PAVIMENTOS

Proyecto: Estudios Mapas de Peligro de Las ciudades de Juanjui, Bellavista y san Hilarion

Localización del Proyecto: Provincia de Bellavista

Muestra II

Descripción del Suelo: Suelos arcillosos

Profundidad de la Muestra: 1.90

Calicata: C-04

Hecho Por: Tec. Robert navarro mori

Fecha: 11/05/2004

Análisis Granulométrico por Tamizado ASTM D422

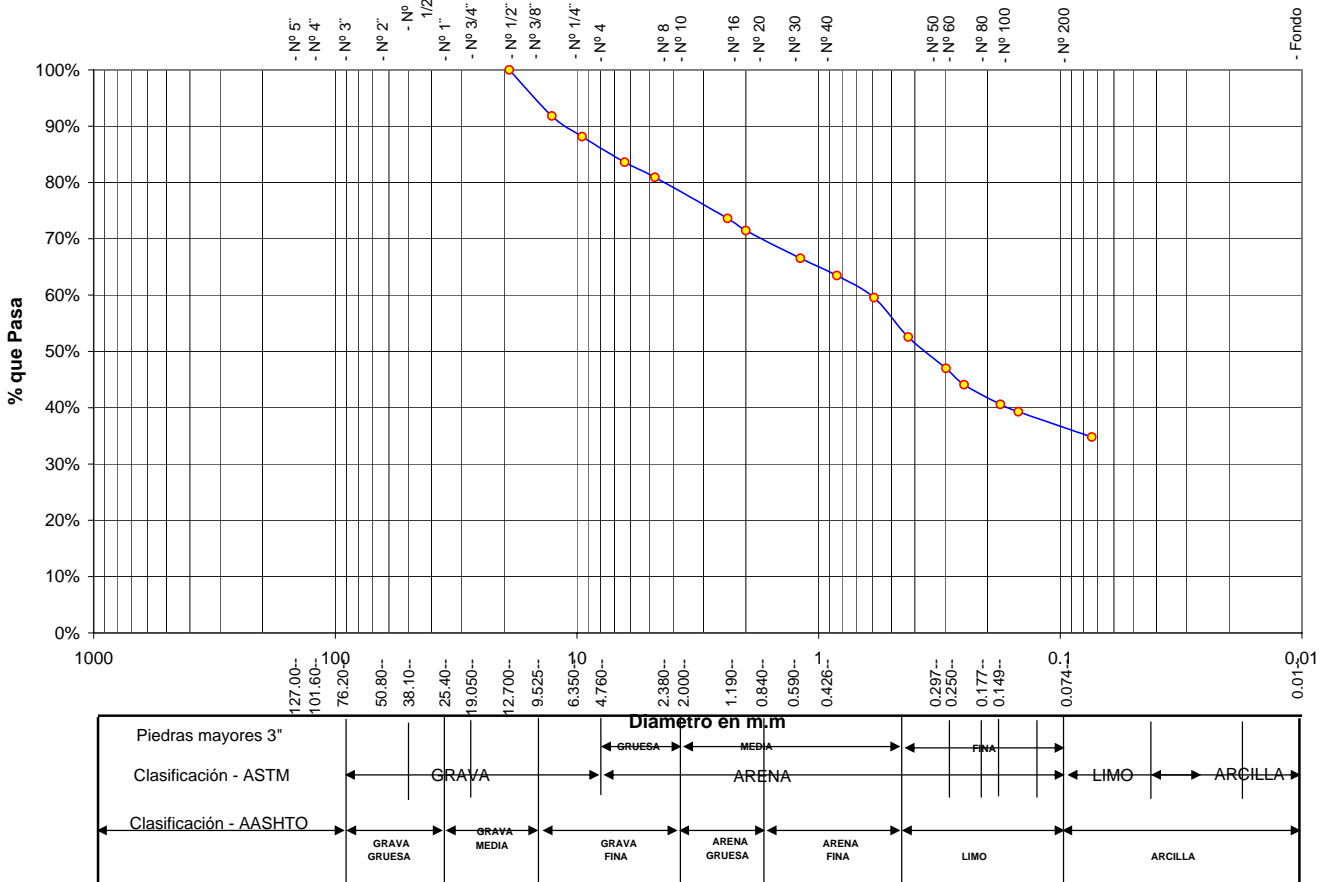
Tamices		Peso Retenido	% Retenido Parcial	% Retenido Acumulado	% Que Pasa	Especificaciones	Tamaño Máximo:			
Ø (mm)										
5"	127.00						Modulo de Fineza AF: -			
4"	101.60						Modulo de Fineza AG: -			
3"	76.20						Equivalente de Arena: -			
2"	50.80						Descripción Muestras: Suelo arcilloso arenoso color amarillo claro clasificación 7/3			
1 1/2"	38.10									
1"	25.40									
3/4"	19.050				100.00%					
1/2"	12.700	38.00	8.19%	8.19%	91.81%					
3/8"	9.525	17.05	3.67%	11.86%	88.14%					
1/4"	6.350	21.03	4.53%	16.40%	83.60%					
Nº 4	4.760	12.46	2.69%	19.08%	80.92%					
Nº 8	2.380	33.82	7.29%	26.37%	73.63%					
Nº 10	2.000	10.01	2.16%	28.53%	71.47%					
Nº 16	1.190	22.81	4.92%	33.44%	66.56%					
Nº 20	0.840	14.31	3.08%	36.53%	63.47%					
Nº 30	0.590	18.16	3.91%	40.44%	59.56%					
Nº 40	0.426	32.43	6.99%	47.43%	52.57%					
Nº 50	0.297	25.86	5.57%	53.00%	47.00%					
Nº 60	0.250	13.48	2.91%	55.91%	44.09%					
Nº 80	0.177	16.21	3.49%	59.40%	40.60%					
Nº 100	0.149	6.14	1.32%	60.72%	39.28%					
Nº 200	0.074	20.85	4.49%	65.22%	34.78%					
Fondo	0.01	161.39	34.78%	100.00%	0.00%					
TOTAL		464.01				A B				

SUCS =	SC	AASHTO =	A - 2-6(1)
LL =	36.42	WT =	58.49
LP =	17.45	WT+SAL =	522.50
IP =	18.97	WSAL =	464.01
IG =		WT+SDL =	361.11
		WSDL =	302.62
D 90 =	-	%ARC. =	34.78
D 60 =	-	%ERR. =	0.00
D 30 =	-	Cc =	-
D 10 =	*	Cu =	-

Observaciones :
El suelo es una arcilla arenosa compacta con 34.78 % de finos, de plasticidad mediana a elevada color amarillo claro con una resistencia al corte de regular a bueno, de compresibilidad y expansión baja, con mezcla de rocas de diámetros de 2" hasta de 4" (Rocas areniscas cuarzosas)

% de Humedad Natural de la muestra ensayada			
Número de tarro =	7	Peso del agua =	8.31
Peso del tarro =	58.87	Peso suelo húmedo =	82.44
Peso del tarro + Mh =	141.31	Peso suelo seco =	74.13
Peso del tarro + Ms =	133	% Humedad Muestra =	11.21

Curva Granulométrica





UNIVERSIDAD NACIONAL DE SAN MARTIN
FACULTAD DE INGENIERIA CIVIL
LABORATORIO DE MECANICA DE SUELOS Y PAVIMENTOS

Proyecto: Estudio de Mapas de Peligro de las Ciudades de Juanjui, Bellavista y San Hilarión.

Localización del proyecto : Provincia de Bellavista

Descripción del suelo : Arcilloso color amarillo claro con clasificación 7/3

Prof. De la muestra : 3.00 m.

Realizado por : Téc. R.N.M.

Calicata: 4 MI - MII

Fecha de Ensayo: 11/05/04

REGISTRO DE EXCAVACIÓN

COTA m	ESPESOR m	HUMEDAD %	CLASIFICACION			DESCRIPCION DEL SUELO
			AASHTO	SUCS	SIMBOLO	
0.00						
0.10	0.10	29.00%		Pt		Material organico color negro con mezcla de arcilla y arena, presentando raices que se profundizan hasta 0.15 m
0.40	0.30	3.21%		SM		Suelo arenoso limoso transportado con mezcla de material orgánico color negro y raices, con olor de descompuesto organico
1.10	0.70	20.69%	A-7(20)	CL		Suelo arcilloso inorganica compacta plasticidad con 91.98% de finos, plasticidad elevada, color marrón oscuro con trazas de arcilla roja Con una resistencia al corte regular, compresibilidad y expansión de medianos a elevados en condición saturada. Con incrustaciones de gravas areniscas de 1/2" a 1" en un 25% de la muestra ensayada
3.00	1.90	11.43%	A-2-6(1)	SC		El suelo es una arcilla arenosa compacta con 34.78 % de finos , de plasticidad mediana a elevada en condición saturada color amarillo claro con una resistencia al corte de regular a bueno, de compresibilidad. y expansión baja, con mezcla de rocas de diametros de 2" hasta de 4" (Rocas areniscas cuarzosas)

OBSERVACIONES : _____



UNIVERSIDAD NACIONAL DE SAN MARTIN
FACULTAD DE INGENIERIA CIVIL
LABORATORIO DE MECANICA DE SUELOS Y PAVIMENTOS

Proyecto: Estudios Mapas de Peligro de Las ciudades de Juanjui, Bellavista y san Hilarión

Localización del Proyecto: Provincia de Bellavista

Descripción del Suelo: Arcilloso

Hecho Por : Tec. Robert navarro mori

Muestra I

Profundidad de la Muestra: 0.35

Calicata: C-05 Fecha: 11/05/2004

Determinación del % de Humedad Natural

ASTM

LATA	1	2	3
PESO DE LATA grs	60.10	60.12	60.10
PESO DEL SUELO HUMEDO + LATA grs	156.23	160.20	160.35
PESO DEL SUELO SECO + LATA grs	139.23	142.65	142.58
PESO DEL AGUA grs	17.00	17.55	17.77
PESO DEL SUELO SECO grs	79.13	82.53	82.48
% DE HUMEDAD	21.48	21.26	21.54
PROMEDIO % DE HUMEDAD	21.43		

Determinación del Gravedad Especifico de Solidos

ASTM

LATA	1	2
VOL. DEL FRASCO A 20° C.	500.00	500.00
METODO DE REMOCION DEL AIREa	Vacio	Vacio
PESO DEL FRASCO+AGUA+SUELO	794.48	794.25
TEMPERATURA, °C	23.00	23.00
PESO DEL FRASCO+AGUA grs	720.30	719.98
PLATO EVAPORADO N°	101	102
PESO DEL PLATO EVAP+SUELO SECO grs	320.00	320.00
PESO DEL SUELO SECO grs	120.00	120.00
VOLUMEN DE SOLIDOS cm3	45.82	45.73
GRAVEDAD ESPECIFICA grs/cm3	2.62	2.62
PROMEDIO grs/cm3	2.62	

Peso Unitario Volumétrico (Densidad Natural)

ASTM D2937

LATA	1	2	3
PESO DE MOLDE grs	306.00	306.00	306.00
PESO DEL SUELO + MOLDE grs	609.56	610.00	612.35
PESO DEL SUELO SECO grs	303.56	304.00	306.35
VOLUMEN DEL MOLDE cm3	201.09	201.09	201.09
PESO UNITARIO grs/cm3	1.51	1.51	1.52
PROMEDIO grs/cm3	1.515		

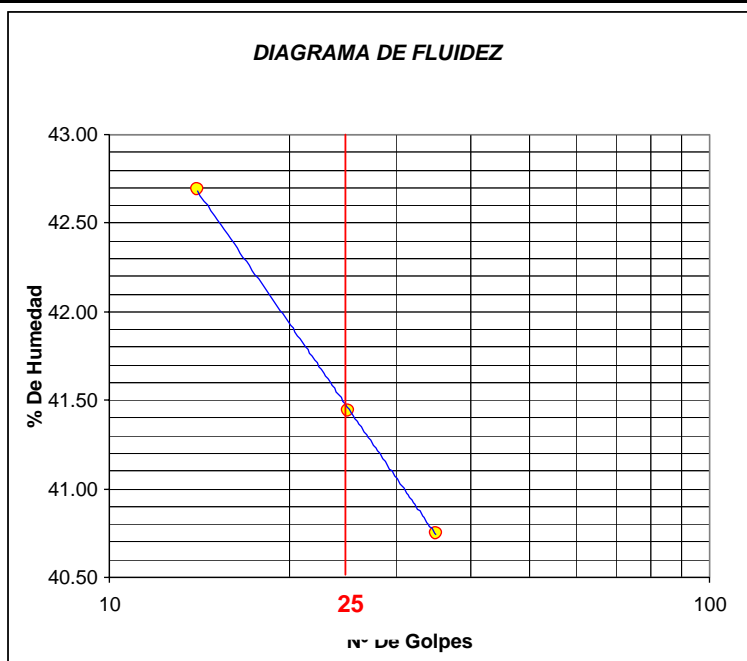


UNIVERSIDAD NACIONAL DE SAN MARTIN
FACULTAD DE INGENIERIA CIVIL
LABORATORIO DE MECANICA DE SUELOS Y PAVIMENTOS

Proyecto: Estudios Mapas de Peligro de Las ciudades de Juanjui, Bellavista y San Hilarión
 Localización del Proyecto: Provincia de Bellavista Muestra: I
 Descripción del Suelo: Arcilloso Profundidad de la Muestra: 0.35
 Hecho Por: Tec. Robert Navarro Mori Calicata: C-05 Fecha: 11/05/2004

Determinación del Límite Líquido ASTM

LATA	1	2	3
PESO DE LATA grs	25.75	29.51	19.05
PESO DEL SUELO HUMEDO + LATA grs	61.08	73.06	71.00
PESO DEL SUELO SECO + LATA grs	50.51	60.30	55.96
PESO DEL AGUA grs	10.57	12.76	15.04
PESO DEL SUELO SECO grs	24.76	30.79	36.91
% DE HUMEDAD	42.69	41.44	40.75
NUMERO DE GOLPES	14	25	35



Límite de Contracción	ND
Límite Líquido	41.44
Límite Plástico	17.42
Índice de Plasticidad Ip	24.02
Clasificación SUCS	CL
Clasificación AASHTO	A - 7 (13)

Determinación del Límite Plástico ASTM

LATA	1	2	3
PESO DE LATA grs	58.49	58.49	58.48
PESO DEL SUELO HUMEDO + LATA grs	79.99	79.67	80.23
PESO DEL SUELO SECO + LATA grs	76.80	76.53	77.00
PESO DEL AGUA grs	3.19	3.14	3.23
PESO DEL SUELO SECO grs	18.31	18.04	18.52
% DE HUMEDAD	17.42	17.41	17.44
% PROMEDIO	17.42		



UNIVERSIDAD NACIONAL DE SAN MARTIN
FACULTAD DE INGENIERIA CIVIL
LABORATORIO DE MECANICA DE SUELOS Y PAVIMENTOS

Proyecto: Estudios Mapas de Peligro de Las ciudades de Juanjui, Bellavista y San Hilarión

Localización del Proyecto: Provincia de Bellavista Muestra I

Descripción del Suelo: Arcilloso Profundidad de la Muestra: 0.35 Calicata: C-05

Hecho Por: Tec. Robert Navarro Mori Fecha: 11/05/2004

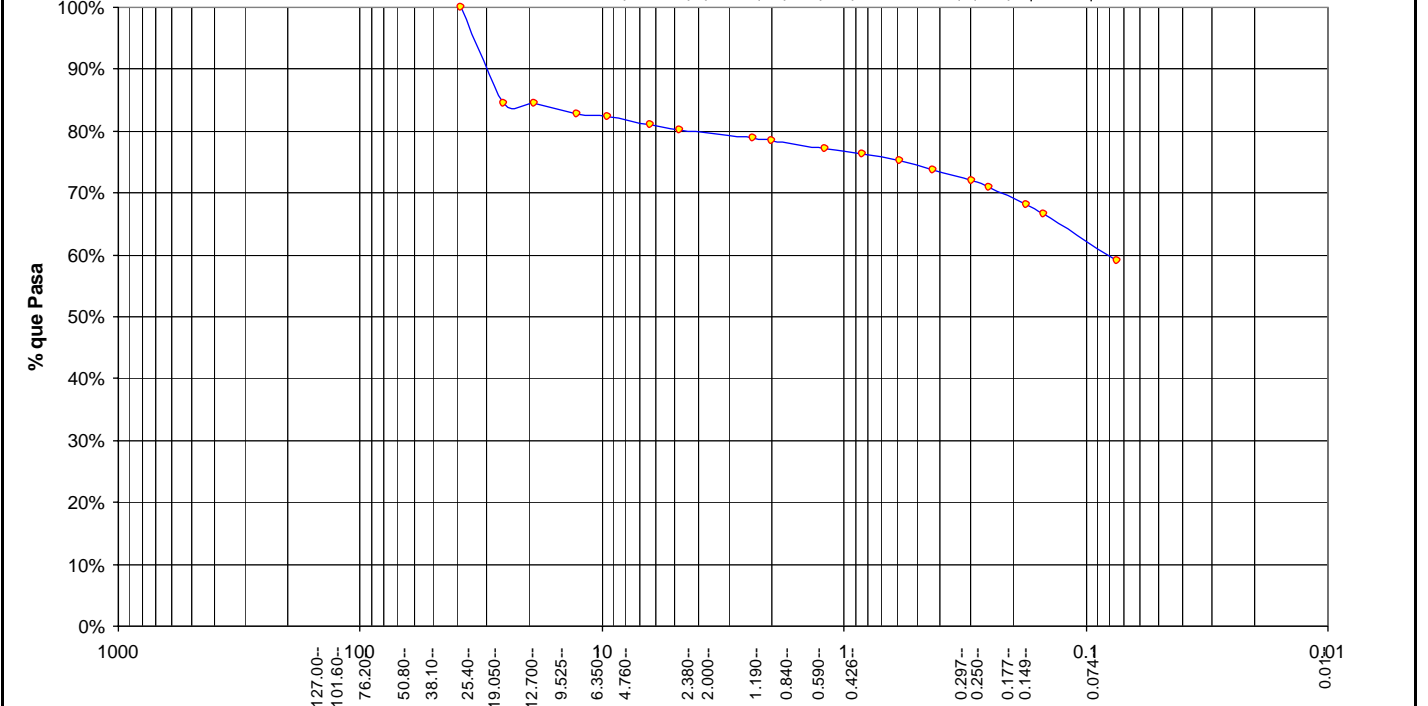
Tamices		Peso Retenido	% Retenido		% Que Pasa	Especificaciones	Tamaño Máximo: -
Ø	(mm)		Parcial	Acumulado			
5"	127.00						Modulo de Fineza AG: -
4"	101.60						Equivalente de Arena: -
3"	76.20						Descripción Muestras: Suelo arcilloso color Marrón con trazas de arcilla roja clasificación 8/3
2"	50.80						
1 1/2"	38.10			100.00%			
1"	25.40	53.58	15.54%	15.54%	84.46%		
3/4"	19.050	0.00	0.00%	15.54%	84.46%		
1/2"	12.700	5.71	1.66%	17.20%	82.80%		
3/8"	9.525	1.40	0.41%	17.61%	82.39%		
1/4"	6.350	5.04	1.46%	19.07%	80.93%		
Nº 4	4.760	2.75	0.80%	19.87%	80.13%		
Nº 8	2.380	4.65	1.35%	21.22%	78.78%		
Nº 10	2.000	1.23	0.36%	21.57%	78.43%		
Nº 16	1.190	4.34	1.26%	22.83%	77.17%		
Nº 20	0.840	3.21	0.93%	23.76%	76.24%		
Nº 30	0.590	3.89	1.13%	24.89%	75.11%		
Nº 40	0.426	5.14	1.49%	26.38%	73.62%		
Nº 50	0.297	5.30	1.54%	27.92%	72.08%		
Nº 60	0.250	3.98	1.15%	29.07%	70.93%		
Nº 80	0.177	9.70	2.81%	31.89%	68.11%		
Nº 100	0.149	5.23	1.52%	33.41%	66.59%		
Nº 200	0.074	26.20	7.60%	41.01%	58.99%		
Fondo	0.01	203.35	58.99%	100.00%	0.00%		
TOTAL		344.70				A B	

SUCS =	CL	AASHTO =	A - 7 (13)
LL =	41.44	WT =	100.00
LP =	17.42	WT+SAL =	444.70
IP =	24.02	WSAL =	344.70
IG =		WT+SDL =	241.35
		WSDL =	141.35
D 90 =	-	%ARC. =	58.99
D 60 =	-	%ERR. =	0.00
D 30 =	-	Cc =	-
D 10 =	-	Cu =	-

Observaciones :
El suelo es una arcilla inorganica con 58.99 % de finos , de plasticidad elevada color amarillo marrón con trazas de arcilla roja con una resistencia al corte de regul de compresibilidad y expansión de mediana a elevada en condición saturada

% de Humedad Natural de la muestra ensayada

Número de tarro =	59	Peso del agua =	11.18
Peso del tarro =	100	Peso suelo húmedo =	355.88
Peso del tarro + Mh =	455.88	Peso suelo seco =	344.7
Peso del tarro + Ms =	444.7	% Humedad Muestra =	3.24



Diametro en m.m							
Piedras mayores 3"			GRUESA	MEDIA		FINA	
Clasificación - ASTM		GRAVA		ARENA		LIMO	ARCILLA
Clasificación - AASHTO	GRAVA GRUESA	GRAVA MEDIA	GRAVA FINA	ARENA GRUESA	ARENA FINA	LIMO	ARCILLA



UNIVERSIDAD NACIONAL DE SAN MARTIN
FACULTAD DE INGENIERIA CIVIL
LABORATORIO DE MECANICA DE SUELOS Y PAVIMENTOS

Proyecto: Estudios Mapas de Peligro de Las ciudades de Juanjui, Bellavista y San Hilarión

Localización del Proyecto: Provincia de Bellavista

Muestra II

Descripción del Suelo: Arcilloso

Profundidad de la Muestra: 2.25

Hecho Por: Tec. Robert Navarro Mori

Calicata:

C-05

Fecha:

11/05/2004

Determinación del % de Humedad Natural

ASTM D2216

LATA	1	2	3
PESO DE LATA grs	60.30	58.82	59.39
PESO DEL SUELO HUMEDO + LATA grs	106.25	106.85	105.21
PESO DEL SUELO SECO + LATA grs	99.02	99.32	98.00
PESO DEL AGUA grs	7.23	7.53	7.21
PESO DEL SUELO SECO grs	38.72	40.50	38.61
% DE HUMEDAD	18.67	18.59	18.67
PROMEDIO % DE HUMEDAD	18.65		

Determinación del Gravedad Especifico de Solidos

ASTM D854

LATA	1	2
VOL. DEL FRASCO A 20° C.	500.00	500.00
METODO DE REMOCION DEL AIREa	Vacio	Vacio
PESO DEL FRASCO+AGUA+SUELO	792.29	792.18
TEMPERATURA, °C	23.00	23.00
PESO DEL FRASCO+AGUA grs	718.10	718.00
PLATO EVAPORADO N°	98	99
PESO DEL PLATO EVAP+SUELO SECO grs	320.00	320.00
PESO DEL SUELO SECO grs	120.00	120.00
VOLUMEN DE SOLIDOS cm ³	45.81	45.82
GRAVEDAD ESPECIFICA grs/cm ³	2.62	2.62
PROMEDIO grs/cm ³	2.62	

Peso Unitario Volumétrico (Densidad Natural)

ASTM D2937

LATA	1	2	3
PESO DE MOLDE grs	306.00	306.00	306.00
PESO DEL SUELO + MOLDE grs	625.00	628.00	629.00
PESO DEL SUELO SECO grs	319.00	322.00	323.00
VOLUMEN DEL MOLDE cm ³	201.09	201.09	201.09
PESO UNITARIO grs/cm ³	1.59	1.60	1.61
PROMEDIO grs/cm ³	1.598		

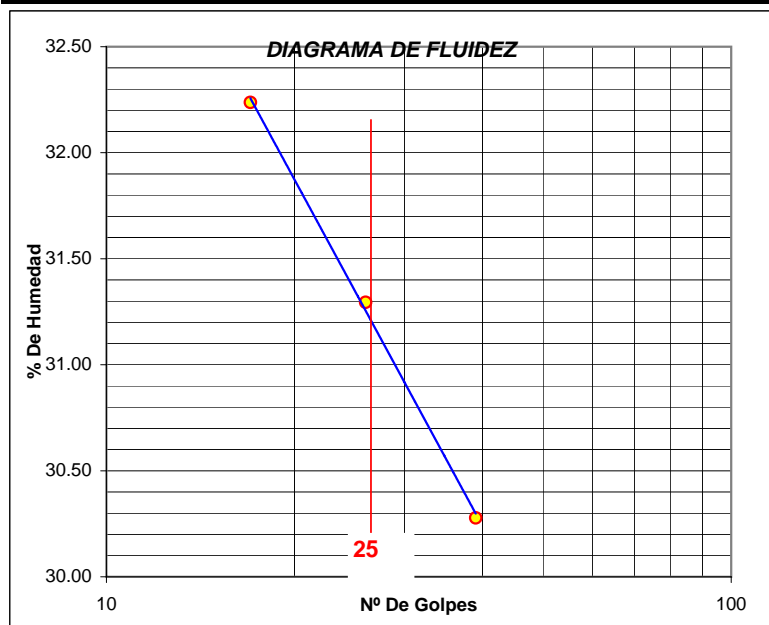


UNIVERSIDAD NACIONAL DE SAN MARTIN
FACULTAD DE INGENIERIA CIVIL
LABORATORIO DE MECANICA DE SUELOS Y PAVIMENTOS

Proyecto: Estudios Mapas de Peligro de Las ciudades de Juanjui, Bellavista y san Hilarión
 Localización del Proyecto: Provincia de Bellavista Muestra II
 Descripción del Suelo: Arcilloso Profundidad de la Muestra: 2.25
 Hecho Por : Tec. Robert navarro mori Calicata: C-05 Fecha: 11/05/2004

Determinación del Límite Líquido ASTM D4318

LATA	1	2	3
PESO DE LATA grs	70.00	109.00	64.48
PESO DEL SUELO HUMEDO + LATA grs	102.57	145.92	104.84
PESO DEL SUELO SECO + LATA grs	94.63	137.12	95.46
PESO DEL AGUA grs	7.94	8.80	9.38
PESO DEL SUELO SECO grs	24.63	28.12	30.98
% DE HUMEDAD	32.24	31.29	30.28
NUMERO DE GOLPES	17	26	39



Límite de Contracción	ND
Límite Líquido	31.44
Límite Plástico	19.14
Indice de Plasticidad Ip	12.30
Clasificación SUCS	SC
Clasificación AASHTO	A-6(3)

Determinación del Límite Plástico ASTM D4318

LATA	1	2	3
PESO DE LATA grs	61.13	60.95	60.96
PESO DEL SUELO HUMEDO + LATA grs	79.80	79.12	79.15
PESO DEL SUELO SECO + LATA grs	76.80	76.20	76.23
PESO DEL AGUA grs	3.00	2.92	2.92
PESO DEL SUELO SECO grs	15.67	15.25	15.27
% DE HUMEDAD	19.14	19.15	19.12
% PROMEDIO	19.14		

LIMITE DE CONTRACCION ASTM D427			
Ensayo Nº			
Peso Rec + Suelo húmedo Gr.			
Peso Rec + Suelo seco Gr.			
Peso de rec. De contracción Gr.			
Peso del suelo seco Gr.		ND	
Peso del agua Gr.			
Humedad %			
Volumen Inicial (Suelo Húmedo) cm3			
Volumen Final (Suelo Seco) cm3			
Límite de Contracción %			
Relación de Contracción			



UNIVERSIDAD NACIONAL DE SAN MARTIN

FACULTAD DE INGENIERIA CIVIL
LABORATORIO DE MECANICA DE SUELOS Y PAVIMENTOS

Proyecto: Estudios Mapas de Peligro de Las ciudades de Juanjui, Bellavista y san Hilarión

Localización del Proyecto: Provincia de Bellavista

Muestra II

Descripción del Suelo: Arcilloso Profundidad de la Muestra: _____

Calicata: C-05

Hecho Por : Tec. Robert navarro mori

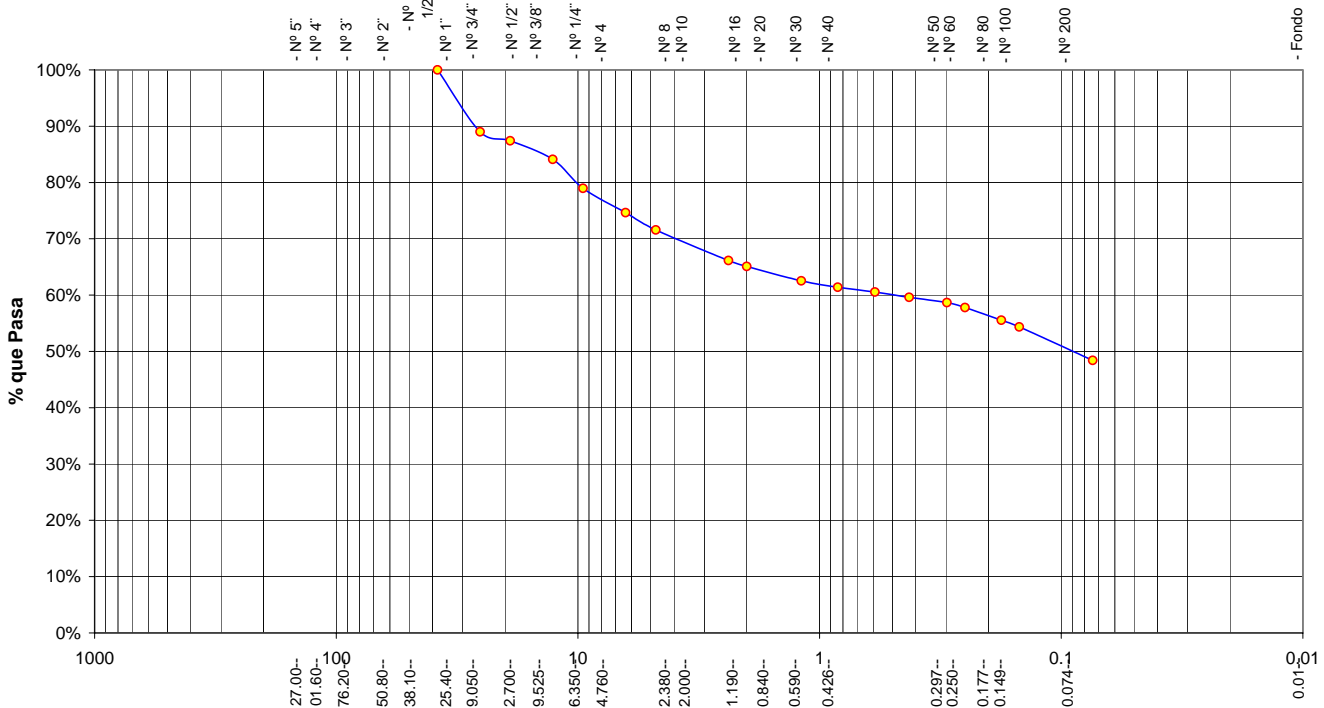
Fecha: 11/05/2004

Análisis Granulométrico por Tamizado

ASTM D422

Tamices		Peso Retenido	% Retenido Parcial	% Retenido Acumulado	% Que Pasa	Especificaciones	Tamaño Máximo:
Ø	(mm)						-
5"	127.00						Modulo de Fineza AF: -
4"	101.60						Modulo de Fineza AG: -
3"	76.20						Equivalente de Arena: -
2"	50.80						Descripción Muestras:
1 1/2"	38.10				100.00%		Suelo arcilloso arenoso color amarillo claro clasificación 7/3
1"	25.40	38.56	11.01%	11.01%	88.99%		
3/4"	19.050	5.54	1.58%	12.59%	87.41%		SUCS = SC AASHTO = A - 6 (3)
1/2"	12.700	11.57	3.30%	15.89%	84.11%		LL = 31.44 WT = 100.00
3/8"	9.525	17.99	5.14%	21.03%	78.97%		LP = 19.14 WT+SAL = 450.30
1/4"	6.350	15.16	4.33%	25.36%	74.64%		IP = 12.30 WSAL = 350.30
Nº 4	4.760	10.73	3.06%	28.42%	71.58%		IG = WT+SDL = 280.77
Nº 8	2.380	19.04	5.44%	33.85%	66.15%		WSDL = 180.77
Nº 10	2.000	3.72	1.06%	34.92%	65.08%		D 90= - %ARC. = 48.40
Nº 16	1.190	8.90	2.54%	37.46%	62.54%		D 60= - %ERR. = 0.00
Nº 20	0.840	4.03	1.15%	38.61%	61.39%		D 30= - Cc = -
Nº 30	0.590	2.98	0.85%	39.46%	60.54%		D 10= * Cu = -
Nº 40	0.426	3.27	0.93%	40.39%	59.61%		Observaciones :
Nº 50	0.297	3.30	0.94%	41.33%	58.67%		<i>El suelo es una arcilla arenosa compacta con 48.40% de finos, de plasticidad mediana a elevada, color amarillo claro con una resistencia al corte de regular a bueno, de compresibilidad y expansión baja, con mezcla de rocas de diámetros de 2" hasta de 3" (Rocas areniscas cuarzosa</i>
Nº 60	0.250	3.06	0.87%	42.21%	57.79%		% de Humedad Natural de la muestra ensayada
Nº 80	0.177	7.91	2.26%	44.46%	55.54%		Número de tarro = 42 Peso del agua = 12
Nº 100	0.149	4.20	1.20%	45.66%	54.34%		Peso del tarro = 100 Peso suelo húmedo= 362.3
Nº 200	0.074	20.81	5.94%	51.60%	48.40%		Peso del tarro + Mh = 462.3 Peso suelo seco = 350.3
Fondo	0.01	169.53	48.40%	100.00%	0.00%		Peso del tarro + Ms = 450.3 % Humedad Muestra= 3.43
TOTAL		350.30				A B	

Curva Granulométrica





UNIVERSIDAD NACIONAL DE SAN MARTIN
FACULTAD DE INGENIERIA CIVIL
LABORATORIO DE MECANICA DE SUELOS Y PAVIMENTOS

Proyecto: Estudio de Mapas de Peligro de las Ciudades de Juanjui, Bellavista y San Hilarión.

Localización del proyecto : Provincia de Bellavista

Descripción del suelo : Arcilloso color amarillo claro con clasificación 7/3

Prof. De la muestra : 3.00 m.

Realizado por : Téc. R.N.M.

Calicata: 5 -MI,MII

Fecha de Ensayo: 11/05/04

REGISTRO DE EXCAVACIÓN

COTA m	ESPESOR m	HUMEDAD %	CLASIFICACION			DESCRIPCION DEL SUELO
			AASHTO	SUCS	SIMBOLO	
0.00						
0.10	0.10	32.00%		Pt		Material organico color negro con mezcla de arcilla y arena, presentando raices que se profundizan hasta 0.15 m
0.40	0.30	5.60%		SM		Suelo arenoso limoso transportado con mezcla de material orgánico color negro y raices, con olor de descompuesto organico
0.75	0.35	21.43%	A-7(20)	CL		Suelo arcilloso inorganica compacta con 58.99% de finos, plasticidad elevada, color marrón oscuro con trazas de arcilla roja. Con una resistencia al corte regular, compresibilidad y expansión de medianos a elevados en condición saturada. Con incrustaciones de gravas areniscas de 2" a 3" en un 15% de la muestra ensayada
3.00	2.25	18.65%	A-6(3)	SC		El suelo es una arcilla arenosa compacta con 48.40 % de finos , de plasticidad mediana a elevada en condición saturada color amarillo claro con una resistencia al corte de regular a bueno, de compresibilidad. y expansión baja, con mezcla de rocas de diametros de 2" hasta de 4" (Rocas areniscas cuarzosas)

OBSERVACIONES : _____



UNIVERSIDAD NACIONAL DE SAN MARTIN
FACULTAD DE INGENIERIA CIVIL
LABORATORIO DE MECANICA DE SUELOS Y PAVIMENTOS

Proyecto: Estudios Mapas de Peligro de Las ciudades de Juanjui, Bellavista y San Hilarión

Localización del Proyecto: Provincia de Bellavista

Muestra: I

Descripción del Suelo: Arcilloso

Profundidad de la Muestra: 2.60

Hecho Por: Tec. Robert Navarro Mori

Calicata:

C-06

Fecha:

12/05/2004

Determinación del % de Humedad Natural

ASTM D2216

LATA	1	2	3
PESO DE LATA grs	44.86	44.87	58.79
PESO DEL SUELO HUMEDO + LATA grs	144.58	145.50	158.97
PESO DEL SUELO SECO + LATA grs	128.88	129.68	143.20
PESO DEL AGUA grs	15.70	15.82	15.77
PESO DEL SUELO SECO grs	84.02	84.81	84.41
% DE HUMEDAD	18.69	18.65	18.68
PROMEDIO % DE HUMEDAD	18.67		

Determinación del Gravedad Especifico de Solidos

ASTM D854

LATA	1	2
VOL. DEL FRASCO A 20° C.	500.00	500.00
METODO DE REMOCION DEL AIREa	Vacio	Vacio
PESO DEL FRASCO+AGUA+SUELO	792.28	792.25
TEMPERATURA, °C	23.00	23.00
PESO DEL FRASCO+AGUA grs	718.09	718.21
PLATO EVAPORADO N°	110	111
PESO DEL PLATO EVAP+SUELO SECO grs	320.00	320.00
PESO DEL SUELO SECO grs	120.00	120.00
VOLUMEN DE SOLIDOS cm3	45.81	45.96
GRAVEDAD ESPECIFICA grs/cm3	2.62	2.61
PROMEDIO grs/cm3	2.62	

Peso Unitario Volumétrico (Densidad Natural)

ASTM D2937

LATA	1	2	3
PESO DE MOLDE grs	310.00	310.00	310.00
PESO DEL SUELO + MOLDE grs	624.58	625.03	624.85
PESO DEL SUELO SECO grs	315.26	315.00	318.00
VOLUMEN DEL MOLDE cm3	201.09	201.09	201.09
PESO UNITARIO grs/cm3	1.57	1.57	1.58
PROMEDIO grs/cm3	1.572		

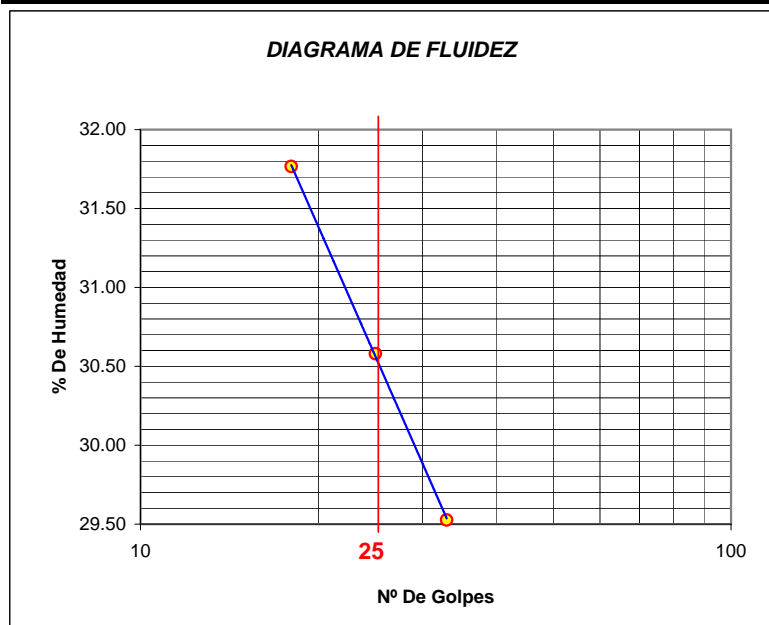


UNIVERSIDAD NACIONAL DE SAN MARTIN
FACULTAD DE INGENIERIA CIVIL
LABORATORIO DE MECANICA DE SUELOS Y PAVIMENTOS

Proyecto: Estudios Mapas de Peligro de Las ciudades de Juanjui, Bellavista y san Hilarión
 Localización del Proyecto: Provincia de Bellavista Muestra I
 Descripción del Suelo: Arcilloso Profundidad de la Muestra: 2.60
 Hecho Por : Tec. Robert navarro mori Calicata: C-06 Fecha: 12/05/2004

Determinación del Límite Líquido ASTM D4318

LATA	1	2	3
PESO DE LATA grs	15.21	15.32	15.66
PESO DEL SUELO HUMEDO + LATA grs	36.24	36.03	36.98
PESO DEL SUELO SECO + LATA grs	31.17	31.18	32.12
PESO DEL AGUA grs	5.07	4.85	4.86
PESO DEL SUELO SECO grs	15.96	15.86	16.46
% DE HUMEDAD	31.77	30.58	29.53
NUMERO DE GOLPES	18	25	33



Límite de Contracción	ND
Límite Líquido	30.58
Límite Plástico	15.57
Índice de Plasticidad Ip	15.01
Clasificación SUCS	SC
Clasificación AASHTO	A -2-6 (0)

Determinación del Límite Plástico ASTM D4318

LATA	1	2	3
PESO DE LATA grs	25.12	25.68	25.03
PESO DEL SUELO HUMEDO + LATA grs	48.98	50.06	42.32
PESO DEL SUELO SECO + LATA grs	45.76	46.78	39.99
PESO DEL AGUA grs	3.22	3.28	2.33
PESO DEL SUELO SECO grs	20.64	21.10	14.96
% DE HUMEDAD	15.60	15.55	15.57
% PROMEDIO	15.57		

LIMITE DE CONTRACCION		ASTM D427	
Ensayo Nº			
Peso Rec + Suelo húmedo Gr.			
Peso Rec + Suelo seco Gr.			
Peso de rec. De contracción Gr.			
Peso del suelo seco Gr.		ND	
Peso del agua Gr.			
Humedad %			
Volumen Inicial (Suelo Húmedo) cm3			
Volumen Final (Suelo Seco) cm3			
Límite de Contracción %			
Relación de Contracción			



UNIVERSIDAD NACIONAL DE SAN MARTIN

FACULTAD DE INGENIERIA CIVIL
LABORATORIO DE MECANICA DE SUELOS Y PAVIMENTOS

Proyecto: Estudios Mapas de Peligro de Las ciudades de Juanjui, Bellavista y san Hilarión

Localización del Proyecto: Provincia de Bellavista

Muestra I

Descripción del Suelo: Arcilloso Profundidad de la Muestra: 2.60

Calicata: C-06

Hecho Por: Tec. Robert navarro mori

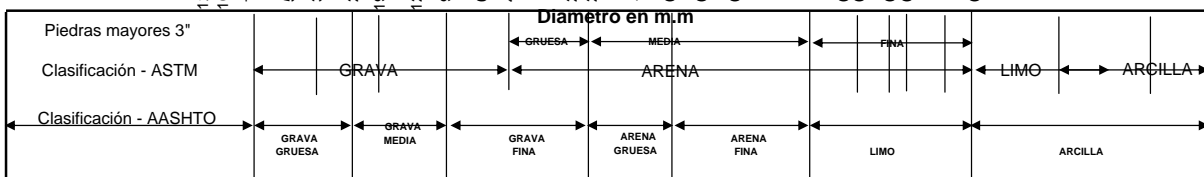
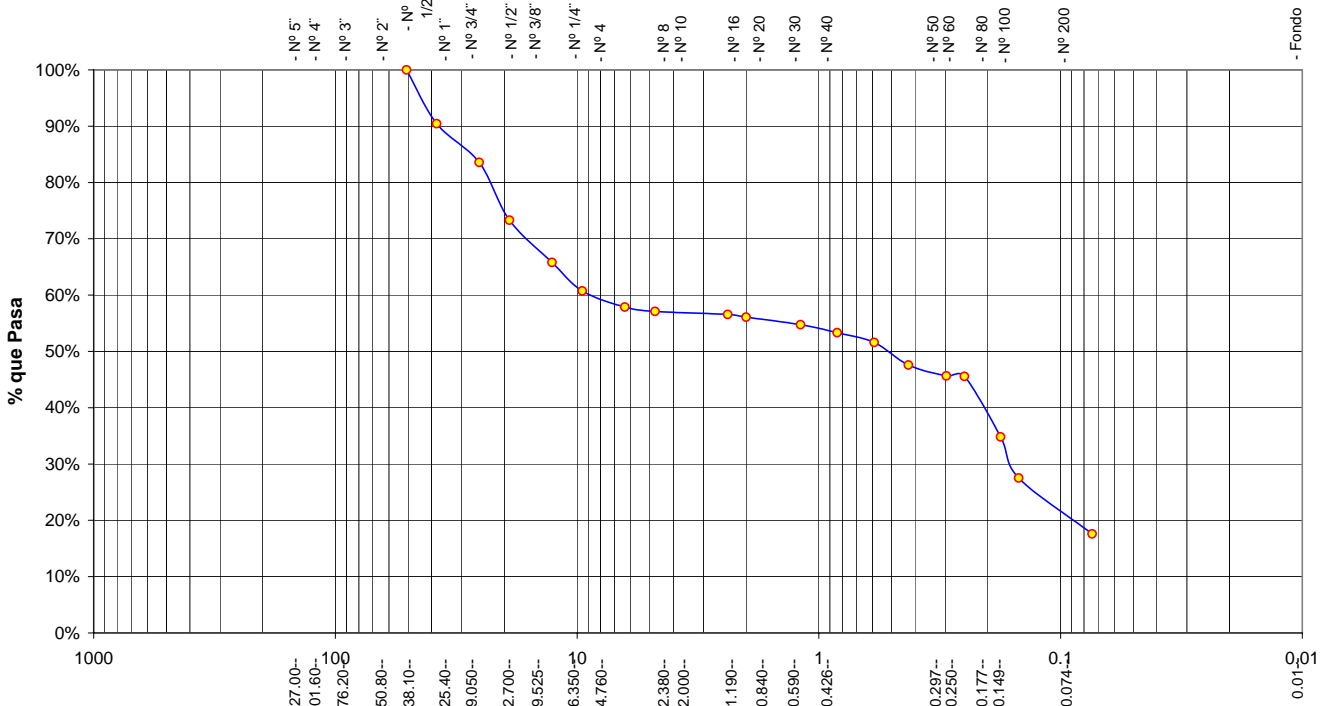
Fecha: 12/05/2004

Análisis Granulométrico por Tamizado

ASTM D422

Tamices		Peso Retenido	% Retenido Parcial	% Retenido Acumulado	% Que Pasa	Especificaciones	Tamaño Máximo:			
Ø (mm)										
5"	127.00						Modulo de Fineza AF: -			
4"	101.60						Modulo de Fineza AG: -			
3"	76.20						Equivalente de Arena: -			
2"	50.80				100.00%		Descripción Muestras: Suelo arcilloso arenoso color amarillo claro clasificación 7/3			
1 1/2"	38.10	28.69	9.56%	9.56%	90.44%		SUCS = SC AASHTO = A -2-6 (0)			
1"	25.40	20.56	6.85%	16.42%	83.58%		LL =	30.58	WT =	100.00
3/4"	19.050	30.85	10.28%	26.70%	73.30%		LP =	15.57	WT+SAL =	400.00
1/2"	12.700	22.46	7.49%	34.19%	65.81%		IP =	15.01	WSAL =	300.00
3/8"	9.525	15.23	5.08%	39.26%	60.74%		IG =		WT+SDL =	347.22
1/4"	6.350	8.56	2.85%	42.12%	57.88%				WSDL =	247.22
Nº 4	4.760	2.36	0.79%	42.90%	57.10%		D 90=	-	%ARC. =	17.59
Nº 8	2.380	1.60	0.53%	43.44%	56.56%		D 60=	-	%ERR. =	0.00
Nº 10	2.000	1.40	0.47%	43.90%	56.10%		D 30=	-	Cc =	-
Nº 16	1.190	4.02	1.34%	45.24%	54.76%		D 10=	*	Cu =	-
Nº 20	0.840	4.32	1.44%	46.68%	53.32%		Observaciones :			
Nº 30	0.590	5.21	1.74%	48.42%	51.58%		El suelo es una arcilla arenosa compacta con 17.59 % de finos , de plasticidad mediana a elevada color amarillo claro con una resistencia al corte de regular a bueno, de compresibilidad. y expansión baja, con mezcla de rocas de diámetros de 2" hasta de 4 "(Rocas areniscas cuarzosas)			
Nº 40	0.426	11.98	3.99%	52.41%	47.59%		% de Humedad Natural de la muestra ensayada			
Nº 50	0.297	5.78	1.93%	54.34%	45.66%		Número de tarro =	52	Peso del agua =	21.23
Nº 60	0.250	0.32	0.11%	54.45%	45.55%		Peso del tarro =	100	Peso suelo húmedo=	321.23
Nº 80	0.177	32.23	10.74%	65.19%	34.81%		Peso del tarro + Mh =	421.23	Peso suelo seco =	300
Nº 100	0.149	21.85	7.28%	72.47%	27.53%		Peso del tarro + Ms =	400	% Humedad Muestra=	7.08
Nº 200	0.074	29.80	9.93%	82.41%	17.59%					
Fondo	0.01	52.78	17.59%	100.00%	0.00%					
TOTAL		300.00				A B				

Curva Granulométrica





UNIVERSIDAD NACIONAL DE SAN MARTIN
FACULTAD DE INGENIERIA CIVIL
LABORATORIO DE MECANICA DE SUELOS Y PAVIMENTOS

Proyecto: Estudio de Mapas de Peligro de las Ciudades de Juanjui, Bellavista y San Hilarión.

Localización del proyecto : Provincia de Bellavista

Descripción del suelo : Arcilloso color amarillo claro con clasificación 7/3

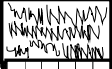
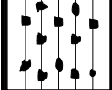
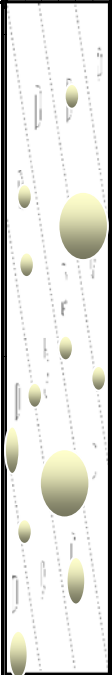
Prof. De la muestra : 3.00 m.

Realizado por : Téc. R.N.M.

Calicata: 6-MI

Fecha de Ensayo:12/05/04

REGISTRO DE EXCAVACIÓN

COTA m	ESPESOR m	HUMEDAD %	CLASIFICACION			DESCRIPCION DEL SUELO
			AASHTO	SUCS	SIMBOLO	
0.00						
0.10	0.10	36.00%		Pt		<i>Material organico color negro con mezcla de arcilla y arena, presentando raices que se profundizan hasta 0.15 m</i>
0.40	0.30	6.98%		SM		<i>Suelo arenoso limoso transportado con mezcla de material orgánico color negro y raices, con olor de descompuesto organico</i>
3.00	2.60	18.67%	A-2-6(0)	SC		<i>El suelo es una arcilla arenosa compacta con 17.59 % de finos , de plasticidad mediana a elevada en condición saturada color amarillo claro con una resistencia al corte de regular a bueno, de compresibilidad. y expansión baja, con mezcla de rocas de diametros de 2" hasta de 4" (Rocas areniscas cuarzosas) Con incrustaciones de gravas areniscas de 2" a 5" en un 40% de la muestra ensayada</i>

OBSERVACIONES :



UNIVERSIDAD NACIONAL DE SAN MARTIN
FACULTAD DE INGENIERIA CIVIL
LABORATORIO DE MECANICA DE SUELOS Y PAVIMENTOS

Proyecto: Estudios Mapas de Peligro de Las ciudades de Juanjui, Bellavista y san Hilarión

Localización del Proyecto: Provincia de Bellavista

Descripción del Suelo: Suelos arcillosos

Hecho Por : Tec. Robert navarro mori

Muestra I

Profundidad de la Muestra: 1.10

Calicata: C-7 Fecha: 12/05/2004

Determinación del % de Humedad Natural

ASTM D2216

LATA	1	2	3
PESO DE LATA grs	58.75	45.62	80.69
PESO DEL SUELO HUMEDO + LATA grs	147.52	145.50	180.65
PESO DEL SUELO SECO + LATA grs	133.54	129.85	164.93
PESO DEL AGUA grs	13.98	15.65	15.72
PESO DEL SUELO SECO grs	74.79	84.23	84.24
% DE HUMEDAD	18.69	18.58	18.66
PROMEDIO % DE HUMEDAD	18.64		

Determinación del Gravedad Especifico de Solidos

ASTM D854

LATA	1	2
VOL. DEL FRASCO A 20° C.	500.00	500.00
METODO DE REMOCION DEL AIREa	Vacio	Vacio
PESO DEL FRASCO+AGUA+SUELO	790.25	791.01
TEMPERATURA, °C	23.00	23.00
PESO DEL FRASCO+AGUA grs	717.85	718.42
PLATO EVAPORADO N°	14	15
PESO DEL PLATO EVAP+SUELO SECO grs	320.00	320.00
PESO DEL SUELO SECO grs	120.00	120.00
VOLUMEN DE SOLIDOS cm3	47.60	47.41
GRAVEDAD ESPECIFICA grs/cm3	2.52	2.53
PROMEDIO grs/cm3	2.53	

Peso Unitario Volumétrico (Densidad Natural)

ASTM D2937

LATA	1	2	3
PESO DE MOLDE grs	310.00	310.00	310.00
PESO DEL SUELO + MOLDE grs	685.00	687.00	682.00
PESO DEL SUELO SECO grs	375.00	377.00	372.00
VOLUMEN DEL MOLDE cm3	246.30	246.30	246.30
PESO UNITARIO grs/cm3	1.52	1.53	1.51
PROMEDIO grs/cm3	1.521		

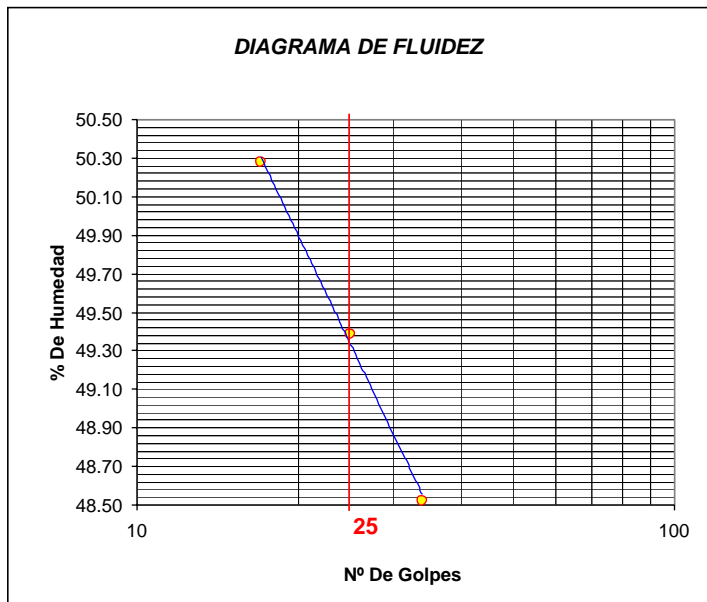


UNIVERSIDAD NACIONAL DE SAN MARTIN
FACULTAD DE INGENIERIA CIVIL
LABORATORIO DE MECANICA DE SUELOS Y PAVIMENTOS

Proyecto: Estudios Mapas de Peligro de Las ciudades de Juanjui, Bellavista y San Hilarión
 Localización del Proyecto: Provincia de Bellavista Muestra: I
 Descripción del Suelo: Suelos arcillosos Profundidad de la Muestra: 1.10
 Hecho Por: Tec. Robert Navarro Mori Calicata: C-7 Fecha: 12/05/2004

Determinación del Límite Líquido ASTM D4318

LATA	1	2	3
PESO DE LATA grs	38.54	22.85	22.03
PESO DEL SUELO HUMEDO + LATA grs	65.23	48.32	58.21
PESO DEL SUELO SECO + LATA grs	56.30	39.90	46.39
PESO DEL AGUA grs	8.93	8.42	11.82
PESO DEL SUELO SECO grs	17.76	17.05	24.36
% DE HUMEDAD	50.28	49.38	48.52
NUMERO DE GOLPES	17	25	34



Límite de Contracción	5.18
Límite Líquido	49.38
Límite Plástico	16.46
Índice de Plasticidad Ip	32.92
Clasificación SUCS	CL
Clasificación AASHTO	A-7(20)

Determinación del Límite Plástico ASTM D4318

LATA	1	2	3
PESO DE LATA grs	22.25	22.45	22.41
PESO DEL SUELO HUMEDO + LATA grs	48.56	42.56	46.24
PESO DEL SUELO SECO + LATA grs	44.84	39.72	42.87
PESO DEL AGUA grs	3.72	2.84	3.37
PESO DEL SUELO SECO grs	22.59	17.27	20.46
% DE HUMEDAD	16.47	16.44	16.47
% PROMEDIO	16.46		

LIMITE DE CONTRACCION ASTM D427

Ensayo Nº	1
Peso Rec + Suelo húmedo Gr.	36.87
Peso Rec + Suelo seco Gr.	32.45
Peso de rec. De contracción G	10.42
Peso del suelo seco Gr.	22.03
Peso del agua Gr.	4.42
Humedad %	20.06
Volumen Inicial (Suelo Húmedo) cm3	14.94
Volumen Final (Suelo Seco) cm3	11.66
Límite de Contracción %	5.18
Relación de Contracción	1.89



UNIVERSIDAD NACIONAL DE SAN MARTIN
FACULTAD DE INGENIERIA CIVIL
LABORATORIO DE MECANICA DE SUELOS Y PAVIMENTOS

Proyecto: Estudios Mapas de Peligro de Las ciudades de Juanjui, Bellavista y san Hilarión
 Localización del Proyecto: Provincia de Bellavista Muestra: I
 Descripción del Suelo: Suelos arcillosos Profundidad de la Muestra: 1.10 Calicata: C-7
 Hecho Por: Tec. Robert navarro mori Fecha: 12/05/2004

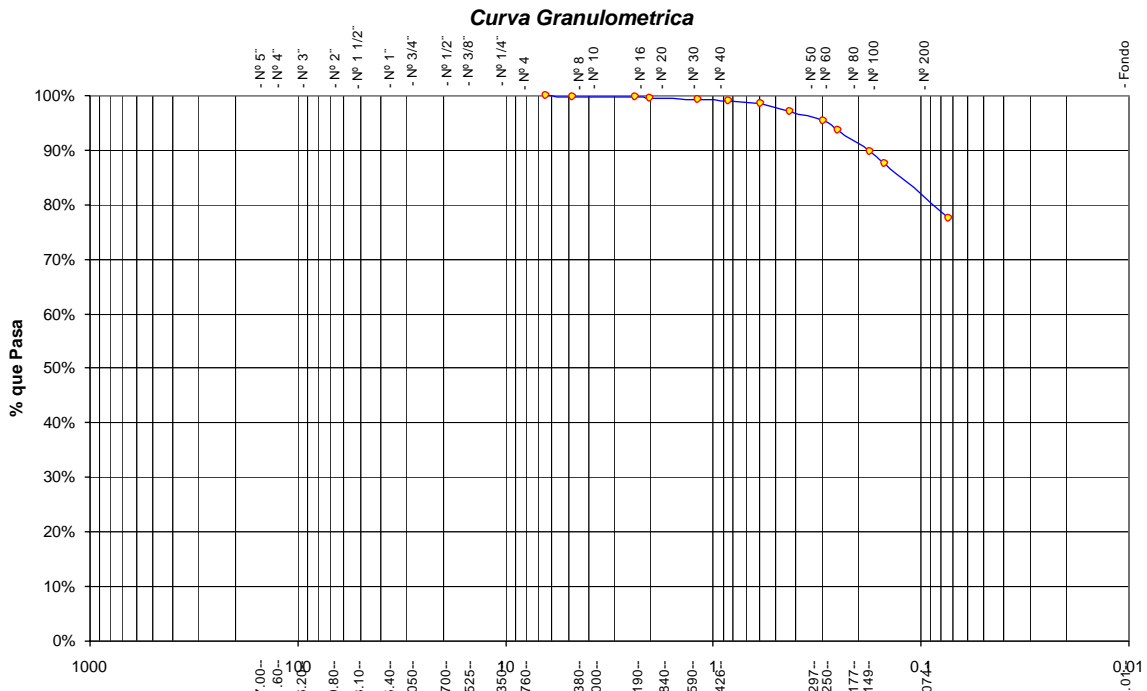
Análisis Granulométrico por Tamizado ASTM D422

Tamices		Peso Retenido	% Retenido Parcial	% Retenido Acumulado	% Que Pasa	Especificaciones	Tamaño Máximo:
Ø	(mm)						-
5"	127.00						Modulo de Fineza AF: -
4"	101.60						Modulo de Fineza AG: -
3"	76.20						Equivalente de Arena: -
2"	50.80						Descripción Muestras: Suelo arcilloso color rojo clasificación 8/3
1 1/2"	38.10						
1"	25.40						
3/4"	19.050						
1/2"	12.700						
3/8"	9.525						
1/4"	6.350				100.00%		
Nº 4	4.760	0.97	0.27%	0.27%	99.73%		
Nº 8	2.380	0.32	0.09%	0.36%	99.64%		
Nº 10	2.000	0.17	0.05%	0.41%	99.59%		
Nº 16	1.190	1.18	0.33%	0.74%	99.26%		
Nº 20	0.840	1.02	0.29%	1.03%	98.97%		
Nº 30	0.590	1.79	0.50%	1.53%	98.47%		
Nº 40	0.426	4.96	1.39%	2.92%	97.08%		
Nº 50	0.297	6.46	1.81%	4.73%	95.27%		
Nº 60	0.250	5.89	1.65%	6.39%	93.61%		
Nº 80	0.177	14.09	3.95%	10.34%	89.66%		
Nº 100	0.149	7.63	2.14%	12.48%	87.52%		
Nº 200	0.074	35.51	9.96%	22.44%	77.56%		
Fondo	0.01	276.47	77.56%	100.00%	0.00%		
TOTAL		356.46				A B	

SUCS =	CL	AASHTO =	A-7(20)
LL =	49.38	WT =	58.74
LP =	16.46	WT+SAL =	415.20
IP =	32.92	WSAL =	356.46
IG =		WT+SDL =	138.73
		WSDL =	79.99
D 90=	-	%ARC. =	77.56
D 60=	-	%ERR. =	0.00
D 30=	-	Cc =	-
D 10=	*	Cu =	-

Observaciones :
 El suelo es una arcilla inorgánica compacta con 77.56 % de finos, de plasticidad elevada color rojizo oscuro con una resistencia al corte de regular, de compresibilidad y expansión mediana.

% de Humedad Natural de la muestra ensayada			
Número de tarro =	12	Peso del agua =	35.4
Peso del tarro =	58.74	Peso suelo húmedo=	391.86
Peso del tarro + Mh =	450.6	Peso suelo seco =	356.46
Peso del tarro + Ms =	415.2	% Humedad Muestra=	9.93



Clasificación - ASTM	Diametro en m.m						
	GRUESA	MEDIA	FINA	LIMO			ARCILLA
Clasificación - AASHTO	GRAVA GRUESA	GRAVA MEDIA	GRAVA FINA	ARENA GRUESA	ARENA FINA	LIMO	ARCILLA



UNIVERSIDAD NACIONAL DE SAN MARTIN
FACULTAD DE INGENIERIA CIVIL
LABORATORIO DE MECANICA DE SUELOS Y PAVIMENTOS

Proyecto: Estudios Mapas de Peligro de Las ciudades de Juanjui, Bellavista y San Hilarión

Localización del Proyecto: Provincia de Bellavista

Muestra I - II

Descripción del Suelo: Suelos arcillosos

Profundidad de la Muestra: 1.50

Hecho Por: Tec. Robert Navarro Mori

Calicata:

C-7

Fecha:

12/05/2004

Determinación del % de Humedad Natural

ASTM D2216

LATA	1	2	3
PESO DE LATA grs	58.86	58.79	58.98
PESO DEL SUELO HUMEDO + LATA grs	135.32	145.62	140.85
PESO DEL SUELO SECO + LATA grs	126.15	135.18	131.02
PESO DEL AGUA grs	9.17	10.44	9.83
PESO DEL SUELO SECO grs	67.29	76.39	72.04
% DE HUMEDAD	13.63	13.67	13.65
PROMEDIO % DE HUMEDAD	13.65		

Determinación del Gravedad Especifico de Solidos

ASTM D854

LATA	1	2
VOL. DEL FRASCO A 20° C.	500.00	500.00
METODO DE REMOCION DEL AIREa	Vacio	Vacio
PESO DEL FRASCO+AGUA+SUELO	728.45	728.60
TEMPERATURA, °C	23.00	23.00
PESO DEL FRASCO+AGUA grs	654.85	655.00
PLATO EVAPORADO N°	17	18
PESO DEL PLATO EVAP+SUELO SECO grs	320.00	320.00
PESO DEL SUELO SECO grs	120.00	120.00
VOLUMEN DE SOLIDOS cm ³	46.40	46.40
GRAVEDAD ESPECIFICA grs/cm ³	2.59	2.59
PROMEDIO grs/cm ³	2.59	

Peso Unitario Volumétrico (Densidad Natural)

ASTM D2937

LATA	1	2	3
PESO DE MOLDE grs	306.00	308.00	305.00
PESO DEL SUELO + MOLDE grs	685.00	688.00	688.00
PESO DEL SUELO SECO grs	379.00	380.00	383.00
VOLUMEN DEL MOLDE cm ³	246.30	246.30	246.30
PESO UNITARIO grs/cm ³	1.54	1.54	1.56
PROMEDIO grs/cm ³	1.546		

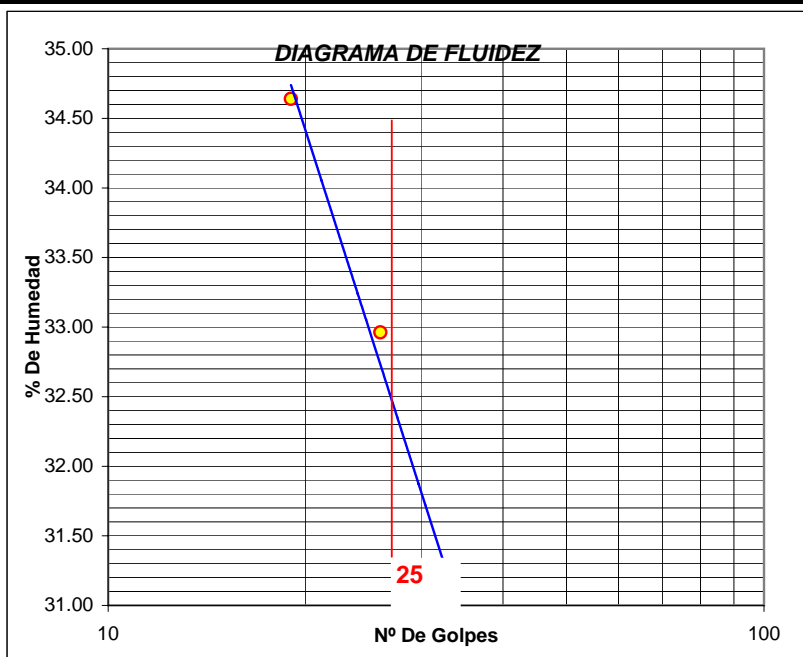


UNIVERSIDAD NACIONAL DE SAN MARTIN
FACULTAD DE INGENIERIA CIVIL
LABORATORIO DE MECANICA DE SUELOS Y PAVIMENTOS

Proyecto: Estudios Mapas de Peligro de Las ciudades de Juanjui, Bellavista y san Hilarión
 Localización del Proyecto: Provincia de Bellavista Muestra I - II
 Descripción del Suelo: Suelos arcillosos Profundidad de la Muestra: 1.40
 Hecho Por: Tec. Robert navarro mori Calicata: C-7 Fecha: 12/05/2004

Determinación del Límite Líquido ASTM D4318

LATA	1	2	3
PESO DE LATA grs	14.56	14.44	14.58
PESO DEL SUELO HUMEDO + LATA grs	44.10	49.05	44.78
PESO DEL SUELO SECO + LATA grs	36.50	40.47	37.62
PESO DEL AGUA grs	7.60	8.58	7.16
PESO DEL SUELO SECO grs	21.94	26.03	23.04
% DE HUMEDAD	34.64	32.96	31.08
NUMERO DE GOLPES	19	26	33



Límite de Contracción	ND
Límite Líquido	33.12
Límite Plástico	20.39
Índice de Plasticidad Ip	12.73
Clasificación SUCS	SC
Clasificación AASHTO	A-6(3)

Determinación del Límite Plástico ASTM D4318

LATA	1	2	3
PESO DE LATA grs	43.12	37.92	33.34
PESO DEL SUELO HUMEDO + LATA grs	56.64	50.08	46.22
PESO DEL SUELO SECO + LATA grs	54.35	48.02	44.04
PESO DEL AGUA grs	2.29	2.06	2.18
PESO DEL SUELO SECO grs	11.23	10.10	10.70
% DE HUMEDAD	20.39	20.40	20.37
% PROMEDIO	20.39		



UNIVERSIDAD NACIONAL DE SAN MARTIN

FACULTAD DE INGENIERIA CIVIL
LABORATORIO DE MECANICA DE SUELOS Y PAVIMENTOS

Proyecto: Estudios Mapas de Peligro de Las ciudades de Juanjui, Bellavista y san Hilarión

Localización del Proyecto: Provincia de Bellavista

Muestra I - II

Descripción del Suelo: Suelos arcillosos Profundidad de la Muestra: 1.40

Calicata: C-7

Hecho Por : Tec. Robert navarro mori

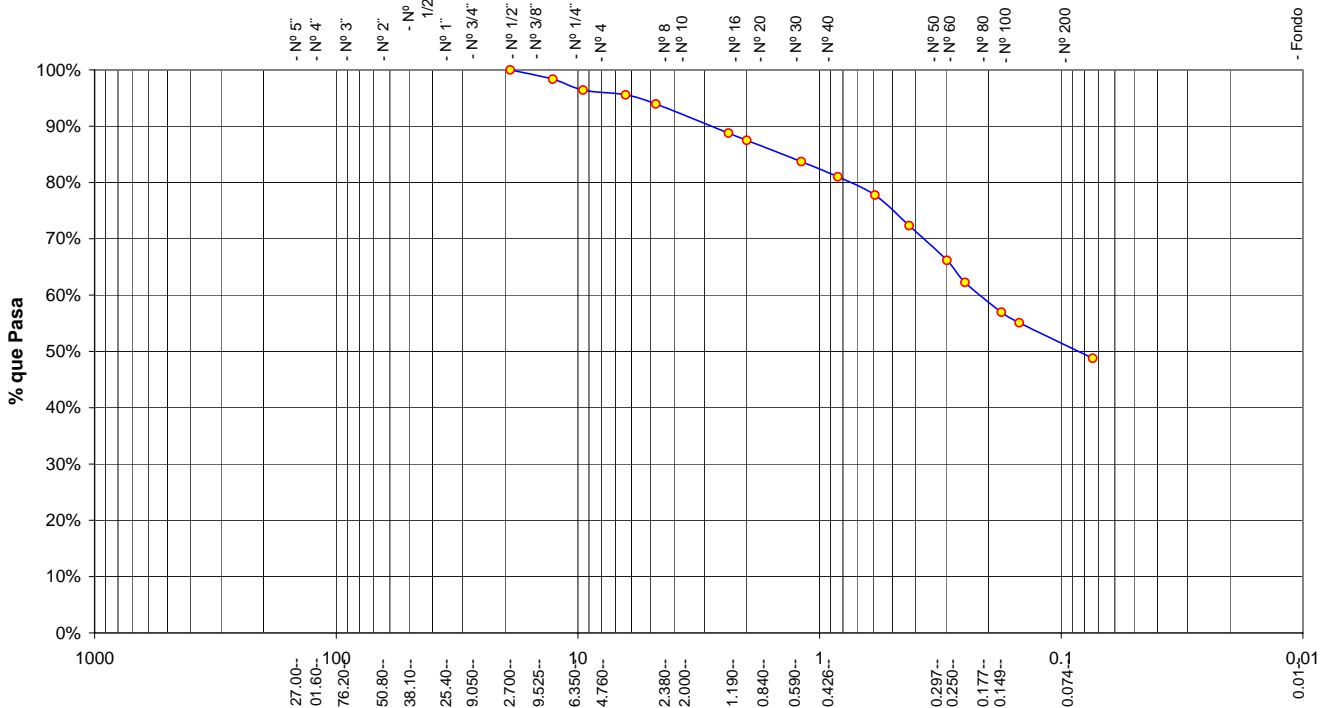
Fecha: 12/05/2004

Análisis Granulométrico por Tamizado

ASTM D422

Tamices		Peso Retenido	% Retenido Parcial	% Retenido Acumulado	% Que Pasa	Especificaciones	Tamaño Máximo:
Ø	(mm)						-
5"	127.00						Modulo de Fineza AF: -
4"	101.60						Modulo de Fineza AG: -
3"	76.20						Equivalente de Arena: -
2"	50.80						Descripción Muestras: Suelo arcilloso color amarillo claro con clasificación 7/3
1 1/2"	38.10						
1"	25.40						
3/4"	19.050				100.00%		SUCS =
1/2"	12.700	6.19	1.64%	1.64%	98.36%		SC
3/8"	9.525	7.33	1.95%	3.59%	96.41%		AASHTO =
1/4"	6.350	3.12	0.83%	4.42%	95.58%		A-6(3)
Nº 4	4.760	6.17	1.64%	6.06%	93.94%		LL = 33.12 WT = 58.78
Nº 8	2.380	19.41	5.16%	11.22%	88.78%		LP = 20.39 WT+SAL = 435.20
Nº 10	2.000	4.90	1.30%	12.52%	87.48%		IP = 12.73 WSAL = 376.42
Nº 16	1.190	14.17	3.76%	16.28%	83.72%		IG = WT+SDL = 251.61
Nº 20	0.840	10.19	2.71%	18.99%	81.01%		D 90= - WSDL = 192.83
Nº 30	0.590	12.23	3.25%	22.24%	77.76%		D 60= - %ARC. = 48.77
Nº 40	0.426	20.44	5.43%	27.67%	72.33%		D 30= - %ERR. = 0.00
Nº 50	0.297	23.20	6.16%	33.83%	66.17%		D 10= - Cc = -
Nº 60	0.250	14.76	3.92%	37.75%	62.25%		D 10= - Cu = -
Nº 80	0.177	19.87	5.28%	43.03%	56.97%		Observaciones :
Nº 100	0.149	7.09	1.88%	44.92%	55.08%		<i>El suelo es una arcilla arenosa compacta con 48.77% de finos, de plasticidad mediana color amarillo claro con una resistencia al corte de regular, de compresibilidad y expansión baja, con mezcla de rocas de diámetros de 2" hasta de 6" (Rocas areniscas cuarzosa</i>
Nº 200	0.074	23.76	6.31%	51.23%	48.77%		% de Humedad Natural de la muestra ensayada
Fondo	0.01	183.59	48.77%	100.00%	0.00%		Número de tarro = 16 Peso del agua = 27.6
TOTAL		376.42				A B	Peso del tarro = 58.78 Peso suelo húmedo = 404.02
							Peso del tarro + Mh = 462.8 Peso suelo seco = 376.42
							Peso del tarro + Ms = 435.2 % Humedad Muestra = 7.33

Curva Granulométrica





UNIVERSIDAD NACIONAL DE SAN MARTIN
FACULTAD DE INGENIERIA CIVIL
LABORATORIO DE MECANICA DE SUELOS Y PAVIMENTOS

Proyecto: Estudio de Mapas de Peligro de las Ciudades de Juanjui, Bellavista y San Hilarión.

Localización del proyecto : Provincia de Bellavista

Descripción del suelo : Arcilloso color amarillo claro con clasificación 7/3

Prof. De la muestra : 3.00 m.

Realizado por : Téc. R.N.M.

Calicata: 7 MI - MII

Fecha de Ensayo: 12/05/04

REGISTRO DE EXCAVACIÓN

COTA m	ESPESOR m	HUMEDAD %	CLASIFICACION			DESCRIPCION DEL SUELO
			AASHTO	SUCS	SIMBOLO	
0.00						
0.15	0.10	25.60%		Pt		Material organico color negro con mezcla de arcilla y arena, presentando raices que se profundizan hasta 0.10 m
0.50	0.40	4.25%		SM		Suelo arenoso limoso transportado con mezcla de material orgánico color negro y raices, con olor de descompuesto organico
1.60	1.10	18.64%	A-7(20)	CL		Suelo arcilloso inorganica compacta plasticidad con 77.56% de finos, plasticidad elevada, color rojizo oscuro con trazas de arcilla marrón Con una resistencia al corte regular, compresibilidad y expansión de medianos a elevados en condición saturada. Con incrustaciones de gravas areniscas de 1/2" a 2 1/2" en un 40% de la muestra ensayada
3.00	1.40	13.65%	A-6(3)	SC		El suelo es una arcilla arenosa compacta con 48.77 % de finos , de plasticidad mediana en condición saturada color amarillo claro con una resistencia al corte de regular a bueno, de compresibilidad. y expansión baja, con mezcla de rocas de diámetros de 2" hasta de 6" (Rocas areniscas cuarzosas) en un 60% de la muestra ensayada

OBSERVACIONES : _____



UNIVERSIDAD NACIONAL DE SAN MARTIN
FACULTAD DE INGENIERIA CIVIL
LABORATORIO DE MECANICA DE SUELOS Y PAVIMENTOS

Proyecto: Estudios Mapas de Peligro de Las ciudades de Juanjui, Bellavista y san Hilarión

Localización del Proyecto: Provincia de Bellavista

Muestra I

Descripción del Suelo: Suelos arcillosos

Profundidad de la Muestra: 1.00

Hecho Por : Tec. Robert navarro mori

Calicata:

C-8

Fecha:

12/05/2004

Determinación del % de Humedad Natural

ASTM D2216

LATA	1	2	3
PESO DE LATA grs	35.58	28.28	33.42
PESO DEL SUELO HUMEDO + LATA grs	170.88	188.94	178.92
PESO DEL SUELO SECO + LATA grs	143.59	156.57	149.62
PESO DEL AGUA grs	27.29	32.37	29.30
PESO DEL SUELO SECO grs	108.01	128.29	116.20
% DE HUMEDAD	25.27	25.23	25.22
PROMEDIO % DE HUMEDAD	25.24		

Determinación del Gravedad Especifico de Solidos

ASTM D854

LATA	1	2
VOL. DEL FRASCO A 20° C.	500.00	500.00
METODO DE REMOCION DEL AIREa	Vacio	Vacio
PESO DEL FRASCO+AGUA+SUELO	726.58	726.65
TEMPERATURA, °C	23.00	23.00
PESO DEL FRASCO+AGUA grs	652.68	652.92
PLATO EVAPORADO N°	14	15
PESO DEL PLATO EVAP+SUELO SECO grs	320.00	320.00
PESO DEL SUELO SECO grs	120.00	120.00
VOLUMEN DE SOLIDOS cm ³	46.10	46.27
GRAVEDAD ESPECIFICA grs/cm ³	2.60	2.59
PROMEDIO grs/cm ³	2.60	

Peso Unitario Volumétrico (Densidad Natural)

ASTM D2937

LATA	1	2	3
PESO DE MOLDE grs	310.00	310.00	310.00
PESO DEL SUELO + MOLDE grs	683.00	682.00	681.59
PESO DEL SUELO SECO grs	373.00	372.00	371.59
VOLUMEN DEL MOLDE cm ³	246.30	246.30	246.30
PESO UNITARIO grs/cm ³	1.51	1.51	1.51
PROMEDIO grs/cm ³	1.511		

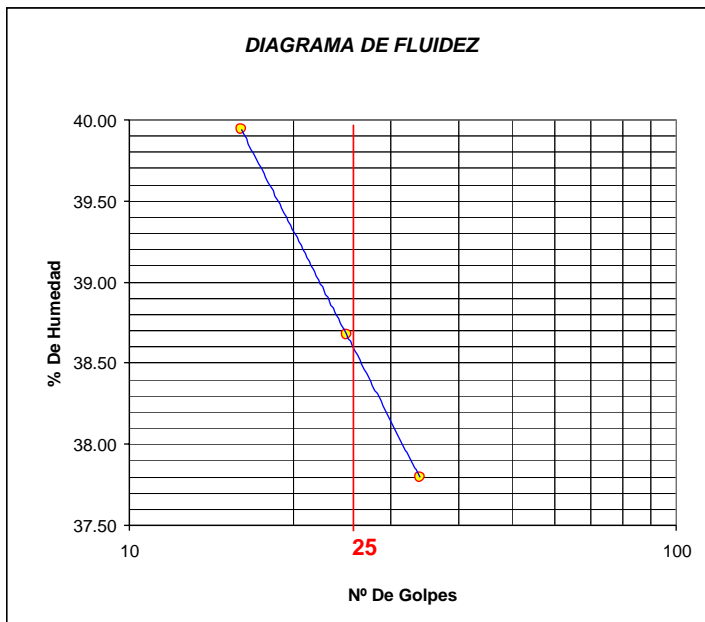


UNIVERSIDAD NACIONAL DE SAN MARTIN
FACULTAD DE INGENIERIA CIVIL
LABORATORIO DE MECANICA DE SUELOS Y PAVIMENTOS

Proyecto: Estudios Mapas de Peligro de Las ciudades de Juanjui, Bellavista y san Hilarión
 Localización del Proyecto: Provincia de Bellavista Muestra: I
 Descripción del Suelo: Suelos arcillosos Profundidad de la Muestra: 1.00
 Hecho Por : Tec. Robert navarro mori Calicata: C-8 Fecha: 12/05/2004

Determinación del Límite Líquido ASTM D4318

LATA	1	2	3
PESO DE LATA grs	38.00	35.61	33.35
PESO DEL SUELO HUMEDO + LATA grs	80.99	75.23	71.45
PESO DEL SUELO SECO + LATA grs	68.72	64.18	61.00
PESO DEL AGUA grs	12.27	11.05	10.45
PESO DEL SUELO SECO grs	30.72	28.57	27.65
% DE HUMEDAD	39.94	38.68	37.79
NUMERO DE GOLPES	16	25	34



Límite de Contracción	12.66
Límite Líquido	38.68
Límite Plástico	22.33
Índice de Plasticidad Ip	16.35
Clasificación SUCS	CL
Clasificación AASHTO	NC

Determinación del Límite Plástico ASTM D4318

LATA	1	2	3
PESO DE LATA grs	38.26	44.36	35.79
PESO DEL SUELO HUMEDO + LATA grs	70.63	74.81	64.22
PESO DEL SUELO SECO + LATA grs	64.70	69.25	59.05
PESO DEL AGUA grs	5.93	5.56	5.17
PESO DEL SUELO SECO grs	26.44	24.89	23.26
% DE HUMEDAD	22.43	22.34	22.23
% PROMEDIO	22.33		

LIMITE DE CONTRACCION ASTM D427	
Ensayo N°	1
Peso Rec + Suelo húmedo Gr.	38.96
Peso Rec + Suelo seco Gr.	32.65
Peso de rec. De contracción Gr.	10.42
Peso del suelo seco Gr.	22.23
Peso del agua Gr.	6.31
Humedad %	28.39
Volumen Inicial (Suelo Húmedo) cm3	15.12
Volumen Final (Suelo Seco) cm3	11.63
Límite de Contracción %	12.66
Relación de Contracción	1.91



UNIVERSIDAD NACIONAL DE SAN MARTIN
FACULTAD DE INGENIERIA CIVIL
LABORATORIO DE MECANICA DE SUELOS Y PAVIMENTOS

Proyecto: Estudios Mapas de Peligro de Las ciudades de Juanjui, Bellavista y san Hilarión

Localización del Proyecto: Provincia de Bellavista

Descripción del Suelo: Suelos arcillosos

Profundidad de la Muestra:

Muestra

1.00

Calicata:

C-8

Hecho Por: Tec. Robert navarro mori

Fecha:

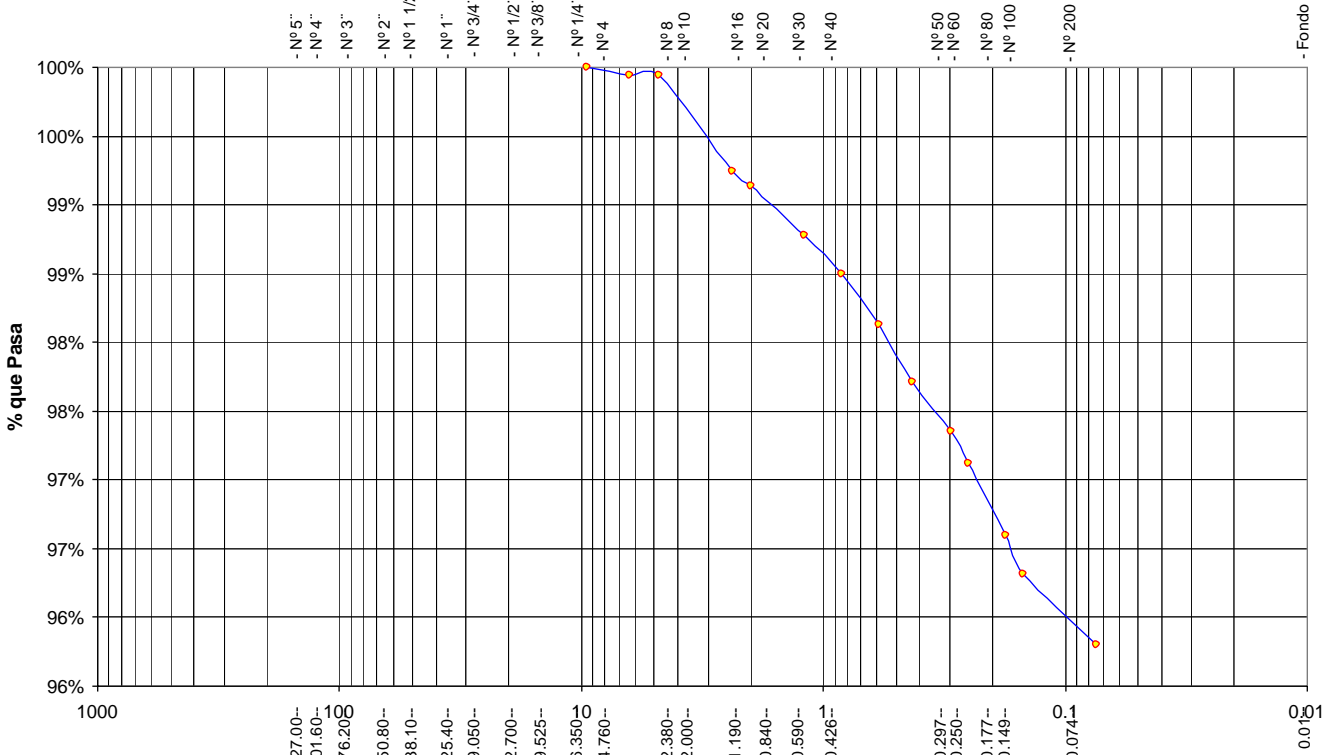
12/05/2004

Análisis Granulométrico por Tamizado ASTM D422

Tamices		Peso Retenido	% Retenido Parcial	% Retenido Acumulado	% Que Pasa	Especificaciones	Tamaño Máximo:			
Ø	(mm)									
5"	127.00						-			
4"	101.60						-			
3"	76.20						-			
2"	50.80						-			
1 1/2"	38.10						-			
1"	25.40						-			
3/4"	19.050						-			
1/2"	12.700						-			
3/8"	9.525				100.00%		-			
1/4"	6.350	0.42	0.06%	0.06%	99.94%		-			
Nº 4	4.760	0.02	0.00%	0.06%	99.94%		-			
Nº 8	2.380	4.85	0.69%	0.76%	99.24%		-			
Nº 10	2.000	0.78	0.11%	0.87%	99.13%		-			
Nº 16	1.190	2.46	0.35%	1.22%	98.78%		-			
Nº 20	0.840	1.99	0.28%	1.50%	98.50%		-			
Nº 30	0.590	2.55	0.36%	1.87%	98.13%		-			
Nº 40	0.426	2.93	0.42%	2.29%	97.71%		-			
Nº 50	0.297	2.51	0.36%	2.64%	97.36%		-			
Nº 60	0.250	1.63	0.23%	2.88%	97.12%		-			
Nº 80	0.177	3.68	0.53%	3.40%	96.60%		-			
Nº 100	0.149	1.95	0.28%	3.68%	96.32%		-			
Nº 200	0.074	3.61	0.52%	4.20%	95.80%		-			
Fondo	0.01	670.62	95.80%	100.00%	0.00%		-			
TOTAL		700.00				A B	-			

Modulo de Fineza AF:	-
Equivalente de Arena:	-
Descripción Muestras:	
Suelo arcilloso color rojo con trazas de arcilla marrón clasificación 8/3	
SUCS =	CL
LL =	38.68
LP =	22.33
IP =	16.35
AASHTO =	NC
WT =	100.00
WT+SAL =	800.00
WSAL =	700.00
WT+SDL =	129.38
WSDL =	29.38
%ARC. =	95.80
%ERR. =	0.00
Cc =	-
Cu =	-
Observaciones :	
El suelo es una arcilla inorganica compacta con 95.80 % de finos , de plasticidad elevada color rojizo oscuro con trazas de arcilla marrón con una resistencia al corte de regular, de compresibilidad alta expansión elevada.	
% de Humedad Natural de la muestra ensayada	
Número de tarro =	46
Peso del agua =	56.52
Peso del tarro =	100
Peso suelo húmedo=	756.52
Peso del tarro + Mh =	856.52
Peso suelo seco =	700
Peso del tarro + Ms =	800
% Humedad Muestra=	8.07

Curva Granulométrica



Piedras mayores 3"							
Clasificación - ASTM	GRAVA		ARENA			LIMO	ARCILLA
Clasificación - AASHTO	GRAVA GRUESA	GRAVA MEDIA	GRAVA FINA	ARENA GRUESA	ARENA FINA	LIMO	ARCILLA



UNIVERSIDAD NACIONAL DE SAN MARTIN
FACULTAD DE INGENIERIA CIVIL
LABORATORIO DE MECANICA DE SUELOS Y PAVIMENTOS

Proyecto: Estudios Mapas de Peligro de Las ciudades de Juanjui, Bellavista y San Hilarión

Localización del Proyecto: Provincia de Bellavista

Muestra I - II

Descripción del Suelo: Suelos arcillosos

Profundidad de la Muestra: 1.60

Hecho Por: Tec. Robert Navarro Mori

Calicata:

C-8

Fecha:

12/05/2004

Determinación del % de Humedad Natural

ASTM D2216

LATA	1	2	3
PESO DE LATA grs	58.77	58.45	58.87
PESO DEL SUELO HUMEDO + LATA grs	139.65	140.23	158.23
PESO DEL SUELO SECO + LATA grs	127.89	128.35	143.79
PESO DEL AGUA grs	11.76	11.88	14.44
PESO DEL SUELO SECO grs	69.12	69.90	84.92
% DE HUMEDAD	17.01	17.00	17.00
PROMEDIO % DE HUMEDAD	17.00		

Determinación del Gravedad Especifico de Solidos

ASTM D854

LATA	1	2
VOL. DEL FRASCO A 20° C.	500.00	500.00
METODO DE REMOCION DEL AIREa	Vacio	Vacio
PESO DEL FRASCO+AGUA+SUELO	716.48	716.26
TEMPERATURA, °C	23.00	23.00
PESO DEL FRASCO+AGUA grs	642.56	642.45
PLATO EVAPORADO N°	21	22
PESO DEL PLATO EVAP+SUELO SECO grs	320.00	320.00
PESO DEL SUELO SECO grs	120.00	120.00
VOLUMEN DE SOLIDOS cm ³	46.08	46.19
GRAVEDAD ESPECIFICA grs/cm ³	2.60	2.60
PROMEDIO grs/cm ³	2.60	

Peso Unitario Volumétrico (Densidad Natural)

ASTM D2937

LATA	1	2	3
PESO DE MOLDE grs	310.00	310.00	310.00
PESO DEL SUELO + MOLDE grs	692.00	691.00	694.00
PESO DEL SUELO SECO grs	382.00	381.00	384.00
VOLUMEN DEL MOLDE cm ³	246.30	246.30	246.30
PESO UNITARIO grs/cm ³	1.55	1.55	1.56
PROMEDIO grs/cm ³	1.552		

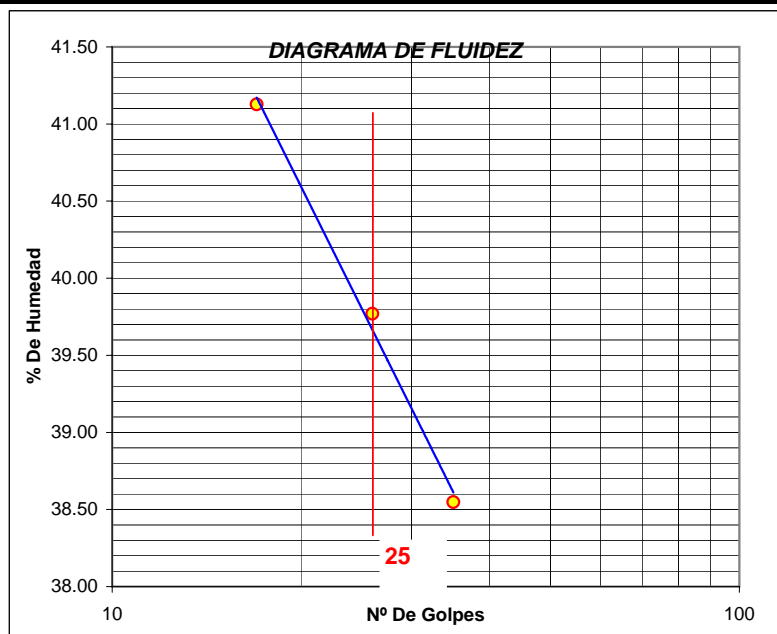


UNIVERSIDAD NACIONAL DE SAN MARTIN
FACULTAD DE INGENIERIA CIVIL
LABORATORIO DE MECANICA DE SUELOS Y PAVIMENTOS

Proyecto: Estudios Mapas de Peligro de Las ciudades de Juanjui, Bellavista y san Hilarión
 Localización del Proyecto: Provincia de Bellavista Muestra I - II
 Descripción del Suelo: Suelos arcillosos Profundidad de la Muestra: 1.60
 Hecho Por : Tec. Robert navarro mori Calicata: C-8 Fecha: 12/05/2004

Determinación del Límite Líquido ASTM D4318

LATA	1	2	3
PESO DE LATA grs	15.02	14.37	14.25
PESO DEL SUELO HUMEDO + LATA grs	42.30	32.61	40.02
PESO DEL SUELO SECO + LATA grs	34.35	27.42	32.85
PESO DEL AGUA grs	7.95	5.19	7.17
PESO DEL SUELO SECO grs	19.33	13.05	18.60
% DE HUMEDAD	41.13	39.77	38.55
NUMERO DE GOLPES	17	26	35



Límite de Contracción	ND
Límite Líquido	39.96
Límite Plástico	22.77
Índice de Plasticidad Ip	17.19
Clasificación SUCS	SC
Clasificación AASHTO	A-2-6(1)

Determinación del Límite Plástico ASTM D4318

LATA	1	2	3
PESO DE LATA grs	24.56	22.32	21.25
PESO DEL SUELO HUMEDO + LATA grs	48.50	42.35	41.00
PESO DEL SUELO SECO + LATA grs	44.06	38.63	37.34
PESO DEL AGUA grs	4.44	3.72	3.66
PESO DEL SUELO SECO grs	19.50	16.31	16.09
% DE HUMEDAD	22.77	22.81	22.75
% PROMEDIO	22.77		



UNIVERSIDAD NACIONAL DE SAN MARTIN

FACULTAD DE INGENIERIA CIVIL
LABORATORIO DE MECANICA DE SUELOS Y PAVIMENTOS

Proyecto: Estudios Mapas de Peligro de Las ciudades de Juanjui, Bellavista y san Hilarion

Localización del Proyecto: Provincia de Bellavista

Muestra I - II

Descripción del Suelo: Suelos arcillosos

Profundidad de la Muestra: 1.60

Calicata: C-8

Hecho Por: Tec. Robert navarro mori

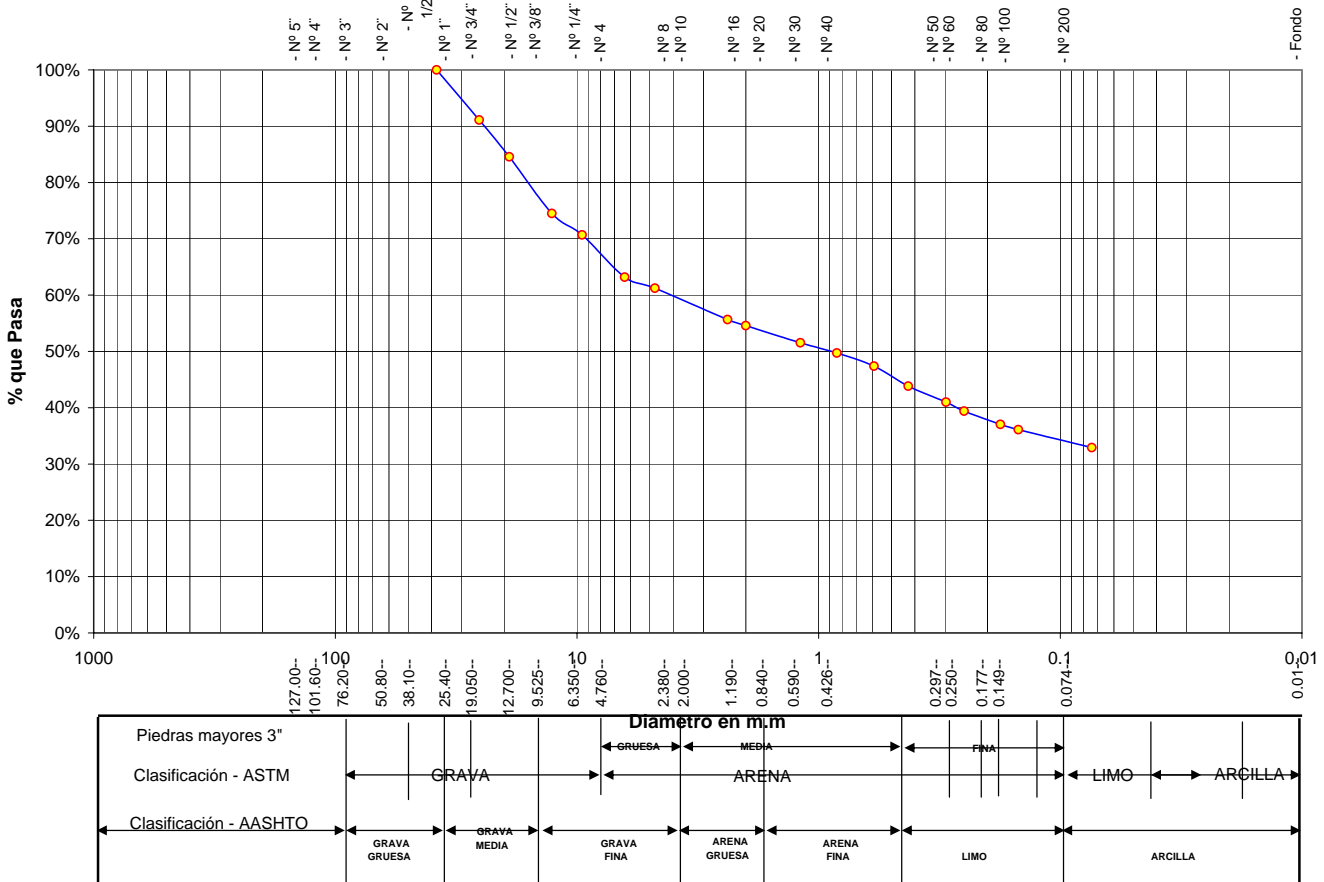
Fecha: 12/05/2004

Análisis Granulométrico por Tamizado

ASTM D422

Tamices		Peso Retenido	% Retenido Parcial	% Retenido Acumulado	% Que Pasa	Especificaciones	Tamaño Máximo:																																											
Ø (mm)																																																		
5"	127.00						Modulo de Fineza AF: -																																											
4"	101.60						Modulo de Fineza AG: -																																											
3"	76.20						Equivalente de Arena: -																																											
2"	50.80						Descripción Muestras:																																											
1 1/2"	38.10				100.00%		Suelo arcilloso color amarillo claro con clasificación 7/3																																											
1"	25.40	38.79	8.90%	8.90%	91.10%		<table style="width: 100%; border-collapse: collapse;"> <tr> <td>SUCS =</td> <td>SC</td> <td>AASHTO =</td> <td>A-2-6(1)</td> </tr> <tr> <td>LL =</td> <td>39.96</td> <td>WT =</td> <td>58.33</td> </tr> <tr> <td>LP =</td> <td>22.77</td> <td>WT+SAL =</td> <td>494.30</td> </tr> <tr> <td>IP =</td> <td>17.19</td> <td>WSAL =</td> <td>435.97</td> </tr> <tr> <td>IG =</td> <td></td> <td>WT+SDL =</td> <td>350.79</td> </tr> <tr> <td></td> <td></td> <td>WSDL =</td> <td>292.46</td> </tr> <tr> <td>D 90=</td> <td>-</td> <td>%ARC. =</td> <td>32.92</td> </tr> <tr> <td>D 60=</td> <td>-</td> <td>%ERR. =</td> <td>0.00</td> </tr> <tr> <td>D 30=</td> <td>-</td> <td>Cc =</td> <td>-</td> </tr> <tr> <td>D 10=</td> <td>*</td> <td>Cu =</td> <td>-</td> </tr> </table>				SUCS =	SC	AASHTO =	A-2-6(1)	LL =	39.96	WT =	58.33	LP =	22.77	WT+SAL =	494.30	IP =	17.19	WSAL =	435.97	IG =		WT+SDL =	350.79			WSDL =	292.46	D 90=	-	%ARC. =	32.92	D 60=	-	%ERR. =	0.00	D 30=	-	Cc =	-	D 10=	*	Cu =	-
SUCS =	SC	AASHTO =	A-2-6(1)																																															
LL =	39.96	WT =	58.33																																															
LP =	22.77	WT+SAL =	494.30																																															
IP =	17.19	WSAL =	435.97																																															
IG =		WT+SDL =	350.79																																															
		WSDL =	292.46																																															
D 90=	-	%ARC. =	32.92																																															
D 60=	-	%ERR. =	0.00																																															
D 30=	-	Cc =	-																																															
D 10=	*	Cu =	-																																															
3/4"	19.050	28.48	6.53%	15.43%	84.57%		Observaciones :																																											
1/2"	12.700	43.93	10.08%	25.51%	74.49%		El suelo es una arcilla arenosa compacta con 32.92 % de finos, de plasticidad mediana a elevada color amarillo claro con una resistencia al corte de regular, de compresibilidad, y expansión baja, con mezcla de rocas de diámetros de 2" hasta de 8" (Rocas areniscas cuarzosas)																																											
3/8"	9.525	16.62	3.81%	29.32%	70.68%		% de Humedad Natural de la muestra ensayada																																											
1/4"	6.350	32.62	7.48%	36.80%	63.20%		Número de tarro = 26 Peso del agua = 31.3																																											
Nº 4	4.760	8.58	1.97%	38.77%	61.23%		Peso del tarro = 58.33 Peso suelo húmedo = 467.27																																											
Nº 8	2.380	24.34	5.58%	44.35%	55.65%		Peso del tarro + Mh = 525.6 Peso suelo seco = 435.97																																											
Nº 10	2.000	4.73	1.08%	45.44%	54.56%		Peso del tarro + Ms = 494.3 % Humedad Muestra = 7.18																																											
Nº 16	1.190	13.22	3.03%	48.47%	51.53%																																													
Nº 20	0.840	7.96	1.83%	50.29%	49.71%																																													
Nº 30	0.590	10.08	2.31%	52.61%	47.39%																																													
Nº 40	0.426	15.51	3.56%	56.16%	43.84%																																													
Nº 50	0.297	12.40	2.84%	59.01%	40.99%																																													
Nº 60	0.250	7.01	1.61%	60.62%	39.38%																																													
Nº 80	0.177	10.19	2.34%	62.95%	37.05%																																													
Nº 100	0.149	4.18	0.96%	63.91%	36.09%																																													
Nº 200	0.074	13.82	3.17%	67.08%	32.92%																																													
Fondo	0.01	143.51	32.92%	100.00%	0.00%																																													
TOTAL		435.97				A B																																												

Curva Granulométrica





UNIVERSIDAD NACIONAL DE SAN MARTIN
FACULTAD DE INGENIERIA CIVIL
LABORATORIO DE MECANICA DE SUELOS Y PAVIMENTOS

Proyecto: Estudio de Mapas de Peligro de las Ciudades de Juanjui, Bellavista y San Hilarión.

Localización del proyecto : Provincia de Bellavista

Descripción del suelo : Arcilloso color amarillo claro con clasificación 7/3


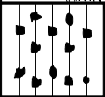
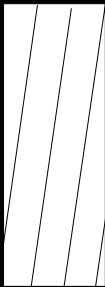
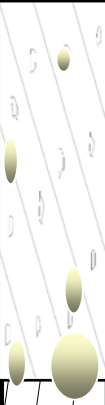
Prof. De la muestra : 3.00 m.

Realizado por : Téc. R.N.M.

Calicata: 8 MI - MII

Fecha de Ensayo: 16/05/04

REGISTRO DE EXCAVACIÓN

COTA m	ESPESOR m	HUMEDAD %	CLASIFICACION			DESCRIPCION DEL SUELO
			AASHTO	SUCS	SIMBOLO	
0.00						
0.10	0.10	29.65%		Pt		<i>Material organico color negro con mezcla de arcilla y arena, presentando raices que se profundizan hasta 0.10 m</i>
0.40	0.30	4.58%		SM		<i>Suelo arenoso limoso transportado con mezcla de material orgánico color negro y raices, con olor de descompuesto organico</i>
1.40	1.00	25.24%	NC	CL		<i>Suelo arcilloso inorganica compacta con 95.80% de finos, plasticidad elevada, color rojizo oscuro con trazas de arcilla marrón Con una resistencia al corte regular, compresibilidad y expansión elevados en condición saturada. Con incrustaciones de gravas areniscas de 1/2" a 2" en un 30% de la muestra ensayada</i>
3.00	1.60	17.00%	A-2-6(1)	SC		<i>El suelo es una arcilla arenosa compacta con 32.92 % de finos , de plasticidad mediana en condición saturada color amarillo claro con una resistencia al corte de regular a bueno, de compresibilidad. y expansión baja, con mezcla de rocas de diametros de 2" hasta de 8" (Rocas areniscas cuarzosas) en un 50% de la muestra ensayada A partir de 1.35 m presentando bolonerias de gravas de Diamteros de 6"</i>

OBSERVACIONES : _____



UNIVERSIDAD NACIONAL DE SAN MARTIN
FACULTAD DE INGENIERIA CIVIL
LABORATORIO DE MECANICA DE SUELOS Y PAVIMENTOS

Proyecto: Estudios Mapas de Peligro de Las ciudades de Juanjui, Bellavista y San Hilarión

Localización del Proyecto: Provincia de Bellavista

Muestra I

Descripción del Suelo: Suelos arcillosos

Profundidad de la Muestra: 0.65

Hecho Por: Tec. Robert Navarro Mori

Calicata:

C-9

Fecha:

14/05/2004

Determinación del % de Humedad Natural

ASTM D2216

LATA	1	2	3
PESO DE LATA grs	33.42	32.48	33.51
PESO DEL SUELO HUMEDO + LATA grs	168.85	170.06	167.10
PESO DEL SUELO SECO + LATA grs	144.42	145.28	143.00
PESO DEL AGUA grs	24.43	24.78	24.10
PESO DEL SUELO SECO grs	111.00	112.80	109.49
% DE HUMEDAD	22.01	21.97	22.01
PROMEDIO % DE HUMEDAD	22.00		

Determinación del Gravedad Especifico de Solidos

ASTM D854

LATA	1	2
VOL. DEL FRASCO A 20° C.	500.00	500.00
METODO DE REMOCION DEL AIRE ^a	Vacio	Vacio
PESO DEL FRASCO+AGUA+SUELO	797.15	798.26
TEMPERATURA, °C	23.00	23.00
PESO DEL FRASCO+AGUA grs	724.06	724.90
PLATO EVAPORADO N°	115	116
PESO DEL PLATO EVAP+SUELO SECO grs	320.00	320.00
PESO DEL SUELO SECO grs	120.00	120.00
VOLUMEN DE SOLIDOS cm ³	46.91	46.64
GRAVEDAD ESPECIFICA grs/cm ³	2.56	2.57
PROMEDIO grs/cm ³	2.57	

Peso Unitario Volumétrico (Densidad Natural)

ASTM D2937

LATA	1	2	3
PESO DE MOLDE grs	310.00	310.00	310.00
PESO DEL SUELO + MOLDE grs	682.00	685.00	684.52
PESO DEL SUELO SECO grs	372.00	375.00	374.52
VOLUMEN DEL MOLDE cm ³	246.30	246.30	246.30
PESO UNITARIO grs/cm ³	1.51	1.52	1.52
PROMEDIO grs/cm ³	1.518		

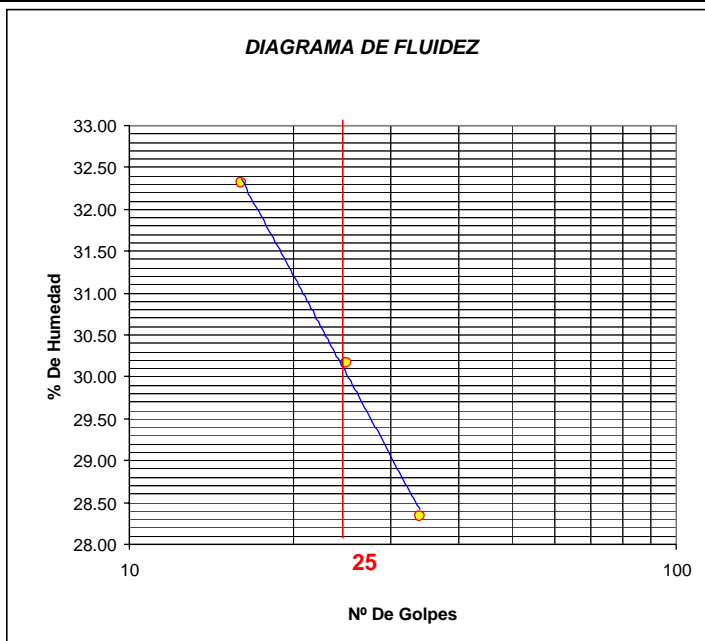


UNIVERSIDAD NACIONAL DE SAN MARTIN
FACULTAD DE INGENIERIA CIVIL
LABORATORIO DE MECANICA DE SUELOS Y PAVIMENTOS

Proyecto: Estudios Mapas de Peligro de Las ciudades de Juanjui, Bellavista y san Hilarión
 Localización del Proyecto: Provincia de Bellavista Muestra I
 Descripción del Suelo: Suelos arcillosos Profundidad de la Muestra: 0.65
 Hecho Por : Tec. Robert navarro mori Calicata: C-9 Fecha: 14/05/2004

Determinación del Límite Líquido ASTM D4318

LATA	1	2	3
PESO DE LATA grs	33.35	36.55	28.65
PESO DEL SUELO HUMEDO + LATA grs	92.85	96.15	82.05
PESO DEL SUELO SECO + LATA grs	78.32	82.34	70.26
PESO DEL AGUA grs	14.53	13.81	11.79
PESO DEL SUELO SECO grs	44.97	45.79	41.61
% DE HUMEDAD	32.31	30.16	28.33
NUMERO DE GOLPES	16	25	34



Límite de Contracción	12.10
Límite Líquido	30.16
Límite Plástico	16.82
Índice de Plasticidad Ip	13.34
Clasificación SUCS	CL
Clasificación AASHTO	NC

Determinación del Límite Plástico ASTM D4318

LATA	1	2	3
PESO DE LATA grs	31.41	31.46	31.90
PESO DEL SUELO HUMEDO + LATA grs	51.54	51.52	51.50
PESO DEL SUELO SECO + LATA grs	48.64	48.63	48.68
PESO DEL AGUA grs	2.90	2.89	2.82
PESO DEL SUELO SECO grs	17.23	17.17	16.78
% DE HUMEDAD	16.83	16.83	16.81
% PROMEDIO	16.82		

LIMITE DE CONTRACCION ASTM D427

Ensayo Nº	1
Peso Rec + Suelo húmedo Gr.	38.94
Peso Rec + Suelo seco Gr.	32.66
Peso de rec. De contracción G	10.42
Peso del suelo seco Gr.	22.24
Peso del agua Gr.	6.28
Humedad %	28.24
Volumen Inicial (Suelo Húmedo) cm3	15.22
Volumen Final (Suelo Seco) cm3	11.63
Límite de Contracción %	12.10
Relación de Contracción	1.91



UNIVERSIDAD NACIONAL DE SAN MARTIN
FACULTAD DE INGENIERIA CIVIL
LABORATORIO DE MECANICA DE SUELOS Y PAVIMENTOS

Proyecto: Estudios Mapas de Peligro de Las ciudades de Juanjui, Bellavista y san Hilarión

Localización del Proyecto: Provincia de Bellavista

Descripción del Suelo: Suelos arcillosos

Profundidad de la Muestra:

Muestra: 0.65

Calicata: C-9

Fecha: 14/05/2004

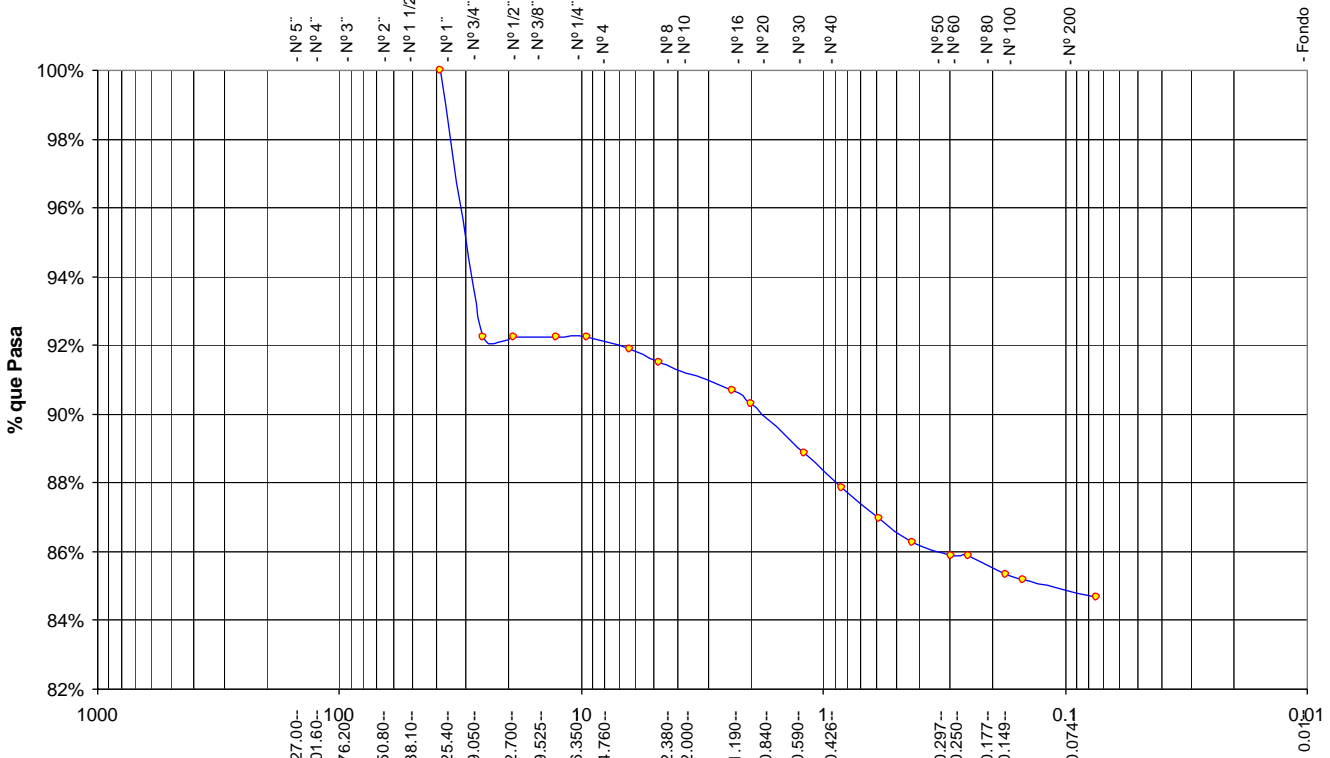
Hecho Por: Tec. Robert navarro mori

Análisis Granulométrico por Tamizado ASTM D422

Tamices		Peso Retenido	% Retenido Parcial	% Retenido Acumulado	% Que Pasa	Especificaciones	Tamaño Máximo:	
Ø	(mm)							
5"	127.00							-
4"	101.60							-
3"	76.20							-
2"	50.80							-
1 1/2"	38.10				100.00%			-
1"	25.40	38.71	7.74%	7.74%	92.26%			-
3/4"	19.050	0.00	0.00%	7.74%	92.26%			-
1/2"	12.700	0.00	0.00%	7.74%	92.26%			-
3/8"	9.525	0.00	0.00%	7.74%	92.26%			-
1/4"	6.350	1.91	0.38%	8.12%	91.88%			-
Nº 4	4.760	1.90	0.38%	8.50%	91.50%			-
Nº 8	2.380	3.96	0.79%	9.30%	90.70%			-
Nº 10	2.000	1.98	0.40%	9.69%	90.31%			-
Nº 16	1.190	7.14	1.43%	11.12%	88.88%			-
Nº 20	0.840	5.02	1.00%	12.12%	87.88%			-
Nº 30	0.590	4.63	0.93%	13.05%	86.95%			-
Nº 40	0.426	3.42	0.68%	13.73%	86.27%			-
Nº 50	0.297	2.00	0.40%	14.13%	85.87%			-
Nº 60	0.250	0.03	0.01%	14.14%	85.86%			-
Nº 80	0.177	2.62	0.52%	14.66%	85.34%			-
Nº 100	0.149	0.70	0.14%	14.80%	85.20%			-
Nº 200	0.074	2.51	0.50%	15.31%	84.69%			-
Fondo	0.01	134.59	26.92%	42.22%	0.00%			-
TOTAL		211.12				A	B	

Modulo de Fineza AF:	-
Equivalente de Arena:	-
Descripción Muestras:	
Suelo arcilloso color rojo con trazas de arcilla marrón clasificación 8/3	
SUCS =	CL
LL = 30.16	WT = 58.70
LP = 16.82	WT+SAL = 558.70
IP = 13.34	WSAL = 500.00
IG =	WT+SDL = 135.23
	WSDL = 76.53
D 90= -	%ARC. = 84.69
D 60= -	%ERR. = 0.00
D 30= -	Cc = -
D 10= *	Cu = -
Observaciones :	
El suelo es una arcilla inorganica compacta con 84.69 % de finos , de plasticidad elevada color rojizo oscuro con trazas de arcilla marrón con una resistencia al corte de regular, de compresibilidad alta expansión elevada.	
% de Humedad Natural de la muestra ensayada	
Número de tarro = 115	Peso del agua = 27.53
Peso del tarro = 58.7	Peso suelo húmedo= 527.53
Peso del tarro + Mh = 586.23	Peso suelo seco = 500
Peso del tarro + Ms = 558.7	% Humedad Muestra= 5.51

Curva Granulométrica



Diametro en m.m							
Piedras mayores 3"				GRUESA	MEDIA	FINA	
Clasificación - ASTM		GRAVA			ARENA		LIMO ARCILLA
Clasificación - AASHTO		GRAVA GRUESA	GRAVA MEDIA	GRAVA FINA	ARENA GRUESA	ARENA FINA	LIMO ARCILLA



UNIVERSIDAD NACIONAL DE SAN MARTIN
FACULTAD DE INGENIERIA CIVIL
LABORATORIO DE MECANICA DE SUELOS Y PAVIMENTOS

Proyecto: Estudios Mapas de Peligro de Las ciudades de Juanjui, Bellavista y san Hilarión

Localización del Proyecto: Provincia de Bellavista

Muestra I

Descripción del Suelo: Suelos arcillosos

Profundidad de la Muestra: 0.35

Hecho Por : Tec. Robert navarro mori

Calicata: C-10

Fecha: 14/05/2004

Determinación del % de Humedad Natural

ASTM D2216

LATA	1	2	3
PESO DE LATA grs	43.09	44.72	37.84
PESO DEL SUELO HUMEDO + LATA grs	110.40	111.67	99.46
PESO DEL SUELO SECO + LATA grs	97.75	99.08	87.86
PESO DEL AGUA grs	12.65	12.59	11.60
PESO DEL SUELO SECO grs	54.66	54.36	50.02
% DE HUMEDAD	23.14	23.16	23.19
PROMEDIO % DE HUMEDAD	23.16		

Determinación del Gravedad Específico de Sólidos

ASTM D854

LATA	1	2
VOL. DEL FRASCO A 20° C.	500.00	500.00
METODO DE REMOCION DEL AIREa	Vacio	Vacio
PESO DEL FRASCO+AGUA+SUELO	797.20	798.35
TEMPERATURA, °C	23.00	23.00
PESO DEL FRASCO+AGUA grs	724.13	725.11
PLATO EVAPORADO N°	115	116
PESO DEL PLATO EVAP+SUELO SECO grs	320.00	320.00
PESO DEL SUELO SECO grs	120.00	120.00
VOLUMEN DE SOLIDOS cm3	46.93	46.76
GRAVEDAD ESPECIFICA grs/cm3	2.56	2.57
PROMEDIO grs/cm3	2.56	

Peso Unitario Volumétrico (Densidad Natural)

ASTM D2937

LATA	1	2	3
PESO DE MOLDE grs	310.00	310.00	310.00
PESO DEL SUELO + MOLDE grs	680.00	679.00	679.00
PESO DEL SUELO SECO grs	370.00	369.00	369.00
VOLUMEN DEL MOLDE cm3	246.30	246.30	246.30
PESO UNITARIO grs/cm3	1.50	1.50	1.50
PROMEDIO grs/cm3	1.500		

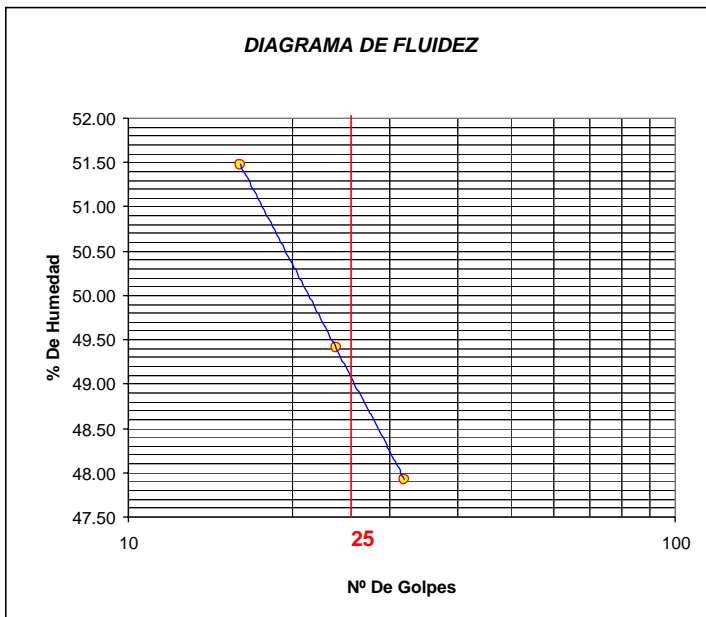


UNIVERSIDAD NACIONAL DE SAN MARTIN
FACULTAD DE INGENIERIA CIVIL
LABORATORIO DE MECANICA DE SUELOS Y PAVIMENTOS

Proyecto: Estudios Mapas de Peligro de Las ciudades de Juanjui, Bellavista y san Hilarión
 Localización del Proyecto: Provincia de Bellavista Muestra: I
 Descripción del Suelo: Suelos arcillosos Profundidad de la Muestra: 0.35
 Hecho Por: Tec. Robert navarro mori Calicata: C-10 Fecha: 14/05/2004

Determinación del Límite Líquido ASTM D4318

LATA	1	2	3
PESO DE LATA grs	33.64	44.39	44.23
PESO DEL SUELO HUMEDO + LATA grs	79.69	78.74	76.15
PESO DEL SUELO SECO + LATA grs	64.04	67.38	65.81
PESO DEL AGUA grs	15.65	11.36	10.34
PESO DEL SUELO SECO grs	30.40	22.99	21.58
% DE HUMEDAD	51.48	49.41	47.91
NUMERO DE GOLPES	16	24	32



Límite de Contracción	13.87
Límite Líquido	49.17
Límite Plástico	24.23
Índice de Plasticidad Ip	24.94
Clasificación SUCS	CL
Clasificación AASHTO	A-7(20)

Determinación del Límite Plástico ASTM D4318

LATA	1	2	3
PESO DE LATA grs	31.48	44.06	28.27
PESO DEL SUELO HUMEDO + LATA grs	59.52	75.23	59.56
PESO DEL SUELO SECO + LATA grs	54.04	69.15	53.47
PESO DEL AGUA grs	5.48	6.08	6.09
PESO DEL SUELO SECO grs	22.56	25.09	25.20
% DE HUMEDAD	24.29	24.23	24.17
% PROMEDIO	24.23		

LIMITE DE CONTRACCION ASTM D427	
Ensayo Nº	1
Peso Rec + Suelo húmedo Gr.	40
Peso Rec + Suelo seco Gr.	33.65
Peso de rec. De contracción Gr.	10.42
Peso del suelo seco Gr.	23.23
Peso del agua Gr.	6.35
Humedad %	27.34
Volumen Inicial (Suelo Húmedo) cm3	15.27
Volumen Final (Suelo Seco) cm3	12.14
Límite de Contracción %	13.87
Relación de Contracción	1.91



UNIVERSIDAD NACIONAL DE SAN MARTIN
FACULTAD DE INGENIERIA CIVIL
LABORATORIO DE MECANICA DE SUELOS Y PAVIMENTOS

Proyecto: Estudios Mapas de Peligro de Las ciudades de Juanjui, Bellavista y san Hilarion
 Localización del Proyecto: Provincia de Bellavista Muestra: I
 Descripción del Suelo: Suelos arcillosos Profundidad de la Muestra: 0.35 Calicata: C-10
 Hecho Por: Tec. Robert navarro mori Fecha: 14/05/2004

Análisis Granulométrico por Tamizado

ASTM D422

Tamices	Peso Retenido	% Retenido Parcial	% Retenido Acumulado	% Que Pasa	Especificaciones	Tamaño Máximo:
Ø (mm)						
5"	127.00					-
4"	101.60					-
3"	76.20					-
2"	50.80					-
1 1/2"	38.10					-
1"	25.40					-
3/4"	19.050					-
1/2"	12.700			100.00%		-
3/8"	9.525	3.58	0.50%	0.50%		-
1/4"	6.350	4.47	0.62%	1.12%		-
Nº 4	4.760	3.75	0.52%	1.64%		-
Nº 8	2.380	5.95	0.83%	2.47%		-
Nº 10	2.000	1.58	0.22%	2.69%		-
Nº 16	1.190	4.01	0.56%	3.25%		-
Nº 20	0.840	2.11	0.29%	3.54%		-
Nº 30	0.590	2.15	0.30%	3.84%		-
Nº 40	0.426	2.23	0.31%	4.15%		-
Nº 50	0.297	1.72	0.24%	4.39%		-
Nº 60	0.250	0.20	0.03%	4.42%		-
Nº 80	0.177	3.94	0.55%	4.97%		-
Nº 100	0.149	1.38	0.19%	5.16%		-
Nº 200	0.074	19.85	2.76%	7.93%		-
Fondo	0.01	661.08	92.07%	100.00%	0.00%	-
TOTAL		718.00				

LL =	49.17	WT =	58.80
LP =	24.23	WT+SAL =	776.80
IP =	24.94	WSAL =	718.00
IG =		WT+SDL =	115.72
		WSDL =	56.92
D 90=	-	%ARC. =	92.07
D 60=	-	%ERR. =	0.00
D 30=	-	Cc =	-
D 10=	*	Cu =	-

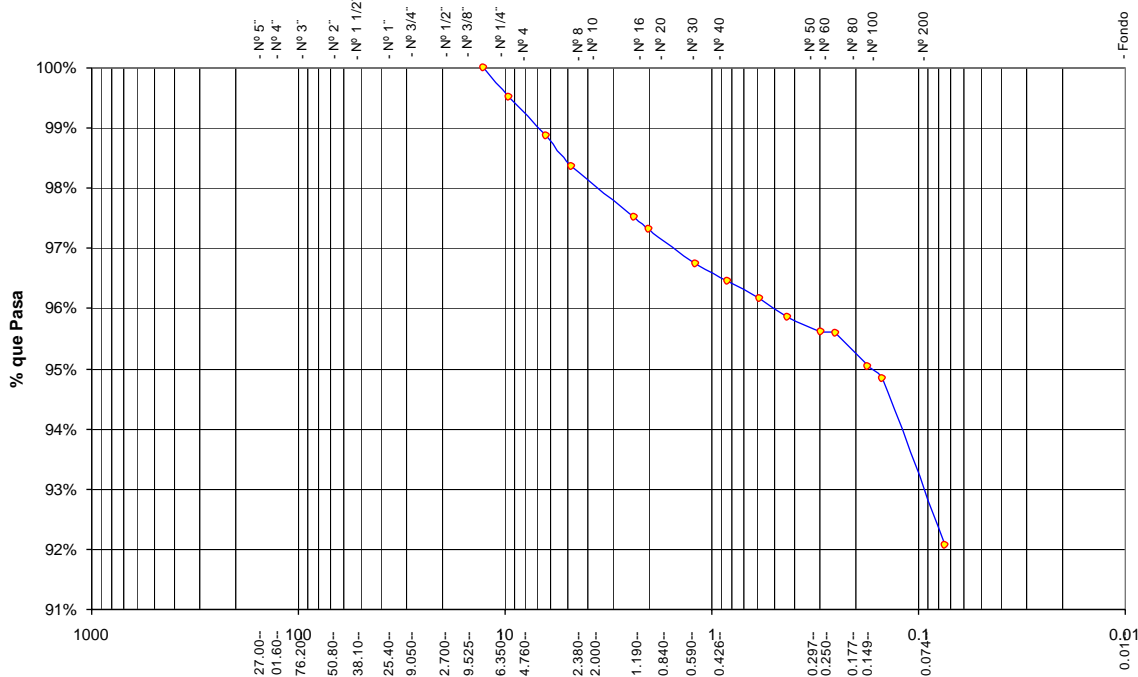
Descripción Muestras:
 Suelo arcilloso color rojo con trazas de arcilla marrón clasificación 8/3

Observaciones:
 El suelo es una arcilla inorgánica compacta con 92.07 % de finos, de plasticidad elevada color rojizo oscuro con trazas de arcilla marrón con una resistencia al corte de regular, de compresibilidad alta expansión elevada en condición saturada.

% de Humedad Natural de la muestra ensayada

Número de tarro =	125	Peso del agua =	24.45
Peso del tarro =	58.8	Peso suelo húmedo =	742.45
Peso del tarro + Mh =	801.25	Peso suelo seco =	718
Peso del tarro + Ms =	776.8	% Humedad Muestra =	3.41

Curva Granulométrica



Clasificación - ASTM	Diámetro en m.m						
	127.00	101.60	76.20	4.760	2.000	0.075	0.01
Piedras mayores 3"							
Clasificación - ASTM	GRAVA			ARENA		ARCILLA	
Clasificación - AASHTO	GRAVA GRUESA	GRAVA MEDIA	GRAVA FINA	ARENA GRUESA	ARENA FINA	LIMO	ARCILLA



UNIVERSIDAD NACIONAL DE SAN MARTIN
FACULTAD DE INGENIERIA CIVIL
LABORATORIO DE MECANICA DE SUELOS Y PAVIMENTOS

Proyecto: Estudios Mapas de Peligro de Las ciudades de Juanjui, Bellavista y San Hilarión

Localización del Proyecto: Provincia de Bellavista

Muestra I

Descripción del Suelo: Suelos arcillosos

Profundidad de la Muestra: 0.75

Hecho Por: Tec. Robert Navarro Mori

Calicata:

C-11

Fecha:

15/05/2004

Determinación del % de Humedad Natural

ASTM D2216

LATA	1	2	3
PESO DE LATA grs	60.23	61.56	62.35
PESO DEL SUELO HUMEDO + LATA grs	152.35	154.00	155.62
PESO DEL SUELO SECO + LATA grs	137.12	138.66	140.21
PESO DEL AGUA grs	15.23	15.34	15.41
PESO DEL SUELO SECO grs	76.89	77.10	77.86
% DE HUMEDAD	19.81	19.90	19.79
PROMEDIO % DE HUMEDAD	19.83		

Determinación del Gravedad Especifico de Solidos

ASTM D854

LATA	1	2
VOL. DEL FRASCO A 20° C.	500.00	500.00
METODO DE REMOCION DEL AIRE ^a	Vacio	Vacio
PESO DEL FRASCO+AGUA+SUELO	717.20	718.56
TEMPERATURA, °C	23.00	23.00
PESO DEL FRASCO+AGUA grs	650.45	652.00
PLATO EVAPORADO N°	98	99
PESO DEL PLATO EVAP+SUELO SECO grs	310.00	310.00
PESO DEL SUELO SECO grs	110.00	110.00
VOLUMEN DE SOLIDOS cm ³	43.25	43.44
GRAVEDAD ESPECIFICA grs/cm ³	2.54	2.53
PROMEDIO grs/cm ³	2.54	

Peso Unitario Volumétrico (Densidad Natural)

ASTM D2937

LATA	1	2	3
PESO DE MOLDE grs	306.00	306.00	306.00
PESO DEL SUELO + MOLDE grs	679.00	678.00	678.00
PESO DEL SUELO SECO grs	373.00	372.00	372.00
VOLUMEN DEL MOLDE cm ³	246.30	246.30	246.30
PESO UNITARIO grs/cm ³	1.51	1.51	1.51
PROMEDIO grs/cm ³	1.512		



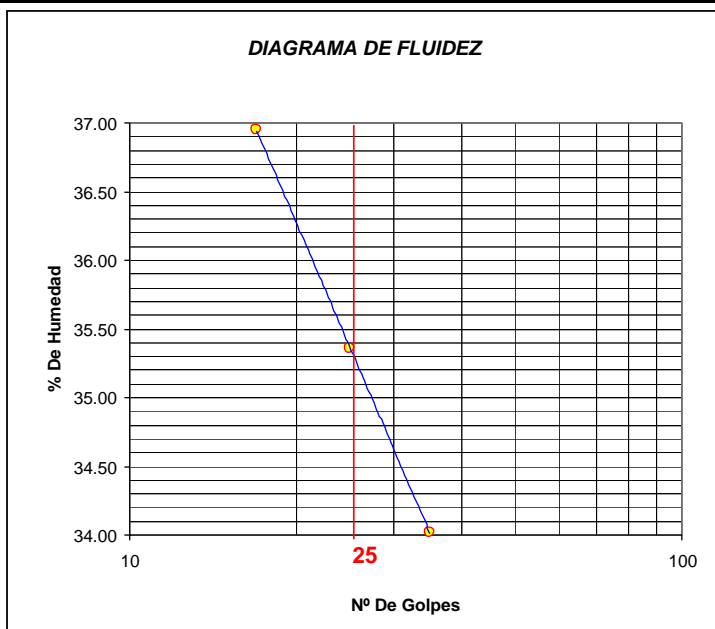
UNIVERSIDAD NACIONAL DE SAN MARTIN
FACULTAD DE INGENIERIA CIVIL
LABORATORIO DE MECANICA DE SUELOS Y PAVIMENTOS

Proyecto: Estudios Mapas de Peligro de Las ciudades de Juanjui, Bellavista y san Hilarión

Localización del Proyecto: Provincia de Bellavista Muestra I
 Descripción del Suelo: Suelos arcillosos Profundidad de la Muestra: 0.75
 Hecho Por : Tec. Robert navarro mori Calicata: C-11 Fecha: 15/05/2004

Determinación del Límite Líquido ASTM D4318

LATA	1	2	3
PESO DE LATA grs	30.06	28.21	31.46
PESO DEL SUELO HUMEDO + LATA grs	87.25	82.57	83.97
PESO DEL SUELO SECO + LATA grs	71.82	68.37	70.64
PESO DEL AGUA grs	15.43	14.20	13.33
PESO DEL SUELO SECO grs	41.76	40.16	39.18
% DE HUMEDAD	36.95	35.36	34.02
NUMERO DE GOLPES	17	25	35



Límite de Contracción	10.07
Límite Líquido	35.36
Límite Plástico	22.84
Índice de Plasticidad Ip	12.52
Clasificación SUCS	CL
Clasificación AASHTO	A - 6(9)

Determinación del Límite Plástico ASTM D4318

LATA	1	2	3
PESO DE LATA grs	35.21	36.03	35.58
PESO DEL SUELO HUMEDO + LATA grs	50.89	54.86	54.74
PESO DEL SUELO SECO + LATA grs	47.98	51.37	51.16
PESO DEL AGUA grs	2.91	3.49	3.58
PESO DEL SUELO SECO grs	12.77	15.34	15.58
% DE HUMEDAD	22.79	22.75	22.98
% PROMEDIO	22.84		

LIMITE DE CONTRACCION ASTM D427	
Ensayo Nº	1
Peso Rec + Suelo húmedo Gr.	36.94
Peso Rec + Suelo seco Gr.	31
Peso de rec. De contracción G	10.42
Peso del suelo seco Gr.	19.98
Peso del agua Gr.	5.94
Humedad %	29.73
Volumen Inicial (Suelo Húmedo) cm3	15.46
Volumen Final (Suelo Seco) cm3	11.53
Límite de Contracción %	10.07
Relación de Contracción	1.73



UNIVERSIDAD NACIONAL DE SAN MARTIN
FACULTAD DE INGENIERIA CIVIL
LABORATORIO DE MECANICA DE SUELOS Y PAVIMENTOS

Proyecto: Estudios Mapas de Peligro de Las ciudades de Juanjui, Bellavista y san Hilarión

Localización del Proyecto: Provincia de Bellavista

Muestra

I

Descripción del Suelo: Suelos arcillosos

Profundidad de la Muestra:

0.75

Calicata:

C-11

Hecho Por : Tec. Robert navarro mori

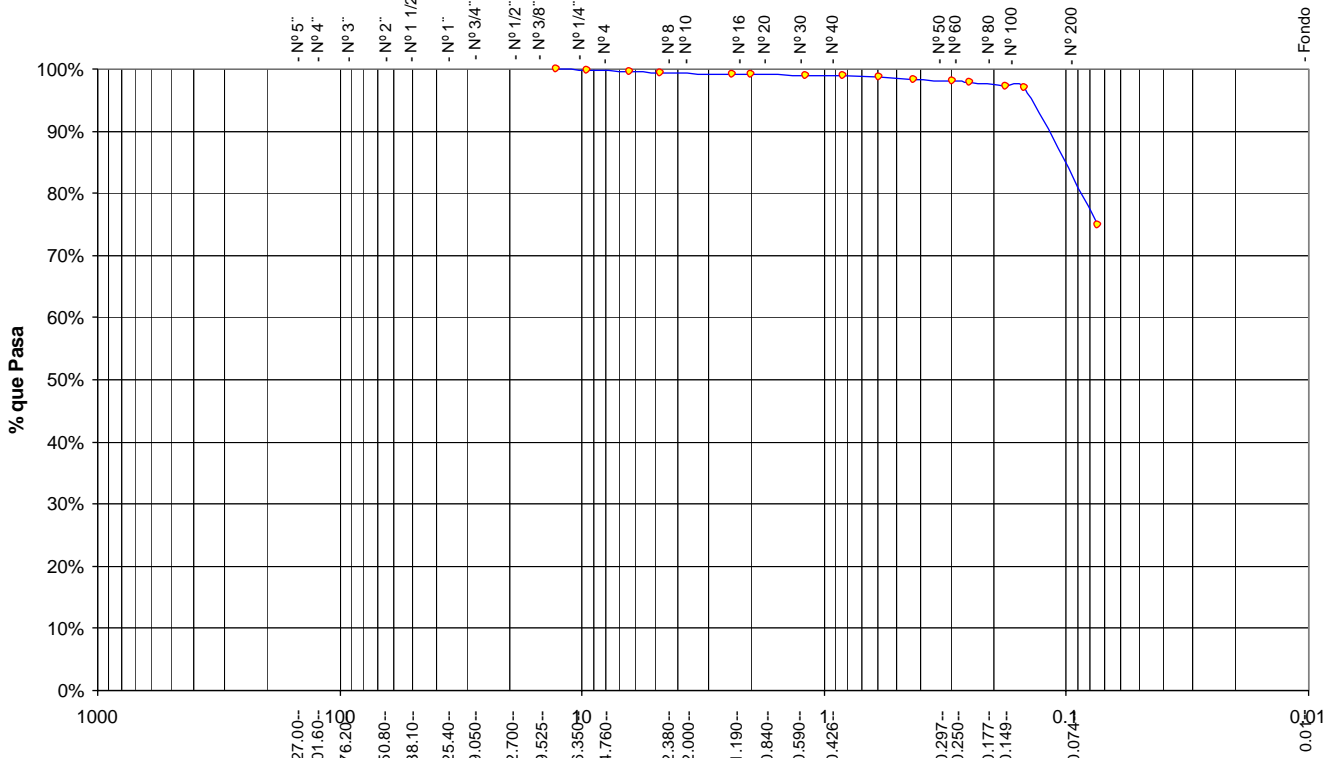
Fecha:

15/05/2004

Análisis Granulométrico por Tamizado ASTM D422

Tamices	Peso Retenido	% Retenido Parcial	% Retenido Acumulado	% Que Pasa	Especificaciones	Tamaño Máximo:	
Ø (mm)						-	
5"	127.00					Modulo de Fineza AF: -	
4"	101.60					Modulo de Fineza AG: -	
3"	76.20					Equivalente de Arena: -	
2"	50.80					Descripción Muestras: Suelo arcilloso color negro oscuro clasificación 8/4	
1 1/2"	38.10						
1"	25.40						
3/4"	19.050						
1/2"	12.700			100.00%			
3/8"	9.525	1.22	0.17%	0.17%	99.83%	SUCS =	
1/4"	6.350	1.35	0.19%	0.37%	99.63%	CL	
Nº 4	4.760	1.38	0.20%	0.56%	99.44%	AASHTO =	
Nº 8	2.380	1.42	0.20%	0.77%	99.23%	A - 6(9)	
Nº 10	2.000	0.44	0.06%	0.83%	99.17%	LL = 35.36 WT = 150.00	
Nº 16	1.190	1.35	0.19%	1.02%	98.98%	LP = 22.84 WT+SAL = 850.00	
Nº 20	0.840	1.02	0.15%	1.17%	98.83%	IP = 12.52 WSAL = 700.00	
Nº 30	0.590	1.35	0.19%	1.36%	98.64%	IG = WT+SDL = 325.19	
Nº 40	0.426	1.95	0.28%	1.64%	98.36%	D 90= - %ARC. = 74.97	
Nº 50	0.297	2.00	0.29%	1.93%	98.07%	D 60= - %ERR. = 0.00	
Nº 60	0.250	1.56	0.22%	2.15%	97.85%	D 30= - Cc = -	
Nº 80	0.177	4.08	0.58%	2.73%	97.27%	D 10= * Cu = -	
Nº 100	0.149	2.66	0.38%	3.11%	96.89%	Observaciones :	
Nº 200	0.074	153.41	21.92%	25.03%	74.97%	El suelo es una arcilla inorganica con 74.97 % de finos , de plasticidad media a elevada color negro compacto con mezcla de materia organica con una resistencia al corte de regul de compresibilidad y expansión de mediana a elevada, contiene raices profundas.	
Fondo	0.01	524.81	74.97%	100.00%	0.00%	% de Humedad Natural de la muestra ensayada	
TOTAL	700.00					Número de tarro = 95	Peso del agua = 36.23
						Peso del tarro = 150	Peso suelo húmedo= 736.23
						Peso del tarro + Mh = 886.23	Peso suelo seco = 700
						Peso del tarro + Ms = 850	% Humedad Muestra= 5.18

Curva Granulométrica



Clasificación - ASTM	Diametro en m.m							
	127.00	101.60	76.20	50.80	38.10	25.40	19.050	
Piedras mayores 3"								
Clasificación - ASTM	GRAVA			ARENA			LIMO	ARCILLA
Clasificación - AASHTO	GRAVA GRUESA	GRAVA MEDIA	GRAVA FINA	ARENA GRUESA	ARENA FINA	LIMO	ARCILLA	



UNIVERSIDAD NACIONAL DE SAN MARTIN
FACULTAD DE INGENIERIA CIVIL
LABORATORIO DE MECANICA DE SUELOS Y PAVIMENTOS

Proyecto: Estudios Mapas de Peligro de Las ciudades de Juanjui, Bellavista y San Hilarión

Localización del Proyecto: Provincia de Bellavista

Muestra I - II

Descripción del Suelo: Suelos arcillosos

Profundidad de la Muestra: 2.10

Hecho Por: Tec. Robert Navarro Mori

Calicata:

C-11

Fecha:

15/05/2004

Determinación del % de Humedad Natural

ASTM D2216

LATA	1	2	3
PESO DE LATA grs	58.63	58.62	60.00
PESO DEL SUELO HUMEDO + LATA grs	123.94	158.64	140.20
PESO DEL SUELO SECO + LATA grs	114.93	144.85	129.10
PESO DEL AGUA grs	9.01	13.79	11.10
PESO DEL SUELO SECO grs	56.30	86.23	69.10
% DE HUMEDAD	16.00	15.99	16.06
PROMEDIO % DE HUMEDAD	16.02		

Determinación del Gravedad Especifico de Solidos

ASTM D854

LATA	1	2
VOL. DEL FRASCO A 20° C.	500.00	500.00
METODO DE REMOCION DEL AIREa	Vacio	Vacio
PESO DEL FRASCO+AGUA+SUELO	792.35	795.25
TEMPERATURA, °C	23.00	23.00
PESO DEL FRASCO+AGUA grs	718.56	733.42
PLATO EVAPORADO N°	48	49
PESO DEL PLATO EVAP+SUELO SECO grs	320.00	300.00
PESO DEL SUELO SECO grs	120.00	100.00
VOLUMEN DE SOLIDOS cm ³	46.21	38.17
GRAVEDAD ESPECIFICA grs/cm ³	2.60	2.62
PROMEDIO grs/cm ³	2.61	

Peso Unitario Volumétrico (Densidad Natural)

ASTM D2937

LATA	1	2	3
PESO DE MOLDE grs	310.00	310.00	310.00
PESO DEL SUELO + MOLDE grs	654.00	660.00	662.00
PESO DEL SUELO SECO grs	379.00	378.00	379.00
VOLUMEN DEL MOLDE cm ³	246.30	246.30	246.30
PESO UNITARIO grs/cm ³	1.54	1.53	1.54
PROMEDIO grs/cm ³	1.537		



UNIVERSIDAD NACIONAL DE SAN MARTIN
FACULTAD DE INGENIERIA CIVIL
LABORATORIO DE MECANICA DE SUELOS Y PAVIMENTOS

Proyecto: Estudios Mapas de Peligro de Las ciudades de Juanjui, Bellavista y san Hilarión

Localización del Proyecto: Provincia de Bellavista

Muestra I - II

Descripción del Suelo: Suelos arcillosos

Profundidad de la Muestra: 2.10

Hecho Por : Tec. Robert navarro mori

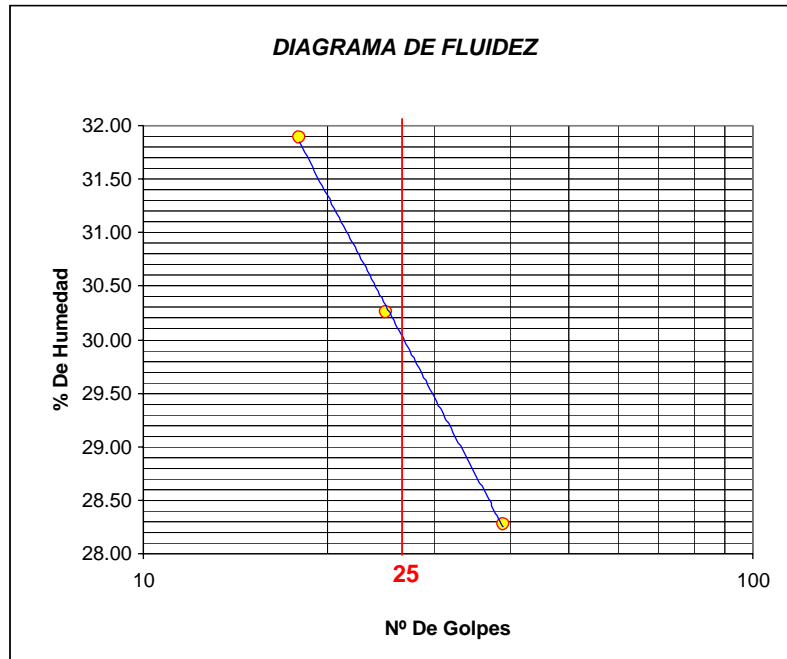
Calicata: C-11

Fecha: 15/05/2004

Determinación del Límite Líquido

ASTM D4318

LATA	1	2	3
PESO DE LATA grs	10.49	10.57	10.36
PESO DEL SUELO HUMEDO + LATA grs	38.74	36.23	36.63
PESO DEL SUELO SECO + LATA grs	31.91	30.27	30.84
PESO DEL AGUA grs	6.83	5.96	5.79
PESO DEL SUELO SECO grs	21.42	19.70	20.48
% DE HUMEDAD	31.89	30.25	28.27
NUMERO DE GOLPES	18	25	39



Límite de Contracción	ND
Límite Líquido	30.25
Límite Plástico	17.79
Índice de Plasticidad Ip	12.46
Clasificación SUCS	SC
Clasificación AASHTO	A-2-6(0)

Determinación del Límite Plástico

ASTM D4318

LATA	1	2	3
PESO DE LATA grs	10.43	10.56	12.53
PESO DEL SUELO HUMEDO + LATA grs	40.56	50.06	35.26
PESO DEL SUELO SECO + LATA grs	36.01	44.09	31.83
PESO DEL AGUA grs	4.55	5.97	3.43
PESO DEL SUELO SECO grs	25.58	33.53	19.30
% DE HUMEDAD	17.79	17.80	17.77
% PROMEDIO	17.79		



UNIVERSIDAD NACIONAL DE SAN MARTIN
FACULTAD DE INGENIERIA CIVIL
LABORATORIO DE MECANICA DE SUELOS Y PAVIMENTOS

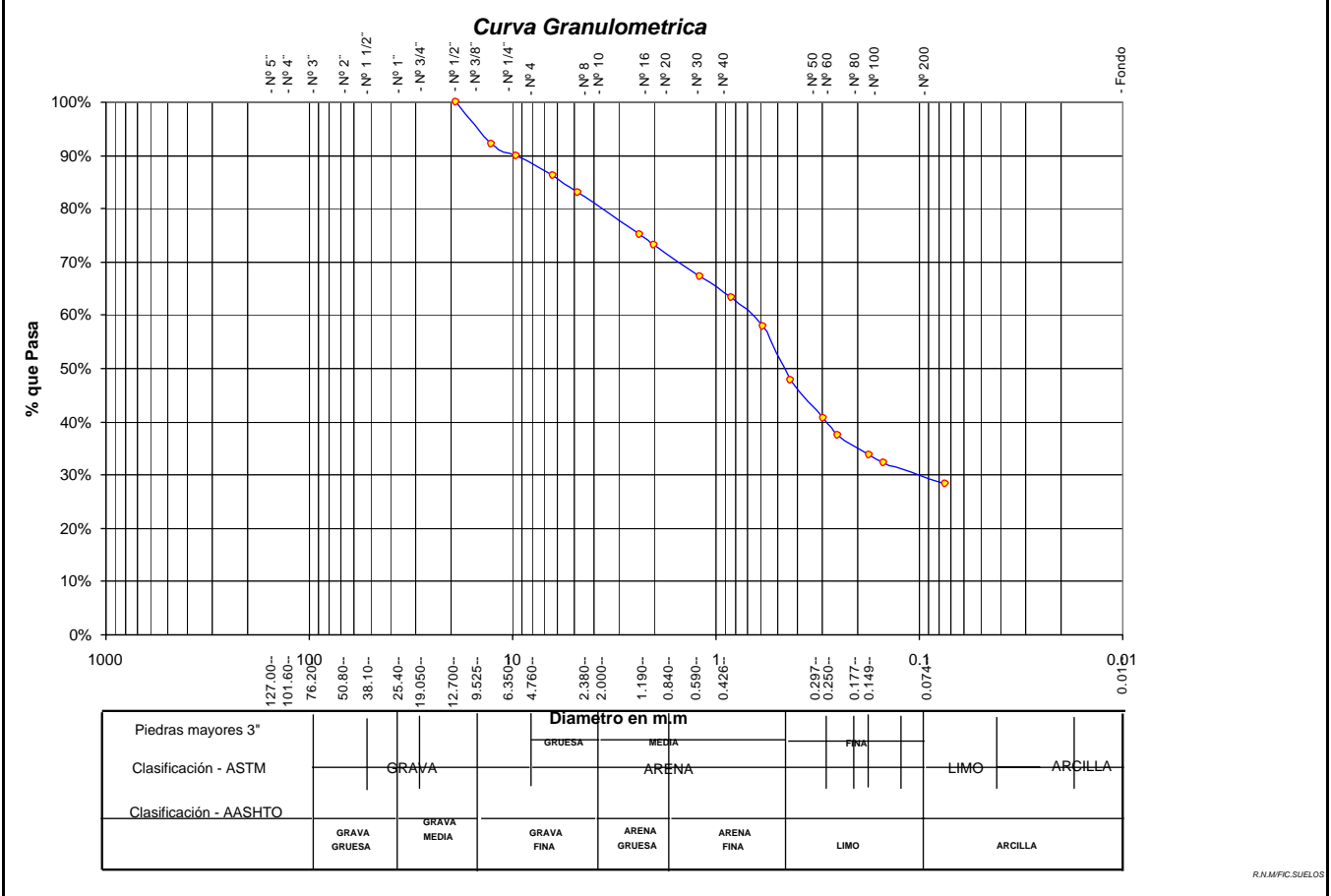
Proyecto: Estudios Mapas de Peligro de Las ciudades de Juanjui, Bellavista y san Hilarion
 Localización del Proyecto: Provincia de Bellavista Muestra I - II
 Descripción del Suelo: Suelos arcillosos Profundidad de la Muestra: 2.10 Calicata: C-11
 Hecho Por: Tec. Robert navarro mori Fecha: 15/05/2004

Análisis Granulométrico por Tamizado

ASTM D422

Tamices	Peso Retenido	% Retenido Parcial	% Retenido Acumulado	% Que Pasa	Especificaciones	Tamaño Máximo:																																								
Ø (mm)						-																																								
5"	127.00					Modulo de Fineza AF: -																																								
4"	101.60					Modulo de Fineza AG: -																																								
3"	76.20					Equivalente de Arena: -																																								
2"	50.80					Descripción Muestras: Suelo arcilloso color amarillo oscuro clasificación 8/2 <table border="1"> <thead> <tr> <th>SUCS =</th> <th>SC</th> <th>AASHTO =</th> <th>A-2-6(0)</th> </tr> </thead> <tbody> <tr> <td>LL =</td> <td>30.25</td> <td>WT =</td> <td>58.46</td> </tr> <tr> <td>LP =</td> <td>17.79</td> <td>WT+SAL =</td> <td>401.30</td> </tr> <tr> <td>IP =</td> <td>12.46</td> <td>WSAL =</td> <td>342.84</td> </tr> <tr> <td>IG =</td> <td></td> <td>WT+SDL =</td> <td>304.57</td> </tr> <tr> <td></td> <td></td> <td>WSDL =</td> <td>246.11</td> </tr> <tr> <td>D 90=</td> <td>-</td> <td>%ARC. =</td> <td>28.21</td> </tr> <tr> <td>D 60=</td> <td>-</td> <td>%ERR. =</td> <td>0.00</td> </tr> <tr> <td>D 30=</td> <td>-</td> <td>Cc =</td> <td>-</td> </tr> <tr> <td>D 10=</td> <td>-</td> <td>Cu =</td> <td>-</td> </tr> </tbody> </table>	SUCS =	SC	AASHTO =	A-2-6(0)	LL =	30.25	WT =	58.46	LP =	17.79	WT+SAL =	401.30	IP =	12.46	WSAL =	342.84	IG =		WT+SDL =	304.57			WSDL =	246.11	D 90=	-	%ARC. =	28.21	D 60=	-	%ERR. =	0.00	D 30=	-	Cc =	-	D 10=	-	Cu =	-
SUCS =	SC	AASHTO =	A-2-6(0)																																											
LL =	30.25	WT =	58.46																																											
LP =	17.79	WT+SAL =	401.30																																											
IP =	12.46	WSAL =	342.84																																											
IG =		WT+SDL =	304.57																																											
		WSDL =	246.11																																											
D 90=	-	%ARC. =	28.21																																											
D 60=	-	%ERR. =	0.00																																											
D 30=	-	Cc =	-																																											
D 10=	-	Cu =	-																																											
1 1/2"	38.10																																													
1"	25.40																																													
3/4"	19.050			100.00%																																										
1/2"	12.700	27.23	7.94%	92.06%																																										
3/8"	9.525	7.01	2.04%	90.01%																																										
1/4"	6.350	12.65	3.69%	86.32%																																										
Nº 4	4.760	11.32	3.30%	83.02%																																										
Nº 8	2.380	26.83	7.83%	75.20%																																										
Nº 10	2.000	7.34	2.14%	73.05%																																										
Nº 16	1.190	19.93	5.81%	67.24%																																										
Nº 20	0.840	13.86	4.04%	63.20%																																										
Nº 30	0.590	18.41	5.37%	57.83%																																										
Nº 40	0.426	34.71	10.12%	47.70%																																										
Nº 50	0.297	24.34	7.10%	40.60%																																										
Nº 60	0.250	10.75	3.14%	37.47%																																										
Nº 80	0.177	12.94	3.77%	33.70%																																										
Nº 100	0.149	4.52	1.32%	32.38%																																										
Nº 200	0.074	14.27	4.16%	28.21%																																										
Fondo	0.01	96.73	28.21%	0.00%																																										
TOTAL		342.84			A B	Peso del tarro = 96 Peso del agua = 17.6 Peso del tarro = 58.46 Peso suelo húmedo = 360.44 Peso del tarro + Mh = 418.9 Peso suelo seco = 342.84 Peso del tarro + Ms = 401.3 % Humedad Muestra = 5.13																																								

Observaciones:
 El suelo es una arcilla arenosa compacta con 28.21 % de finos, de plasticidad mediana a elevada color amarillo claro con una resistencia al corte de regular, de compresibilidad y expansión baja, con mezcla de rocas de diámetros de 2" hasta de 5" (Rocas areniscas cuarzosas)





UNIVERSIDAD NACIONAL DE SAN MARTIN
FACULTAD DE INGENIERIA CIVIL
LABORATORIO DE MECANICA DE SUELOS Y PAVIMENTOS

Proyecto: Estudio de Mapas de Peligro de las Ciudades de Juanjui, Bellavista y San Hilarión.

Localización del proyecto : Provincia de Bellavista


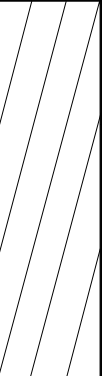
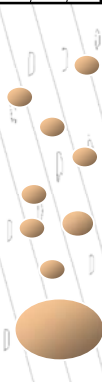
Descripción del suelo : Mezcla de arena arcilla y gravas.

Prof. De la muestra : 2.90 m.

Realizado por : Téc. R.N.M. **Calicata:** 11 MI - MI

Fecha de Ensayo: 15/05/04

REGISTRO DE EXCAVACIÓN

COTA m	ESPESOR m	HUMEDAD %	CLASIFICACION			DESCRIPCION DEL SUELO
			AASHTO	SUCS	SIMBOLO	
0.00						
0.15	0.15	27.00%		Pt		Material organico color negro con mezcla de arcilla y arena, presentando raices que se profundizan hasta 0.13 m
0.90	0.75	19.83%	A-6(9)	CL		Suelo arcilloso inorganica compacta con 74.97% de finos, plasticidad elevada, color negro con mezcla de arena Con una resistencia al corte regular, compresibilidad y expansión de medianos a elevados en condición saturada. Con incrustaciones de gravas areniscas de 1" a 1 1/2" en un 25% de la muestra ensayada, contiene raices profundas
3.00	2.10	16.02%	A-2-6(0)	SC		El suelo es una arcilla arenosa compacta con 28.21 % de finos , de plasticidad mediana en condición saturada color amarillo oscuro con trazas de arcilla negra con una resistencia al corte de regular a bueno, de compresibilidad. y expansión baja, con mezcla de rocas de diametros de 2" hasta de 8" (Rocas areniscas cuarzosas)

OBSERVACIONES : _____



UNIVERSIDAD NACIONAL DE SAN MARTIN
FACULTAD DE INGENIERIA CIVIL
LABORATORIO DE MECANICA DE SUELOS Y PAVIMENTOS

Proyecto: Estudios Mapas de Peligro de Las ciudades de Juanjui, Bellavista y San Hilarión

Localización del Proyecto: Provincia de Bellavista

Muestra I

Descripción del Suelo: Suelos arcillosos

Profundidad de la Muestra: 0.75

Hecho Por: Tec. Robert Navarro Mori

Calicata:

C-12

Fecha:

15/05/2004

Determinación del % de Humedad Natural

ASTM D2216

LATA	1	2	3
PESO DE LATA grs	34.70	31.90	36.15
PESO DEL SUELO HUMEDO + LATA grs	107.70	107.71	105.70
PESO DEL SUELO SECO + LATA grs	88.20	88.21	87.64
PESO DEL AGUA grs	19.50	19.50	18.06
PESO DEL SUELO SECO grs	53.50	56.31	51.49
% DE HUMEDAD	36.45	34.63	35.07
PROMEDIO % DE HUMEDAD	35.38		

Determinación del Gravedad Especifico de Solidos

ASTM D854

LATA	1	2
VOL. DEL FRASCO A 20° C.	500.00	500.00
METODO DE REMOCION DEL AIREa	Vacio	Vacio
PESO DEL FRASCO+AGUA+SUELO	711.25	719.00
TEMPERATURA, °C	23.00	23.00
PESO DEL FRASCO+AGUA grs	650.45	652.00
PLATO EVAPORADO N°	98	99
PESO DEL PLATO EVAP+SUELO SECO grs	300.00	310.00
PESO DEL SUELO SECO grs	100.00	110.00
VOLUMEN DE SOLIDOS cm3	39.20	43.00
GRAVEDAD ESPECIFICA grs/cm3	2.55	2.56
PROMEDIO grs/cm3	2.55	

Peso Unitario Volumétrico (Densidad Natural)

ASTM D2937

LATA	1	2	3
PESO DE MOLDE grs	306.00	306.00	306.00
PESO DEL SUELO + MOLDE grs	675.00	678.00	677.00
PESO DEL SUELO SECO grs	369.00	372.00	371.00
VOLUMEN DEL MOLDE cm3	246.30	246.30	246.30
PESO UNITARIO grs/cm3	1.50	1.51	1.51
PROMEDIO grs/cm3	1.505		

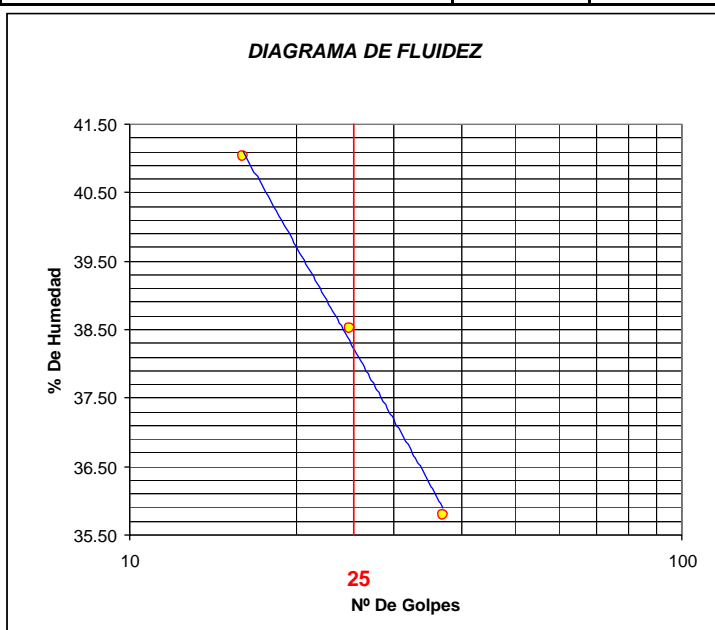


UNIVERSIDAD NACIONAL DE SAN MARTIN
FACULTAD DE INGENIERIA CIVIL
LABORATORIO DE MECANICA DE SUELOS Y PAVIMENTOS

Proyecto: Estudios Mapas de Peligro de Las ciudades de Juanjui, Bellavista y san Hilarión
 Localización del Proyecto: Provincia de Bellavista Muestra: I
 Descripción del Suelo: Suelos arcillosos Profundidad de la Muestra: 0.75
 Hecho Por: Tec. Robert navarro mori Calicata: C-12 Fecha: 15/05/2004

Determinación del Límite Líquido ASTM D4318

LATA	1	2	3
PESO DE LATA grs	38.00	35.61	38.35
PESO DEL SUELO HUMEDO + LATA grs	79.90	73.98	74.58
PESO DEL SUELO SECO + LATA grs	67.71	63.31	65.03
PESO DEL AGUA grs	12.19	10.67	9.55
PESO DEL SUELO SECO grs	29.71	27.70	26.68
% DE HUMEDAD	41.03	38.52	35.79
NUMERO DE GOLPES	16	25	37



Límite de Contracción	11.75
Límite Líquido	38.52
Límite Plástico	24.43
Índice de Plasticidad Ip	14.09
Clasificación SUCS	CL
Clasificación AASHTO	NC

Determinación del Límite Plástico ASTM D4318

LATA	1	2	3
PESO DE LATA grs	35.79	44.36	38.26
PESO DEL SUELO HUMEDO + LATA grs	64.25	74.79	70.61
PESO DEL SUELO SECO + LATA grs	58.64	68.83	64.27
PESO DEL AGUA grs	5.61	5.96	6.34
PESO DEL SUELO SECO grs	22.85	24.47	26.01
% DE HUMEDAD	24.55	24.36	24.38
% PROMEDIO	24.43		

LÍMITE DE CONTRACCION ASTM D427	
Ensayo Nº	1
Peso Rec + Suelo húmedo Gr.	37.25
Peso Rec + Suelo seco Gr.	31.03
Peso de rec. De contracción Gr.	10.42
Peso del suelo seco Gr.	19.23
Peso del agua Gr.	6.22
Humedad %	32.35
Volumen Inicial (Suelo Húmedo) cm3	15.64
Volumen Final (Suelo Seco) cm3	11.68
Límite de Contracción %	11.75
Relación de Contracción	1.65



UNIVERSIDAD NACIONAL DE SAN MARTIN
FACULTAD DE INGENIERIA CIVIL
LABORATORIO DE MECANICA DE SUELOS Y PAVIMENTOS

Proyecto: Estudios Mapas de Peligro de Las ciudades de Juanjui, Bellavista y san Hilarión
 Localización del Proyecto: Provincia de Bellavista Muestra: I
 Descripción del Suelo: Suelos arcillosos Profundidad de la Muestra: 0.75 Caicata: C-12
 Hecho Por: Tec. Robert navarro mori Fecha: 15/05/2004

Análisis Granulométrico por Tamizado

ASTM D422

Tamices		Peso Retenido		% Retenido Parcial	% Retenido Acumulado	% Que Pasa	Especificaciones	Tamaño Máximo:
Ø	(mm)	Retenido	Parcial	Acumulado				
5"	127.00							-
4"	101.60							-
3"	76.20							-
2"	50.80							-
1 1/2"	38.10							-
1"	25.40							-
3/4"	19.050							-
1/2"	12.700							-
3/8"	9.525					100.00%		-
1/4"	6.350	0.43	0.06%	0.06%	99.94%			-
Nº 4	4.760	0.00	0.00%	0.06%	99.94%			-
Nº 8	2.380	4.81	0.69%	0.75%	99.25%			-
Nº 10	2.000	0.78	0.11%	0.86%	99.14%			-
Nº 16	1.190	2.44	0.35%	1.21%	98.79%			-
Nº 20	0.840	1.96	0.28%	1.49%	98.51%			-
Nº 30	0.590	2.60	0.37%	1.86%	98.14%			-
Nº 40	0.426	2.92	0.42%	2.28%	97.72%			-
Nº 50	0.297	2.48	0.35%	2.63%	97.37%			-
Nº 60	0.250	1.62	0.23%	2.86%	97.14%			-
Nº 80	0.177	3.65	0.52%	3.38%	96.62%			-
Nº 100	0.149	1.80	0.26%	3.64%	96.36%			-
Nº 200	0.074	3.56	0.51%	4.15%	95.85%			-
Fondo	0.01	670.95	95.85%	100.00%	0.00%			-
TOTAL		700.00					A B	

SUCS =	CL	AASHTO =	NC
LL =	38.52	WT =	58.66
LP =	24.43	WT+SAL =	758.66
IP =	14.09	WSAL =	700.00
IG =		WT+SDL =	87.71
		WSDL =	29.05
D 90=	-	%ARC. =	95.85
D 60=	-	%ERR. =	0.00
D 30=	-	Cc =	-
D 10=	*	Cu =	-

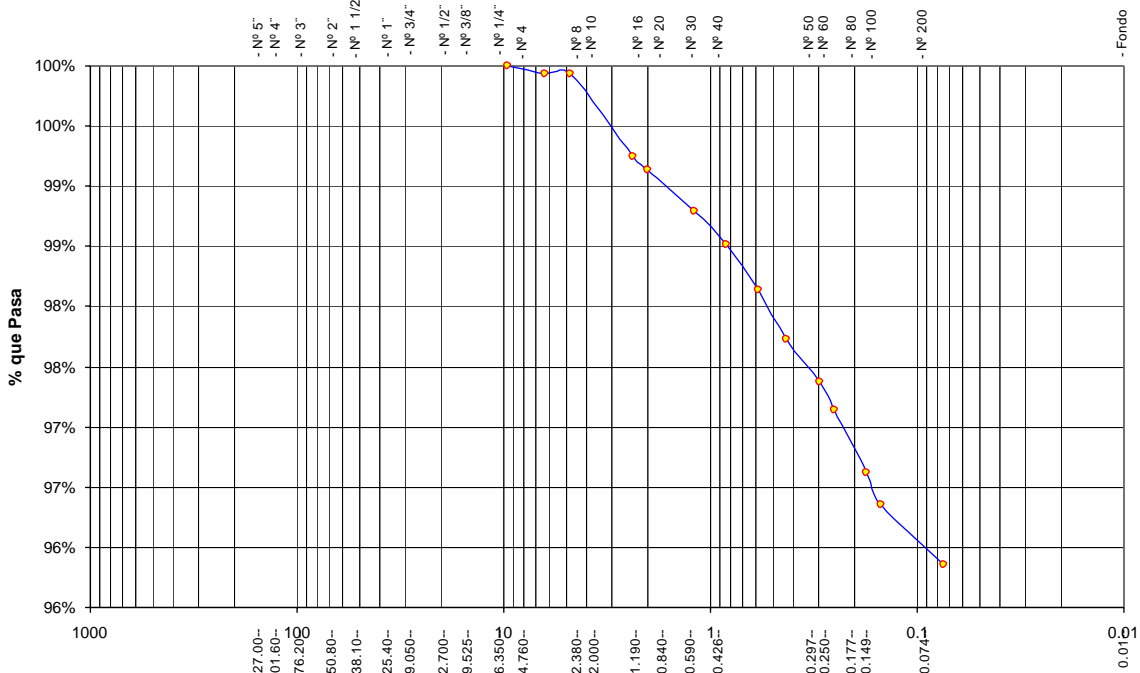
Descripción Muestras:
Suelo arcilloso color negro oscuro clasificación 8/4

Observaciones:
El suelo es una arcilla inorgánica con 74.97 % de finos, de plasticidad media a elevada color negro compacto con mezcla de materia orgánica con una resistencia al corte de regular, de compresibilidad y expansión de mediana a elevada, contiene raíces profundas.

% de Humedad Natural de la muestra ensayada

Número de tarro =	95	Peso del agua =	36.23
Peso del tarro =	150	Peso suelo húmedo=	736.23
Peso del tarro + Mh =	886.23	Peso suelo seco =	700
Peso del tarro + Ms =	850	% Humedad Muestra=	5.18

Curva Granulométrica



Piedras mayores 3"	Diametro en m.m						
	GRAVA			ARENA		LIMO - ARCILLA	
Clasificación - ASTM	GRAVA			ARENA		LIMO - ARCILLA	
Clasificación - AASHTO	GRAVA GRUESA	GRAVA MEDIA	GRAVA FINA	ARENA GRUESA	ARENA FINA	LIMO	ARCILLA



UNIVERSIDAD NACIONAL DE SAN MARTIN
FACULTAD DE INGENIERIA CIVIL
LABORATORIO DE MECANICA DE SUELOS Y PAVIMENTOS

Proyecto: Estudios Mapas de Peligro de Las ciudades de Juanjui, Bellavista y San Hilarión

Localización del Proyecto: Provincia de Bellavista

Muestra I - II

Descripción del Suelo: Suelos arcillosos

Profundidad de la Muestra: 2.05

Hecho Por: Tec. Robert Navarro Mori

Calicata:

C-11

Fecha:

25/05/2004

Determinación del % de Humedad Natural

ASTM D2216

LATA	1	2	3
PESO DE LATA grs	58.80	58.75	58.72
PESO DEL SUELO HUMEDO + LATA grs	124.00	159.01	140.20
PESO DEL SUELO SECO + LATA grs	115.20	145.30	129.10
PESO DEL AGUA grs	8.80	13.71	11.10
PESO DEL SUELO SECO grs	56.40	86.55	70.38
% DE HUMEDAD	15.60	15.84	15.77
PROMEDIO % DE HUMEDAD	15.74		

Determinación del Gravedad Especifico de Solidos

ASTM D854

LATA	1	2
VOL. DEL FRASCO A 20° C.	500.00	500.00
METODO DE REMOCION DEL AIREa	Vacio	Vacio
PESO DEL FRASCO+AGUA+SUELO	792.35	795.25
TEMPERATURA, °C	23.00	23.00
PESO DEL FRASCO+AGUA grs	718.56	733.42
PLATO EVAPORADO N°	48	49
PESO DEL PLATO EVAP+SUELO SECO grs	320.00	300.00
PESO DEL SUELO SECO grs	120.00	100.00
VOLUMEN DE SOLIDOS cm ³	46.21	38.17
GRAVEDAD ESPECIFICA grs/cm ³	2.60	2.62
PROMEDIO grs/cm ³	2.61	

Peso Unitario Volumétrico (Densidad Natural)

ASTM D2937

LATA	1	2	3
PESO DE MOLDE grs	310.00	310.00	310.00
PESO DEL SUELO + MOLDE grs	654.00	660.00	662.00
PESO DEL SUELO SECO grs	379.00	378.00	379.00
VOLUMEN DEL MOLDE cm ³	246.30	246.30	246.30
PESO UNITARIO grs/cm ³	1.54	1.53	1.54
PROMEDIO grs/cm ³	1.537		

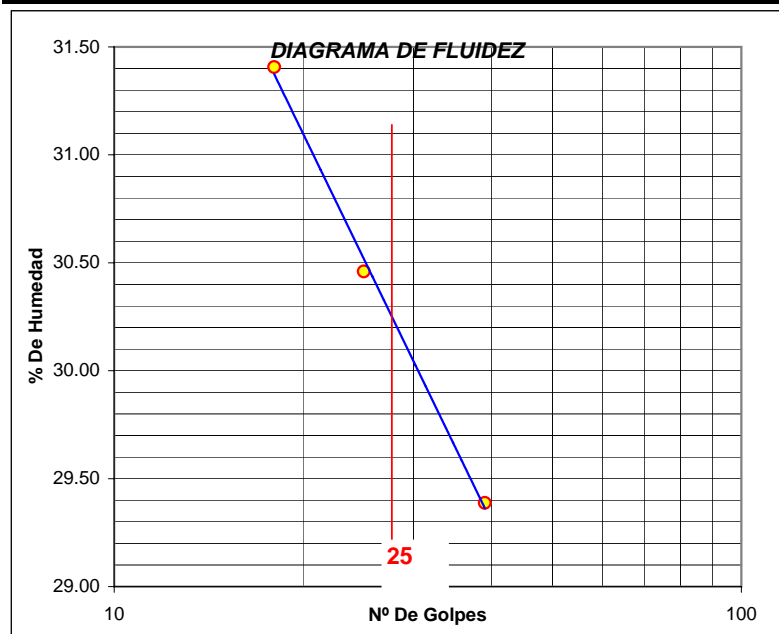


UNIVERSIDAD NACIONAL DE SAN MARTIN
FACULTAD DE INGENIERIA CIVIL
LABORATORIO DE MECANICA DE SUELOS Y PAVIMENTOS

Proyecto: Estudios Mapas de Peligro de Las ciudades de Juanjui, Bellavista y san Hilarión
 Localización del Proyecto: Provincia de Bellavista Muestra I - II
 Descripción del Suelo: Suelos arcillosos Profundidad de la Muestra: 2.05
 Hecho Por: Tec. Robert navarro mori Calicata: C-11 Fecha: 25/05/2004

Determinación del Límite Líquido ASTM D4318

LATA	1	2	3
PESO DE LATA grs	15.23	15.24	15.68
PESO DEL SUELO HUMEDO + LATA grs	44.56	58.37	44.21
PESO DEL SUELO SECO + LATA grs	37.55	48.30	37.73
PESO DEL AGUA grs	7.01	10.07	6.48
PESO DEL SUELO SECO grs	22.32	33.06	22.05
% DE HUMEDAD	31.41	30.46	29.39
NUMERO DE GOLPES	18	25	39



Límite de Contracción	ND
Límite Líquido	30.46
Límite Plástico	17.07
Índice de Plasticidad Ip	13.39
Clasificación SUCS	SC
Clasificación AASHTO	A-2-6(0)

Determinación del Límite Plástico ASTM D4318

LATA	1	2	3
PESO DE LATA grs	22.54	58.67	58.66
PESO DEL SUELO HUMEDO + LATA grs	52.36	78.52	88.56
PESO DEL SUELO SECO + LATA grs	48.02	75.62	84.20
PESO DEL AGUA grs	4.34	2.90	4.36
PESO DEL SUELO SECO grs	25.48	16.95	25.54
% DE HUMEDAD	17.03	17.11	17.07
% PROMEDIO	17.07		



UNIVERSIDAD NACIONAL DE SAN MARTIN
FACULTAD DE INGENIERIA CIVIL
LABORATORIO DE MECANICA DE SUELOS Y PAVIMENTOS

Proyecto: Estudios Mapas de Peligro de Las ciudades de Juanjui, Bellavista y san Hilarión

Localización del Proyecto: Provincia de Bellavista

Descripción del Suelo: Suelos arcillosos Profundidad de la Muestra:

Muestra

I - II

Hecho Por : Tec. Robert navarro mori

Calicata: C-11

Fecha: 25/05/2004

Análisis Granulométrico por Tamizado ASTM D422

Tamices		Peso Retenido	% Retenido Parcial	% Retenido Acumulado	% Que Pasa	Especificaciones	Tamaño Máximo:
Ø	(mm)						-
5"	127.00						Modulo de Fineza AF: -
4"	101.60						Modulo de Fineza AG: -
3"	76.20						Equivalente de Arena: -
2"	50.80						Descripción Muestras: Suelo arcilloso color amarillo oscuro clasificación 8/2
1 1/2"	38.10						
1"	25.40						
3/4"	19.050				100.00%		
1/2"	12.700	22.56	6.53%	6.53%	93.47%		
3/8"	9.525	0.00	0.00%	6.53%	93.47%		
1/4"	6.350	12.65	3.66%	10.19%	89.81%		
Nº 4	4.760	11.32	3.27%	13.46%	86.54%		
Nº 8	2.380	25.00	7.23%	20.69%	79.31%		
Nº 10	2.000	8.56	2.48%	23.17%	76.83%		
Nº 16	1.190	20.00	5.79%	28.96%	71.04%		
Nº 20	0.840	14.00	4.05%	33.01%	66.99%		
Nº 30	0.590	18.56	5.37%	38.38%	61.62%		
Nº 40	0.426	33.02	9.55%	47.93%	52.07%		
Nº 50	0.297	25.00	7.23%	55.16%	44.84%		
Nº 60	0.250	11.23	3.25%	58.41%	41.59%		
Nº 80	0.177	13.45	3.89%	62.30%	37.70%		
Nº 100	0.149	5.89	1.70%	64.01%	35.99%		
Nº 200	0.074	15.00	4.34%	68.35%	31.65%		
Fondo	0.01	109.41	31.65%	100.00%	0.00%		
TOTAL		345.65					

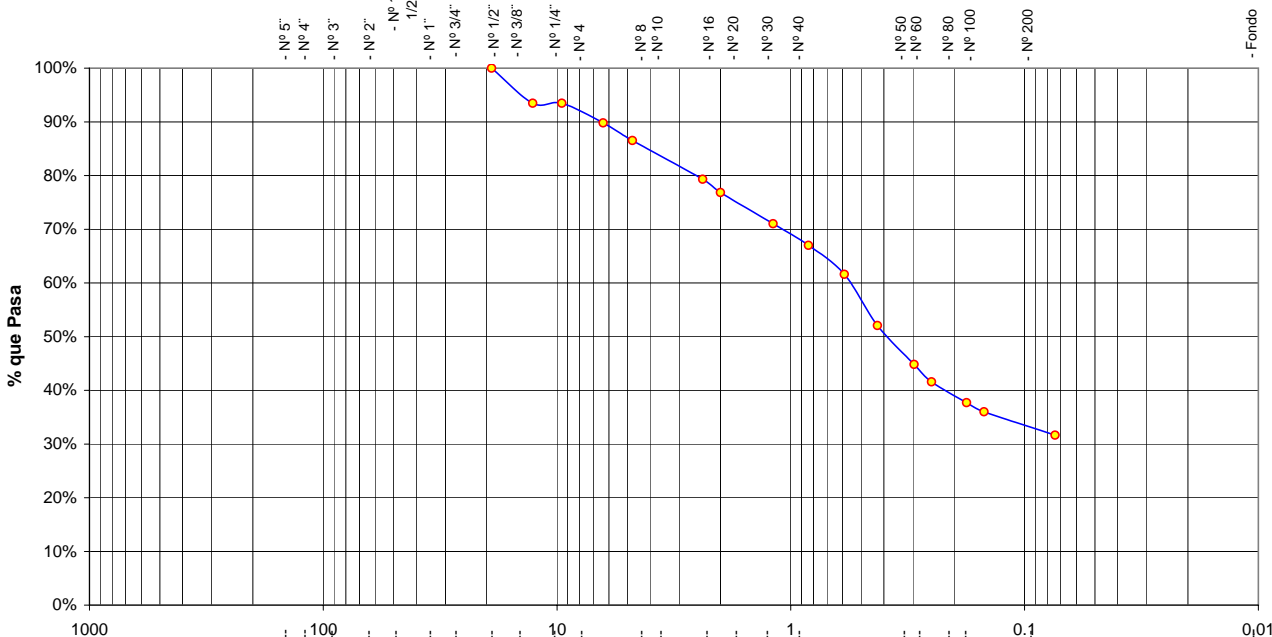
SUCS =		SC	AASHTO =		A-2-6(0)
LL	=	30.46	WT	=	58.70
LP	=	17.07	WT+SAL	=	404.35
IP	=	13.39	WSAL	=	345.65
IG	=		WT+SDL	=	294.94
			WSDL	=	236.24
D 90=	-		%ARC.	=	31.65
D 60=	-		%ERR.	=	0.00
D 30=	-		Cc	=	-
D 10=	-		Cu	=	-

Observaciones :
 El suelo es una arcilla arenosa compacta con 31.65% de finos, de plasticidad mediana a elevada color amarillo oscuro con una resistencia al corte de regular, de compresibilidad y expansión baja, con mezcla de rocas de diámetros de 2" hasta de 4" (Rocas areniscas cuarzosas)

% de Humedad Natural de la muestra ensayada

Número de tarro =	108	Peso del agua =	8
Peso del tarro =	58.7	Peso suelo húmedo =	353.65
Peso del tarro + Mh =	412.35	Peso suelo seco =	345.65
Peso del tarro + Ms =	404.35	% Humedad Muestra =	2.31

Curva Granulométrica





UNIVERSIDAD NACIONAL DE SAN MARTIN
FACULTAD DE INGENIERIA CIVIL
LABORATORIO DE MECANICA DE SUELOS Y PAVIMENTOS

Proyecto: Estudio de Mapas de Peligro de las Ciudades de Juanjui, Bellavista y San Hilarión.

Localización del proyecto : Provincia de Bellavista


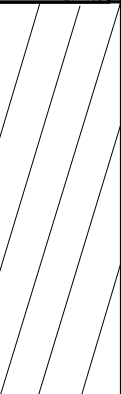
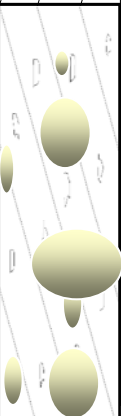
Descripción del suelo : Suelo arcilloso color amarillo oscuro clasificación 8/2

Prof. De la muestra : 3.00 m.

Realizado por : Téc. R.N.M. **Calicata:** 12 MI - MI

Fecha de Ensayo: 15/05/04

REGISTRO DE EXCAVACIÓN

COTA m	ESPESOR m	HUMEDAD %	CLASIFICACION			DESCRIPCION DEL SUELO
			AASHTO	SUCS	SIMBOLO	
0.00						
0.20	0.20	16.00%		Pt		<i>Material organico color negro con mezcla de arcilla y arena, presentando raices que se profundizan hasta 0.13 m</i>
0.95	0.75	35.38%	NC	CL		<i>Suelo arcilloso inorganica compacta con 95.85% de finos, plasticidad elevada, color negro con mezcla de arena Con una resistencia al corte regular, compresibilidad y expansión de medianos a elevados en condición saturada. Con incrustaciones de gravas areniscas de 1" a 3" en un 10% de la muestra ensayada, contiene raices profundas</i>
3.00	2.05	15.74%	A-2-6(0)	SC		<i>El suelo es una arcilla arenosa compacta con 31.65 % de finos , de plasticidad mediana a elevada en condición saturada color amarillo oscuro con trazas de arcilla negra con una resistencia al corte de regular a bueno, de compresibilidad. y expansión baja, con mezcla de rocas de diámetros de 2" hasta de 6" (Rocas areniscas cuarzosas) a partir de 2.20 se hace difícil la excavación manual por tener boloneras</i>

OBSERVACIONES : _____



UNIVERSIDAD NACIONAL DE SAN MARTIN
FACULTAD DE INGENIERIA CIVIL
LABORATORIO DE MECANICA DE SUELOS Y PAVIMENTOS

Proyecto: Estudios Mapas de Peligro de Las ciudades de Juanjui, Bellavista y San Hilarión

Localización del Proyecto: Provincia de Bellavista

Muestra I

Descripción del Suelo: Suelos arcillosos

Profundidad de la Muestra: 0.45

Hecho Por: Tec. Robert Navarro Mori

Calicata:

C-13

Fecha:

24/05/2004

Determinación del % de Humedad Natural

ASTM D2216

LATA	1	2	3
PESO DE LATA grs	37.95	38.54	33.31
PESO DEL SUELO HUMEDO + LATA grs	159.72	155.55	150.14
PESO DEL SUELO SECO + LATA grs	144.28	140.97	135.29
PESO DEL AGUA grs	15.44	14.58	14.85
PESO DEL SUELO SECO grs	106.33	102.43	101.98
% DE HUMEDAD	14.52	14.23	14.56
PROMEDIO % DE HUMEDAD	14.44		

Determinación del Gravedad Especifico de Solidos

ASTM D854

LATA	1	2
VOL. DEL FRASCO A 20° C.	500.00	500.00
METODO DE REMOCION DEL AIREa	Vacio	Vacio
PESO DEL FRASCO+AGUA+SUELO	736.02	730.05
TEMPERATURA, °C	23.00	23.00
PESO DEL FRASCO+AGUA grs	662.72	662.72
PLATO EVAPORADO N°	35	36
PESO DEL PLATO EVAP+SUELO SECO grs	320.00	310.00
PESO DEL SUELO SECO grs	120.00	110.00
VOLUMEN DE SOLIDOS cm ³	46.70	42.67
GRAVEDAD ESPECIFICA grs/cm ³	2.57	2.58
PROMEDIO grs/cm ³	2.57	

Peso Unitario Volumétrico (Densidad Natural)

ASTM D2937

LATA	1	2	3
PESO DE MOLDE grs	306.00	306.00	306.00
PESO DEL SUELO + MOLDE grs	672.00	677.00	677.00
PESO DEL SUELO SECO grs	366.00	371.00	371.00
VOLUMEN DEL MOLDE cm ³	246.30	246.30	246.30
PESO UNITARIO grs/cm ³	1.49	1.51	1.51
PROMEDIO grs/cm ³	1.500		

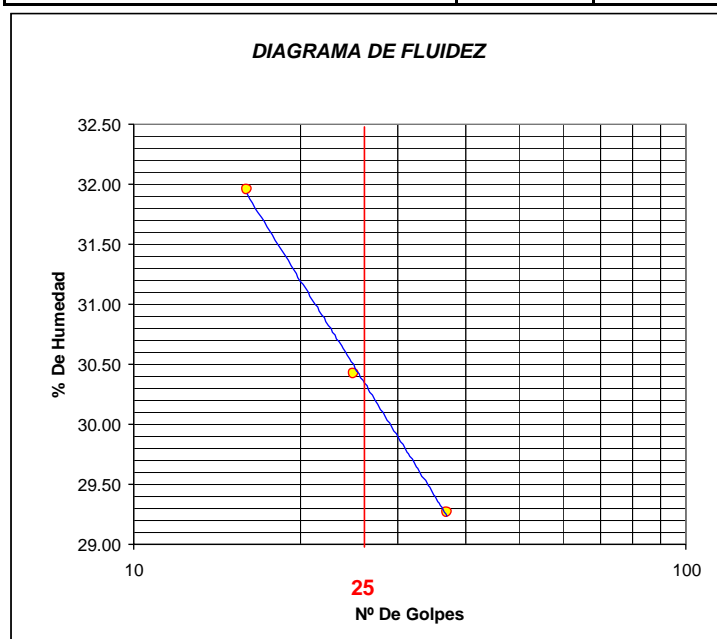


UNIVERSIDAD NACIONAL DE SAN MARTIN
FACULTAD DE INGENIERIA CIVIL
LABORATORIO DE MECANICA DE SUELOS Y PAVIMENTOS

Proyecto: Estudios Mapas de Peligro de Las ciudades de Juanjui, Bellavista y san Hilarión
 Localización del Proyecto: Provincia de Bellavista Muestra: I
 Descripción del Suelo: Suelos arcillosos Profundidad de la Muestra: 0.45
 Hecho Por: Tec. Robert navarro mori Calicata: C-13 Fecha: 24/05/2004

Determinación del Límite Líquido ASTM D4318

LATA	1	2	3
PESO DE LATA grs	33.36	36.56	28.66
PESO DEL SUELO HUMEDO + LATA grs	92.70	96.28	82.45
PESO DEL SUELO SECO + LATA grs	78.33	82.35	70.27
PESO DEL AGUA grs	14.37	13.93	12.18
PESO DEL SUELO SECO grs	44.97	45.79	41.61
% DE HUMEDAD	31.95	30.42	29.27
NUMERO DE GOLPES	16	25	37



Límite de Contracción	11.65
Límite Líquido	30.42
Límite Plástico	16.61
Índice de Plasticidad Ip	13.81
Clasificación SUCS	CL
Clasificación AASHTO	A-6(6)

Determinación del Límite Plástico ASTM D4318

LATA	1	2	3
PESO DE LATA grs	31.40	31.45	31.89
PESO DEL SUELO HUMEDO + LATA grs	51.53	51.52	51.49
PESO DEL SUELO SECO + LATA grs	48.63	48.65	48.74
PESO DEL AGUA grs	2.90	2.87	2.75
PESO DEL SUELO SECO grs	17.23	17.20	16.85
% DE HUMEDAD	16.83	16.69	16.32
% PROMEDIO	16.61		

LIMITE DE CONTRACCION ASTM D427	
Ensayo Nº	1
Peso Rec + Suelo húmedo Gr.	37.28
Peso Rec + Suelo seco Gr.	31.09
Peso de rec. De contracción Gr.	10.42
Peso del suelo seco Gr.	19.55
Peso del agua Gr.	6.19
Humedad %	31.66
Volumen Inicial (Suelo Húmedo) cm3	15.66
Volumen Final (Suelo Seco) cm3	11.73
Límite de Contracción %	11.55
Relación de Contracción	1.67



UNIVERSIDAD NACIONAL DE SAN MARTIN

FACULTAD DE INGENIERIA CIVIL
LABORATORIO DE MECANICA DE SUELOS Y PAVIMENTOS

Proyecto: Estudios Mapas de Peligro de Las ciudades de Juanjui, Bellavista y san Hilarion

Localización del Proyecto: Provincia de Bellavista

Muestra I

Descripción del Suelo: Suelos arcillosos

Profundidad de la Muestra:

0.45

Calicata: C-13

24/05/2004

Hecho Por : Tec. Robert navarro mori

Fecha:

24/05/2004

Analisis Granulométrico por Tamizado

ASTM D422

Tamices		Peso Retenido	% Retenido Parcial	% Retenido Acumulado	% Que Pasa	Especificaciones	Tamaño Máximo:
Ø	(mm)						-
5"	127.00						Modulo de Fineza AF: -
4"	101.60						Modulo de Fineza AG: -
3"	76.20						Equivalente de Arena: -
2"	50.80						Descripción Muestras: Suelo arcilloso color negro oscuro clasificación 8/4
1 1/2"	38.10						
1"	25.40						
3/4"	19.050				100.00%		
1/2"	12.700	8.45	0.99%	0.99%	99.01%		
3/8"	9.525	3.14	0.37%	1.35%	98.65%		SUCS =
1/4"	6.350	6.70	0.78%	2.13%	97.87%		CL
Nº 4	4.760	3.97	0.46%	2.60%	97.40%		AASHTO =
Nº 8	2.380	12.40	1.45%	4.04%	95.96%		A-6(6)
Nº 10	2.000	2.30	0.27%	4.31%	95.69%		LL = 30.42 WT = 58.24
Nº 16	1.190	6.53	0.76%	5.08%	94.92%		LP = 16.61 WT+SAL = 915.16
Nº 20	0.840	4.59	0.54%	5.61%	94.39%		IP = 13.81 WSAL = 856.92
Nº 30	0.590	7.19	0.84%	6.45%	93.55%		IG = WT+SDL = 459.16
Nº 40	0.426	14.70	1.72%	8.17%	91.83%		D 90= - WSDL = 400.92
Nº 50	0.297	16.12	1.88%	10.05%	89.95%		D 60= - %ARC. = 58.23
Nº 60	0.250	15.89	1.85%	11.90%	88.10%		D 30= - %ERR. = 0.00
Nº 80	0.177	68.12	7.95%	19.85%	80.15%		D 10= - Cc = -
Nº 100	0.149	74.32	8.67%	28.52%	71.48%		
Nº 200	0.074	113.51	13.25%	41.77%	58.23%		
Fondo	0.01	498.99	58.23%	100.00%	0.00%		
TOTAL		856.92				A B	

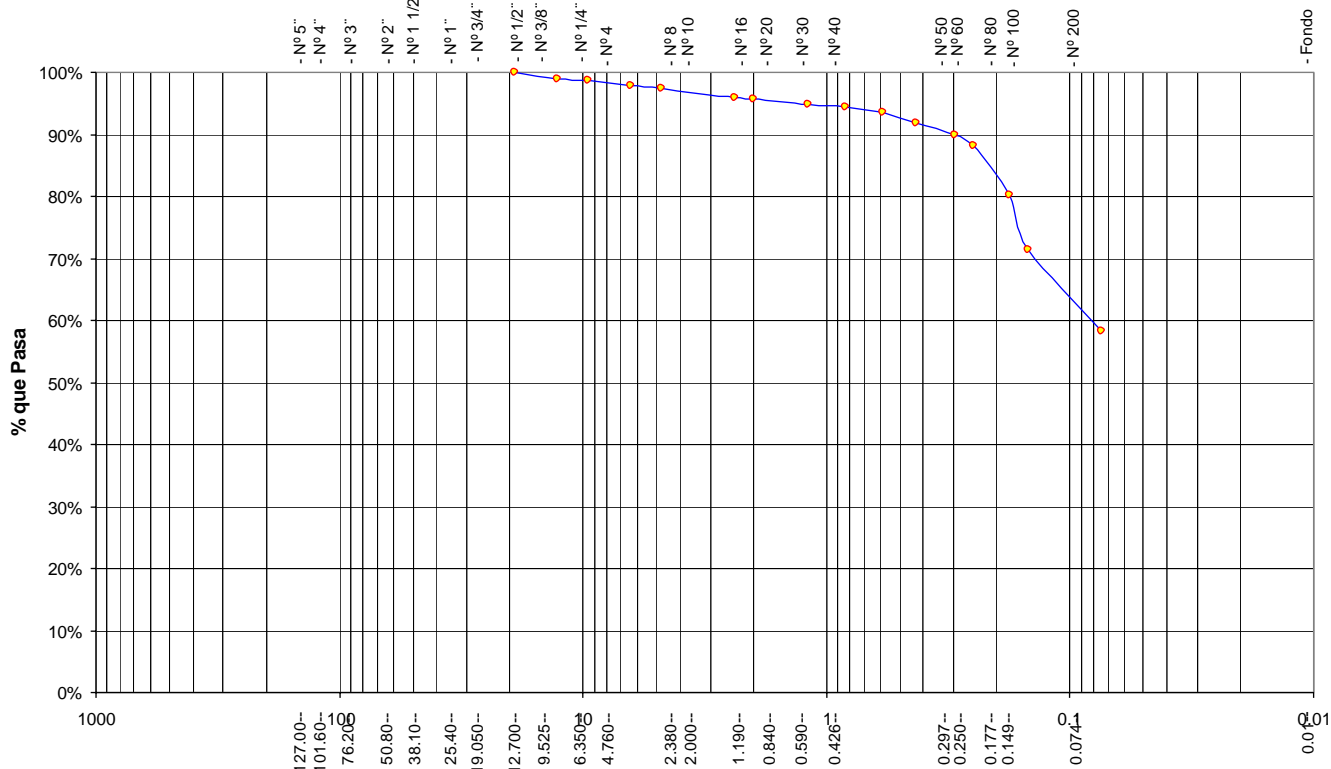
Observaciones :

El suelo es una arcilla inorganica con 74.97 % de finos , de plasticidad media a elevada color negro compacto con mezcla de materia organica con una resistencia al corte de regular, de compresibilidad y expansión de mediana a elevada, contiene raices profundas.

% de Humedad Natural de la muestra ensayada

Número de tarro =	97	Peso del agua =	37.18
Peso del tarro =	58.24	Peso suelo húmedo=	894.1
Peso del tarro + Mh =	952.34	Peso suelo seco =	856.92
Peso del tarro + Ms =	915.16	% Humedad Muestra=	4.34

Curva Granulometrica



Diametro en m.m							
Piedras mayores 3"			GRUESA	MEDIA	FINA		
Clasificación - ASTM	GRAVA			ARENA		LIMO	ARCILLA
Clasificación - AASHTO	GRAVA GRUESA	GRAVA MEDIA	GRAVA FINA	ARENA GRUESA	ARENA FINA	LIMO	ARCILLA



UNIVERSIDAD NACIONAL DE SAN MARTIN
FACULTAD DE INGENIERIA CIVIL
LABORATORIO DE MECANICA DE SUELOS Y PAVIMENTOS

Proyecto: Estudios Mapas de Peligro de Las ciudades de Juanjui, Bellavista y San Hilarión

Localización del Proyecto: Provincia de Bellavista

Muestra I - II

Descripción del Suelo: Suelos arcillosos

Profundidad de la Muestra: 2.30

Hecho Por: Tec. Robert Navarro Mori

Calicata:

C-13

Fecha:

23/05/2004

Determinación del % de Humedad Natural

ASTM D2216

LATA	1	2	3
PESO DE LATA grs	58.68	58.66	61.25
PESO DEL SUELO HUMEDO + LATA grs	124.56	159.65	141.25
PESO DEL SUELO SECO + LATA grs	115.00	145.00	129.68
PESO DEL AGUA grs	9.56	14.65	11.57
PESO DEL SUELO SECO grs	56.32	86.34	68.43
% DE HUMEDAD	16.97	16.97	16.91
PROMEDIO % DE HUMEDAD	16.95		

Determinación del Gravedad Especifico de Solidos

ASTM D854

LATA	1	2
VOL. DEL FRASCO A 20° C.	500.00	500.00
METODO DE REMOCION DEL AIRE ^a	Vacio	Vacio
PESO DEL FRASCO+AGUA+SUELO	792.54	795.41
TEMPERATURA, °C	23.00	23.00
PESO DEL FRASCO+AGUA grs	718.56	733.42
PLATO EVAPORADO N°	48	49
PESO DEL PLATO EVAP+SUELO SECO grs	320.00	300.00
PESO DEL SUELO SECO grs	120.00	100.00
VOLUMEN DE SOLIDOS cm ³	46.02	38.01
GRAVEDAD ESPECIFICA grs/cm ³	2.61	2.63
PROMEDIO grs/cm ³	2.62	

Peso Unitario Volumétrico (Densidad Natural)

ASTM D2937

LATA	1	2	3
PESO DE MOLDE grs	310.00	310.00	310.00
PESO DEL SUELO + MOLDE grs	656.52	662.35	661.25
PESO DEL SUELO SECO grs	379.10	377.54	378.59
VOLUMEN DEL MOLDE cm ³	246.30	246.30	246.30
PESO UNITARIO grs/cm ³	1.54	1.53	1.54
PROMEDIO grs/cm ³	1.536		

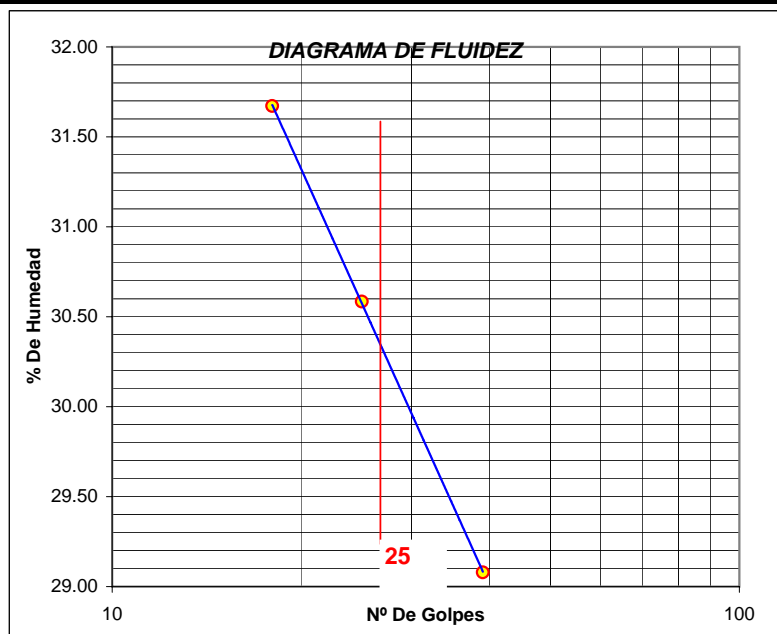


UNIVERSIDAD NACIONAL DE SAN MARTIN
FACULTAD DE INGENIERIA CIVIL
LABORATORIO DE MECANICA DE SUELOS Y PAVIMENTOS

Proyecto: Estudios Mapas de Peligro de Las ciudades de Juanjui, Bellavista y san Hilarión
 Localización del Proyecto: Provincia de Bellavista Muestra I - II
 Descripción del Suelo: Suelos arcillosos Profundidad de la Muestra: 2.30
 Hecho Por: Tec. Robert navarro mori Calicata: C-13 Fecha: 23/05/2004

Determinación del Límite Líquido ASTM D4318

LATA	1	2	3
PESO DE LATA grs	20.25	20.28	20.47
PESO DEL SUELO HUMEDO + LATA grs	45.61	49.10	54.25
PESO DEL SUELO SECO + LATA grs	39.51	42.35	46.64
PESO DEL AGUA grs	6.10	6.75	7.61
PESO DEL SUELO SECO grs	19.26	22.07	26.17
% DE HUMEDAD	31.67	30.58	29.08
NUMERO DE GOLPES	18	25	39



Límite de Contracción	ND
Límite Líquido	30.58
Límite Plástico	17.36
Índice de Plasticidad Ip	13.22
Clasificación SUCS	SC
Clasificación AASHTO	A-2-6(0)

Determinación del Límite Plástico ASTM D4318

LATA	1	2	3
PESO DE LATA grs	30.20	58.70	58.68
PESO DEL SUELO HUMEDO + LATA grs	62.30	85.23	88.54
PESO DEL SUELO SECO + LATA grs	57.56	81.30	84.12
PESO DEL AGUA grs	4.74	3.93	4.42
PESO DEL SUELO SECO grs	27.36	22.60	25.44
% DE HUMEDAD	17.32	17.39	17.37
% PROMEDIO	17.36		



UNIVERSIDAD NACIONAL DE SAN MARTIN
FACULTAD DE INGENIERIA CIVIL
LABORATORIO DE MECANICA DE SUELOS Y PAVIMENTOS

Proyecto: Estudios Mapas de Peligro de Las ciudades de Juanjui, Bellavista y san Hilarión

Localización del Proyecto: Provincia de Bellavista Muestra: I - II
 Descripción del Suelo: Suelos arcillosos Profundidad de la Muestra: 2.30 Calicata: C-13
 Hecho Por: Tec. Robert navarro mori Fecha: 23/05/2004

Analisis Granulométrico por Tamizado

ASTM D422

Tamices (mm)	Peso Retenido	% Retenido Parcial	% Retenido Acumulado	% Que Pasa	Especificaciones	Tamaño Máximo:
5"	127.00					-
4"	101.60					-
3"	76.20					-
2"	50.80					-
1 1/2"	38.10					-
1"	25.40					-
3/4"	19.050			100.00%		-
1/2"	12.700	20.00	5.43%	94.57%		-
3/8"	9.525	14.56	3.95%	90.62%		-
1/4"	6.350	13.00	3.53%	87.09%		-
Nº 4	4.760	9.85	2.67%	15.58%		-
Nº 8	2.380	22.56	6.12%	21.70%		-
Nº 10	2.000	9.56	2.59%	24.30%		-
Nº 16	1.190	25.00	6.78%	31.08%		-
Nº 20	0.840	15.63	4.24%	35.32%		-
Nº 30	0.590	19.58	5.31%	40.64%		-
Nº 40	0.426	31.23	8.48%	49.11%		-
Nº 50	0.297	28.45	7.72%	56.83%		-
Nº 60	0.250	11.47	3.11%	59.95%		-
Nº 80	0.177	15.00	4.07%	64.02%		-
Nº 100	0.149	8.20	2.23%	66.24%		-
Nº 200	0.074	19.56	5.31%	71.55%		-
Fondo	0.01	104.83	28.45%	100.00%		-
TOTAL		368.48			A B	

SUCS =	SC	AASHTO =	A-2-6(0)
LL =	30.58	WT =	57.20
LP =	17.36	WT+SAL =	425.68
IP =	13.22	WSAL =	368.48
IG =		WT+SDL =	320.83
		WSDL =	263.63
D 90=	-	%ARC. =	28.45
D 60=	-	%ERR. =	0.00
D 30=	-	Cc =	-
D 10=	-	Cu =	-

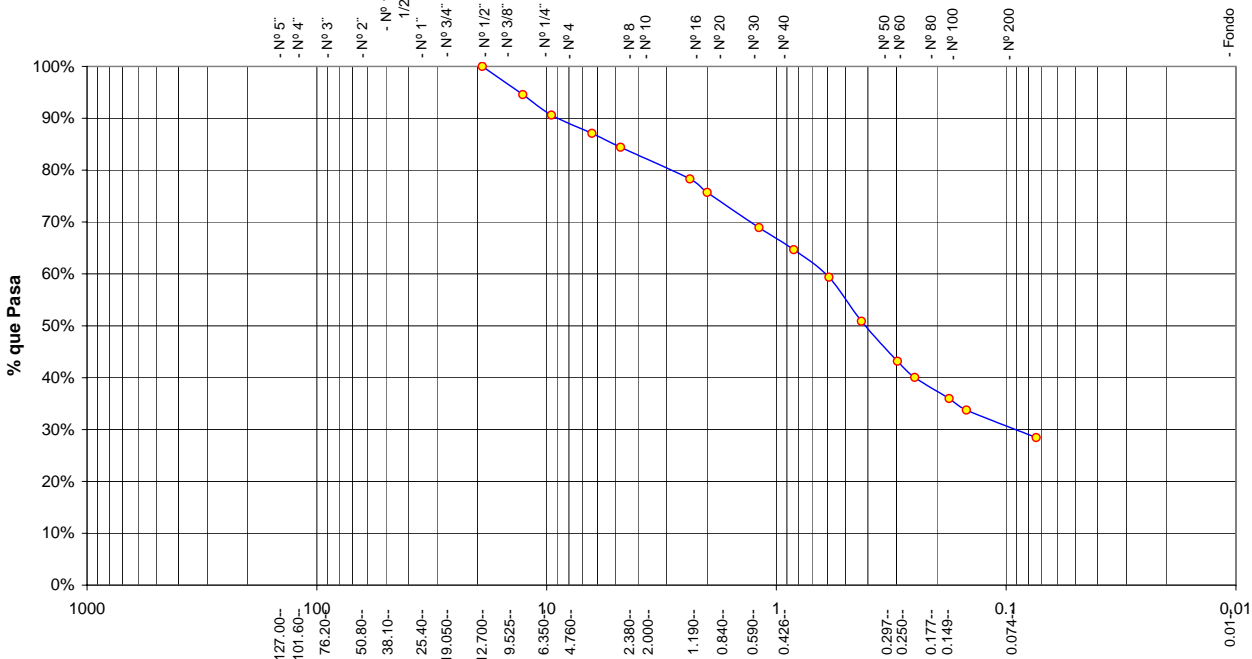
Descripción Muestras: Suelo arcilloso color amarillo oscuro clasificación 8/2

Observaciones :
 El suelo es una arcilla arenosa compacta con 28.45 % de finos, de plasticidad mediana a elevada color amarillo oscuro con una resistencia al corte de regular, de compresibilidad y expansión baja, con mezcla de rocas de diámetros de 2" hasta de 6" (Rocas areniscas cuarzosas)

% de Humedad Natural de la muestra ensayada

Número de tarro =	108	Peso del agua =	8
Peso del tarro =	58.7	Peso suelo húmedo=	353.65
Peso del tarro + Mh =	412.35	Peso suelo seco =	345.65
Peso del tarro + Ms =	404.35	% Humedad Muestra=	2.31

Curva Granulométrica





UNIVERSIDAD NACIONAL DE SAN MARTIN
FACULTAD DE INGENIERIA CIVIL
LABORATORIO DE MECANICA DE SUELOS Y PAVIMENTOS

Proyecto: Estudio de Mapas de Peligro de las Ciudades de Juanjui, Bellavista y San Hilarión.

Localización del proyecto : Provincia de Bellavista

Descripción del suelo : Suelo arcilloso color amarillo oscuro clasificación 8/2


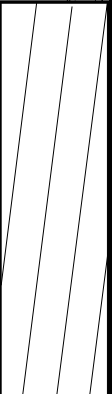
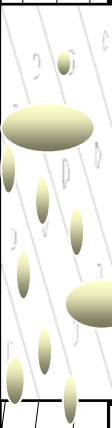
Prof. De la muestra : 3.00 m.

Realizado por : Téc. R.N.M.

Calicata: 13 MI - MI

Fecha de Ensayo: 23/05/04

REGISTRO DE EXCAVACIÓN

COTA m	ESPESOR m	HUMEDAD %	CLASIFICACION			DESCRIPCION DEL SUELO
			AASHTO	SUCS	SIMBOLO	
0.00						
0.25	0.25	36.52%		Pt		<i>Material organico color negro con mezcla de arcilla y arena, presentando raices que se profundizan hasta 0.13 m</i>
0.70	0.45	14.44%	A-6(6)	CL		<i>Suelo arcilloso inorganica compacta con 95.85% de finos, plasticidad elevada, color negro con mezcla de arena Con una resistencia al corte regular, compresibilidad y expansión de medianos a elevados en condición saturada. Con incrustaciones de gravas areniscas de 1" a 3" en un 10% de la muestra ensayada, contiene raices profundas</i>
3.00	2.30	16.95%	A-2-6(0)	SC		<i>El suelo es una arcilla arenosa compacta con 28.45 % de finos , de plasticidad mediana a elevada en condición saturada color amarillo oscuro con trazas de arcilla negra con una resistencia al corte de regular a bueno, de compresibilidad. y expansión baja, con mezcla de rocas de diametros de 2" hasta de 6" (Rocas areniscas cuarzosas) a partir de 1.85 se hace difícil la excavación manual por tener bolonerias</i>

OBSERVACIONES : _____



UNIVERSIDAD NACIONAL DE SAN MARTIN
FACULTAD DE INGENIERIA CIVIL
LABORATORIO DE MECANICA DE SUELOS Y PAVIMENTOS

Proyecto: Estudios Mapas de Peligro de Las ciudades de Juanjui, Bellavista y san Hilarión

Localización del Proyecto: Provincia de Bellavista

Muestra I

Descripción del Suelo: Suelos arcillosos

Profundidad de la Muestra: 0.90

Hecho Por : Tec. Robert navarro mori

Calicata:

C-14

Fecha:

21/05/2004

Determinación del % de Humedad Natural

ASTM D2216

LATA	1	2	3
PESO DE LATA grs	59.11	58.47	58.76
PESO DEL SUELO HUMEDO + LATA grs	150.71	145.26	148.25
PESO DEL SUELO SECO + LATA grs	142.49	137.47	140.21
PESO DEL AGUA grs	8.22	7.79	8.04
PESO DEL SUELO SECO grs	83.38	79.00	81.45
% DE HUMEDAD	9.86	9.86	9.87
PROMEDIO % DE HUMEDAD	9.86		

Determinación del Gravedad Especifico de Solidos

ASTM D854

LATA	1	2
VOL. DEL FRASCO A 20° C.	500.00	500.00
METODO DE REMOCION DEL AIREa	Vacio	Vacio
PESO DEL FRASCO+AGUA+SUELO	717.20	718.56
TEMPERATURA, °C	23.00	23.00
PESO DEL FRASCO+AGUA grs	644.78	652.00
PLATO EVAPORADO N°	98	99
PESO DEL PLATO EVAP+SUELO SECO grs	320.00	310.00
PESO DEL SUELO SECO grs	120.00	110.00
VOLUMEN DE SOLIDOS cm ³	47.58	43.44
GRAVEDAD ESPECIFICA grs/cm ³	2.52	2.53
PROMEDIO grs/cm ³	2.53	

Peso Unitario Volumétrico (Densidad Natural)

ASTM D2937

LATA	1	2	3
PESO DE MOLDE grs	306.00	306.00	306.00
PESO DEL SUELO + MOLDE grs	679.00	678.00	678.00
PESO DEL SUELO SECO grs	373.00	372.00	372.00
VOLUMEN DEL MOLDE cm ³	246.30	246.30	246.30
PESO UNITARIO grs/cm ³	1.51	1.51	1.51
PROMEDIO grs/cm ³	1.512		



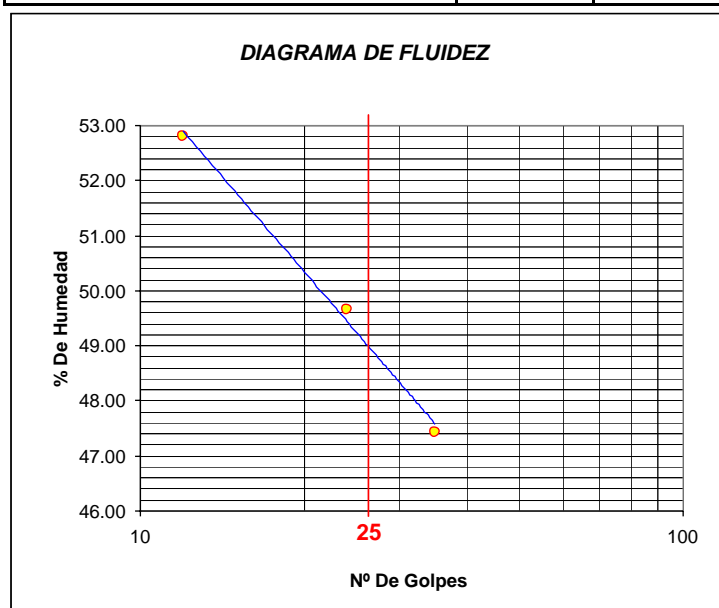
UNIVERSIDAD NACIONAL DE SAN MARTIN
FACULTAD DE INGENIERIA CIVIL
LABORATORIO DE MECANICA DE SUELOS Y PAVIMENTOS

Proyecto: Estudios Mapas de Peligro de Las ciudades de Juanjui, Bellavista y san Hilarión

Localización del Proyecto: Provincia de Bellavista Muestra I
 Descripción del Suelo: Suelos arcillosos Profundidad de la Muestra: 0.90
 Hecho Por : Tec. Robert navarro mori Calicata: C-14 Fecha: 21/05/2004

Determinación del Límite Líquido ASTM D4318

LATA	1	2	3
PESO DE LATA grs	38.55	37.77	34.14
PESO DEL SUELO HUMEDO + LATA grs	90.89	86.56	80.70
PESO DEL SUELO SECO + LATA grs	72.80	70.37	65.72
PESO DEL AGUA grs	18.09	16.19	14.98
PESO DEL SUELO SECO grs	34.25	32.60	31.58
% DE HUMEDAD	52.82	49.66	47.44
NUMERO DE GOLPES	12	24	35



Límite de Contracción	8.25
Límite Líquido	49.50
Límite Plástico	27.35
Índice de Plasticidad Ip	22.15
Clasificación SUCS	CL
Clasificación AASHTO	A - 7 (20)

Determinación del Límite Plástico ASTM D4318

LATA	1	2	3
PESO DE LATA grs	43.13	37.91	33.31
PESO DEL SUELO HUMEDO + LATA grs	56.65	50.06	46.24
PESO DEL SUELO SECO + LATA grs	53.75	47.45	43.46
PESO DEL AGUA grs	2.90	2.61	2.78
PESO DEL SUELO SECO grs	10.62	9.54	10.15
% DE HUMEDAD	27.31	27.36	27.39
% PROMEDIO	27.35		

LIMITE DE CONTRACCION ASTM D427	
Ensayo Nº	1
Peso Rec + Suelo húmedo Gr.	36.98
Peso Rec + Suelo seco Gr.	31.25
Peso de rec. De contracción Gr.	10.42
Peso del suelo seco Gr.	20.83
Peso del agua Gr.	5.73
Humedad %	27.51
Volumen Inicial (Suelo Húmedo) cm ³	15.51
Volumen Final (Suelo Seco) cm ³	11.50
Límite de Contracción %	8.25
Relación de Contracción	1.81



UNIVERSIDAD NACIONAL DE SAN MARTIN
FACULTAD DE INGENIERIA CIVIL
LABORATORIO DE MECANICA DE SUELOS Y PAVIMENTOS

Proyecto: Estudios Mapas de Peligro de Las ciudades de Juanjui, Bellavista y san Hilarión

Localización del Proyecto: Provincia de Bellavista

Muestra: I

Descripción del Suelo: Suelos arcillosos

Profundidad de la Muestra:

0.90

Calicata: C-14

Hecho Por: Tec. Robert navarro mori

Fecha: 21/05/2004

Análisis Granulométrico por Tamizado

ASTM D422

Tamices	Peso Retenido	% Retenido Parcial	% Retenido Acumulado	% Que Pasa	Especificaciones	Tamaño Máximo:
Ø (mm)						-
5"	127.00					-
4"	101.60					-
3"	76.20					-
2"	50.80					-
1 1/2"	38.10					-
1"	25.40					-
3/4"	19.050					-
1/2"	12.700					-
3/8"	9.525			100.00%		-
1/4"	6.350	0.92	0.26%	99.74%		-
Nº 4	4.760	1.60	0.46%	99.27%		-
Nº 8	2.380	1.69	0.49%	98.79%		-
Nº 10	2.000	0.64	0.18%	98.60%		-
Nº 16	1.190	3.70	1.07%	97.54%		-
Nº 20	0.840	3.60	1.04%	96.50%		-
Nº 30	0.590	4.46	1.28%	95.22%		-
Nº 40	0.426	6.87	1.98%	93.24%		-
Nº 50	0.297	7.22	2.08%	91.16%		-
Nº 60	0.250	6.02	1.73%	89.43%		-
Nº 80	0.177	12.83	3.69%	85.74%		-
Nº 100	0.149	6.82	1.96%	83.77%		-
Nº 200	0.074	26.82	7.72%	76.05%		-
Fondo	0.01	264.21	76.05%	0.00%		-
TOTAL		347.40			A B	

SUCS =	CL	AASHTO =	A - 7 (20)
LL =	49.50	WT =	58.90
LP =	27.35	WT+SAL =	406.30
IP =	22.15	WSAL =	347.40
IG =		WT+SDL =	142.09
		WSDL =	83.19
D 90=	-	%ARC. =	76.05
D 60=	-	%ERR. =	0.00
D 30=	-	Cc =	-
D 10=	*	Cu =	-

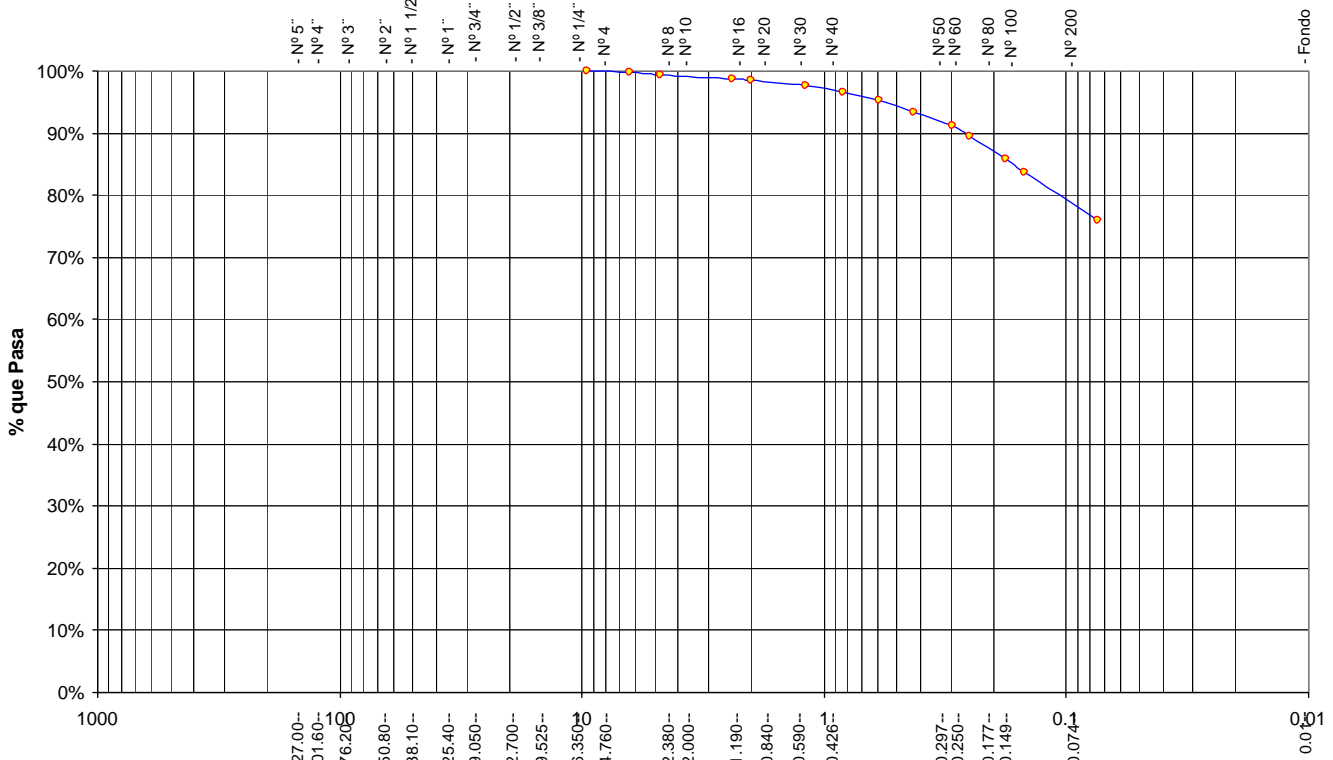
Descripción Muestras:
Suelo arcilloso color negro oscuro clasificación 8/4

Observaciones :
El suelo es una arcilla inorganica con 76.05 % de finos , de plasticidad elevada color negro compacto con mezcla de materia organica con una resistencia al corte de regul de compresibilidad y expansión de mediana a elevada, contiene raices profundas.

% de Humedad Natural de la muestra ensayada

Número de tarro =	25	Peso del agua =	16
Peso del tarro =	58.9	Peso suelo húmedo=	363.4
Peso del tarro + Mh =	422.3	Peso suelo seco =	347.4
Peso del tarro + Ms =	406.3	% Humedad Muestra=	4.61

Curva Granulométrica



	Diametro en m.m						
	127.00	101.60	76.20	50.80	38.10	25.40	19.050
Piedras mayores 3"	GRUESA			MEDIA		FINA	
Clasificación - ASTM	GRAVA			ARENA			LIMO ARCILLA
Clasificación - AASHTO	GRAVA GRUESA	GRAVA MEDIA	GRAVA FINA	ARENA GRUESA	ARENA FINA	LIMO	ARCILLA



UNIVERSIDAD NACIONAL DE SAN MARTIN
FACULTAD DE INGENIERIA CIVIL
LABORATORIO DE MECANICA DE SUELOS Y PAVIMENTOS

Proyecto: Estudios Mapas de Peligro de Las ciudades de Juanjui, Bellavista y san Hilarión

Localización del Proyecto: Provincia de Bellavista

Muestra I - II

Descripción del Suelo: Suelos arcillosos

Profundidad de la Muestra: 1.80

Hecho Por : Tec. Robert navarro mori

Calicata:

C-14

Fecha:

21/05/2004

Determinación del % de Humedad Natural

ASTM D2216

LATA	1	2	3
PESO DE LATA grs	58.77	58.57	59.04
PESO DEL SUELO HUMEDO + LATA grs	158.00	132.56	115.78
PESO DEL SUELO SECO + LATA grs	147.25	124.56	109.64
PESO DEL AGUA grs	10.75	8.00	6.14
PESO DEL SUELO SECO grs	88.48	65.99	50.60
% DE HUMEDAD	12.15	12.12	12.13
PROMEDIO % DE HUMEDAD	12.14		

Determinación del Gravedad Especifico de Solidos

ASTM D854

LATA	1	2
VOL. DEL FRASCO A 20° C.	500.00	500.00
METODO DE REMOCION DEL AIREa	Vacio	Vacio
PESO DEL FRASCO+AGUA+SUELO	790.25	792.35
TEMPERATURA, °C	23.00	23.00
PESO DEL FRASCO+AGUA grs	716.02	730.45
PLATO EVAPORADO N°	48	49
PESO DEL PLATO EVAP+SUELO SECO grs	320.00	300.00
PESO DEL SUELO SECO grs	120.00	100.00
VOLUMEN DE SOLIDOS cm3	45.77	38.10
GRAVEDAD ESPECIFICA grs/cm3	2.62	2.62
PROMEDIO grs/cm3	2.62	

Peso Unitario Volumétrico (Densidad Natural)

ASTM D2937

LATA	1	2	3
PESO DE MOLDE grs	310.00	310.00	310.00
PESO DEL SUELO + MOLDE grs	736.00	738.00	735.00
PESO DEL SUELO SECO grs	426.00	428.00	425.00
VOLUMEN DEL MOLDE cm3	246.30	246.30	246.30
PESO UNITARIO grs/cm3	1.73	1.74	1.73
PROMEDIO grs/cm3	1.731		

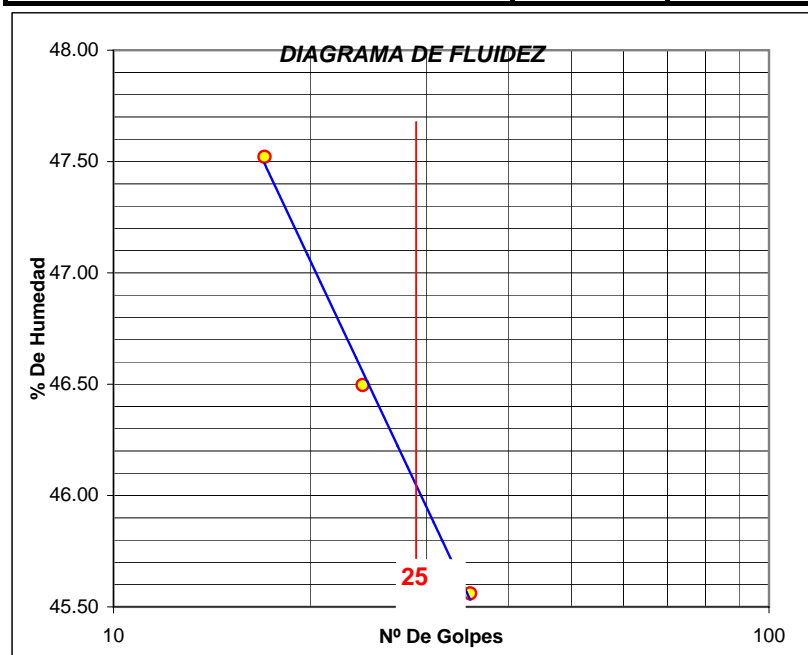


UNIVERSIDAD NACIONAL DE SAN MARTIN
FACULTAD DE INGENIERIA CIVIL
LABORATORIO DE MECANICA DE SUELOS Y PAVIMENTOS

Proyecto: Estudios Mapas de Peligro de Las ciudades de Juanjui, Bellavista y san Hilarión
 Localización del Proyecto: Provincia de Bellavista Muestra I - II
 Descripción del Suelo: Suelos arcillosos Profundidad de la Muestra: 1.80
 Hecho Por : Tec. Robert navarro mori Calicata: C-14 Fecha: 21/05/2004

Determinación del Límite Líquido ASTM D4318

LATA	1	2	3
PESO DE LATA grs	20.89	21.64	21.56
PESO DEL SUELO HUMEDO + LATA grs	40.23	44.01	41.56
PESO DEL SUELO SECO + LATA grs	34.00	36.91	35.30
PESO DEL AGUA grs	6.23	7.10	6.26
PESO DEL SUELO SECO grs	13.11	15.27	13.74
% DE HUMEDAD	47.52	46.50	45.56
NUMERO DE GOLPES	17	24	35



Límite de Contracción	ND
Límite Líquido	46.27
Límite Plástico	21.10
Índice de Plasticidad Ip	25.17
Clasificación SUCS	SP-SC
Clasificación AASHTO	A-2-7(0)

Determinación del Límite Plástico ASTM D4318

LATA	1	2	3
PESO DE LATA grs	24.56	25.56	24.09
PESO DEL SUELO HUMEDO + LATA grs	54.23	50.06	46.24
PESO DEL SUELO SECO + LATA grs	49.06	45.79	42.38
PESO DEL AGUA grs	5.17	4.27	3.86
PESO DEL SUELO SECO grs	24.50	20.23	18.29
% DE HUMEDAD	21.10	21.11	21.10
% PROMEDIO	21.10		



UNIVERSIDAD NACIONAL DE SAN MARTIN
FACULTAD DE INGENIERIA CIVIL
LABORATORIO DE MECANICA DE SUELOS Y PAVIMENTOS

Proyecto: Estudios Mapas de Peligro de Las ciudades de Juanjui, Bellavista y san Hilarion
 Localización del Proyecto: Provincia de Bellavista Muestra: I - II
 Descripción del Suelo: Suelos arcillosos Profundidad de la Muestra: 1.80 Calicata: C-14
 Hecho Por: Tec. Robert navarro mori Fecha: 21/05/2004

Análisis Granulométrico por Tamizado

ASTM D422

Tamices	Peso Retenido	% Retenido Parcial	% Retenido Acumulado	% Que Pasa	Especificaciones	Tamaño Máximo:
Ø (mm)						-
5"	127.00					Modulo de Fineza AF: -
4"	101.60					Modulo de Fineza AG: -
3"	76.20					Equivalente de Arena: -
2"	50.80			100.00%		Descripción Muestras: Suelo arcilloso color marrón oscuro clasificación 8/3
1 1/2"	38.10	131.10	23.41%	23.41%	76.59%	
1"	25.40	93.96	16.77%	40.18%	59.82%	SUCS =
3/4"	19.050	0.00	0.00%	40.18%	59.82%	LL = 46.27
1/2"	12.700	22.17	3.96%	44.14%	55.86%	LP = 21.10
3/8"	9.525	20.84	3.72%	47.86%	52.14%	IP = 25.17
1/4"	6.350	23.45	4.19%	52.05%	47.95%	IG =
Nº 4	4.760	17.36	3.10%	55.15%	44.85%	D 90= -
Nº 8	2.380	39.99	7.14%	62.28%	37.72%	D 60= 0.25
Nº 10	2.000	6.22	1.11%	63.40%	36.60%	D 30= 0.17
Nº 16	1.190	14.85	2.65%	66.05%	33.95%	D 10= 0.06
Nº 20	0.840	10.19	1.82%	67.87%	32.13%	
Nº 30	0.590	21.44	3.83%	71.69%	28.31%	
Nº 40	0.426	30.84	5.51%	77.20%	22.80%	
Nº 50	0.297	19.55	3.49%	80.69%	19.31%	
Nº 60	0.250	10.59	1.89%	82.58%	17.42%	
Nº 80	0.177	14.51	2.59%	85.17%	14.83%	
Nº 100	0.149	5.27	0.94%	86.11%	13.89%	
Nº 200	0.074	12.96	2.31%	88.43%	11.57%	
Fondo	0.01	64.83	11.57%	100.00%	0.00%	
TOTAL		560.12				A B

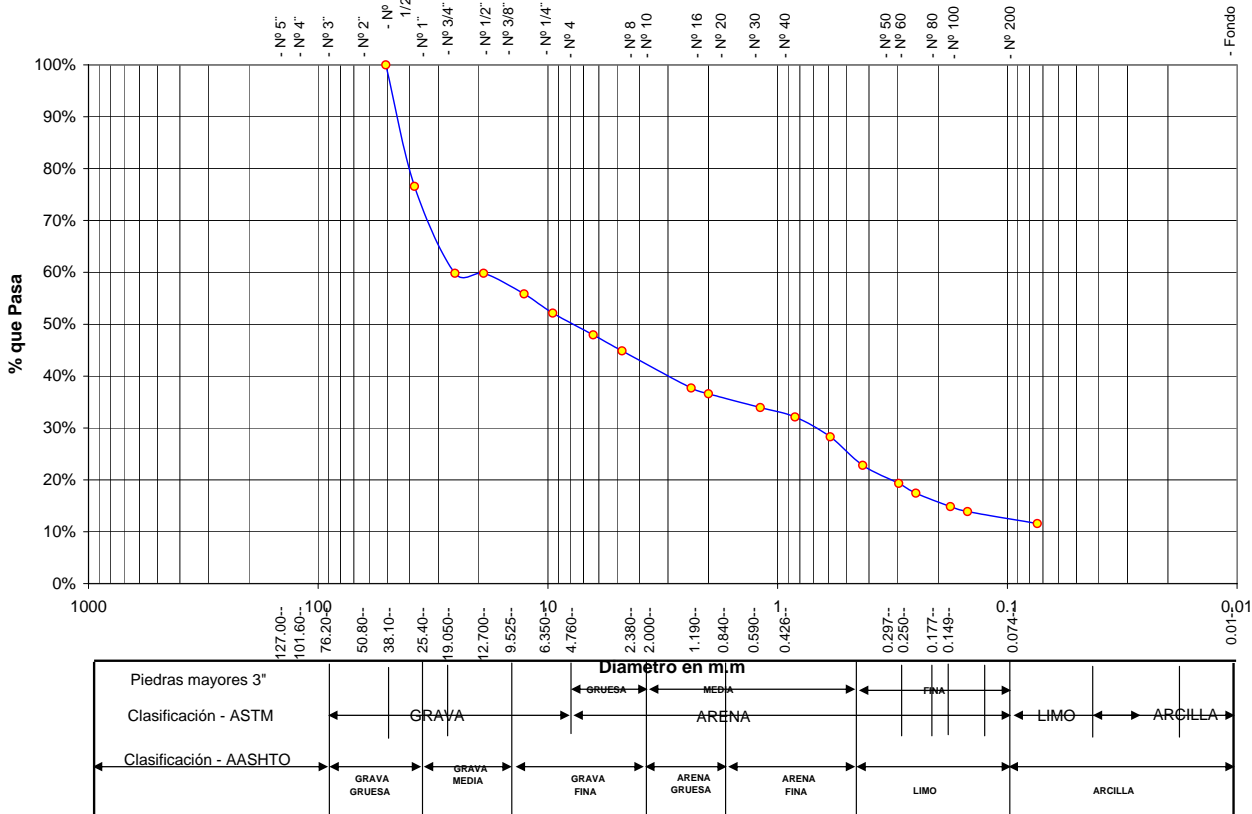
SUCS =	SP-SC	AASHTO =	A-2-7(0)
LL =	46.27	WT =	58.78
LP =	21.10	WT+SAL =	618.90
IP =	25.17	WSAL =	560.12
IG =		WT+SDL =	554.07
D 90=	-	WSDL =	495.29
D 60=	0.25	%ARC. =	11.57
D 30=	0.17	%ERR. =	0.00
D 10=	0.06	Cc =	1.94
		Cu =	4.34

Observaciones :
 El suelo es una arena mal graduada con grava con pocos finos de 11.57% , mezcla de gravas hasta de 6" con plasticidad elevada color amarillo claro con una resistencia al corte de buena , de compresibilidad y expansión baja, con mezcla de rocas de diametros de 2" hasta de 6" (Rocas areniscas cuarzosas)

% de Humedad Natural de la muestra ensayada

Número de tarro =	54	Peso del agua =	11.1
Peso del tarro =	58.78	Peso suelo húmedo=	571.22
Peso del tarro + Mh =	630	Peso suelo seco =	560.12
Peso del tarro + Ms =	618.9	% Humedad Muestra=	1.98

Curva Granulométrica





UNIVERSIDAD NACIONAL DE SAN MARTIN
FACULTAD DE INGENIERIA CIVIL
LABORATORIO DE MECANICA DE SUELOS Y PAVIMENTOS

Proyecto: Estudio de Mapas de Peligro de las Ciudades de Juanjui, Bellavista y San Hilarión.

Localización del proyecto : Provincia de Bellavista

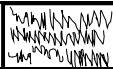
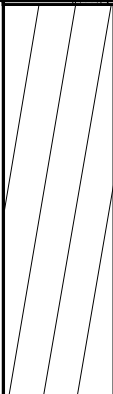

Descripción del suelo : Mezcla de arena arcilla y gravas.

Prof. De la muestra : 2.90 m.

Realizado por : Téc. R.N.M. **Calicata:** 14 MI - MI

Fecha de Ensayo: 21/05/04

REGISTRO DE EXCAVACIÓN

COTA m	ESPESOR m	HUMEDAD %	CLASIFICACION			DESCRIPCION DEL SUELO
			AASHTO	SUCS	SIMBOLO	
0.00						
0.20	0.20	25.60%		Pt		<i>Material organico color negro con mezcla de arcilla y arena, presentando raices que se profundizan hasta 0.13 m</i>
1.10	0.90	9.86%	A-7(20)	CL		<i>Suelo arcilloso inorganica compacta con 76.05% de finos, plasticidad elevada, color negro con mezcla de arena Con una resistencia al corte regular, compresibilidad y expansión de medianos a elevados en condición saturada. Con incrustaciones de gravas areniscas de 1" a 1 1/2" en un 10% de la muestra ensayada, contiene raices profundas</i>
2.90	1.8	12.14%	A-2-7(0)	SP-SC		<i>El suelo es una arena mal graduada con grava con pocos finos de 11.57%, mezcla de gravas hasta de diametros de 6" de plasticidad elevada color amarillo claro y trazas de arcilla negra con una resistencia al corte bueno de dificil excavación manual, de compresibilidad y expansión baja. con mezcla heterogenea de rocas de diametros de 2" hasta 6" de 6" (Rocas areniscas cuarzosas) hasta en un 37% de la muestra ensayada</i>

OBSERVACIONES : _____



UNIVERSIDAD NACIONAL DE SAN MARTIN
FACULTAD DE INGENIERIA CIVIL
LABORATORIO DE MECANICA DE SUELOS Y PAVIMENTOS

Proyecto: Estudios Mapas de Peligro de Las ciudades de Juanjui, Bellavista y San Hilarión

Localización del Proyecto: Provincia de Bellavista

Muestra I

Descripción del Suelo: Suelos arcillosos

Profundidad de la Muestra: 0.32

Hecho Por: Tec. Robert Navarro Mori

Calicata:

C-15

Fecha:

26/05/2004

Determinación del % de Humedad Natural

ASTM D2216

LATA	1	2	3
PESO DE LATA grs	25.49	44.41	33.31
PESO DEL SUELO HUMEDO + LATA grs	158.14	168.01	165.60
PESO DEL SUELO SECO + LATA grs	137.62	148.98	145.25
PESO DEL AGUA grs	20.52	19.03	20.35
PESO DEL SUELO SECO grs	112.13	104.57	111.94
% DE HUMEDAD	18.30	18.20	18.18
PROMEDIO % DE HUMEDAD	18.23		

Determinación del Gravedad Especifico de Solidos

ASTM D854

LATA	1	2
VOL. DEL FRASCO A 20° C.	500.00	500.00
METODO DE REMOCION DEL AIREa	Vacio	Vacio
PESO DEL FRASCO+AGUA+SUELO	736.10	730.12
TEMPERATURA, °C	23.00	23.00
PESO DEL FRASCO+AGUA grs	662.90	663.00
PLATO EVAPORADO N°	77	78
PESO DEL PLATO EVAP+SUELO SECO grs	320.00	310.00
PESO DEL SUELO SECO grs	120.00	110.00
VOLUMEN DE SOLIDOS cm ³	46.80	42.88
GRAVEDAD ESPECIFICA grs/cm ³	2.56	2.57
PROMEDIO grs/cm ³	2.56	

Peso Unitario Volumétrico (Densidad Natural)

ASTM D2937

LATA	1	2	3
PESO DE MOLDE grs	306.00	306.00	306.00
PESO DEL SUELO + MOLDE grs	675.00	677.00	674.00
PESO DEL SUELO SECO grs	369.00	371.00	368.00
VOLUMEN DEL MOLDE cm ³	246.30	246.30	246.30
PESO UNITARIO grs/cm ³	1.50	1.51	1.49
PROMEDIO grs/cm ³	1.500		

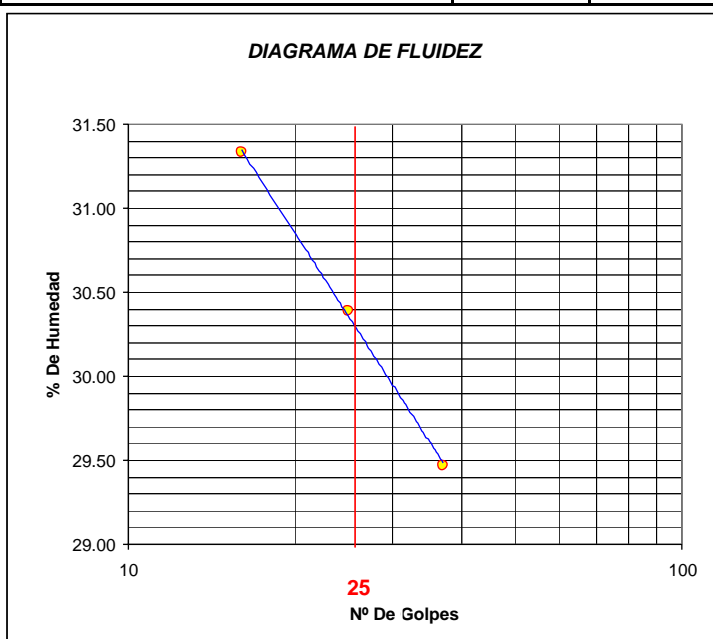


UNIVERSIDAD NACIONAL DE SAN MARTIN
FACULTAD DE INGENIERIA CIVIL
LABORATORIO DE MECANICA DE SUELOS Y PAVIMENTOS

Proyecto: Estudios Mapas de Peligro de Las ciudades de Juanjui, Bellavista y san Hilarión
 Localización del Proyecto: Provincia de Bellavista Muestra: I
 Descripción del Suelo: Suelos arcillosos Profundidad de la Muestra: 0.32
 Hecho Por: Tec. Robert navarro mori Calicata: C-15 Fecha: 26/05/2004

Determinación del Límite Líquido ASTM D4318

LATA	1	2	3
PESO DE LATA grs	25.68	48.56	58.74
PESO DEL SUELO HUMEDO + LATA grs	50.20	78.25	88.00
PESO DEL SUELO SECO + LATA grs	44.35	71.33	81.34
PESO DEL AGUA grs	5.85	6.92	6.66
PESO DEL SUELO SECO grs	18.67	22.77	22.60
% DE HUMEDAD	31.33	30.39	29.47
NUMERO DE GOLPES	16	25	37



Límite de Contracción	11.65
Límite Líquido	30.39
Límite Plástico	16.95
Índice de Plasticidad Ip	13.44
Clasificación SUCS	CL
Clasificación AASHTO	A-6(8)

Determinación del Límite Plástico ASTM D4318

LATA	1	2	3
PESO DE LATA grs	58.66	58.24	58.15
PESO DEL SUELO HUMEDO + LATA grs	75.26	80.21	82.56
PESO DEL SUELO SECO + LATA grs	72.86	77.02	79.02
PESO DEL AGUA grs	2.40	3.19	3.54
PESO DEL SUELO SECO grs	14.20	18.78	20.87
% DE HUMEDAD	16.90	16.99	16.96
% PROMEDIO	16.95		

LIMITE DE CONTRACCION ASTM D427	
Ensayo Nº	1
Peso Rec + Suelo húmedo Gr.	37.22
Peso Rec + Suelo seco Gr.	31.02
Peso de rec. De contracción Gr.	10.42
Peso del suelo seco Gr.	19.27
Peso del agua Gr.	6.2
Humedad %	32.17
Volumen Inicial (Suelo Húmedo) cm3	15.65
Volumen Final (Suelo Seco) cm3	11.70
Límite de Contracción %	11.65
Relación de Contracción	1.65



UNIVERSIDAD NACIONAL DE SAN MARTIN
FACULTAD DE INGENIERIA CIVIL
LABORATORIO DE MECANICA DE SUELOS Y PAVIMENTOS

Proyecto: Estudios Mapas de Peligro de Las ciudades de Juanjui, Bellavista y san Hilarión

Localización del Proyecto: Provincia de Bellavista Muestra I

Descripción del Suelo: Suelos arcillosos Profundidad de la Muestra: 0.32 Calicata: C-15

Hecho Por: Tec. Robert navarro mori Fecha: 26/05/2004

Análisis Granulométrico por Tamizado ASTM D422

Tamices	Peso Retenido	% Retenido Parcial	% Retenido Acumulado	% Que Pasa	Especificaciones	Tamaño Máximo:
Ø (mm)						-
5"	127.00					-
4"	101.60					-
3"	76.20					-
2"	50.80					-
1 1/2"	38.10					-
1"	25.40					-
3/4"	19.050					-
1/2"	12.700					-
3/8"	9.525					-
1/4"	6.350			100.00%		-
Nº 4	4.760	0.51	0.10%	99.90%		-
Nº 8	2.380	0.24	0.05%	99.85%		-
Nº 10	2.000	0.11	0.02%	99.83%		-
Nº 16	1.190	1.65	0.33%	99.50%		-
Nº 20	0.840	4.48	0.90%	98.60%		-
Nº 30	0.590	9.81	1.96%	96.64%		-
Nº 40	0.426	18.95	3.79%	92.85%		-
Nº 50	0.297	20.00	4.00%	88.85%		-
Nº 60	0.250	0.09	0.02%	88.83%		-
Nº 80	0.177	58.52	11.70%	77.13%		-
Nº 100	0.149	22.76	4.55%	72.58%		-
Nº 200	0.074	30.73	6.15%	66.43%		-
Fondo	0.01	332.15	66.43%	0.00%		-
TOTAL		500.00			A B	

SUCS =	CL	AASHTO =	A-6(8)
LL =	30.39	WT =	56.74
LP =	16.95	WT+SAL =	556.74
IP =	13.44	WSAL =	500.00
IG =		WT+SDL =	224.59
		WSDL =	167.85
D 90=	-	%ARC. =	66.43
D 60=	-	%ERR. =	0.00
D 30=	-	Cc =	-
D 10=	*	Cu =	-

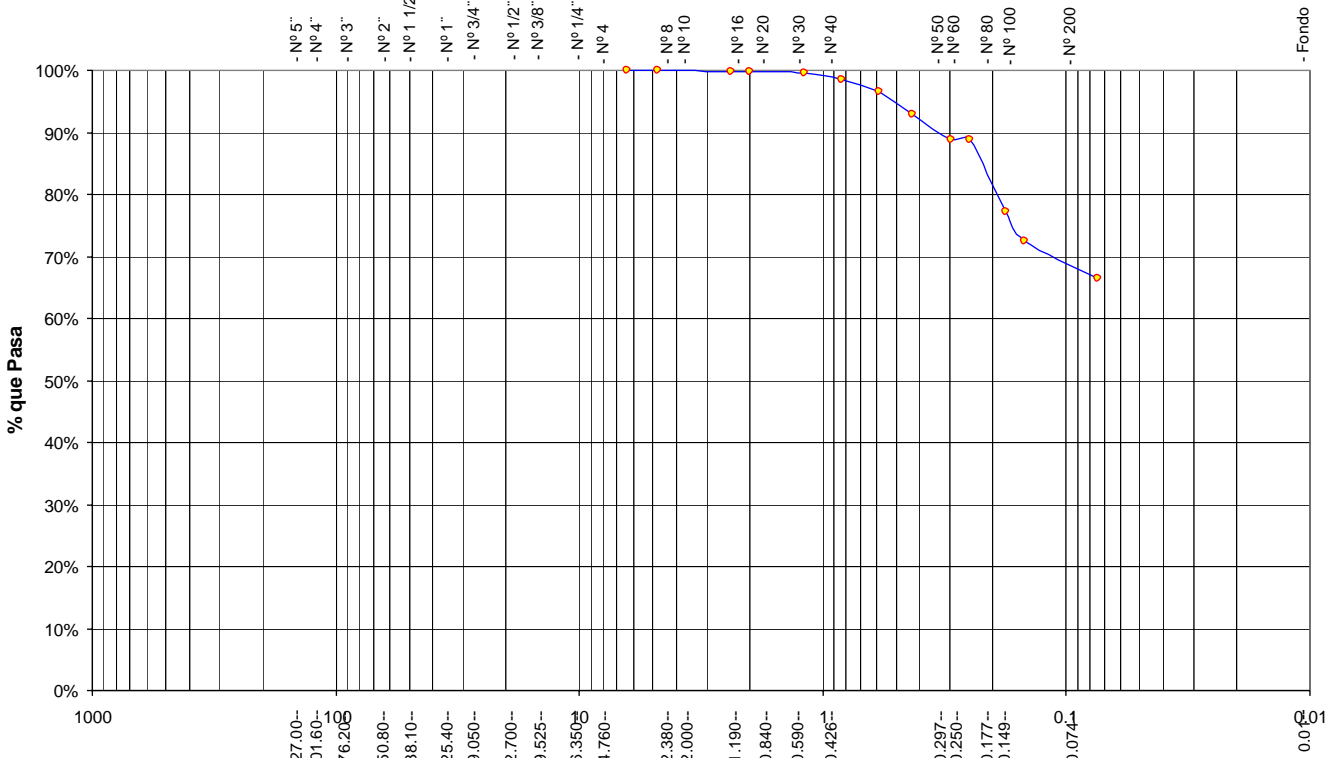
Descripción Muestras:
Suelo arcilloso color negro oscuro clasificación 8/4

Observaciones :
El suelo es una arcilla inorganica con 66.43 % de finos , de plasticidad media a elevada color negro compacto con mezcla de materia organica con una resistencia al corte de regular, de compresibilidad y expansión de mediana a elevada, contiene raices profundas.

% de Humedad Natural de la muestra ensayada

Número de tarro =	97	Peso del agua =	37.18
Peso del tarro =	58.24	Peso suelo húmedo=	894.1
Peso del tarro + Mh =	952.34	Peso suelo seco =	856.92
Peso del tarro + Ms =	915.16	% Humedad Muestra=	4.34

Curva Granulometrica



Diametro en m.m						
Piedras mayores 3"						
Clasificación - ASTM	GRAVA		ARENA		LIMO	ARCILLA
Clasificación - AASHTO	GRAVA GRUESA	GRAVA MEDIA	GRAVA FINA	ARENA GRUESA	ARENA FINA	LIMO ARCILLA



UNIVERSIDAD NACIONAL DE SAN MARTIN
FACULTAD DE INGENIERIA CIVIL
LABORATORIO DE MECANICA DE SUELOS Y PAVIMENTOS

Proyecto: Estudios Mapas de Peligro de Las ciudades de Juanjui, Bellavista y san Hilarión

Localización del Proyecto: Provincia de Bellavista

Muestra I - II

Descripción del Suelo: Suelos arcillosos

Profundidad de la Muestra: 2.53

Hecho Por: Tec. Robert navarro mori

Calicata:

C-15

Fecha:

25/05/2004

Determinación del % de Humedad Natural

ASTM D2216

LATA	1	2	3
PESO DE LATA grs	33.32	44.45	25.50
PESO DEL SUELO HUMEDO + LATA grs	120.27	122.64	131.82
PESO DEL SUELO SECO + LATA grs	106.20	109.37	115.30
PESO DEL AGUA grs	14.07	13.27	16.52
PESO DEL SUELO SECO grs	72.88	64.92	89.80
% DE HUMEDAD	19.31	20.44	18.40
PROMEDIO % DE HUMEDAD	19.38		

Determinación del Gravedad Especifico de Solidos

ASTM D854

LATA	1	2
VOL. DEL FRASCO A 20° C.	500.00	500.00
METODO DE REMOCION DEL AIREa	Vacio	Vacio
PESO DEL FRASCO+AGUA+SUELO	793.00	795.21
TEMPERATURA, °C	23.00	23.00
PESO DEL FRASCO+AGUA grs	718.58	733.58
PLATO EVAPORADO N°	121	122
PESO DEL PLATO EVAP+SUELO SECO grs	320.00	300.00
PESO DEL SUELO SECO grs	120.00	100.00
VOLUMEN DE SOLIDOS cm3	45.58	38.37
GRAVEDAD ESPECIFICA grs/cm3	2.63	2.61
PROMEDIO grs/cm3	2.62	

Peso Unitario Volumétrico (Densidad Natural)

ASTM D2937

LATA	1	2	3
PESO DE MOLDE grs	310.00	310.00	310.00
PESO DEL SUELO + MOLDE grs	666.00	665.00	668.00
PESO DEL SUELO SECO grs	380.00	380.00	382.00
VOLUMEN DEL MOLDE cm3	246.30	246.30	246.30
PESO UNITARIO grs/cm3	1.54	1.54	1.55
PROMEDIO grs/cm3	1.546		

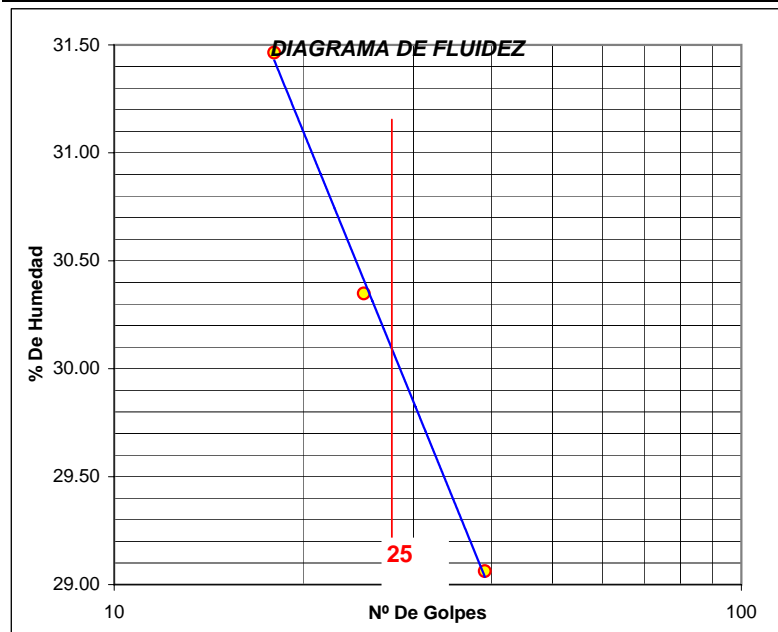


UNIVERSIDAD NACIONAL DE SAN MARTIN
FACULTAD DE INGENIERIA CIVIL
LABORATORIO DE MECANICA DE SUELOS Y PAVIMENTOS

Proyecto: Estudios Mapas de Peligro de Las ciudades de Juanjui, Bellavista y san Hilarión
 Localización del Proyecto: Provincia de Bellavista Muestra: I - II
 Descripción del Suelo: Suelos arcillosos Profundidad de la Muestra: 2.53
 Hecho Por: Tec. Robert navarro mori Calicata: C-15 Fecha: 25/05/2004

Determinación del Límite Líquido ASTM D4318

LATA	1	2	3
PESO DE LATA grs	32.20	58.60	42.30
PESO DEL SUELO HUMEDO + LATA grs	58.23	79.56	68.59
PESO DEL SUELO SECO + LATA grs	52.00	74.68	62.67
PESO DEL AGUA grs	6.23	4.88	5.92
PESO DEL SUELO SECO grs	19.80	16.08	20.37
% DE HUMEDAD	31.46	30.35	29.06
NUMERO DE GOLPES	18	25	39



Límite de Contracción	ND
Límite Líquido	30.35
Límite Plástico	16.97
Índice de Plasticidad Ip	13.38
Clasificación SUCS	SC
Clasificación AASHTO	A-2-6(0)

Determinación del Límite Plástico ASTM D4318

LATA	1	2	3
PESO DE LATA grs	42.30	44.56	48.75
PESO DEL SUELO HUMEDO + LATA grs	71.20	74.56	78.20
PESO DEL SUELO SECO + LATA grs	67.00	70.21	73.93
PESO DEL AGUA grs	4.20	4.35	4.27
PESO DEL SUELO SECO grs	24.70	25.65	25.18
% DE HUMEDAD	17.00	16.96	16.96
% PROMEDIO	16.97		



UNIVERSIDAD NACIONAL DE SAN MARTIN
FACULTAD DE INGENIERIA CIVIL
LABORATORIO DE MECANICA DE SUELOS Y PAVIMENTOS

Proyecto: Estudios Mapas de Peligro de Las ciudades de Juanjui, Bellavista y san Hilarión

Localización del Proyecto: Provincia de Bellavista

Descripción del Suelo: Suelos arcillosos Profundidad de la Muestra:

Muestra

I - II

2.53

Calicata:

C-15

Hecho Por : Tec. Robert navarro mori

Fecha:

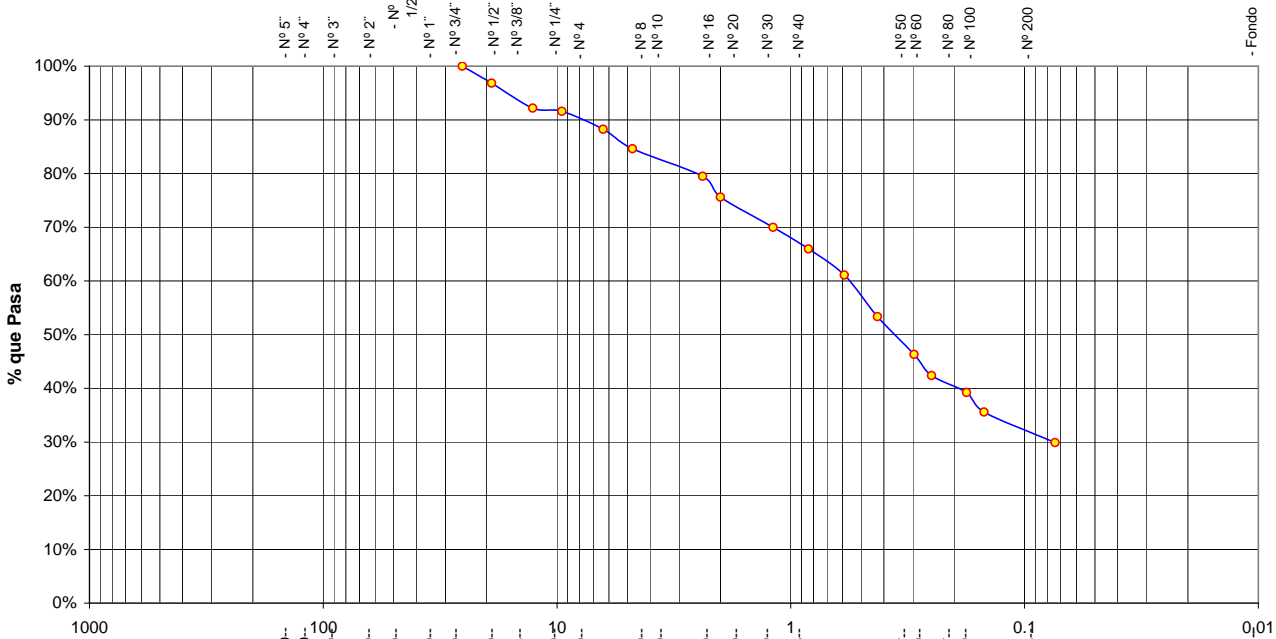
25/05/2004

Análisis Granulométrico por Tamizado

ASTM D422

Tamices		Peso Retenido	% Retenido Parcial	% Retenido Acumulado	% Que Pasa	Especificaciones	Tamaño Máximo:			
Ø	(mm)									
5"	127.00						Modulo de Fineza AF:			
4"	101.60						Modulo de Fineza AG:			
3"	76.20						Equivalente de Arena:			
2"	50.80						Descripción Muestras:			
1 1/2"	38.10						Suelo arcilloso color amarillo oscuro clasificación 8/2			
1"	25.40				100.00%					
3/4"	19.050	12.32	3.15%	3.15%	96.85%		SUCS =	SC	AASHTO =	A-2-6(0)
1/2"	12.700	18.20	4.65%	7.81%	92.19%		LL =	30.35	WT =	59.65
3/8"	9.525	2.35	0.60%	8.41%	91.59%		LP =	16.97	WT+SAL =	450.65
1/4"	6.350	13.00	3.32%	11.73%	88.27%		IP =	13.38	WSAL =	391.00
Nº 4	4.760	14.25	3.64%	15.38%	84.62%		IG =		WT+SDL =	333.80
Nº 8	2.380	20.02	5.12%	20.50%	79.50%		D 90=	-	WSDL =	274.15
Nº 10	2.000	15.23	3.90%	24.39%	75.61%		D 60=	-	%ARC. =	29.88
Nº 16	1.190	22.00	5.63%	30.02%	69.98%		D 30=	-	Cc =	-
Nº 20	0.840	15.69	4.01%	34.03%	65.97%		D 10=	-	Cu =	-
Nº 30	0.590	19.05	4.87%	38.90%	61.10%		Observaciones :			
Nº 40	0.426	30.25	7.74%	46.64%	53.36%		El suelo es una arcilla arenosa compacta con 28.45 % de finos , de plasticidad mediana a elevada color amarillo oscuro con una resistencia al corte de regular , de compresibilidad. y expansión baja, con mezcla de rocas de diámetros de 2" hasta de 6" (Rocas areniscas cuarzosas)			
Nº 50	0.297	27.58	7.05%	53.69%	46.31%		% de Humedad Natural de la muestra ensayada			
Nº 60	0.250	15.32	3.92%	57.61%	42.39%		Número de tarro =	108	Peso del agua =	8
Nº 80	0.177	12.34	3.16%	60.77%	39.23%		Peso del tarro =	58.7	Peso suelo húmedo=	353.65
Nº 100	0.149	14.23	3.64%	64.41%	35.59%		Peso del tarro + Mh =	412.35	Peso suelo seco =	345.65
Nº 200	0.074	22.32	5.71%	70.12%	29.88%		Peso del tarro + Ms =	404.35	% Humedad Muestra=	2.31
Fondo	0.01	116.85	29.88%	100.00%	0.00%					
TOTAL		391.00				A B				

Curva Granulométrica





UNIVERSIDAD NACIONAL DE SAN MARTIN
FACULTAD DE INGENIERIA CIVIL
LABORATORIO DE MECANICA DE SUELOS Y PAVIMENTOS

Proyecto: Estudio de Mapas de Peligro de las Ciudades de Juanjui, Bellavista y San Hilarión.

Localización del proyecto : Provincia de Bellavista

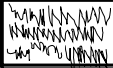
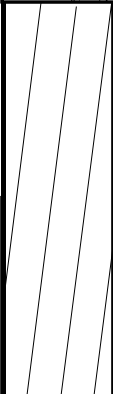

Descripción del suelo : Suelo arcilloso color amarillo oscuro clasificación 8/2

Prof. De la muestra : 3.10 m.

Realizado por : Téc. R.N.M. **Calicata:** 15 MI - MI

Fecha de Ensayo: 25/05/04

REGISTRO DE EXCAVACIÓN

COTA m	ESPESOR m	HUMEDAD %	CLASIFICACION			DESCRIPCION DEL SUELO
			AASHTO	SUCS	SIMBOLO	
0.00						
0.25	0.25	38.56%		Pt		<i>Material organico color negro con mezcla de arcilla y arena, presentando raices que se profundizan hasta 0.13 m</i>
0.57	0.32	18.23%	A-6(8)	CL		<i>Suelo arcilloso inorganica compacta con 66.43% de finos, plasticidad elevada, color negro con mezcla de arena. Con una resistencia al corte regular, compresibilidad y expansión de medianos a elevados en condición saturada. Con incrustaciones de gravas areniscas de 1" a 2" en un 10% de la muestra ensayada, contiene raices profundas</i>
3.10	2.53	19.38%	A-2-6(0)	SC		<i>El suelo es una arcilla arenosa compacta con 29.88 % de finos, de plasticidad mediana a elevada en condición saturada color amarillo oscuro con trazas de arcilla negra con una resistencia al corte regular a bueno, de compresibilidad. y expansión baja, con mezcla de rocas de diámetros de 2" hasta de 5" (Rocas areniscas cuarzosas) a partir de 1.50 se hace difícil la excavación manual por tener boloneras</i>

OBSERVACIONES :



UNIVERSIDAD NACIONAL DE SAN MARTIN
FACULTAD DE INGENIERIA CIVIL
LABORATORIO DE MECANICA DE SUELOS Y PAVIMENTOS

Proyecto: Estudios Mapas de Peligro de Las ciudades de Juanjui, Bellavista y San Hilarión

Localización del Proyecto: Provincia de Bellavista

Muestra: I

Descripción del Suelo: Suelos arenoso

Profundidad de la Muestra: 1.50

Hecho Por: Tec. Robert Navarro Mori

Calicata: _____

C-16

Fecha: _____

28/05/2004

Determinación del % de Humedad Natural

ASTM D2216

LATA	1	2	3
PESO DE LATA grs	58.61	58.70	55.79
PESO DEL SUELO HUMEDO + LATA grs	136.63	123.56	120.35
PESO DEL SUELO SECO + LATA grs	129.21	117.42	114.22
PESO DEL AGUA grs	7.42	6.14	6.13
PESO DEL SUELO SECO grs	70.60	58.72	58.43
% DE HUMEDAD	10.51	10.46	10.49
PROMEDIO % DE HUMEDAD	10.49		

Determinación del Gravedad Especifico de Solidos

ASTM D854

LATA	1	2
VOL. DEL FRASCO A 20° C.	500.00	500.00
METODO DE REMOCION DEL AIREa	Vacio	Vacio
PESO DEL FRASCO+AGUA+SUELO	789.80	788.97
TEMPERATURA, °C	23.00	23.00
PESO DEL FRASCO+AGUA grs	715.84	727.54
PLATO EVAPORADO N°	55	58
PESO DEL PLATO EVAP+SUELO SECO grs	320.00	300.00
PESO DEL SUELO SECO grs	120.00	100.00
VOLUMEN DE SOLIDOS cm ³	46.04	38.57
GRAVEDAD ESPECIFICA grs/cm ³	2.61	2.59
PROMEDIO grs/cm ³	2.60	

Peso Unitario Volumétrico (Densidad Natural)

ASTM D2937

LATA	1	2	3
PESO DE MOLDE grs	302.00	302.00	302.00
PESO DEL SUELO + MOLDE grs	690.00	695.00	695.00
PESO DEL SUELO SECO grs	388.00	393.00	393.00
VOLUMEN DEL MOLDE cm ³	246.30	246.30	246.30
PESO UNITARIO grs/cm ³	1.58	1.60	1.60
PROMEDIO grs/cm ³	1.589		

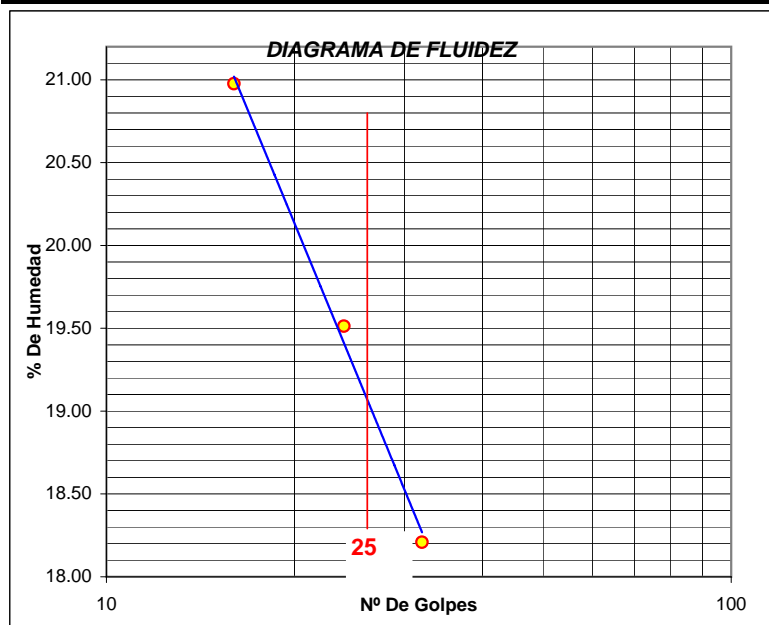


UNIVERSIDAD NACIONAL DE SAN MARTIN
FACULTAD DE INGENIERIA CIVIL
LABORATORIO DE MECANICA DE SUELOS Y PAVIMENTOS

Proyecto: Estudios Mapas de Peligro de Las ciudades de Juanjui, Bellavista y san Hilarión
 Localización del Proyecto: Provincia de Bellavista Muestra I
 Descripción del Suelo: Suelos arenoso Profundidad de la Muestra: 3.00
 Hecho Por : Tec. Robert navarro mori Calicata: C-16 Fecha: 28/05/2004

Determinación del Límite Líquido ASTM D4318

LATA	1	2	3
PESO DE LATA grs	15.12	14.10	15.02
PESO DEL SUELO HUMEDO + LATA grs	38.65	36.70	35.21
PESO DEL SUELO SECO + LATA grs	34.57	33.01	32.10
PESO DEL AGUA grs	4.08	3.69	3.11
PESO DEL SUELO SECO grs	19.45	18.91	17.08
% DE HUMEDAD	20.98	19.51	18.21
NUMERO DE GOLPES	16	24	32



Límite de Contracción	ND
Límite Líquido	19.42
Límite Plástico	NP
Indice de Plasticidad Ip	NP
Clasificación SUCS	SM
Clasificación AASHTO	A-4(2)

Determinación del Límite Plástico ASTM D4318

LATA			
PESO DE LATA grs			
PESO DEL SUELO HUMEDO + LATA grs			
PESO DEL SUELO SECO + LATA grs		NP	
PESO DEL AGUA grs			
PESO DEL SUELO SECO grs			
% DE HUMEDAD			
% PROMEDIO			

LIMITE DE CONTRACCION ASTM D427

Ensayo Nº	1	2	3
Peso Rec + Suelo húmedo Gr.			
Peso Rec + Suelo seco Gr.			
Peso de rec. De contracción Gr.			
Peso del suelo seco Gr.		ND	
Peso del agua Gr.			
Humedad %			
Volumen Inicial (Suelo Húmedo) cm3			
Volumen Final (Suelo Seco) cm3			
Límite de Contracción %			
Relación de Contracción			



UNIVERSIDAD NACIONAL DE SAN MARTIN

FACULTAD DE INGENIERIA CIVIL
LABORATORIO DE MECANICA DE SUELOS Y PAVIMENTOS

Proyecto: Estudios Mapas de Peligro de Las ciudades de Juanjui, Bellavista y san Hilarión

Localización del Proyecto: Provincia de Bellavista

Muestra I

Descripción del Suelo: Suelos arenoso

Profundidad de la Muestra: 3.00

Calicata: C-16

Hecho Por: Tec. Robert navarro mori

Fecha: 28/05/2004

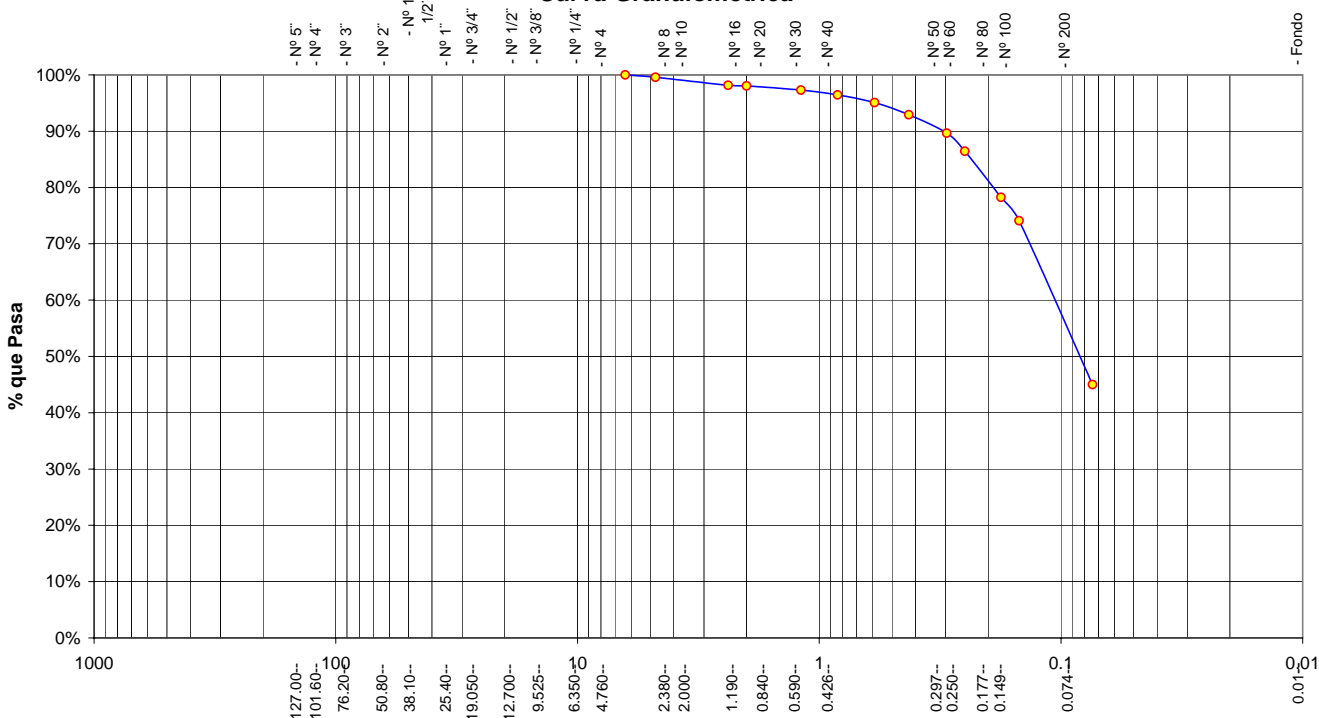
Análisis Granulométrico por Tamizado

ASTM D422

Tamices		Peso Retenido	% Retenido Parcial	% Retenido Acumulado	% Que Pasa	Especificaciones	Tamaño Máximo:						
Ø	(mm)												
5"	127.00												
4"	101.60												
3"	76.20												
2"	50.80												
1 1/2"	38.10												
1"	25.40												
3/4"	19.050												
1/2"	12.700												
3/8"	9.525												
1/4"	6.350				100.00%								
Nº 4	4.760	1.35	0.42%	0.42%	99.58%								
Nº 8	2.380	4.67	1.44%	1.85%	98.15%								
Nº 10	2.000	0.37	0.11%	1.97%	98.03%								
Nº 16	1.190	2.33	0.72%	2.69%	97.31%								
Nº 20	0.840	2.84	0.87%	3.56%	96.44%								
Nº 30	0.590	4.36	1.34%	4.90%	95.10%								
Nº 40	0.426	7.07	2.18%	7.08%	92.92%								
Nº 50	0.297	10.57	3.26%	10.34%	89.66%								
Nº 60	0.250	10.41	3.21%	13.55%	86.45%								
Nº 80	0.177	26.63	8.20%	21.75%	78.25%								
Nº 100	0.149	13.47	4.15%	25.90%	74.10%								
Nº 200	0.074	94.46	29.10%	55.00%	45.00%								
Fondo	0.01	146.07	45.00%	100.00%	0.00%								
TOTAL		324.60				A	B						

Modulo de Fineza AF:			
Modulo de Fineza AG:			
Equivalente de Arena:			
Descripción Muestras:			
Suelo arenoso color blanquesino con trazas de arena gris con clasificación 4/1			
SUCS =	SM	AASHTO =	A-4(2)
LL =	19.42	WT =	58.60
LP =	NP	WT+SAL =	383.20
IP =	NP	WSAL =	324.60
IG =		WT+SDL =	237.13
		WSDL =	178.53
D 90=	-	%ARC. =	45.00
D 60=	-	%ERR. =	0.00
D 30=	-	Cc =	-
D 10=	*	Cu =	-
Observaciones :			
<i>El suelo es una arena limosa, mezcla de arena y limo mal graduado con 45.00 % de finos, color blanquesino con trazas de arena gris con una resistencia al corte buena, de compresibilidad baja, conteniendo bloques macisos compactos de arena siendo difícil excavar a 1.95 m.</i>			
% de Humedad Natural de la muestra ensayada			
Número de tarro =	72	Peso del agua =	16.8
Peso del tarro =	58.6	Peso suelo húmedo=	341.4
Peso del tarro + Mh =	400	Peso suelo seco =	324.6
Peso del tarro + Ms =	383.2	% Humedad Muestra=	5.18

Curva Granulométrica





UNIVERSIDAD NACIONAL DE SAN MARTIN
FACULTAD DE INGENIERIA CIVIL
LABORATORIO DE MECANICA DE SUELOS Y PAVIMENTOS

Proyecto: Estudio de Mapas de Peligro de las Ciudades de Juanjui, Bellavista y San Hilarión.

Localización del proyecto : Provincia de Bellavista

Descripción del suelo : Suelo arenoso blanquesino con trazas de arena gris

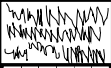
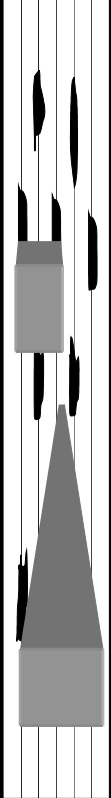
Prof. De la muestra : 3.20 m.

Realizado por : Téc. R.N.M.

Calicata: 16

Fecha de Ensayo: 28/05/04

REGISTRO DE EXCAVACIÓN

COTA <i>m</i>	ESPESOR <i>m</i>	HUMEDAD %	CLASIFICACION			DESCRIPCION DEL SUELO
			AASHTO	SUCS	SIMBOLO	
0.00						
0.20	0.20	18.95%		Pt		<i>Material organico color negro con mezcla de arcilla, presentando raices que se profundizan hasta lo 0.45 m.</i>
3.20	3.00	10.49%	A-4(2)	SM		<i>Suelo arenoso limoso, mezcla de arena y limo mal graduado con con 45% de finos de color blanquesino con trazas de arena gris Con una resistencia al corte de buena, compresibilidad baja en condición saturada. con contenidos de bloques macisos de arena siendo dificil la excavación manual a partir de 1.95 m.</i>

OBSERVACIONES : _____



UNIVERSIDAD NACIONAL DE SAN MARTIN
FACULTAD DE INGENIERIA CIVIL
LABORATORIO DE MECANICA DE SUELOS Y PAVIMENTOS

Proyecto: Estudios Mapas de Peligro de Las ciudades de Juanjui, Bellavista y san Hilarión
 Localización del Proyecto: Provincia de Bellavista Muestra I
 Descripción del Suelo: Suelos arenoso Profundidad de la Muestra: 2.80
 Hecho Por: Tec. Robert navarro mori Calicata: C-17 Fecha: 27/05/2004

Determinación del % de Humedad Natural

ASTM D2216

LATA	1	2	3
PESO DE LATA grs	36.55	28.26	33.43
PESO DEL SUELO HUMEDO + LATA grs	175.71	191.63	179.78
PESO DEL SUELO SECO + LATA grs	159.35	172.67	162.68
PESO DEL AGUA grs	16.36	18.96	17.10
PESO DEL SUELO SECO grs	122.80	144.41	129.25
% DE HUMEDAD	13.32	13.13	13.23
PROMEDIO % DE HUMEDAD	13.23		

Determinación del Gravedad Especifico de Solidos

ASTM D854

LATA	1	2
VOL. DEL FRASCO A 20° C.	500.00	500.00
METODO DE REMOCION DEL AIREa	Vacio	Vacio
PESO DEL FRASCO+AGUA+SUELO	700.98	700.02
TEMPERATURA, °C	23.00	23.00
PESO DEL FRASCO+AGUA grs	629.28	628.56
PLATO EVAPORADO N°	52	53
PESO DEL PLATO EVAP+SUELO SECO grs	320.00	320.00
PESO DEL SUELO SECO grs	120.00	120.00
VOLUMEN DE SOLIDOS cm3	48.30	48.54
GRAVEDAD ESPECIFICA grs/cm3	2.48	2.47
PROMEDIO grs/cm3	2.48	

Peso Unitario Volumétrico (Densidad Natural)

ASTM D2937

LATA	1	2	3
PESO DE MOLDE grs	302.00	302.00	302.00
PESO DEL SUELO + MOLDE grs	662.00	664.00	662.00
PESO DEL SUELO SECO grs	358.65	360.00	358.98
VOLUMEN DEL MOLDE cm3	246.30	246.30	246.30
PESO UNITARIO grs/cm3	1.46	1.46	1.46
PROMEDIO grs/cm3	1.458		

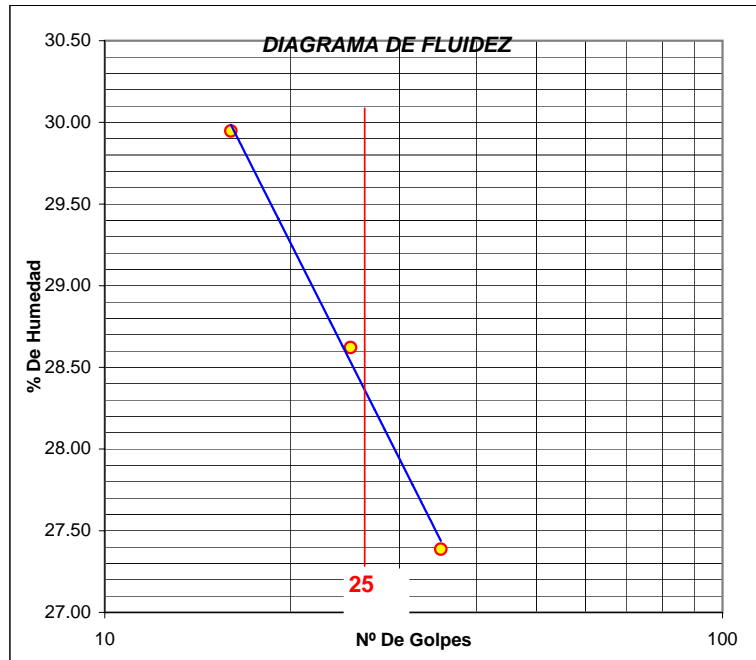


UNIVERSIDAD NACIONAL DE SAN MARTIN
FACULTAD DE INGENIERIA CIVIL
LABORATORIO DE MECANICA DE SUELOS Y PAVIMENTOS

Proyecto: Estudios Mapas de Peligro de Las ciudades de Juanjui, Bellavista y san Hilarión
 Localización del Proyecto: Provincia de Bellavista Muestra I
 Descripción del Suelo: Suelos arenoso Profundidad de la Muestra: 2.80
 Hecho Por : Tec. Robert navarro mori Calicata: C-17 Fecha: 27/05/2004

Determinación del Límite Líquido ASTM D4318

LATA	1	2	3
PESO DE LATA grs	28.84	36.09	34.66
PESO DEL SUELO HUMEDO + LATA grs	75.66	79.86	77.08
PESO DEL SUELO SECO + LATA grs	64.87	70.12	67.96
PESO DEL AGUA grs	10.79	9.74	9.12
PESO DEL SUELO SECO grs	36.03	34.03	33.30
% DE HUMEDAD	29.95	28.62	27.39
NUMERO DE GOLPES	16	25	35



Límite de Contracción	ND
Límite Líquido	28.62
Límite Plástico	22.93
Índice de Plasticidad Ip	5.69
Clasificación SUCS	ML
Clasificación AASHTO	NC

Determinación del Límite Plástico ASTM D4318

LATA	1	2	3
PESO DE LATA grs	35.71	28.74	36.09
PESO DEL SUELO HUMEDO + LATA grs	69.34	61.01	62.18
PESO DEL SUELO SECO + LATA grs	63.06	54.99	57.32
PESO DEL AGUA grs	6.28	6.02	4.86
PESO DEL SUELO SECO grs	27.35	26.25	21.23
% DE HUMEDAD	22.96	22.93	22.89
% PROMEDIO	22.93		

LIMITE DE CONTRACCION		ASTM D427	
Ensayo Nº			
Peso Rec + Suelo húmedo Gr.			
Peso Rec + Suelo seco Gr.			
Peso de rec. De contracción Gr.			
Peso del suelo seco Gr.		ND	
Peso del agua Gr.			
Humedad %			
Volumen Inicial (Suelo Húmedo) cm3			
Volumen Final (Suelo Seco) cm3			
Límite de Contracción %			
Relación de Contracción			



UNIVERSIDAD NACIONAL DE SAN MARTIN
FACULTAD DE INGENIERIA CIVIL
LABORATORIO DE MECANICA DE SUELOS Y PAVIMENTOS

Proyecto: Estudio Mapas de peligro de las ciudades de Juanjui, Bellavista y san hilarion.

Localización del proyecto : Provincia de Bellavista

Descripción del suelo : arenoso limoso color gris con clasificación 5/1

Prof. De la muestra : 3.00 m.

Realizado por


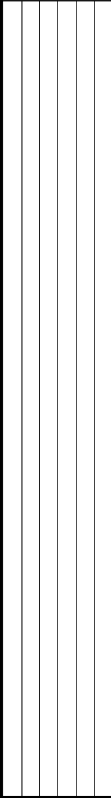
: Téc. R.N.M.

Calicata:

17

Fecha de Ensayo:27/05/03

REGISTRO DE EXCAVACIÓN

COTA <i>m</i>	ESPESOR <i>m</i>	HUMEDAD %	CLASIFICACION			DESCRIPCION DEL SUELO
			AASHTO	SUCS	SIMBOLO	
0.00						
0.20	0.20	45.32%		Pt		<i>Material de mezcla de materia organica, grava, arcilla y arena color negro, mezcla con arena blanquesina</i>
3.00	2.80	13.23%	NC	ML		<i>Suelo limoso inorganico blando conteniendo arenas finas arcillosas de plasticidad ligera con 95.76% de finos, color gris Con una resistencia al corte de regular, compresibilidad y expansión de medianos en condición saturada.</i>

OBSERVACIONES :



UNIVERSIDAD NACIONAL DE SAN MARTIN
FACULTAD DE INGENIERIA CIVIL
LABORATORIO DE MECANICA DE SUELOS Y PAVIMENTOS

Proyecto: Estudios Mapas de Peligro de Las ciudades de Juanjui, Bellavista y san Hilarión

Localización del Proyecto: Provincia de Bellavista

Descripción del Suelo: Suelos arenoso

Hecho Por : Tec. Robert navarro mori

Muestra I

Profundidad de la Muestra: 2.80

Calicata: C-18 Fecha: 25/05/2004

Determinación del % de Humedad Natural

ASTM D2216

LATA	1	2	3
PESO DE LATA grs	62.23	62.56	60.25
PESO DEL SUELO HUMEDO + LATA grs	162.53	164.58	165.23
PESO DEL SUELO SECO + LATA grs	146.23	147.96	148.16
PESO DEL AGUA grs	16.30	16.62	17.07
PESO DEL SUELO SECO grs	84.00	85.40	87.91
% DE HUMEDAD	19.40	19.46	19.42
PROMEDIO % DE HUMEDAD	19.43		

Determinación del Gravedad Especifico de Solidos

ASTM D854

LATA	1	2
VOL. DEL FRASCO A 20° C.	500.00	500.00
METODO DE REMOCION DEL AIREa	Vacio	Vacio
PESO DEL FRASCO+AGUA+SUELO	701.00	698.52
TEMPERATURA, °C	23.00	23.00
PESO DEL FRASCO+AGUA grs	629.25	627.00
PLATO EVAPORADO N°	52	53
PESO DEL PLATO EVAP+SUELO SECO grs	320.00	320.00
PESO DEL SUELO SECO grs	120.00	120.00
VOLUMEN DE SOLIDOS cm3	48.25	48.48
GRAVEDAD ESPECIFICA grs/cm3	2.49	2.48
PROMEDIO grs/cm3	2.48	

Peso Unitario Volumétrico (Densidad Natural)

ASTM D2937

LATA	1	2	3
PESO DE MOLDE grs	302.00	302.00	302.00
PESO DEL SUELO + MOLDE grs	660.00	663.00	661.00
PESO DEL SUELO SECO grs	358.00	361.00	359.00
VOLUMEN DEL MOLDE cm3	246.30	246.30	246.30
PESO UNITARIO grs/cm3	1.45	1.47	1.46
PROMEDIO grs/cm3	1.459		

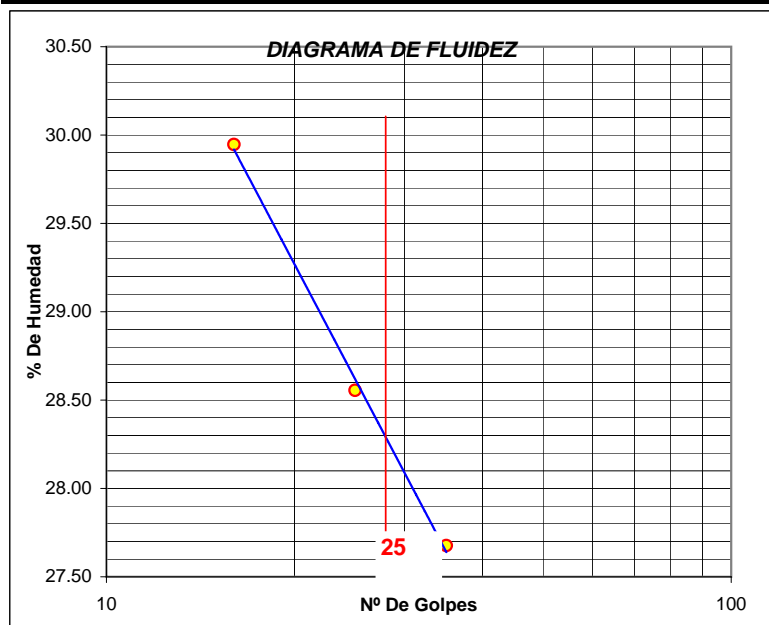


UNIVERSIDAD NACIONAL DE SAN MARTIN
FACULTAD DE INGENIERIA CIVIL
LABORATORIO DE MECANICA DE SUELOS Y PAVIMENTOS

Proyecto: Estudios Mapas de Peligro de Las ciudades de Juanjui, Bellavista y san Hilarión
 Localización del Proyecto: Provincia de Bellavista Muestra I
 Descripción del Suelo: Suelos arenoso Profundidad de la Muestra: 2.80
 Hecho Por : Tec. Robert navarro mori Calicata: C-18 Fecha: 25/05/2004

Determinación del Límite Líquido ASTM D4318

LATA	1	2	3
PESO DE LATA grs	20.01	20.13	20.12
PESO DEL SUELO HUMEDO + LATA grs	56.33	54.66	52.32
PESO DEL SUELO SECO + LATA grs	47.96	46.99	45.34
PESO DEL AGUA grs	8.37	7.67	6.98
PESO DEL SUELO SECO grs	27.95	26.86	25.22
% DE HUMEDAD	29.95	28.56	27.68
NUMERO DE GOLPES	16	25	35



Límite de Contracción	ND
Límite Líquido	28.56
Límite Plástico	23.43
Indice de Plasticidad Ip	5.13
Clasificación SUCS	ML
Clasificación AASHTO	NC

Determinación del Límite Plástico ASTM D4318

LATA	1	2	3
PESO DE LATA grs	20.24	20.56	58.70
PESO DEL SUELO HUMEDO + LATA grs	45.23	48.56	78.95
PESO DEL SUELO SECO + LATA grs	40.49	43.25	75.10
PESO DEL AGUA grs	4.74	5.31	3.85
PESO DEL SUELO SECO grs	20.25	22.69	16.40
% DE HUMEDAD	23.41	23.40	23.48
% PROMEDIO	23.43		

LIMITE DE CONTRACCION ASTM D427			
Ensayo Nº			
Peso Rec + Suelo húmedo Gr.			
Peso Rec + Suelo seco Gr.			
Peso de rec. De contracción Gr.			
Peso del suelo seco Gr.		ND	
Peso del agua Gr.			
Humedad %			
Volumen Inicial (Suelo Húmedo) cm3			
Volumen Final (Suelo Seco) cm3			
Límite de Contracción %			
Relación de Contracción			



UNIVERSIDAD NACIONAL DE SAN MARTIN
FACULTAD DE INGENIERIA CIVIL
LABORATORIO DE MECANICA DE SUELOS Y PAVIMENTOS

Proyecto: Estudio Mapas de peligro de las ciudades de Juanjui, Bellavista y san hilarion.

Localización del proyecto : Provincia de Bellavista

Descripción del suelo : arenoso limoso color gris con clasificación 5/1


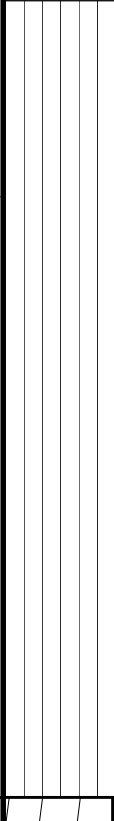
Prof. De la muestra : 3.00 m.

Realizado por : Téc. R.N.M.

Calicata: 18

Fecha de Ensayo: 25/05/03

REGISTRO DE EXCAVACIÓN

COTA <i>m</i>	ESPESOR <i>m</i>	HUMEDAD %	CLASIFICACION			DESCRIPCION DEL SUELO
			AASHTO	SUCS	SIMBOLO	
0.00						
0.20	0.20	33.23%		Pt		<i>Material de mezcla de materia organica, grava, arcilla y arena color negro a 15.63 m. del centro del eje de calle</i>
3.00	2.80	19.43%	NC	ML		<i>Suelo limoso inorganico blando conteniendo arenas finas arcillosas de plasticidad ligera con 84.58% de finos, color gris Con una resistencia al corte de regular, compresibilidad y expansión de medianos en condición saturada. se encuentra a 225 metros del cauce del rio</i>

OBSERVACIONES : _____



UNIVERSIDAD NACIONAL DE SAN MARTIN
FACULTAD DE INGENIERIA CIVIL
LABORATORIO DE MECANICA DE SUELOS Y PAVIMENTOS

Proyecto: Estudios Mapas de Peligro de Las ciudades de Juanjui, Bellavista y San Hilarión

Localización del Proyecto: Provincia de Bellavista

Descripción del Suelo: Suelos arenoso

Hecho Por: Tec. Robert Navarro Mori

Muestra: I

Profundidad de la Muestra: 2.90

Calicata: C-19 Fecha: 22/05/2004

Determinación del % de Humedad Natural

ASTM D2216

LATA	1	2	3
PESO DE LATA grs	59.30	58.77	58.60
PESO DEL SUELO HUMEDO + LATA grs	125.38	123.56	145.26
PESO DEL SUELO SECO + LATA grs	117.29	115.62	134.62
PESO DEL AGUA grs	8.09	7.94	10.64
PESO DEL SUELO SECO grs	57.99	56.85	76.02
% DE HUMEDAD	13.95	13.97	14.00
PROMEDIO % DE HUMEDAD	13.97		

Determinación del Gravedad Especifico de Solidos

ASTM D854

LATA	1	2
VOL. DEL FRASCO A 20° C.	500.00	500.00
METODO DE REMOCION DEL AIREa	Vacio	Vacio
PESO DEL FRASCO+AGUA+SUELO	715.25	788.45
TEMPERATURA, °C	23.00	23.00
PESO DEL FRASCO+AGUA grs	655.00	716.22
PLATO EVAPORADO N°	73	74
PESO DEL PLATO EVAP+SUELO SECO grs	300.00	320.00
PESO DEL SUELO SECO grs	100.00	120.00
VOLUMEN DE SOLIDOS cm3	39.75	47.77
GRAVEDAD ESPECIFICA grs/cm3	2.52	2.51
PROMEDIO grs/cm3	2.51	

Peso Unitario Volumétrico (Densidad Natural)

ASTM D2937

LATA	1	2	3
PESO DE MOLDE grs	302.00	302.00	302.00
PESO DEL SUELO + MOLDE grs	665.00	665.00	667.00
PESO DEL SUELO SECO grs	363.00	363.00	365.00
VOLUMEN DEL MOLDE cm3	246.30	246.30	246.30
PESO UNITARIO grs/cm3	1.47	1.47	1.48
PROMEDIO grs/cm3	1.477		

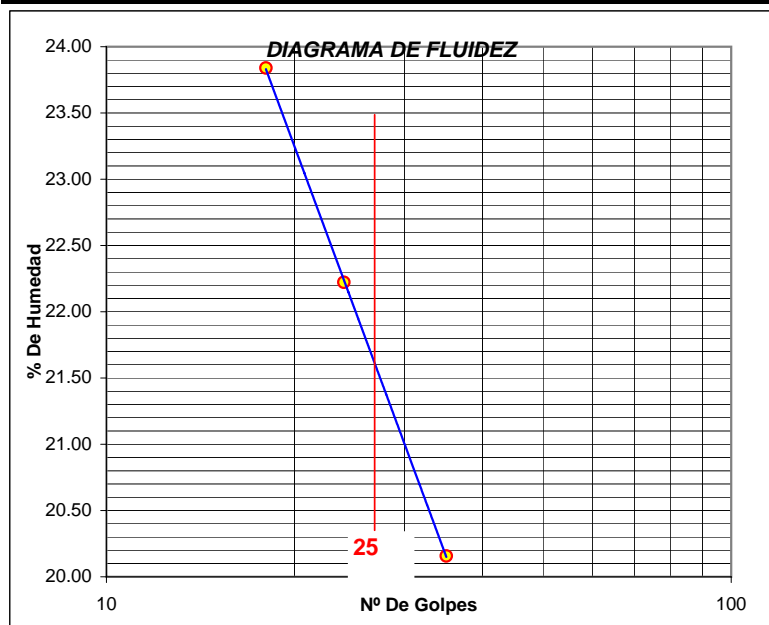


UNIVERSIDAD NACIONAL DE SAN MARTIN
FACULTAD DE INGENIERIA CIVIL
LABORATORIO DE MECANICA DE SUELOS Y PAVIMENTOS

Proyecto: Estudios Mapas de Peligro de Las ciudades de Juanjui, Bellavista y san Hilarión
 Localización del Proyecto: Provincia de Bellavista Muestra: I
 Descripción del Suelo: Suelos arenoso Profundidad de la Muestra: 2.90
 Hecho Por: Tec. Robert navarro mori Calicata: C-19 Fecha: 22/05/2004

Determinación del Límite Líquido ASTM D4318

LATA	1	2	3
PESO DE LATA grs	23.85	24.03	22.85
PESO DEL SUELO HUMEDO + LATA grs	53.20	54.61	48.96
PESO DEL SUELO SECO + LATA grs	47.55	49.05	44.58
PESO DEL AGUA grs	5.65	5.56	4.38
PESO DEL SUELO SECO grs	23.70	25.02	21.73
% DE HUMEDAD	23.84	22.22	20.16
NUMERO DE GOLPES	18	24	35



Límite de Contracción	ND
Límite Líquido	22.11
Límite Plástico	17.00
Indice de Plasticidad Ip	5.11
Clasificación SUCS	ML
Clasificación AASHTO	A-4(5)

Determinación del Límite Plástico ASTM D4318

LATA	1	2	3
PESO DE LATA grs	17.10	17.08	17.10
PESO DEL SUELO HUMEDO + LATA grs	34.57	35.26	32.24
PESO DEL SUELO SECO + LATA grs	32.03	32.62	30.04
PESO DEL AGUA grs	2.54	2.64	2.20
PESO DEL SUELO SECO grs	14.93	15.54	12.94
% DE HUMEDAD	17.01	16.99	17.00
% PROMEDIO	17.00		

LIMITE DE CONTRACCION ASTM D427			
Ensayo Nº			
Peso Rec + Suelo húmedo Gr.			
Peso Rec + Suelo seco Gr.			
Peso de rec. De contracción Gr.			
Peso del suelo seco Gr.		ND	
Peso del agua Gr.			
Humedad %			
Volumen Inicial (Suelo Húmedo) cm3			
Volumen Final (Suelo Seco) cm3			
Límite de Contracción %			
Relación de Contracción			



UNIVERSIDAD NACIONAL DE SAN MARTIN
FACULTAD DE INGENIERIA CIVIL
LABORATORIO DE MECANICA DE SUELOS Y PAVIMENTOS

Proyecto: Estudios Mapas de Peligro de Las ciudades de Juanjui, Bellavista y san Hilarión
 Localización del Proyecto: Provincia de Bellavista Muestra: I
 Descripción del Suelo: Suelos arenoso Profundidad de la Muestra: 2.90 Calicata: C-19
 Hecho Por: Tec. Robert navarro mori Fecha: 22/05/2004

Análisis Granulométrico por Tamizado

ASTM D422

Tamices	Peso Retenido	% Retenido Parcial	% Retenido Acumulado	% Que Pasa	Especificaciones	Tamaño Máximo:
Ø (mm)						-
5"	127.00					-
4"	101.60					-
3"	76.20					-
2"	50.80					-
1 1/2"	38.10					-
1"	25.40					-
3/4"	19.050					-
1/2"	12.700					-
3/8"	9.525			100.00%		-
1/4"	6.350	0.39	0.13%	0.13%	99.87%	-
Nº 4	4.760	0.34	0.11%	0.24%	99.76%	-
Nº 8	2.380	1.30	0.43%	0.67%	99.33%	-
Nº 10	2.000	0.42	0.14%	0.81%	99.19%	-
Nº 16	1.190	0.73	0.24%	1.06%	98.94%	-
Nº 20	0.840	0.51	0.17%	1.23%	98.77%	-
Nº 30	0.590	0.72	0.24%	1.47%	98.53%	-
Nº 40	0.426	2.13	0.71%	2.17%	97.83%	-
Nº 50	0.297	4.43	1.47%	3.65%	96.35%	-
Nº 60	0.250	6.16	2.05%	5.69%	94.31%	-
Nº 80	0.177	20.93	6.96%	12.65%	87.35%	-
Nº 100	0.149	13.51	4.49%	17.14%	82.86%	-
Nº 200	0.074	63.07	20.96%	38.10%	61.90%	-
Fondo	0.01	186.23	61.90%	100.00%	0.00%	-
TOTAL		300.87				

SUCS =	ML	AASHTO =	A - 4 (5)
LL =	22.11	WT =	59.13
LP =	17.00	WT+SAL =	360.00
IP =	5.11	WSAL =	300.87
IG =		WT+SDL =	173.77
		WSDL =	114.64
D 90=	-	%ARC. =	61.90
D 60=	-	%ERR. =	0.00
D 30=	-	Cc =	-
D 10=	*	Cu =	-

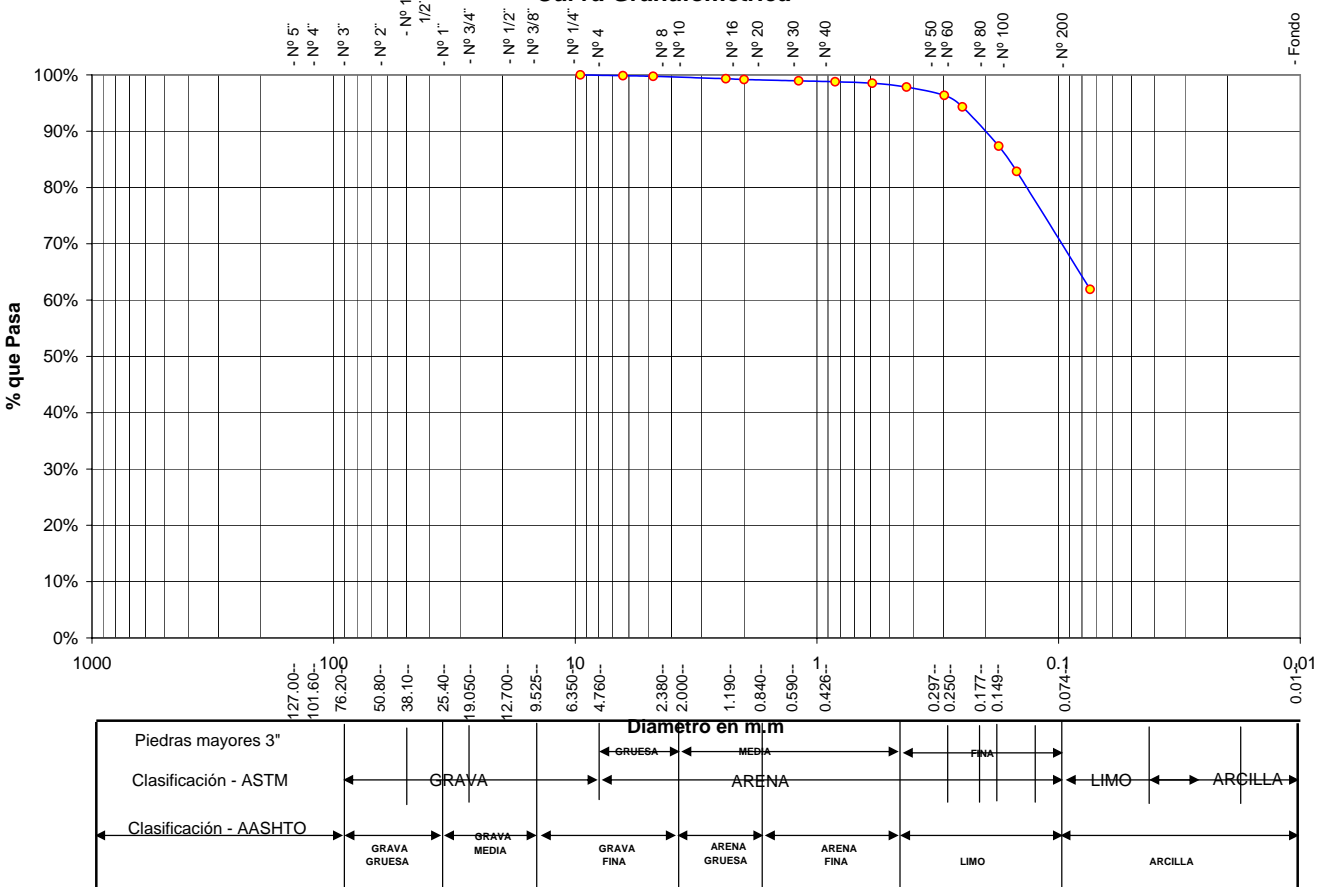
Descripción Muestras:
Suelo arenoso limoso grisáceo con clasificación 5/2

Observaciones:
El suelo es limo inorgánico blando con arenas finas arcillosas con 61.90% de finos, color grisáceo de plasticidad ligera con una resistencia al corte de regular, de compresibilidad mediana, se encuentra a 225 m del cauce del río.

% de Humedad Natural de la muestra ensayada

Número de tarro =	45	Peso del agua =	7.4
Peso del tarro =	59.13	Peso suelo húmedo =	308.27
Peso del tarro + Mh =	367.4	Peso suelo seco =	300.87
Peso del tarro + Ms =	360	% Humedad Muestra =	2.46

Curva Granulométrica





UNIVERSIDAD NACIONAL DE SAN MARTIN
FACULTAD DE INGENIERIA CIVIL
LABORATORIO DE MECANICA DE SUELOS Y PAVIMENTOS

Proyecto: Estudio Mapas de peligro de las ciudades de Juanjui, Bellavista y san hilarion.

Localización del proyecto : Provincia de Bellavista

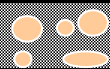
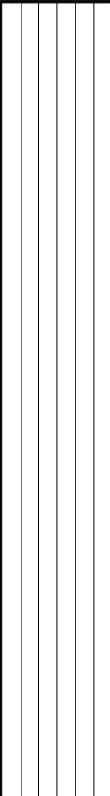
Descripción del suelo : arenoso limoso color gris con clasificación 5/2

Prof. De la muestra : 3.20 m.

Realizado por : Téc. R.N.M.

Calicata: 19 **Fecha de Ensayo:** 22/05/03

REGISTRO DE EXCAVACIÓN

COTA m	ESPESOR m	HUMEDAD %	CLASIFICACION			DESCRIPCION DEL SUELO
			AASHTO	SUCS	SIMBOLO	
0.00						
0.30	0.30	2.35%		R		Material de rrelleno con mezcla de grava y arcilla con gravas de diámetros hasta de 2" se encuentra a 1.30 m de la carretera
	2.90	13.97%	A-4(5)	ML		Suelo limoso inorganico blando conteniendo arenas finas arcillosas de plasticidad ligera con 61.90% de finos,color grisaceo Con una resistencia al corte de regular, compresibilidad y expansión de medianos en condición saturada. se encuentra a 225 metros del cauce del rio
3.20						

OBSERVACIONES : _____



UNIVERSIDAD NACIONAL DE SAN MARTIN
FACULTAD DE INGENIERIA CIVIL
LABORATORIO DE MECANICA DE SUELOS Y PAVIMENTOS

Proyecto: Estudios Mapas de Peligro de Las ciudades de Juanjui, Bellavista y San Hilarión

Localización del Proyecto: Provincia de Bellavista

Muestra: I

Descripción del Suelo: Suelos arenoso

Profundidad de la Muestra: 2.60

Hecho Por: Tec. Robert Navarro Mori

Calicata:

C-20

Fecha:

22/05/2004

Determinación del % de Humedad Natural

ASTM D2216

LATA	1	2	3
PESO DE LATA grs	59.07	59.25	58.72
PESO DEL SUELO HUMEDO + LATA grs	119.56	145.32	156.23
PESO DEL SUELO SECO + LATA grs	109.19	130.54	139.51
PESO DEL AGUA grs	10.37	14.78	16.72
PESO DEL SUELO SECO grs	50.12	71.29	80.79
% DE HUMEDAD	20.69	20.73	20.70
PROMEDIO % DE HUMEDAD	20.71		

Determinación del Gravedad Especifico de Solidos

ASTM D854

LATA	1	2
VOL. DEL FRASCO A 20° C.	500.00	500.00
METODO DE REMOCION DEL AIREa	Vacio	Vacio
PESO DEL FRASCO+AGUA+SUELO	698.56	695.23
TEMPERATURA, °C	23.00	23.00
PESO DEL FRASCO+AGUA grs	626.58	623.21
PLATO EVAPORADO N°	52	53
PESO DEL PLATO EVAP+SUELO SECO grs	320.00	320.00
PESO DEL SUELO SECO grs	120.00	120.00
VOLUMEN DE SOLIDOS cm ³	48.02	47.98
GRAVEDAD ESPECIFICA grs/cm ³	2.50	2.50
PROMEDIO grs/cm ³	2.50	

Peso Unitario Volumétrico (Densidad Natural)

ASTM D2937

LATA	1	2	3
PESO DE MOLDE grs	302.00	302.00	302.00
PESO DEL SUELO + MOLDE grs	663.00	663.00	663.00
PESO DEL SUELO SECO grs	361.00	361.00	361.00
VOLUMEN DEL MOLDE cm ³	246.30	246.30	246.30
PESO UNITARIO grs/cm ³	1.47	1.47	1.47
PROMEDIO grs/cm ³	1.466		

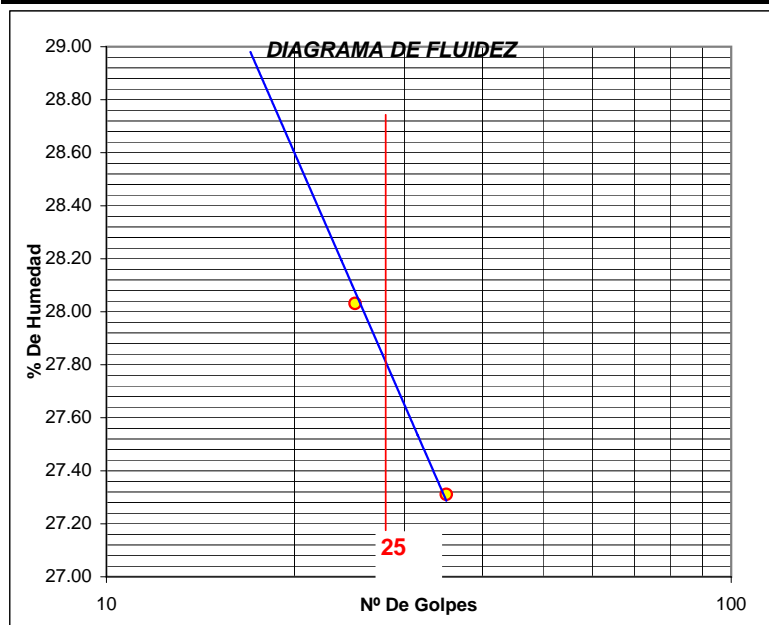


UNIVERSIDAD NACIONAL DE SAN MARTIN
FACULTAD DE INGENIERIA CIVIL
LABORATORIO DE MECANICA DE SUELOS Y PAVIMENTOS

Proyecto: Estudios Mapas de Peligro de Las ciudades de Juanjui, Bellavista y san Hilarión
 Localización del Proyecto: Provincia de Bellavista Muestra I
 Descripción del Suelo: Suelos arenoso Profundidad de la Muestra: 2.60
 Hecho Por : Tec. Robert navarro mori Calicata: C-20 Fecha: 22/05/2004

Determinación del Límite Líquido ASTM D4318

LATA	1	2	3
PESO DE LATA grs	14.75	14.71	14.14
PESO DEL SUELO HUMEDO + LATA grs	54.65	52.30	44.58
PESO DEL SUELO SECO + LATA grs	45.68	44.07	38.05
PESO DEL AGUA grs	8.97	8.23	6.53
PESO DEL SUELO SECO grs	30.93	29.36	23.91
% DE HUMEDAD	29.00	28.03	27.31
NUMERO DE GOLPES	17	25	35



Límite de Contracción	ND
Límite Líquido	28.03
Límite Plástico	22.77
Indice de Plasticidad Ip	5.26
Clasificación SUCS	ML
Clasificación AASHTO	NC

Determinación del Límite Plástico ASTM D4318

LATA	1	2	3
PESO DE LATA grs	15.26	15.24	15.42
PESO DEL SUELO HUMEDO + LATA grs	35.20	32.87	35.00
PESO DEL SUELO SECO + LATA grs	31.50	29.60	31.37
PESO DEL AGUA grs	3.70	3.27	3.63
PESO DEL SUELO SECO grs	16.24	14.36	15.95
% DE HUMEDAD	22.78	22.77	22.76
% PROMEDIO	22.77		

LIMITE DE CONTRACCION ASTM D427			
Ensayo Nº			
Peso Rec + Suelo húmedo Gr.			
Peso Rec + Suelo seco Gr.			
Peso de rec. De contracción Gr.			
Peso del suelo seco Gr.		ND	
Peso del agua Gr.			
Humedad %			
Volumen Inicial (Suelo Húmedo) cm3			
Volumen Final (Suelo Seco) cm3			
Límite de Contracción %			
Relación de Contracción			



UNIVERSIDAD NACIONAL DE SAN MARTIN
FACULTAD DE INGENIERIA CIVIL
LABORATORIO DE MECANICA DE SUELOS Y PAVIMENTOS

Proyecto: Estudio Mapas de peligro de las ciudades de Juanjui, Bellavista y san hilarion.

Localización del proyecto : Provincia de Bellavista

Descripción del suelo : arenoso limoso color gris con clasificación 5/1

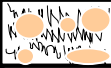
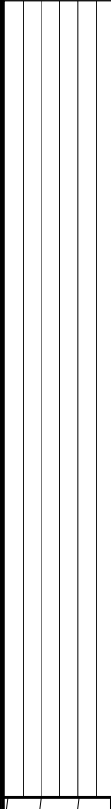
Prof. De la muestra : 3.20 m.

Realizado por : Téc. R.N.M.

Calicata: 20

Fecha de Ensayo: 22/05/03

REGISTRO DE EXCAVACIÓN

COTA <i>m</i>	ESPESOR <i>m</i>	HUMEDAD %	CLASIFICACION			DESCRIPCION DEL SUELO
			AASHTO	SUCS	SIMBOLO	
0.00						
0.40	0.40	4.00%		R		<i>Material de rrelleno con mezcla de grava y arcilla con gravas de diámetros hasta de 2" se encuentra a 8.00 m de la carretera</i>
3.00	2.60	20.71%	NC	ML		<i>Suelo limoso inorganico blando conteniendo arenas finas arcillosas de plasticidad ligera con 84.58% de finos,color gris Con una resistencia al corte de regular, compresibilidad y expansión de medianos en condición saturada. se encuentra a 225 metros del cauce del rio</i>

OBSERVACIONES : _____

ANEXO N° 03

**MEMORIA DE CÁLCULO DE LA
CAPACIDAD DE CARGA
ADMISIBLE**

3.4.5.1 CAPACIDAD DE CARGA ADMISIBLE POR FALLA DE CORTE

La capacidad última y capacidad admisible de carga serán determinadas aplicando la teoría de Karl Tersaghi, utilizando la siguientes expresiones:

$$q_u = 0.867 C N_c' + \gamma D_f N_q' + 0.4 \gamma B N_\gamma'$$
$$q_{ad} = q_u / F_s$$

Donde:

q_u : Capacidad Última de Carga

q_{ad} : Capacidad Admisible de Carga

F_s : Factor de Seguridad

γ : Densidad Natural

B : Ancho de la Zapata

D_f : Profundidad de la Cimentación

C : Cohesión

N_c' , N_q' , N_γ' : Factores de Carga en Función del Angulo de Fricción " ϕ "

ZONA I:

- Angulo de fricción interna : ϕ = 27.74°
- Cohesión : C = 0.16 kg/cm²
- Densidad Natural : γ_n = 1.54 x 10⁻³ kg/cm³
- Nivel freático : D_w = -
- Prof. de la cimentación : D_f = 1.5m
- Factor de carga : N_c' = 17.13
 N_q' = 7.07
 N_γ' = 3.29
- Ancho de la cimentación : B = 1.5m
- Factor de seguridad : F_s = 3

Utilizando la ecuación propuesta se obtiene:

$$q_u = 4.31 \text{ kg/cm}^2$$

$$q_{ad} = 1.44 \text{ kg/cm}^2$$

ZONA I I:

- Angulo de fricción interna : $\phi = 25^\circ$
- Cohesión : $C = 0.27 \text{ kg/cm}^2$
- Densidad Natural : $\gamma_n = 1.48 \times 10^{-3} \text{ kg/cm}^3$
- Nivel freático : $D_w = -$
- Prof. de la cimentación : $D_f = 1.5\text{m}$
- Factor de carga : $N'_c = 14.80$
 $N'_q = 5.60$
 $N'_\gamma = 2.25$
- Ancho de la cimentación : $B = 1.5\text{m}$
- Factor de seguridad : $F_s = 4$

Utilizando la ecuación propuesta se obtiene:

$$Q_u = 4.90 \text{ kg/cm}^2$$

$Q_{ad} = 1.22 \text{ kg/cm}^2$

ZONA III:

- Angulo de fricción interna : $\phi = 36.6^\circ$
- Cohesión : $C = 0.01 \text{ kg/cm}^2$
- Densidad Natural : $\gamma_n = 1.59 \times 10^{-3} \text{ kg/cm}^3$
- Nivel freático : $D_w = -$
- Prof. de la cimentación : $D_f = 1.5\text{m}$
- Factor de carga : $N'_c = 26.77$
 $N'_q = 13.97$
 $N'_\gamma = 9.41$
- Ancho de la cimentación : $B = 1.5\text{m}$
- Factor de seguridad : $F_s = 3$

Utilizando la ecuación propuesta se obtiene:

$$Q_u = 4.46 \text{ kg/cm}^2$$

$Q_{ad} = 1.48 \text{ kg/cm}^2$

ZONA IV:

- Angulo de fricción interna : ϕ = 11.00°
- Cohesión : C = 0.32 kg/cm²
- Densidad Natural : γ_n = 1.53 x 10⁻³ kg/cm³
- Nivel freático : Dw = -
- Prof. de la cimentación : Df = 1.5 m
- Factor de carga : N'c = 8.32
N'q = 2.08
N'γ = 0.3
- Ancho de la cimentación : B = 1.5m
- Factor de seguridad : Fs = 3

Utilizando la ecuación propuesta se obtiene:

$$Q_u = 2.81 \text{ kg/cm}^2$$

$$Q_{ad} = 0.93 \text{ kg/cm}^2$$

3.4.5.2. CAPACIDAD DE CARGA ADMISIBLE POR ASENTAMIENTO

Se calculará en Base a la teoría de la elasticidad conociendo el tipo de cimentación superficial recomendado, el asentamiento inicial elástico para:

$$S = \frac{\Delta q_s B(1 - u^2) l_w}{E_s}$$

Donde:

- S = Asentamiento en cm.
- Δq_s = Esfuerzo neto transmitido (Tn./m²)
- B = Ancho de la cimentación (m)
- E_s = Modulo de elasticidad (Tn./m²)
- u = Relación de Poisson
- l_w = Factor de influencia, en función de la forma y rigidez de la cimentación

ZONA I:

$$S = \frac{\Delta q_s B(1 - u^2)^2 l_w}{E_s}$$

Sp = Asentamiento probable

$\Delta q_s = 14.4 \text{ Tn/m}^2$

B = 1.5m

$E_s = 1000 \text{ Tn/m}^2$

u = 0.25

lw = 0.82

Sp = 1.66 cm

OK < 2.54 cm

ZONA II:

$$S = \frac{\Delta q_s B(1 - u^2) l_w}{E_s}$$

Sp = Asentamiento probable

$\Delta q_s = 12.2 \text{ Tn./m}^2$

B = 1.5m

$E_s = 500 \text{ Tn./m}^2$

u = 0.35

lw = 0.82

Sp = 2.63cm

> 2.54 m

Por lo tanto la capacidad de carga será:

Qad = 1.18 kg/cm²

ZONA III:

$$S = \frac{\Delta q_s B(1 - u^2) l_w}{E_s}$$

Sp = Asentamiento probable

$\Delta q_s = 14.8 \text{ Tn/m}^2$

B = 1.5m

$E_s = 1000 \text{ Tn/m}^2$

u = 0.35

lw = 0.82

Sp = 1.60 cm

OK < 2.54 cm

ZONA IV :

$$S = \frac{\Delta q_s B(1 - u^2) l_w}{E_s}$$

Sp = Asentamiento probable

$\Delta q_s = 9.3 \text{ Tn/m}^2$

B = 1.5m

Es = 675 Tn/m²

u = 0.35

lw = 0.82

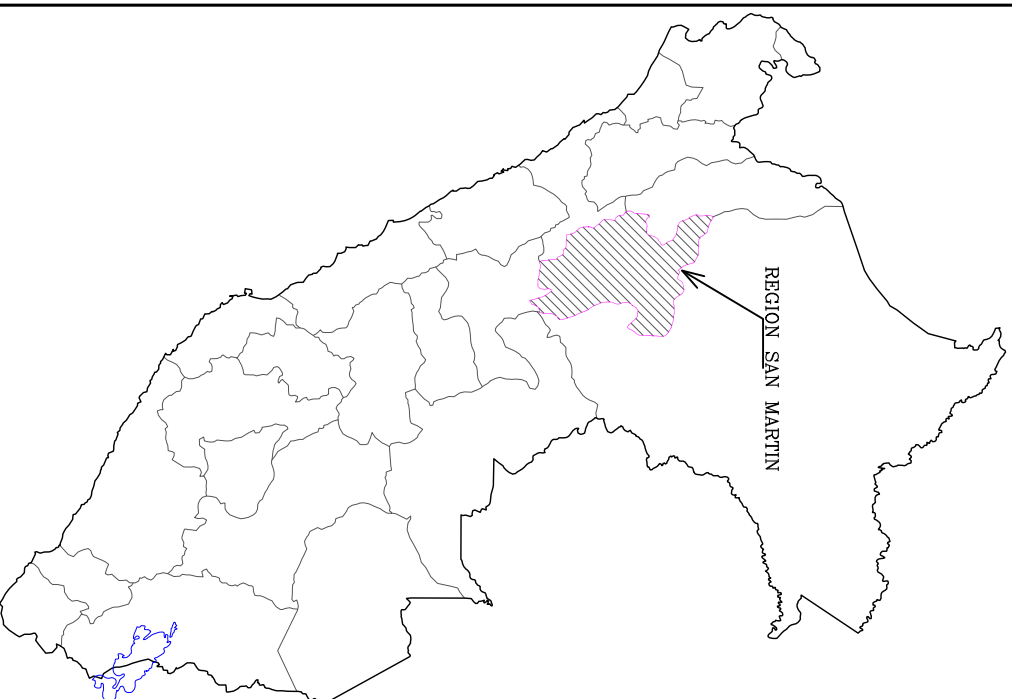
Sp = 1.49 cm

OK < 2.54 cm

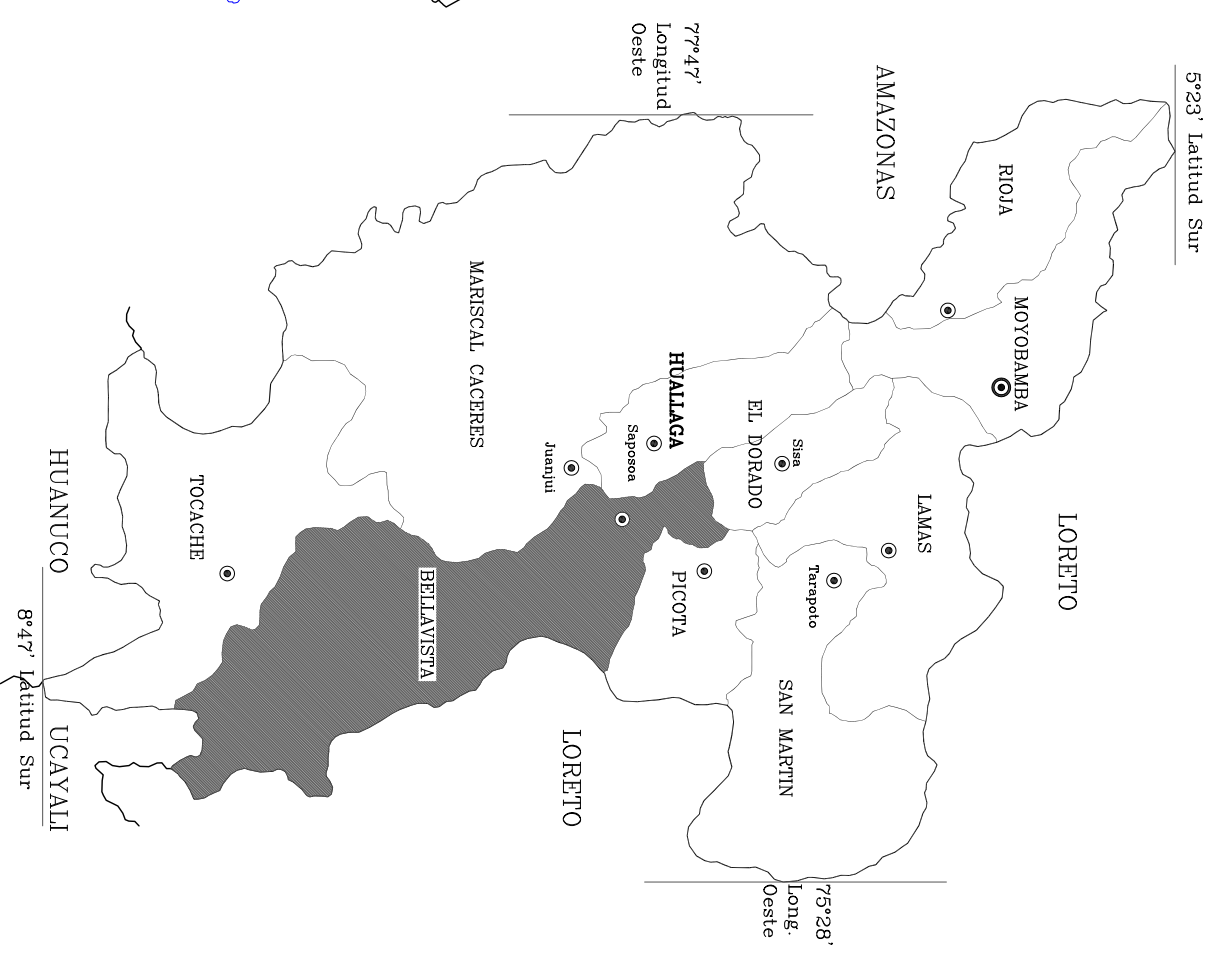
ANEXO N° 04

PLANOS

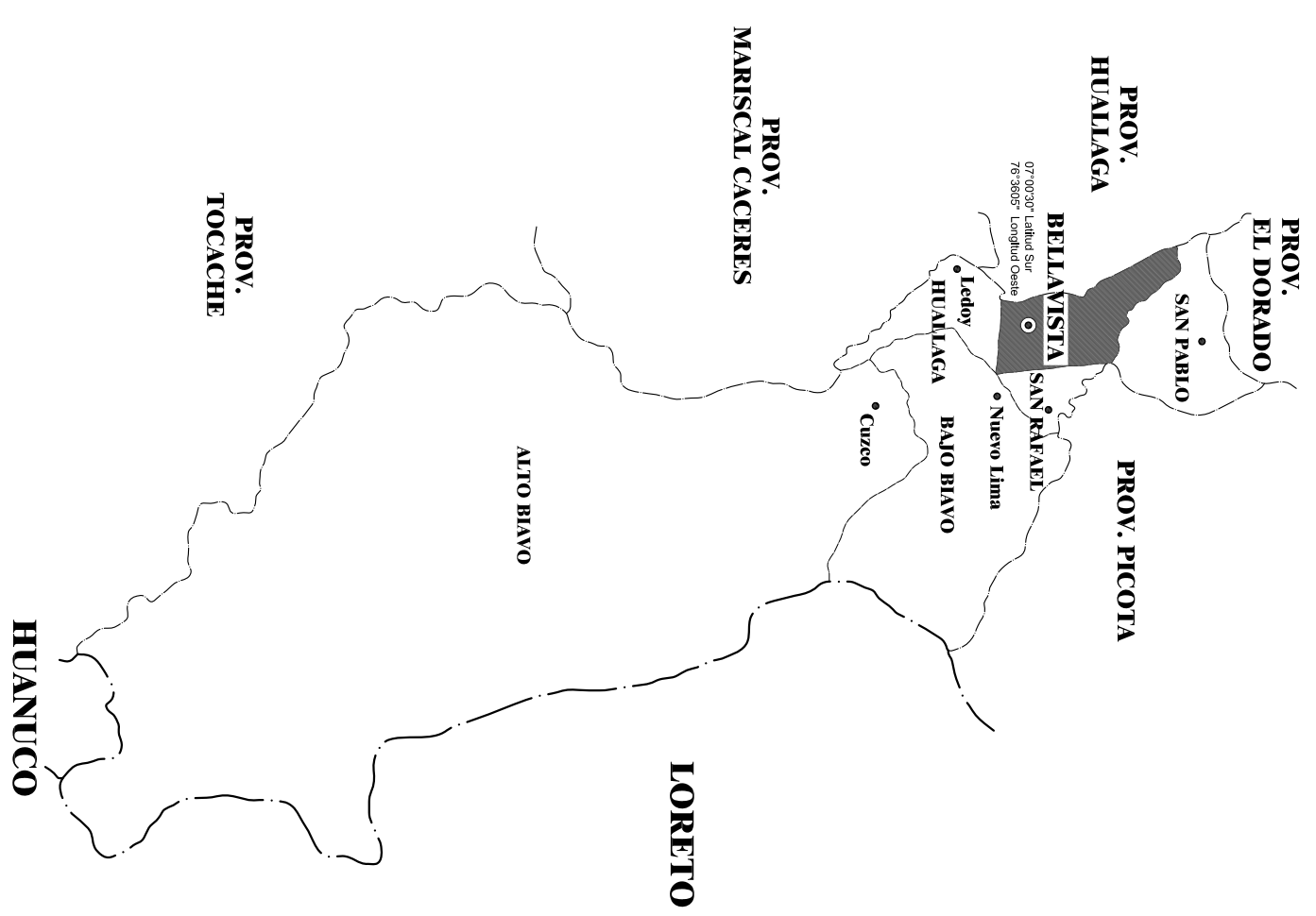
UBICACION EN EL PERU



REGION SAN MARTIN



PROVINCIA DE BELLAVISTA



LEYENDA

- LIMITE DEPARTAMENTAL
- LIMITE PROVINCIAL
- CIUDAD CAPITAL
- CAPITAL PROVINCIAL



INDECI - PNUD - PER / 02 / 051

PROYECTO- CIUDADES SOSTENIBLES

ESTUDIO:

MAPA DE PELIGROS DE LA CIUDAD DE BELLAVISTA

PLANO-

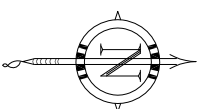
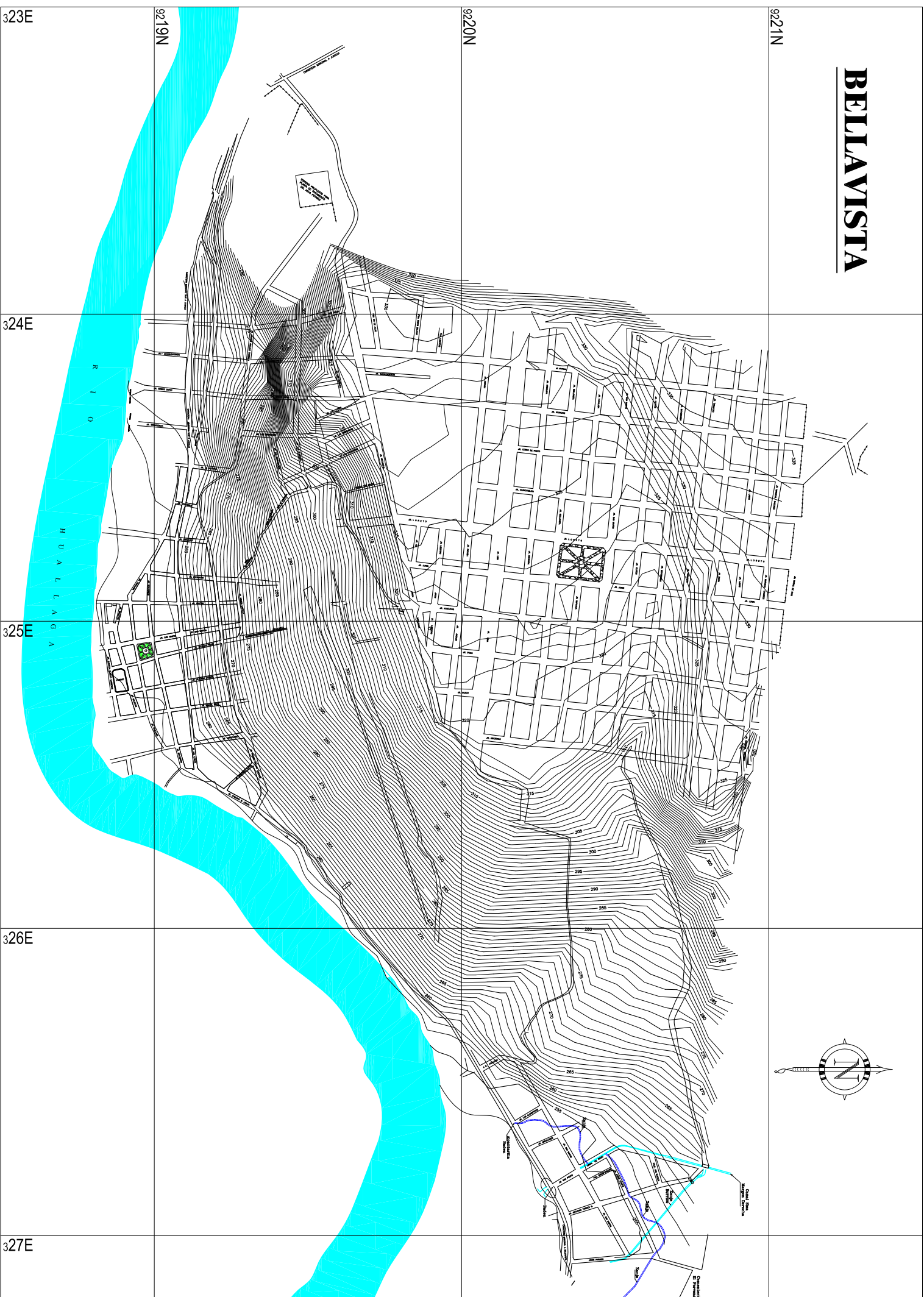
01

FECHA:
JUNIO 2004





MAPA:
UBICACION DEL PROYECTO

ESCALA:

BELLAVISTA



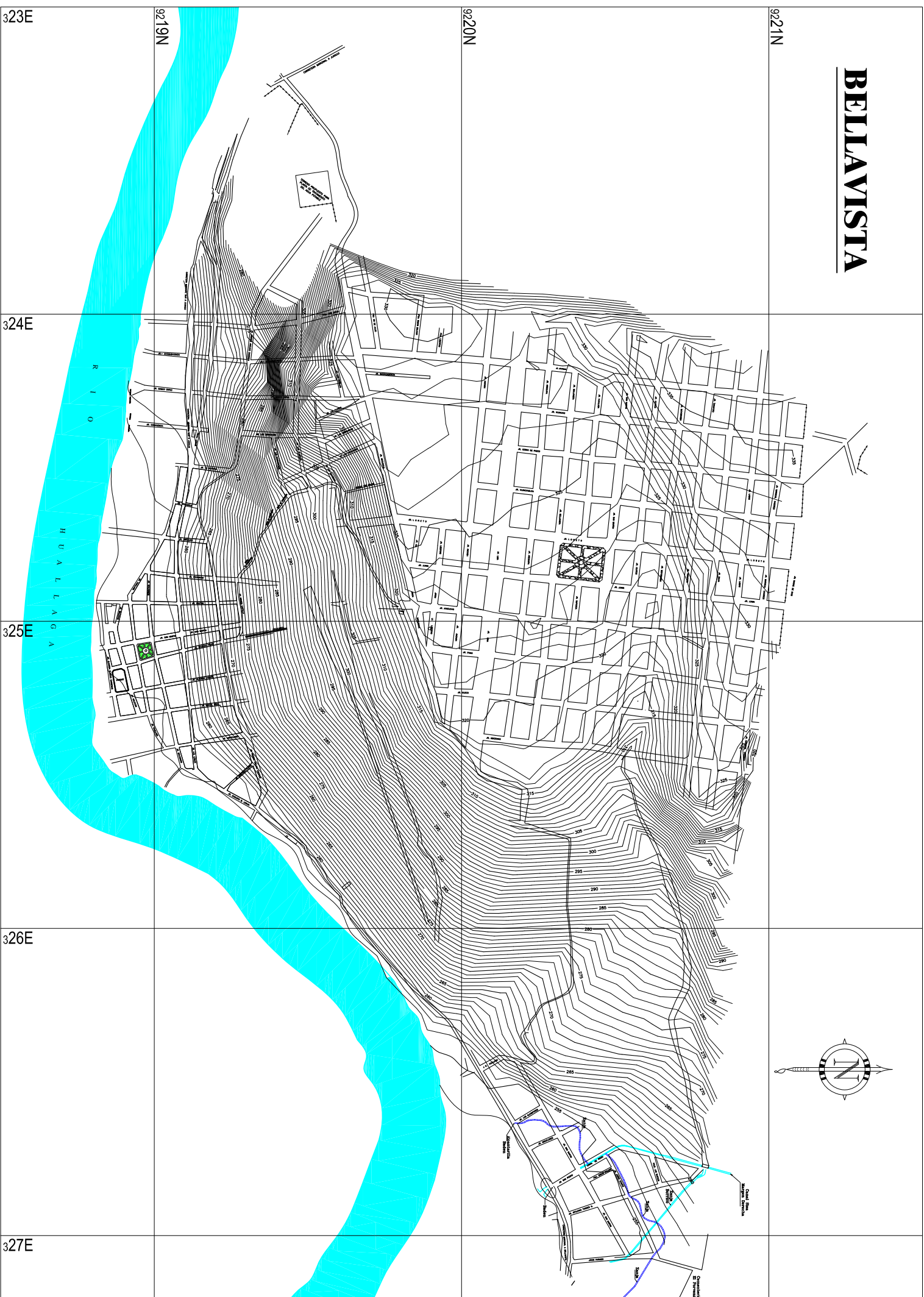
LEYENDA

SÍMBOLO	DESCRIPCIÓN
	CIUDAD
	CARRETERA FERNANDO BELAUDE TERRY
	CURVAS DE NIVEL
	RIO HUALLAGA



INDECI - PNUD - PER / 02 / 051	
PROYECTO: CIUDADES SOSTENIBLES	PLANO: 02
ESTUDIO: MAPA DE PELIGROS DE LA CIUDAD DE BELLAVISTA	FECHA: JUNIO 2004
MAPA: PLANO TOPOGRAFICO	ESCALA: 1 : 15,000

BELLAVISTA

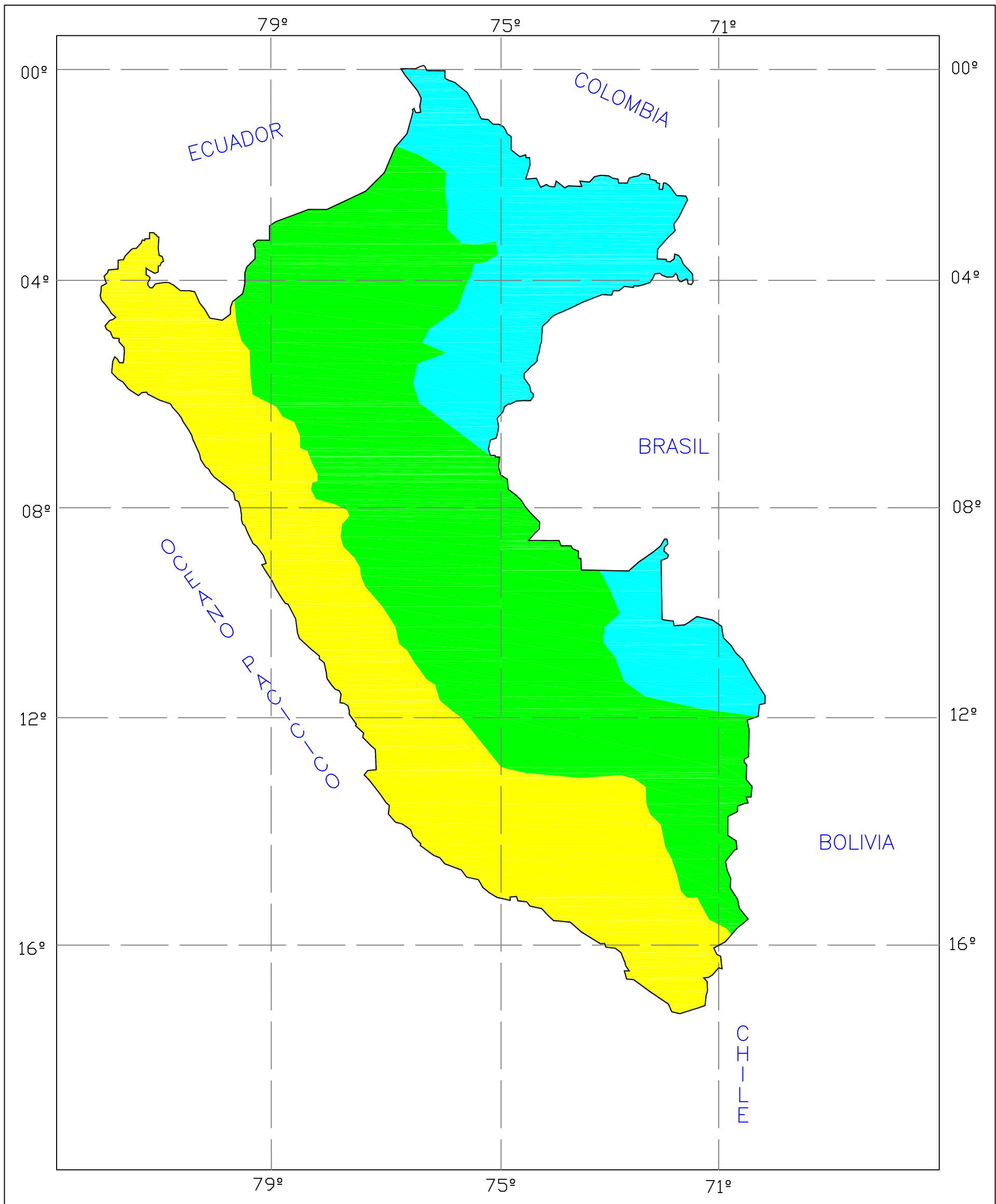


LEYENDA

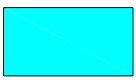
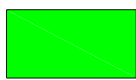

SÍMBOLO	DESCRIPCIÓN
	CIUDAD
	CARRETERA FERNANDO BELAUDE TERRY
	CURVAS DE NIVEL
	RIO HUALLAGA



INDECI - PNUD - PER / 02 / 051	
PROYECTO:	CIUDADES SOSTENIBLES
ESTUDIO:	MAPA DE PELIGROS DE LA CIUDAD DE BELLAVISTA
MAPA:	PLANO TOPOGRAFICO
PLANO:	02
FECHA:	JUNIO 2004
ESCALA:	1 : 15,000



LEYENDA

ZONA 1		Intensidad IV ó menos
ZONA 2		Intensidad V a VII
ZONA 3		Intensidad VIII ó más



INDECI - PNUD - PER / 02 / 051

PROYECTO: CIUDADES SOSTENIBLES

PLANO:

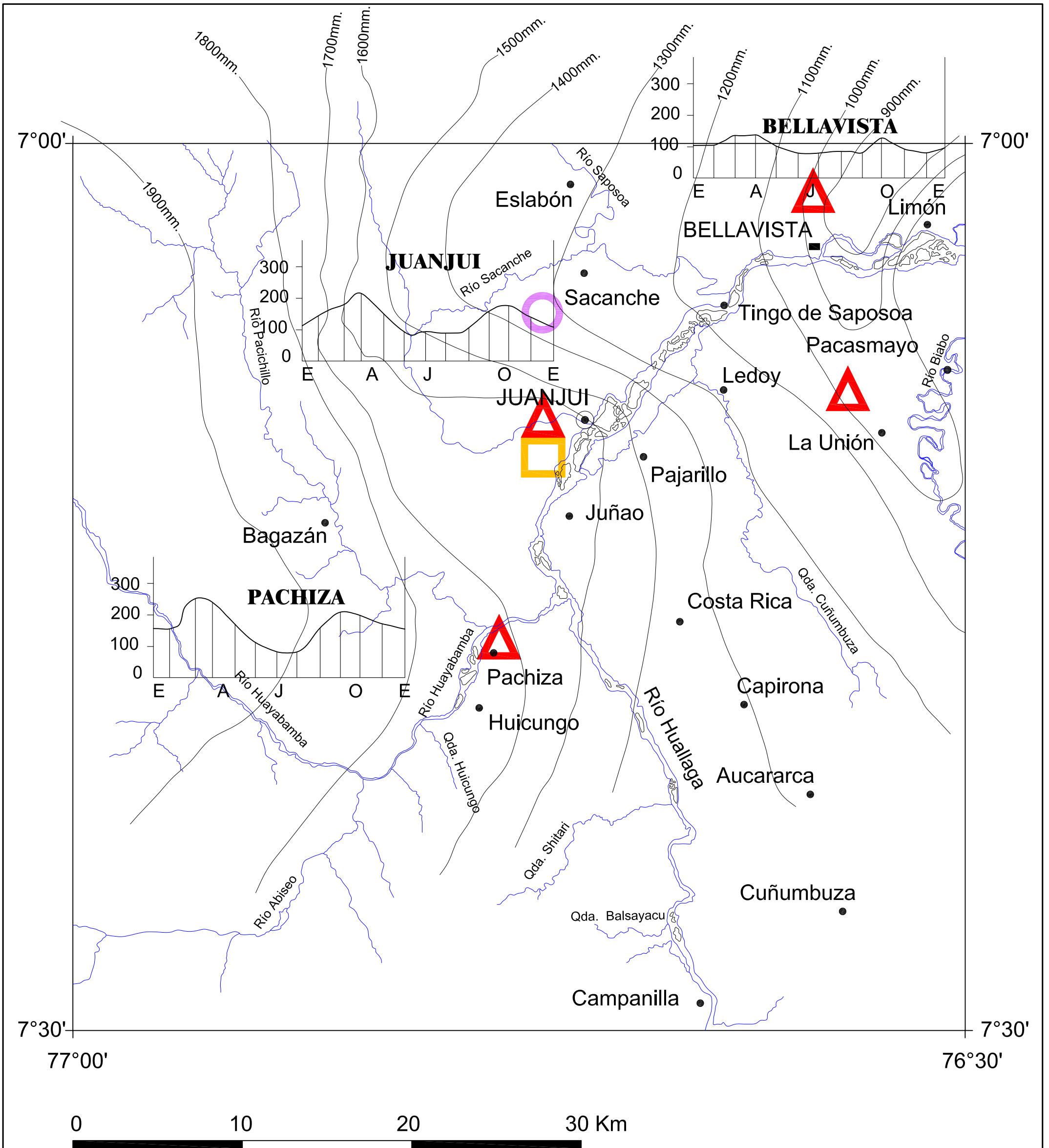
03

ESTUDIO:
MAPA DE PELIGROS DE LA
CIUDAD DE BELLAVISTA

FECHA:
JUNIO 2004

MAPA:
REGIONALIZACION SISMICA

ESCALA:

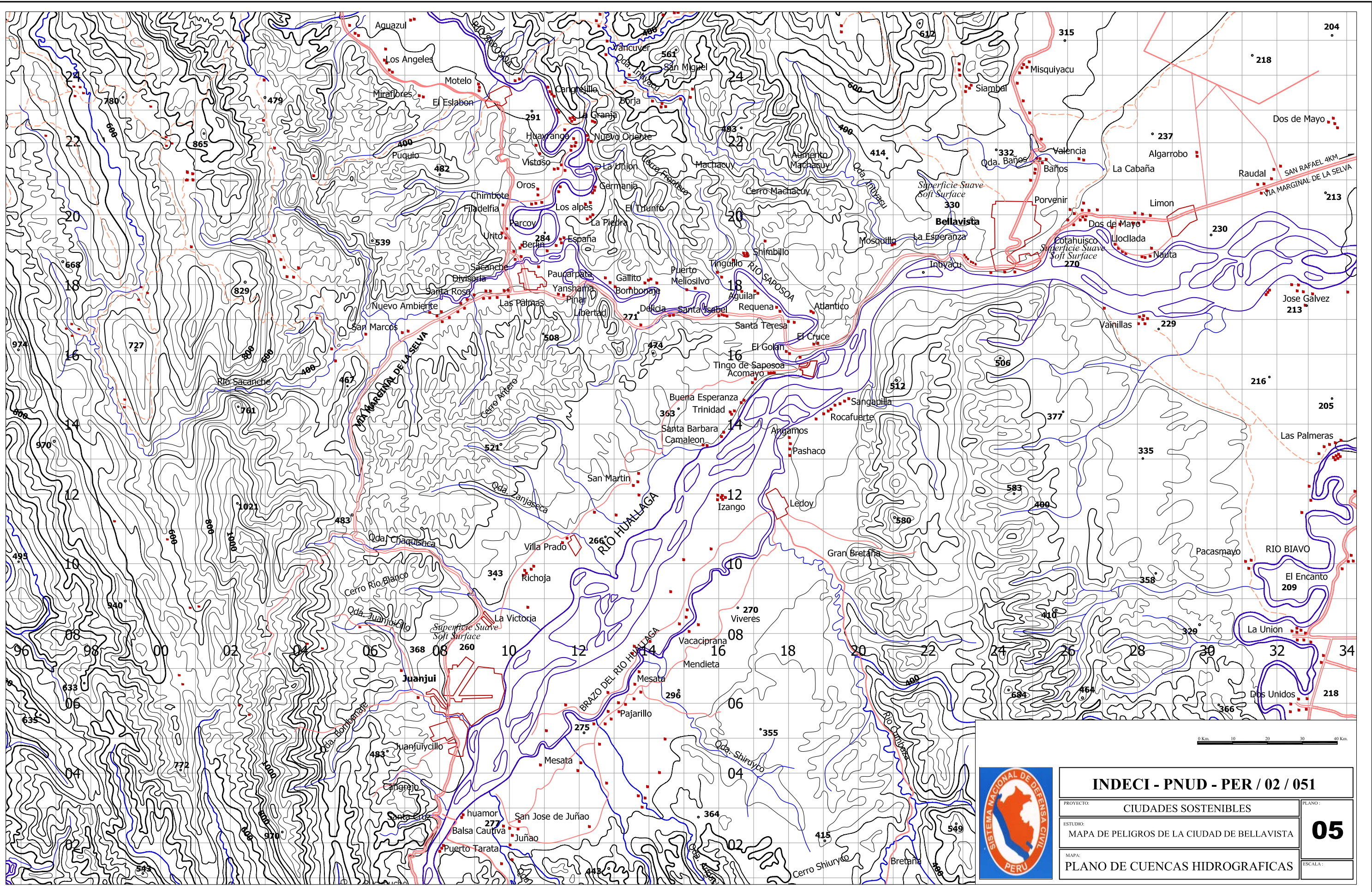


LEYENDA

SÍMBOLO	DESCRIPCIÓN
	Climatológica Ordinaria
	Sinóptica
	Pluviólica

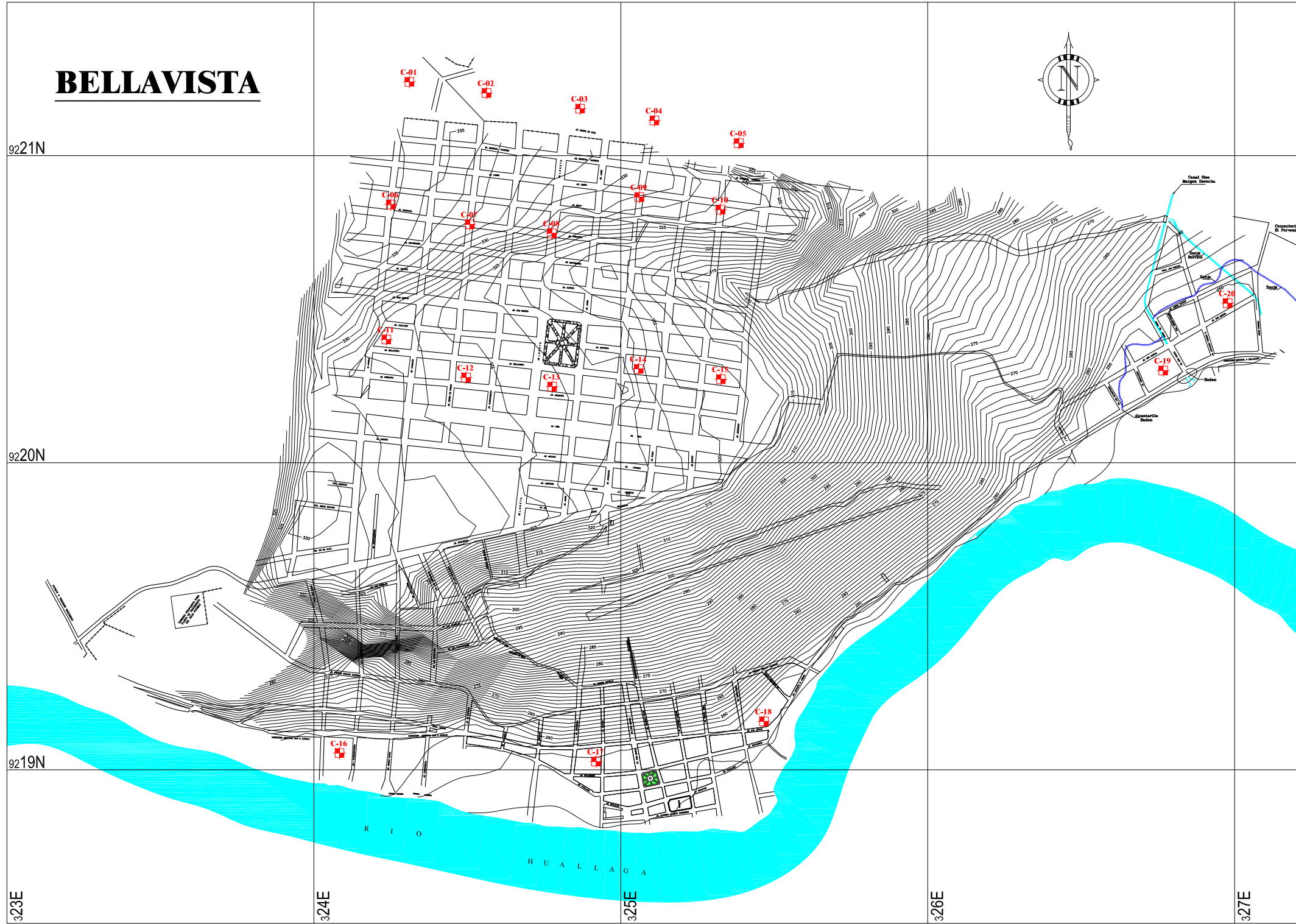


INDECI - PNUD - PER / 02 / 051	
PROYECTO: CIUDADES SOSTENIBLES	PLANO: 04
ESTUDIO: MAPA DE PELIGROS DE LA CIUDAD DE BELLAVISTA	FECHA: JUNIO 2004
MAPA: MAPA DE ISOYETAS	ESCALA:



INDECI - PNUD - PER / 02 / 051	
PROYECTO:	CIUDADES SOSTENIBLES
ESTUDIO:	MAPA DE PELIGROS DE LA CIUDAD DE BELLAVISTA
MAPA:	PLANO DE CUENCAS HIDROGRAFICAS
PLANO:	05
ESCALA:	

BELLAVISTA



CUADRO RESUMEN DE LAS PROPIEDADES FISICO - MECANICAS

CALICATA	PROF.(m)	L.L.(%)	L.P.(%)	I.P.(%)	G.E.(gr/cm3)	P.U.(gr/cm3)	H.N.(%)	S.U.C.S.
C-1 - M-1	0.00 - 0.65	45.6	27.43	18.17	2.44	1.480	25.00	OL
C-1 - M-2	0.65 - 3.00	36.78	23.1	13.68	2.61	1.592	13.19	SC
C-2 - M-1	0.45 - 2.15	64.37	29.73	34.64	2.46	1.451	18.61	CH
C-2 - M-2	2.15 - 3.25	41.32	18.06	23.26	2.55	1.532	12.03	CL
C-3 - M-1	0.50 - 1.10	67.35	30.25	37.1	2.45	1.439	22.54	CH
C-3 - M-2	1.10 - 3.00	35.3	20.03	15.27	2.62	1.753	11.43	GC
C-4 - M-1	0.40 - 0.75	49.85	23.95	25.90	2.56	1.525	20.69	CL
C-4 - M-2	0.75 - 3.00	36.42	17.45	18.97	2.61	1.544	11.20	SC
C-5 - M-1	0.40 - 0.75	41.14	24.02	9.73	2.62	1.515	21.43	CL
C-5 - M-2	0.75 - 3.00	31.44	19.14	12.3	2.62	1.598	18.65	SC
C-6	0.40 - 3.00	30.58	15.57	15.01	2.62	1.572	18.67	SC
C-7 - M-1	0.50 - 1.60	49.38	16.46	32.92	2.53	1.521	18.64	CL
C-7 - M-2	1.60 - 3.00	33.12	20.39	12.73	2.59	1.546	13.65	SC
C-8 - M-1	0.40 - 1.40	38.68	22.33	12.66	2.60	1.511	25.24	CL
C-8 - M-2	1.40 - 3.00	39.96	22.77	17.19	2.60	1.552	17.00	SC
C-9 - M-1	0.40 - 1.05	30.16	16.82	13.34	2.57	1.518	22.00	CL
C-9 - M-2	1.05 - 3.00	31.44	19.68	11.76	2.60	1.556	19.06	SC
C-10 - M-1	0.30 - 0.65	49.17	24.23	24.94	2.56	1.500	23.16	CL
C-10 - M-2	0.65 - 3.05	31.42	19.35	12.07	2.61	1.579	16.07	SC
C-11 - M-1	0.15 - 0.90	35.36	22.84	12.52	2.54	1.512	19.83	CL
C-11 - M-2	0.90 - 3.00	30.25	17.79	12.46	2.61	1.537	16.02	SC
C-12 - M-1	0.20 - 0.95	38.52	24.43	14.09	2.55	1.505	35.38	CL
C-12 - M-2	0.95 - 3.00	30.46	17.07	13.09	2.61	1.537	15.74	SC
C-13 - M-1	0.25 - 0.70	30.42	16.61	13.81	2.57	1.500	14.44	CL
C-13 - M-2	0.70 - 3.00	30.58	17.36	13.22	2.62	1.536	16.95	SC
C-14 - M-1	0.20 - 1.10	49.5	27.35	22.15	2.53	1.512	9.86	CL
C-14 - M-2	1.10 - 2.90	46.27	21.1	25.17	2.62	1.731	12.14	SP-SC
C-15 - M-1	0.25 - 0.57	30.39	16.95	13.44	2.56	1.500	18.23	CL
C-15 - M-2	0.57 - 3.10	30.35	16.97	13.38	2.62	1.546	19.38	SC
C-16	0.20 - 3.20	19.42	N.P.	N.P.	2.60	1.589	10.49	SM
C-17	0.20 - 3.00	28.62	22.93	5.69	2.48	1.458	13.22	ML
C-18	0.20 - 3.00	28.56	23.43	5.13	2.48	1.459	19.43	ML
C-19	0.30 - 3.20	22.11	17.00	5.11	2.51	1.477	13.97	ML
C-20	0.40 - 3.00	28.03	22.77	5.26	2.50	1.466	20.71	ML

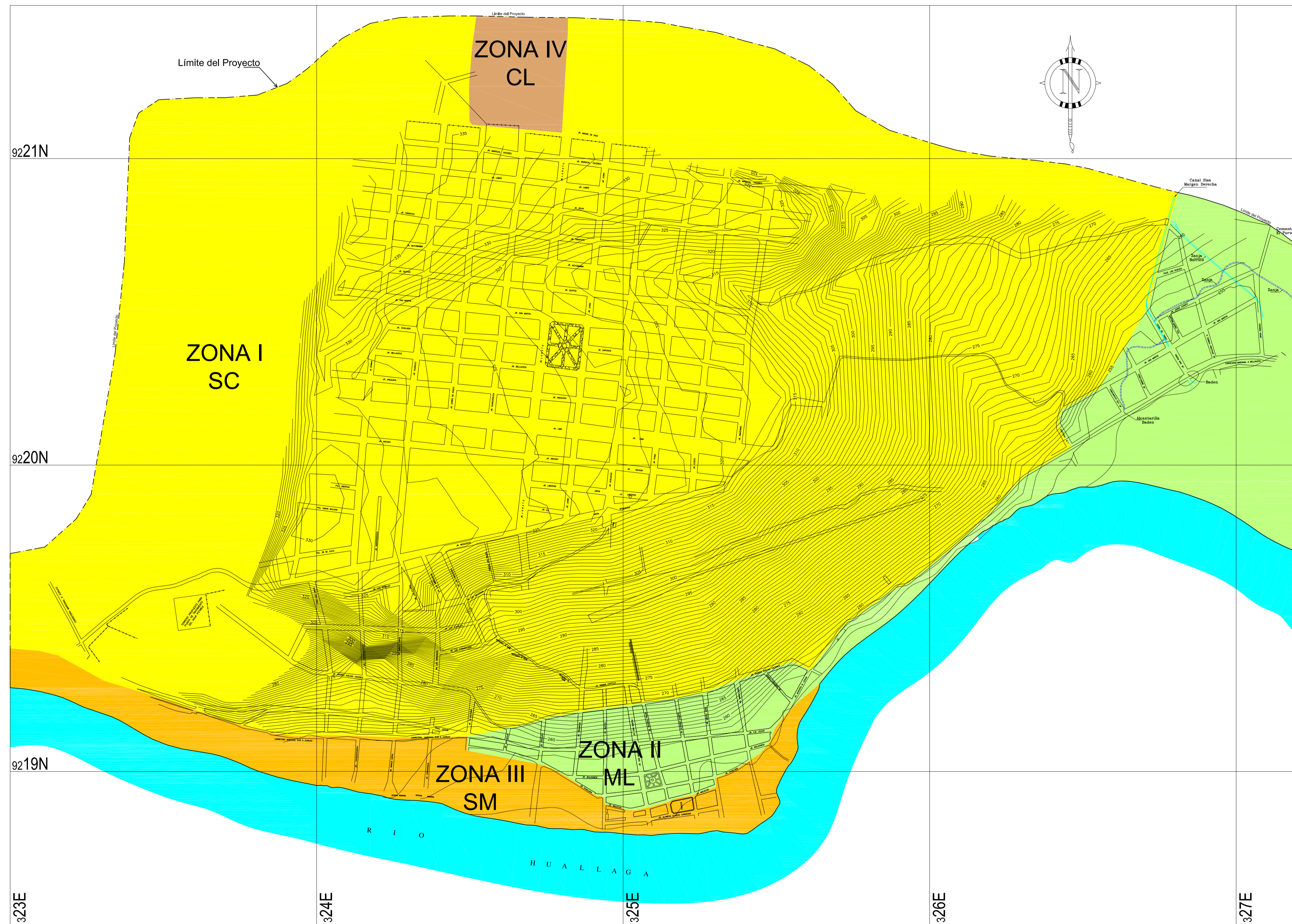
LEYENDA

SÍMBOLO	DESCRIPCIÓN
	CALICATA
	CIUDAD
	CARRETERA FERNANDO BELAUDE TERRY
	CURVAS DE NIVEL
	RIO HUALLAGA



INDECI - PNUD - PER / 02 / 051	
PROYECTO: CIUDADES SOSTENIBLES	PLANO: 06
ESTUDIO: MAPA DE PELIGROS DE LA CIUDAD DE BELLAVISTA	FECHA: JUNIO 2004
MAPA: UBICACION DE CALICATAS	ESCALA: 1 : 15,000

BELLAVISTA



CLASIFICACION DE SUELOS SUCS				
ZONA	CLASIFICACION	AREA (Ha.)	%	DESCRIPCION
ZONA I	SC	628,90	81,40	SUELO ARENOSO - ARCILLOSO, SIN PRESENCIA DE LA NAPA FREATICA. POCO DENSOS, GEOLOGICAMENTE DESCRITOS COMO LOS CONGLOMERADOS DE JUANJUI.
ZONA II	ML	91,40	11,80	SUELO LIMOSO, DE BAJA PLASTICIDAD, SIN PRESENCIA DE LA NAPA FREATICA, CON POTENCIAL DE EXPANSION DE BAJO A NO PLASTICO.
ZONA III	SM	40,95	5,30	SUELO ARENOSO - LIMOSO, NO PLASTICO, SIN PRESENCIA DE LA NAPA FREATICA.
ZONA IV	CL	11,25	1,50	SUELO ARCILLOSO, DE BAJA PLASTICIDAD, CON POTENCIAL DE EXPANSION DE MEDIANA BAJO, SIN PRESENCIA DE LA NAPA FREATICA.



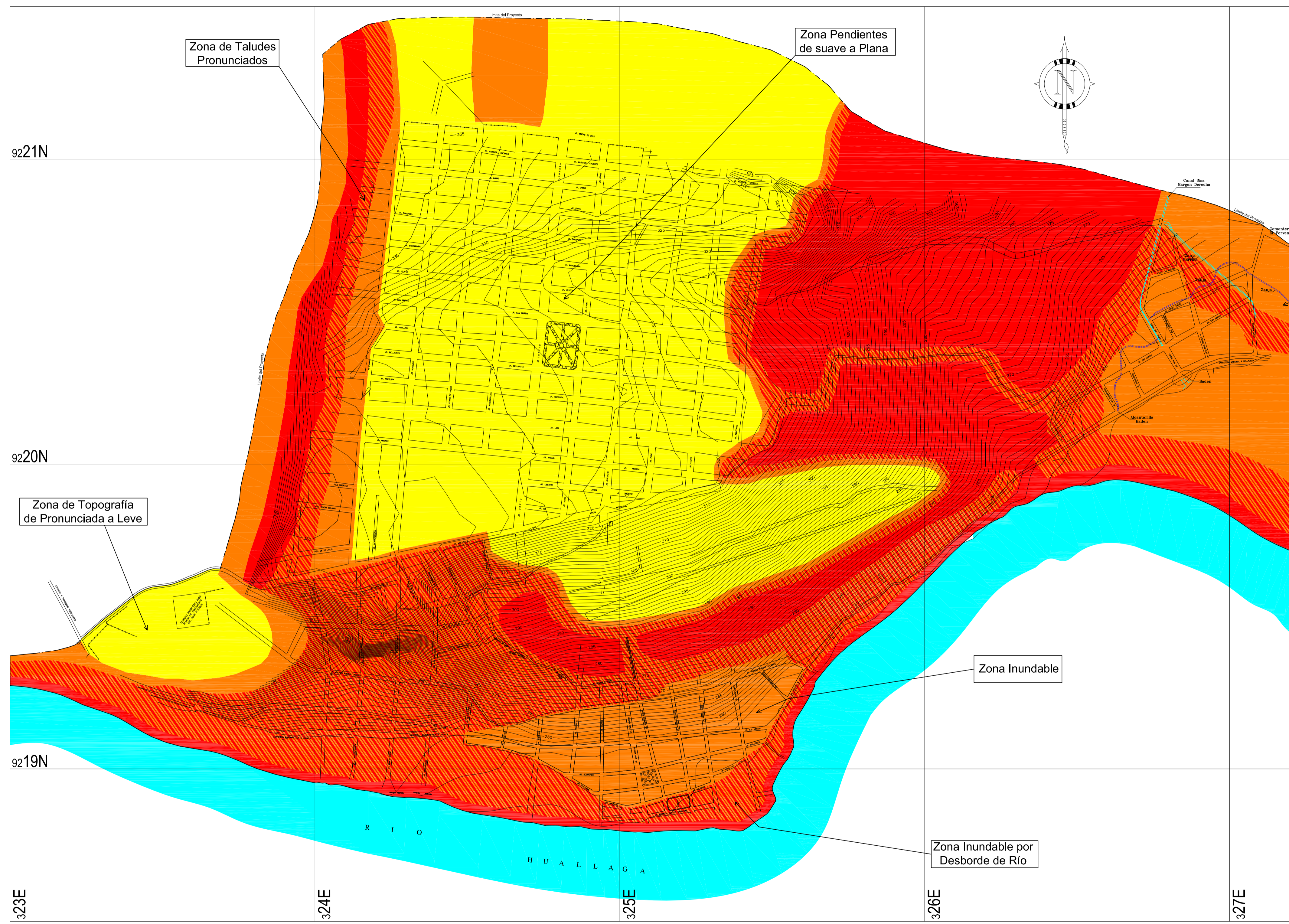
INDECI - PNUD - PER / 02 / 051
 ESTUDIO: MAPA DE PELIGROS DE LA CIUDAD DE BELLAVISTA

PROYECTO: CIUDADES SOSTENIBLES
 MAPA: MAPA DE CLASIFICACION DE SUELOS

FECHA: JUNIO 2004
 ESCALA: 1 : 7,500

PLANO: **07**

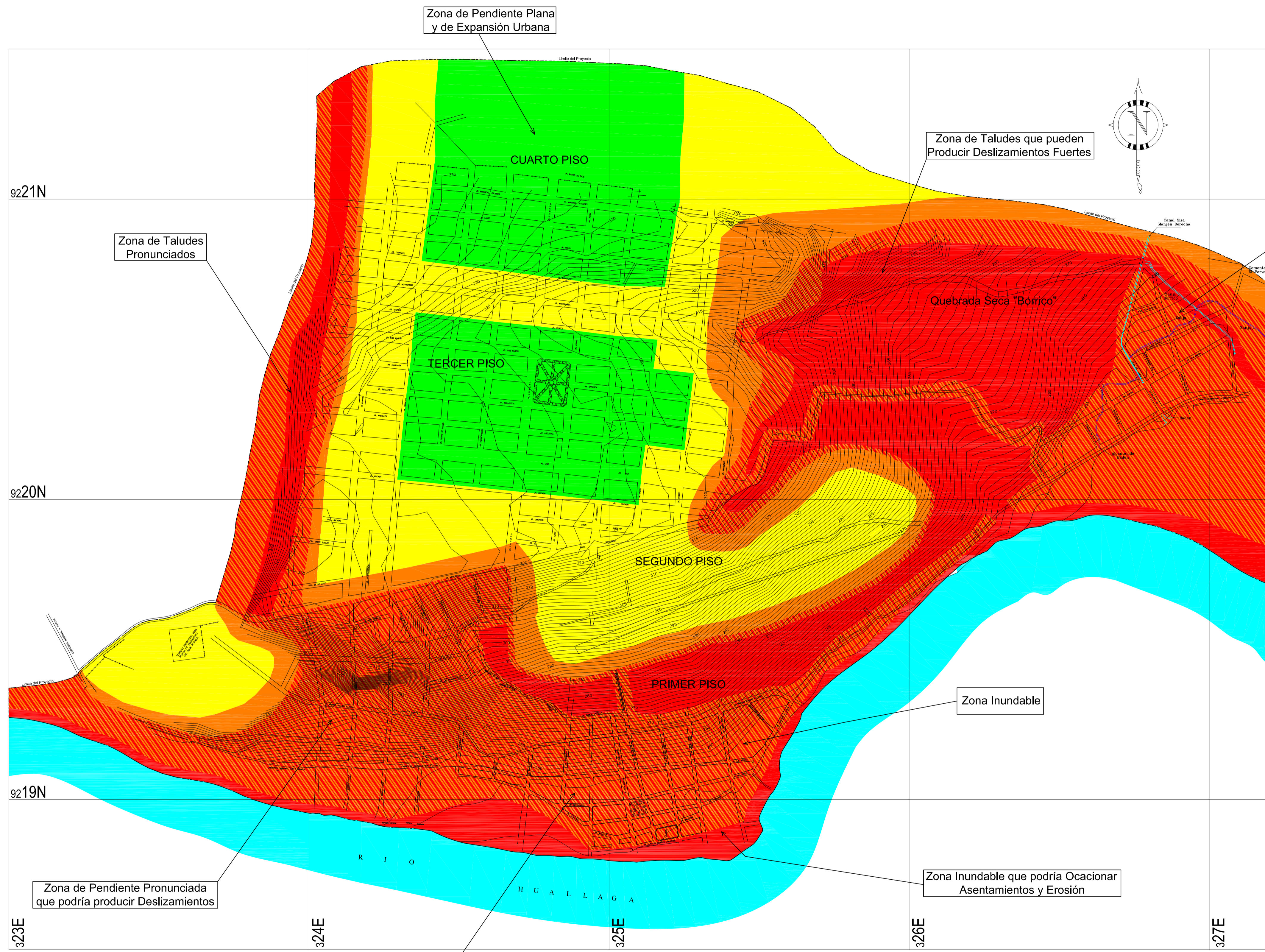
BELLAVISTA



MAPA DE PELIGROS GEOTECNICOS				
FENOMENOS DE ORIGEN GEOTECNICOS	PELIGROS	ZONIFICACION DE PELIGROS	AREA (Ha.)	%
• FALLA POR CORTE Y ASENTAMIENTO DEL SUELO (CAPACIDAD PORTANTE)	MEDIO	SON AQUELLAS AREAS DONDE EL TERRENO ES DE PENDIENTE MENOR DE 15° (SUAVE A MODERADA), CON POSIBILIDAD DE USO MODERADO (NIVEL FREATICO MAYOR AL ANCHO DE LA CIMENTACION (PROFUNDO), LA CAPACIDAD PORTANTE DEL SUELO VARIA DE 1.5 KG/CM2 A 1.50 KG/CM2.	253.00	37.50
• CAMBIOS DE VOLUMEN POR VARIACIONES EN EL CONTENIDO DE HUMEDAD (SUELOS EXPANSIVOS)	ALTO	SON AQUELLAS AREAS DONDE EL TERRENO TIENE UNA DE PENDIENTE DE 15° A 30° NO EXISTE EROSION SEVERA, SON AREAS SECAS A LAS RIBERAS DE RIOS, QUEBRADAS Y TORRENTERAS, NIVEL FREATICO MENOR O IGUAL AL ANCHO DE LA CIMENTACION (MENOR DE 4 m.), LA CAPACIDAD PORTANTE DEL SUELO VARIA DE 0.50 KG/CM2 A 1.00 KG/CM2.	116.00	17.50
• ASENTAMIENTOS POR SUELOS COLAPSABLES	ALTO	SON AQUELLAS AREAS DONDE EL TERRENO TIENE UNA DE PENDIENTE DE 30° A 60°, ZONAS ADYACENTES A LAS RIBERAS, A CAUCES DE RIOS, QUEBRADAS Y TORRENTERAS, NIVEL FREATICO MENOR AL DESPLANTE DE LA ZAPATA, LA CAPACIDAD PORTANTE ES MENOR AL 0.50 KG/CM2, EN ESTOS SUELOS LA DIMINUCION DE LA CAPACIDAD PORTANTE POR EFECTO SISMICO ES MUY ALTA.	154.00	23.00
• USO DE SUELO EN PENDIENTE (TOPOGRAFIA)	MUY ALTO	SON AQUELLAS AREAS DONDE EL TERRENO TIENE UNA DE PENDIENTE MAYOR AL 60°, ZONAS ADYACENTES A LAS RIBERAS, CAUCES DE RIOS, CUTO ANCHO DE TRABAJO ESTARA DETERMINADO POR LA TOPOGRAFIA, TALUD DEL CAUCE NATURAL (ANCHO EFECTIVO DEL RIO Y/O QUEBRADA), EN ESTOS SUELOS LA DIMINUCION DE LA CAPACIDAD PORTANTE POR EFECTO SISMICO ES MUY ALTA.	147.00	22.00

	INDECI - PNUD - PER / 02 / 051	PROYECTO: CIUDADES SOSTENIBLES	FECHA: JUNIO 2004	PLANO: 08
	ESTUDIO: MAPA DE PELIGROS DE LA CIUDAD DE BELLAVISTA	MAPA: MAPA DE PELIGROS GEOTECNICOS	ESCALA: 1 : 7,500	

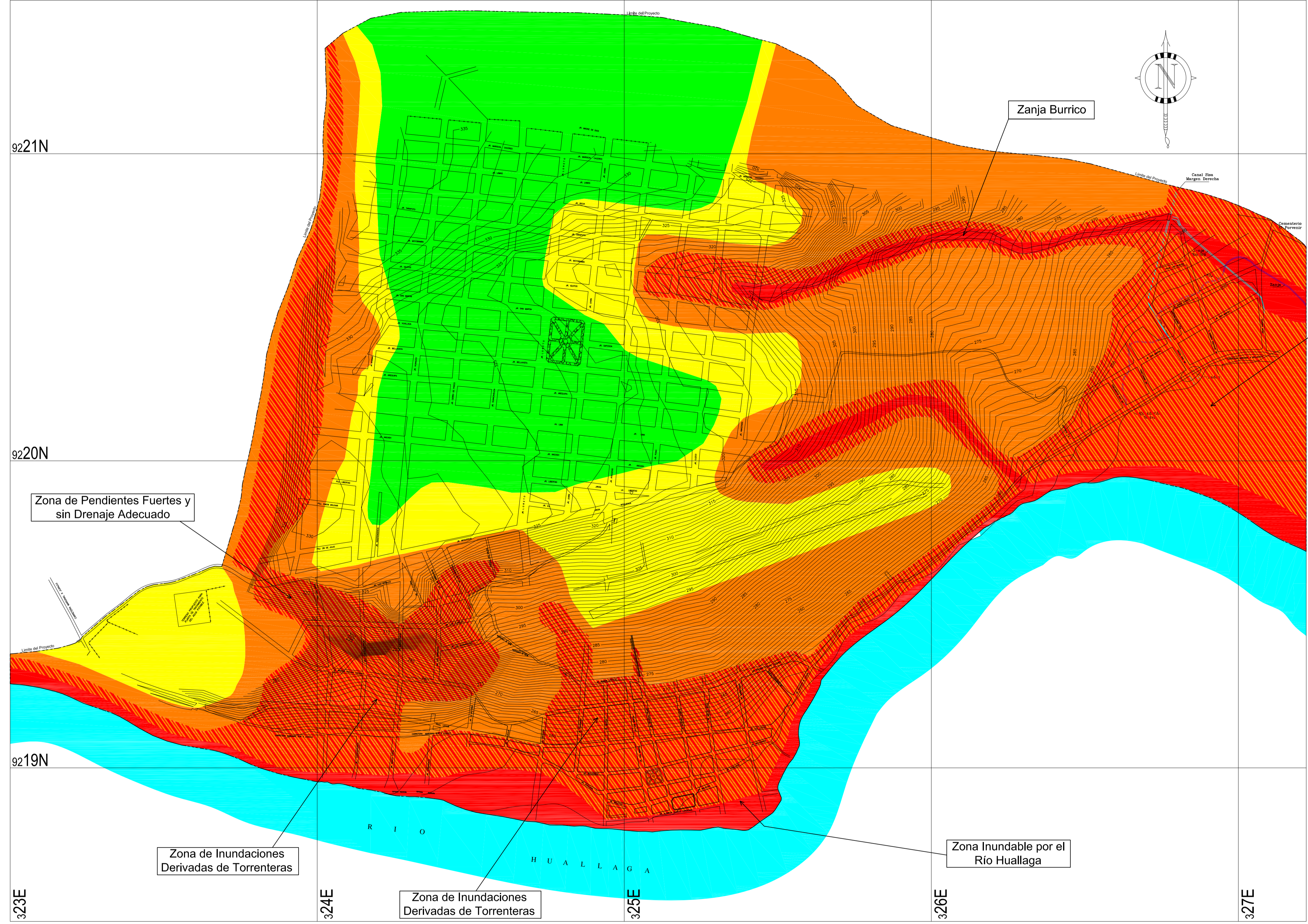
BELLAVISTA



Barrio El Porvenir, presenta el fenómeno de Licuación debido a la presencia de Limos y Napa Freatica Alta.

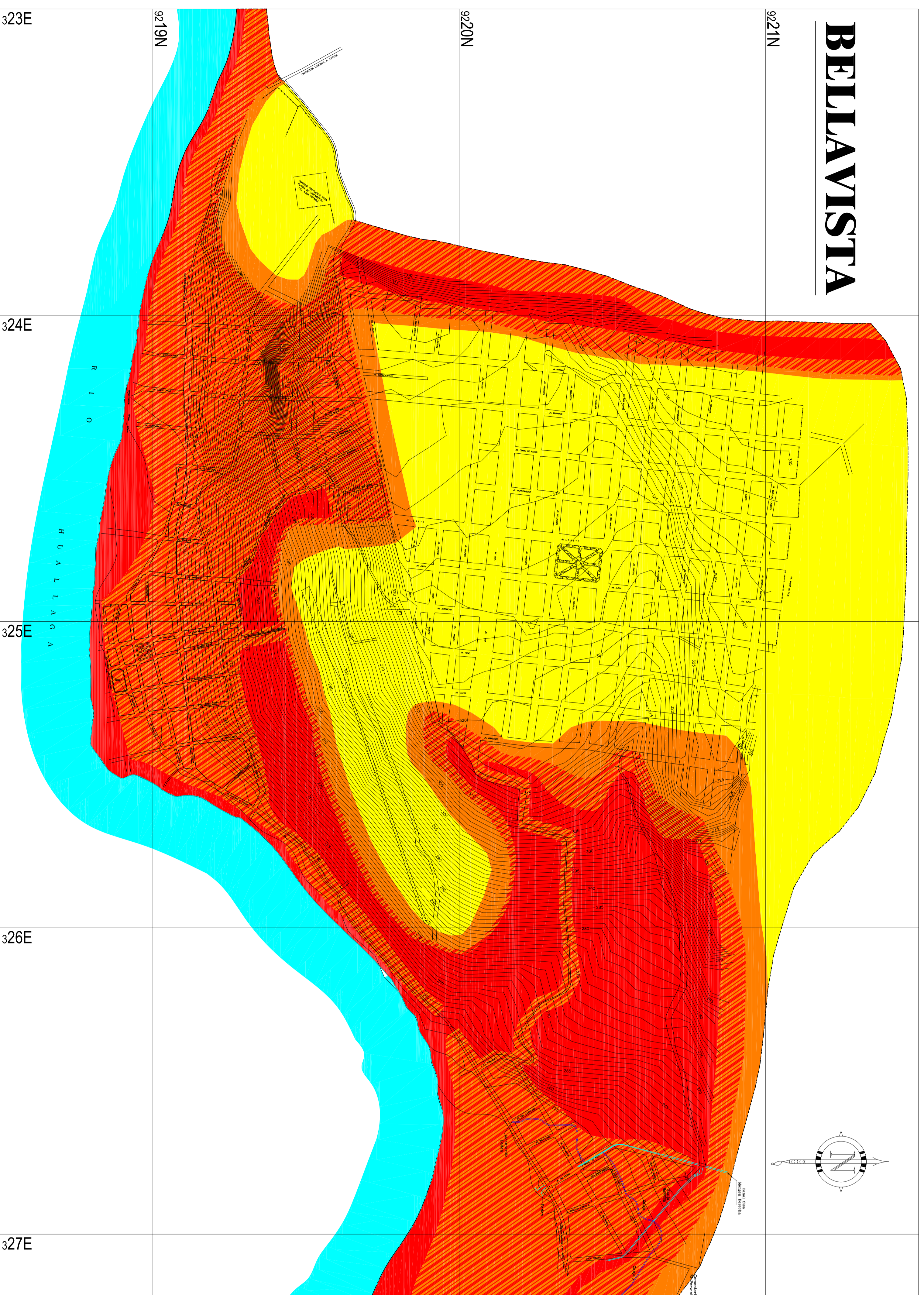
MAPA DE PELIGROS GEOLOGICOS - CLIMATICOS				
FENOM. DE ORIGEN GEOLOGICO - CLIMATICO	PELIGROS	ZONIFICACION DE PELIGROS	AREA (Ha.)	%
<ul style="list-style-type: none"> FALLA DEL SUELO POR DESLIZAMIENTOS (QUE PUEDEN SER CAUSADOS POR VIBRACIONES SISMICAS O POR HUMEDECIMIENTO). 	BAJO	SON AQUELLAS ZONAS EN DONDE EL TERRENO ES DE PENDIENTE SUAVE Y DE CONFORMACIONES GEOLOGICAS QUE ORIGINAN SUELOS RESIDUALES (LOS QUE PRESENTAN PROPIEDADES GEOTECNICAS ACEPTABLES). EN ESTA ZONA NO OCURREN FENOMENOS GEOLOGICOS-CLIMATICOS DE GRAN MAGNITUD POR LO QUE SE CONSIDERA PELIGRO BAJO.	106.50	15.80
<ul style="list-style-type: none"> FALLA POR LICUACION DE SUELOS PROVOCADOS POR SISMOS INTENSOS. 	MEDIO	SON AQUELLAS ZONAS EN DONDE EL TERRENO ES DE PENDIENTE SUAVE A MODERADA (MENOS DE 15°) Y SUS FORMACIONES GEOLOGICAS SON SUELOS DE ORIGEN RESIDUAL DE PROPIEDADES GEOTECNICAS DE MENOR ESTABILIDAD DEL TERRENO. EN ESTA ZONA OCURREN PEQUEÑOS PROBLEMAS DE EROSION POR LA ACCION HIDRAULICA EN TEMPORADA DE LLOVIAS.	162.00	24.00
<ul style="list-style-type: none"> CAMBIO DE VOLUMEN POR LA VARIACION EN EL CONTENIDO DE HUMEDAD (SUELOS EXPANSIVOS). 	ALTO	SON AQUELLAS ZONAS DE PENDIENTES MODERADAS, Y PRESENTAN PROPIEDADES GEOTECNICAS MEDIAS. EN ESTAS ZONAS OCURREN FENOMENOS DE EROSION POR ACCION HIDRAULICA EN EPOCAS DE LLUVIA, PEQUEÑOS DERRUMBES Y LICUACION DE SUELOS.	59.50	8.80
<ul style="list-style-type: none"> ASENTAMIENTO EN SUELOS CON PRESENCIA DE NAPA FREATICA ALTA. 	ALTO+	ZONAS ADYACENTES A LAS RIBERAS DE LOS CAUCES DE RIOS, QUEBRADAS Y TORRENTES; TERRENO CON PENDIENTES FUERTES, LADERAS EMPINADAS CERCANAS A LOS RIOS Y QUEBRADAS. EN ESTAS ZONAS LAS PRECIPITACIONES INTENSAS PRODUCEN FENOMENOS PRECIPITACIONES PARA EL USO DE ESTOS ESPACIOS SE DEBE DE REALIZAR INTENSOS ESTUDIOS DE SUELO Y ASI GARANTIZAR LA SEGURIDAD Y VIDA UTIL DE LAS EDIFICACIONES.	208.40	30.90
<ul style="list-style-type: none"> USO DE SUELOS EN PENDIENTE ALTA (MAYOR DE 60°). 	MUY ALTO	SON AQUELLAS ZONAS DE CAUCES DE RIOS Y QUEBRADAS, TERRENO CON PENDIENTES MUY FUERTES (MAYORES DE 60°) E INESTABLES; CON EROSION SEVERA. PRESENCIA DE SUELOS ALTAMENTE COMPRESIBLES LOS CUALES GENERAN PROBLEMAS DE ASENTAMIENTO Y DESLIZAMIENTOS DE MASAS DE SUELO POR ACCION HIDRAULICA EN EPOCAS DE LLUVIA. EN ESTE TIPO DE SUELOS LA AMPLIFICACION DE ONDAS SISMICAS ES MUY ALTA.	138.60	20.50

BELLAVISTA



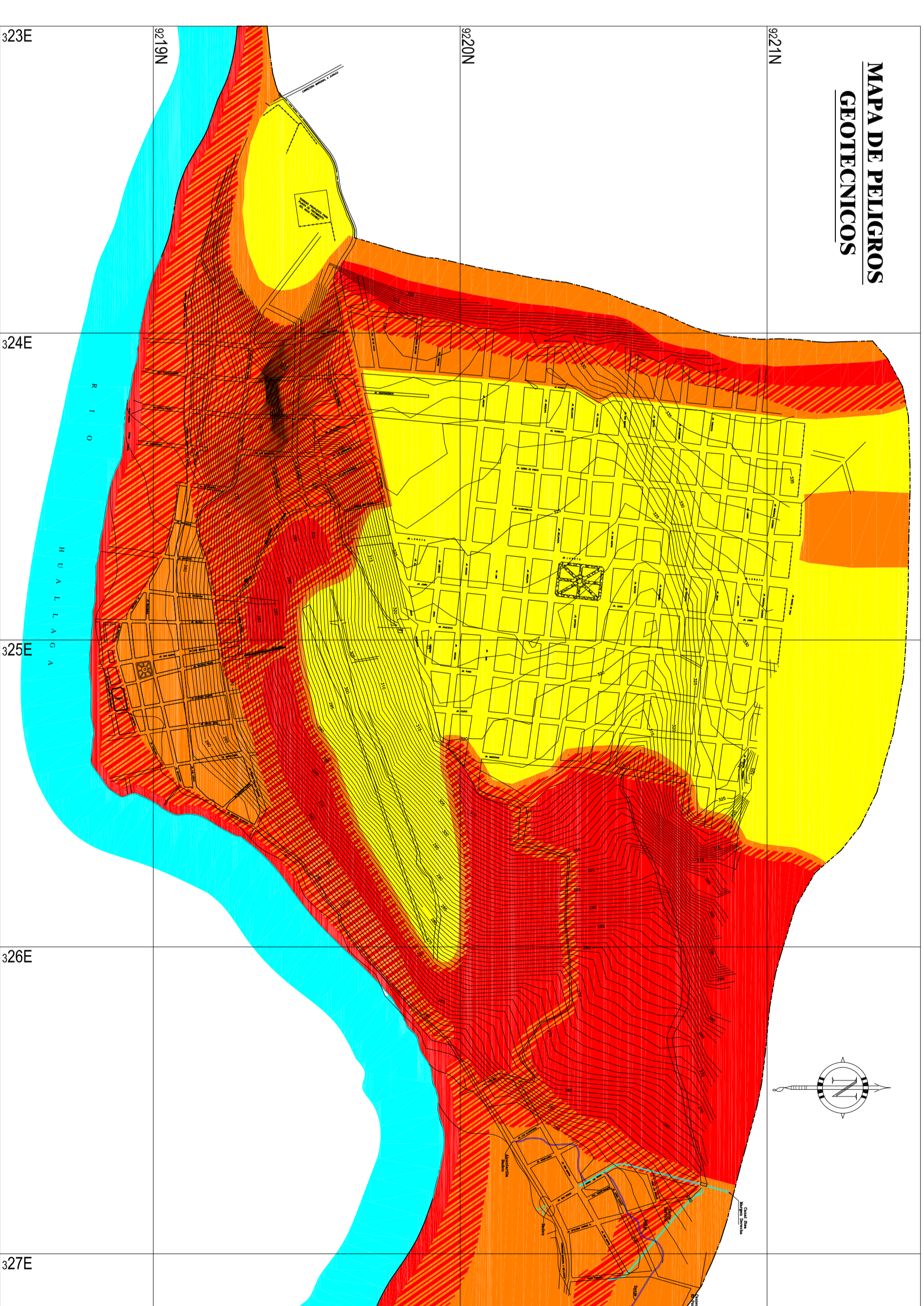
MAPA DE PELIGROS HIDROLOGICOS - CLIMATICOS				
FENOM. DE ORIGEN HIDROLOGICO - CLIMATICO	PELIGROS	ZONIFICACION DE PELIGROS	AREA (Ha.)	%
<ul style="list-style-type: none"> FALLA DEL SUELO POR DESLIZAMIENTO (QUE PUEDEN SER CAUSADOS POR VIBRACIONES SISMICAS O POR HUMEDECIMIENTO) 	BAJO	ESTA ZONA COMPRENDE LOS TERRENOS CON PENDIENTES MUY SUAVES A MODERADAS. LAS PRECIPITACIONES SOLO PRODUCEN INUNDACIONES SUPERFICIALES REPENTINAS. NO OCURREN FENOMENOS CLIMATICOS DE GRAN MAGNITUD. TAMPOCO SE PRESENTAN INUNDACIONES GENERADAS POR LOS RIOS Y/O QUEBRADAS.	150.00	22.70
<ul style="list-style-type: none"> FALLA POR LICUACION DE SUELOS PROVOCADOS POR SISMOS INTENSOS 	MEDIO	AREAS DE PENDIENTES MODERADAS. EN ESTA ZONA LAS PRECIPITACIONES INTENSAS PRODUCEN INUNDACIONES DE CERTA DURACION. EXISTE TRANSPORTE MODERADO DE SEDIMENTOS Y EN CASOS EXCEPCIONALES SON INUNDADOS POR RIOS Y/O QUEBRADAS.	115.00	17.40
<ul style="list-style-type: none"> CAMBOS DE VOLLAMEN POR VARIACIONES EN EL CONTENIDO DE HUMEDAD (Suelos Expansivos) 	ALTO	AREAS DONDE EL TERRENO ES DE PENDIENTE FUERTE. EL FLUJO DE ESCORRIENTA ES REPENTINO E INTENSO. Y EL TRANSPORTE DE SEDIMENTOS ES DE MODERADO A INTENSO. SON AREAS INUNDABLES TEMPORALMENTE POR RIOS Y/O QUEBRADAS.	175.00	26.50
<ul style="list-style-type: none"> ASENTAMIENTOS EN SUELOS CON PRESENCIA DE NAFA FREATICA ALTA 	ALTO+	ZONAS ADYACENTES A LOS CAUCES DE LAS RIBERAS DE LOS RIOS, OMB. Y TORRENTERAS. TERRENOS CON PENDIENTES FUERTES. LADE-RAS EMPINADAS CERCANAS A LOS RIOS Y OMB. Y RELENOS DE CAUCES ANTERIORES. LAS PRECIPITACIONES INTENSAS PRODUCEN INUNDACIONES FRECUENTES. PARA EL USO DE ESTOS ESPACIOS SE DEBERAN DE REALIZAR INTENSOS ESTUDIOS DE SITIO.	180.00	27.20
<ul style="list-style-type: none"> USO DE SUELOS EN PENDIENTE ALTA (MAYOR DE 60°) 	MUY ALTO	SON AQUELLAS AREAS DE RIBERAS DE LOS CAUCES DE RIOS, QUEBRADAS Y TORRENTERAS TERRENOS CON PENDIENTES MUY PRONUNCIADAS Y MAYORES DE 60°. EN ESTAS ZONAS LAS PRECIPITACIONES INTENSAS PRODUCEN INUNDACIONES MUY FRECUENTES CON DESLIZAMIENTOS DE FLUJOS DE LODOS Y COLMATACION DE MATERIAL DE ARRASTRE EN LAS ZONAS BAJAS.	41.00	6.20

BELLAVISTA



MAPA DE PELIGROS MÚLTIPLES			
PELIGROS	COMBINACION DE PELIGROS	ÁREA (HA)	%
Baja	Baja	27065	36,95
Alta	Alta	9635	7,79
Muy Alta	Muy Alta	26695	36,45
Muy Alta	Muy Alta	15885	18,80

MAPA DE PELIGROS GEOECNICOS



MAPA DE PELIGROS GEOLOGICOS - CLIMATICOS



MAPA DE PELIGROS HIDROLOGICOS - CLIMATICOS

